

МВД России
Санкт-Петербургский университет

И. Н. Васильева, В. И. Куватов

КРИПТОГРАФИЧЕСКАЯ ЗАЩИТА ИНФОРМАЦИИ

Практикум

Санкт-Петербург
2017

УДК 003.26
ББК 32.973
В 19

Васильева И. Н., Куватов В. И.

В 19 Криптографическая защита информации: практикум. СПб.:
Изд-во СПб ун-та МВД России, 2017. – 260 с.

Практикум предназначен для организации проведения практических занятий и помощи в освоении дисциплины «Криптографическая защита информации» курсантами, обучающимися по специальности 10.05.05 Безопасность информационных технологий в правоохранительной сфере и по направлению подготовки 09.03.02 Информационные системы и технологии. Может быть также использован обучающимися других специальностей для углубленного изучения криптографии в рамках дисциплины «Основы информационной безопасности».

УДК 003.26
ББК 32.973

Рецензенты:

Бабкин А. Н., кандидат технических наук, доцент
(Воронежский институт МВД России);

Заломов С. Г., заместитель начальника информационного центра
ГУ МВД по Санкт-Петербургу и Ленинградской области –
начальник вычислительного центра

СОДЕРЖАНИЕ

ВЫБОР ВАРИАНТА ЗАДАНИЙ	5
ТЕМА 1. ИСТОРИЯ КРИПТОГРАФИИ. КЛАССИЧЕСКИЕ ШИФРЫ.....	5
ПРАКТИЧЕСКАЯ РАБОТА №1. ИЗУЧЕНИЕ ШИФРА ПЕРЕСТАНОВКИ «ПОВОРОТНЫЕ РЕШЕТКИ КАРДАНО»	5
ПРАКТИЧЕСКАЯ РАБОТА №2. КРИПТОАНАЛИЗ ШИФРОВ ПЕРЕСТАНОВКИ	12
ПРАКТИЧЕСКАЯ РАБОТА №3. ИЗУЧЕНИЕ ШИФРОВ ПРОСТОЙ И МНОГОАЛФАВИТНОЙ ЗАМЕНЫ (ШИФР ЦЕЗАРЯ И ШИФР ВИЖЕНЕРА)	24
ПРАКТИЧЕСКАЯ РАБОТА №4. КРИПТОАНАЛИЗ ШИФРА ПРОСТОЙ ЗАМЕНЫ	35
ПРАКТИЧЕСКАЯ РАБОТА №5. КРИПТОАНАЛИЗ МНОГОАЛФАВИТНОГО ШИФРА (ШИФРА ВИЖЕНЕРА).....	46
ТЕМА 2. СИММЕТРИЧНЫЕ КРИПТОСИСТЕМЫ. СОВРЕМЕННЫЕ БЛОЧНЫЕ ШИФРЫ	60
ПРАКТИЧЕСКАЯ РАБОТА №6. КРИПТОАНАЛИЗ СИММЕТРИЧНОГО БЛОЧНОГО ШИФРА (СЛАЙДОВАЯ АТАКА).....	60
ПРАКТИЧЕСКАЯ РАБОТА №7. ИЗУЧЕНИЕ ШИФРА AES	76
ТЕМА 3. ПОТОКОВЫЕ СИСТЕМЫ ШИФРОВАНИЯ	102
ПРАКТИЧЕСКАЯ РАБОТА №8. ИЗУЧЕНИЕ ПОТОКОВОЙ КРИПТОСИСТЕМЫ БЛЮМА – ГОЛЬДВАССЕР.....	102
ТЕМА 4. КРИПТОСИСТЕМЫ С ОТКРЫТЫМ КЛЮЧОМ	115
ПРАКТИЧЕСКАЯ РАБОТА №9. ИЗУЧЕНИЕ ШИФРА RSA.....	116
ПРАКТИЧЕСКАЯ РАБОТА №10. АТАКА НА АЛГОРИТМ RSA МЕТОДОМ ФЕРМА	134
ПРАКТИЧЕСКАЯ РАБОТА №11. АТАКА НА АЛГОРИТМ RSA МЕТОДОМ ПОВТОРНОГО ШИФРОВАНИЯ.....	140
ПРАКТИЧЕСКАЯ РАБОТА №12. АТАКА НА АЛГОРИТМ RSA МЕТОДОМ БЕСКЛЮЧЕВОГО ЧТЕНИЯ	143
ПРАКТИЧЕСКАЯ РАБОТА №13. АТАКА НА АЛГОРИТМ RSA НА ОСНОВЕ КИТАЙСКОЙ ТЕОРЕМЫ ОБ ОСТАТКАХ.....	147
ТЕМА 5. КРИПТОГРАФИЧЕСКИЕ ХЭШ-ФУНКЦИИ	151
ПРАКТИЧЕСКАЯ РАБОТА №14. ПРИМЕНЕНИЕ КРИПТОГРАФИЧЕСКИХ ХЭШ-ФУНКЦИЙ.	152
ТЕМА 6. ЦИФРОВЫЕ ПОДПИСИ	154
ПРАКТИЧЕСКАЯ РАБОТА №15. ИЗУЧЕНИЕ ЭЛЕКТРОННОЙ ЦИФРОВОЙ ПОДПИСИ ЭЛЬ-ГАМАЛЯ.....	155
ТЕМА 7. КРИПТОГРАФИЯ НА ЭЛЛИПТИЧЕСКИХ КРИВЫХ	164
ПРАКТИЧЕСКАЯ РАБОТА №16. ВЫЧИСЛЕНИЕ КООРДИНАТ ТОЧЕК ЭЛЛИПТИЧЕСКОЙ КРИВОЙ НАД КОНЕЧНЫМ ПОЛЕМ.....	168
ПРАКТИЧЕСКАЯ РАБОТА №17. ЦИФРОВАЯ ПОДПИСЬ НА ЭЛЛИПТИЧЕСКИХ КРИВЫХ	175
ЛИТЕРАТУРА	184
ПРИЛОЖЕНИЯ	185
ПРИЛОЖЕНИЕ 1. <i>ВАРИАНТЫ ЗАДАНИЙ ПРАКТИЧЕСКОЙ РАБОТЫ №4. КРИПТОАНАЛИЗ ШИФРА ПРОСТОЙ ЗАМЕНЫ</i>	185

Приложение 2. <i>ВАРИАНТЫ ЗАДАНИЙ ПРАКТИЧЕСКОЙ РАБОТЫ № 5. КРИПТОАНАЛИЗ МНОГОАЛФАВИТНОГО ШИФРА (ШИФРА ВИЖЕНЕРА)</i>	201
Приложение 3. <i>ВАРИАНТЫ ЗАДАНИЙ ПРАКТИЧЕСКОЙ РАБОТЫ № 6. КРИПТОАНАЛИЗ БЛОЧНОГО ШИФРА (СЛАЙДОВАЯ АТАКА)</i>	230
Приложение 4. <i>ВАРИАНТЫ ЗАДАНИЙ ПРАКТИЧЕСКОЙ РАБОТЫ № 10. АТАКА НА АЛГОРИТМ RSA МЕТОДОМ ФЕРМА</i>	236
Приложение 5. <i>ВАРИАНТЫ ЗАДАНИЙ ПРАКТИЧЕСКОЙ РАБОТЫ № 11. АТАКА НА АЛГОРИТМ RSA МЕТОДОМ ПОВТОРНОГО ШИФРОВАНИЯ</i>	240
Приложение 6. <i>ВАРИАНТЫ ЗАДАНИЙ ПРАКТИЧЕСКОЙ РАБОТЫ № 12. АТАКА НА АЛГОРИТМ RSA МЕТОДОМ БЕСКЛЮЧЕВОГО ЧТЕНИЯ</i>	245
Приложение 7. <i>ВАРИАНТЫ ЗАДАНИЙ ПРАКТИЧЕСКОЙ РАБОТЫ № 13. АТАКА НА АЛГОРИТМ RSA НА ОСНОВЕ КИТАЙСКОЙ ТЕОРЕМЫ ОБ ОСТАТКАХ</i>	251

ВЫБОР ВАРИАНТА ЗАДАНИЙ

Во всех заданиях номер варианта V совпадает порядковым номером K курсанта в официальном списке взвода. Если номер в списке $K > 25$, то номер варианта рассчитывается как $V = K - 25$.

ТЕМА 1. ИСТОРИЯ КРИПТОГРАФИИ. КЛАССИЧЕСКИЕ ШИФРЫ

Классические алгоритмы симметричного шифрования подразделяются на два класса: шифры замены (подстановки) и шифры перестановки.

Применяемые на практике современные шифры имеют достаточно сложную структуру, их анализ достаточно трудоемок и неэффективен без наличия специальных инструментальных средств. В то же время все современные симметричные шифры (такие как алгоритмы ГОСТ 34.12–2015, AES и др.) базируются на многократном применении замен и перестановок.

Изучение и анализ простых классических шифров (табличные перестановки, простая многоалфавитная замена – шифр Виженера) иллюстрируют некоторые важные приемы и методы криптоанализа и упрощают дальнейшее освоение идей современной криптографии.

Практическая работа №1. Изучение шифра перестановки «Поворотные решетки Кардано»

Описание шифра

Решетка Кардано – это прямоугольная или квадратная карточка с четным числом строк и столбцов $2k \times 2m$. В ней проделаны отверстия (трафарет) таким образом, что при последовательном отражении или поворачивании и заполнении открытых клеток карточки постепенно будут заполнены все клетки листа.

Для шифрования текста прямоугольную карточку-трафарет сначала отражают относительно вертикальной оси симметрии, затем – относительно горизонтальной оси, и снова – относительно вертикальной, записывая текст в свободные клетки.

Если решетка Кардано – квадратная, то возможен и другой вариант ее преобразований – поворот на 90° (рис. 1), такие решетки обычно называют *поворотными*.

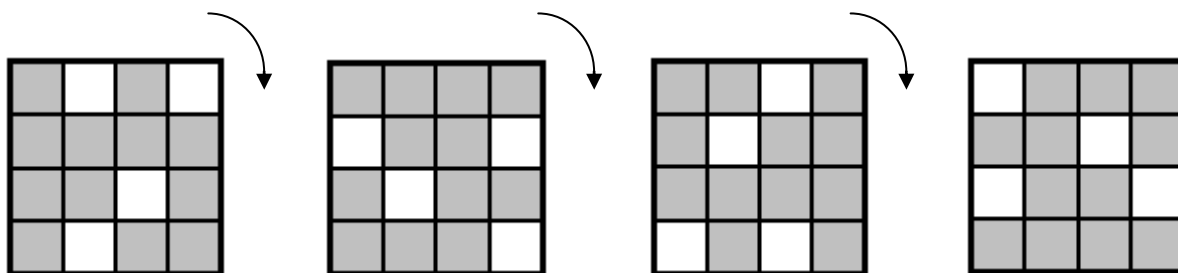


Рис. 1. Пример поворотной решетки Кардано

При записи текста в свободные клетки поворотной решетки обычным способом (слева направо и сверху вниз) словосочетание «наука о шифровании» (без пробелов) будет занесено в таблицу в следующем виде (рис. 2).

а	н	ф	а
а	р	н	а
и	ш	у	и
п	к	в	и

Рис. 2. Пример шифрования с помощью поворотной решетки

Записав текст из таблицы в одну строку, получим криптограмму «анфаарноишуиокви».

Получатель должен знать трафарет и наложить его в той же последовательности, что и при шифровании.

Решетки Кардано, также как и шифрующие таблицы, являются частными случаями шифра маршрутной перестановки.

Задание


Создать свой трафарет для поворотной решетки размером 6×6 . Зашифровать текст с помощью созданного трафарета. Расшифровать криптограмму, полученную с помощью поворотной решетки, если известен использованный для шифрования трафарет.

Указания к выполнению практической работы

Для выполнения практической работы рекомендуется использовать файл *Решетка.docx*, содержащий пустую заготовку поворотной решетки.

Технология выполнения задания

Задание 1. Придумать секретное сообщение. Создать трафарет (поворотную решетку Кардано) размером 6×6 ячеек для шифрования секретного сообщения.

1. Придумать и записать осмысленный текст, состоящий из 36 букв, не считая пробелов и знаков препинания. Для подсчета числа букв в выделенном тексте MSWord можно использовать инструмент **Рецензирование/Статистика** .

Пример секретного сообщения (36 букв): «сегодня вечером жду в нашем месте с пакетом».

2. Открыть файл *решетка.docx*, содержащий заготовку трафарета.
3. Пронумеровать ячейки крайнего ряда решетки на каждой из сторон (пример – на рис.3), для этого:
 - отступить с одной из сторон на одну ячейку;
 - ввести номера (от 1 до 5) по часовой стрелке в области заголовка.

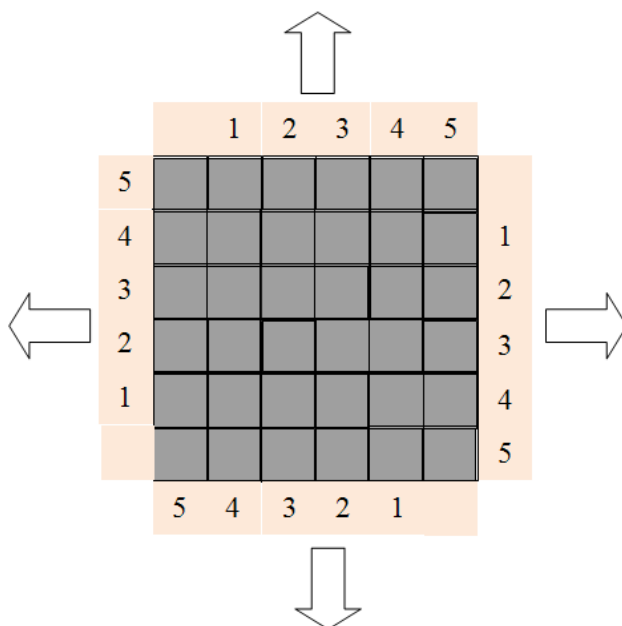


Рис. 3. Пример нумерации ячеек решетки: 1 этап.

4. «Открыть» ячейки трафарета в крайнем ряду, руководствуясь следующими правилами (пример – на рис.4):
- на разных сторонах не должно быть открытых ячеек с одинаковым номером;
 - не желательно наличие нескольких подряд идущих «открытых» ячеек.

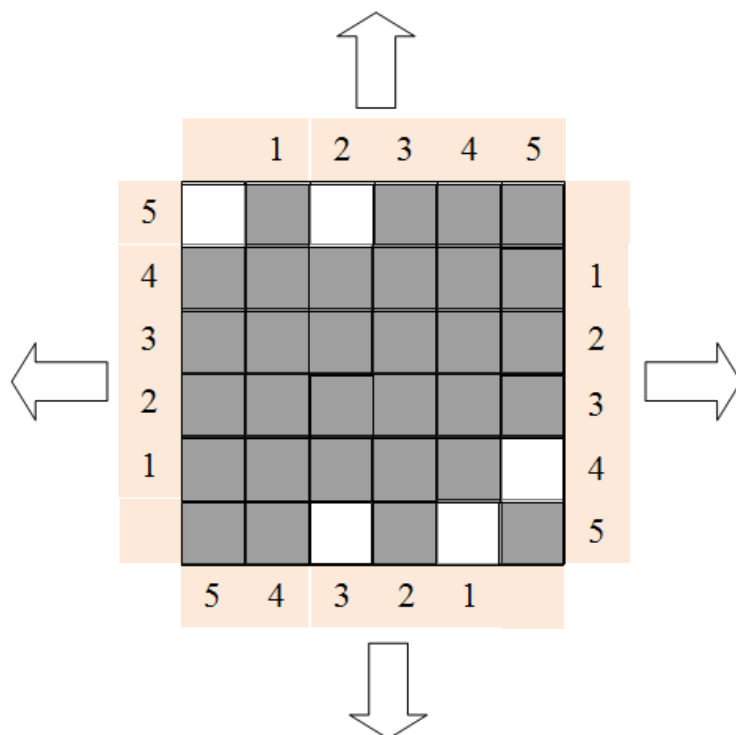


Рис.4. Пример трафарета: 1 этап (только крайний ряд).

Для «открытия» ячейки следует:

- Поместить решетку на передний план, для чего выделить решетку, щелкнув мышью в области одной из стрелок, а затем выполнить команду **Формат/На передний план**.
- Щелкнуть на границе ячейки мышью так, чтобы она выделилась «точками» по краям (рис.5) (при этом должна быть выделена и вся решетка целиком со стрелками).
- Затем щелкнуть на границе этой же ячейки правой кнопкой мыши и выбрать из контекстного меню команду **Формат автофигуры**.

- В окне команды на вкладке *Цвета и линии* в группе *цвет* изменить темно-серый цвет заливки на белый (новый цвет выбирается в выпадающем списке).

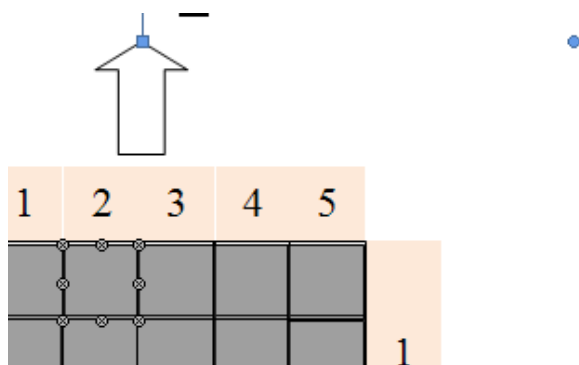


Рис. 5. Выделение ячейки решетки

5. Пронумеровать ячейки второго от края ряда решетки (от 1 до 3), отступив на две ячейки с одной из сторон и на одну ячейку – с другой (рис.6).

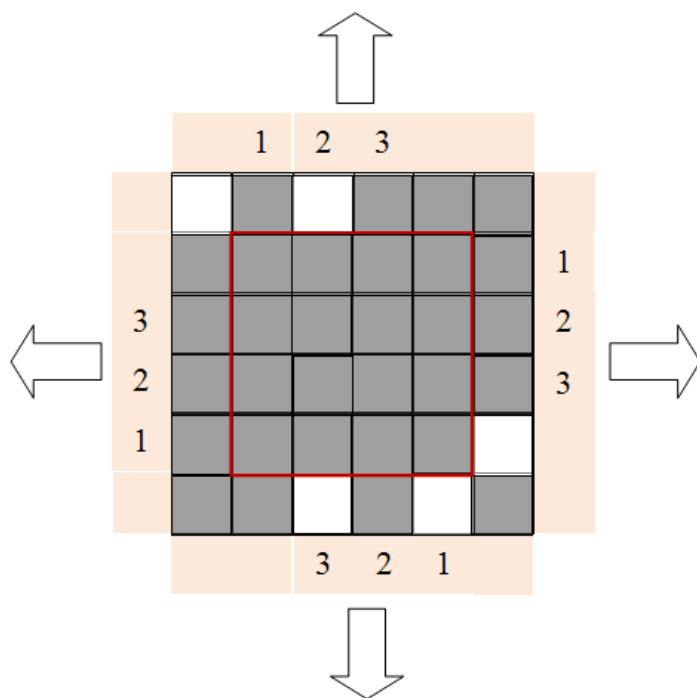


Рис. 6. Пример нумерации ячеек: 2 этап.

6. «Открыть» ячейки трафарета во втором от края ряду, руководствуясь приведенными выше правилами (пример – на рис. 7).

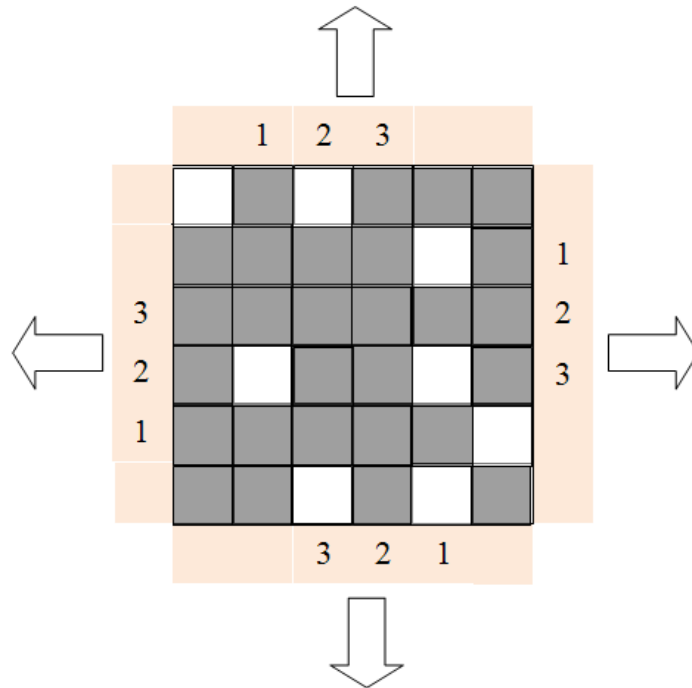


Рис. 7. Пример трафарета: 2 этап (крайний и второй с края ряды).

7. «Открыть» одну из ячеек внутреннего ряда (например, рис. 8).

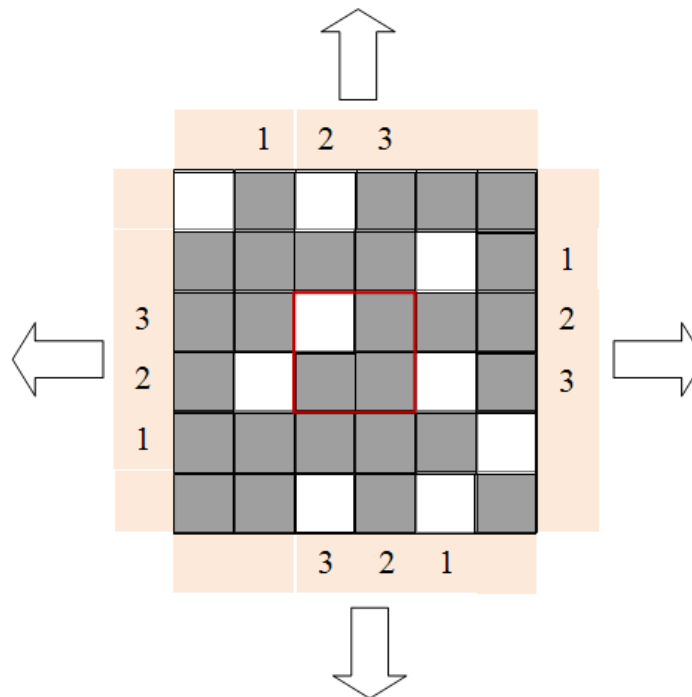


Рис. 8. Пример трафарета: 3 этап.

8. Повернуть (один или несколько раз) трафарет в любом направлении (по часовой или против часовой стрелки), для этого:

- Щелкнуть мышью в области верхней стрелки. Над стрелкой должна отобразиться зеленая точка.
- Навести на точку указатель мыши, чтобы он принял вид круговой стрелки, захватите точку мышью и, не отпуская, поверните в нужное положение.
- Если зеленая точка не отображается, следует щелкнуть в области стрелки мышью и выполнить команду **Формат/Повернуть вправо на 90° (Повернуть влево на 90°)** нужное количество раз.

Задание 2. Зашифровать секретное сообщение с помощью созданного трафарета.

9. Занести текст секретного сообщения в ячейки решетки, используя трафарет, для этого:

- Занести буквы текста последовательно (без пробелов и знаков препинания) в «открытые» ячейки решетки в направлении слева – направо и сверху – вниз (например, рис.9).

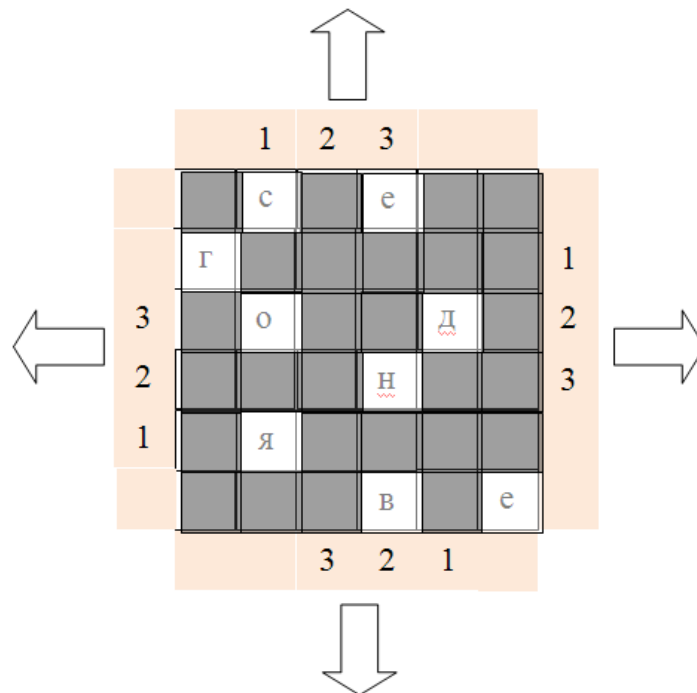


Рис. 9. Пример шифрования с использованием решетки

- Выбрать и запомнить направление поворота (влево или вправо) – далее поворот всегда будет осуществляться в одном направлении.

- После заполнения всех «открытых» ячеек повернуть трафарет на 90° в выбранном направлении.
 - Повторять шаги по заполнению ячеек решетки, пока все ячейки не будут заполнены текстом. Если трафарет разработан правильно – всегда будут открываться только чистые (незаполненные ранее ячейки решетки).
10. Если текст в ячейках имеет различие в форматировании (например, центрированный и не центрированный), следует задать единый формат.
 11. Повернуть трафарет один или несколько раз, чтобы усложнить выяснение его начального положения (важно, чтобы положение трафарета не совпадало с начальным!).

Задание 3. Расшифровать сообщение.

12. Обменяться зашифрованными сообщениями и расшифровать чужую криптограмму. В шифре с готовым трафаретом подобрать:
 - начальное положение трафарета,
 - направление поворота трафарета – таким образом, чтобы текст секретного сообщения можно было прочитать (чтение осуществляется так же, как и запись: слева – направо и сверху – вниз).
13. Записать расшифрованное сообщение.
14. Показать свое секретное сообщение, шифр (с трафаретом) и расшифровку чужого сообщения преподавателю.

Практическая работа №2. Криптоанализ шифров перестановки

Описание шифра и рекомендации по криптоанализу

В шифрах табличной перестановки криптограмма может быть получена разными способами. Для открытого текста длиной N подбирается таблица размером $m \times n$, $m \times n \geq N$, символы текста записываются в ячейки таблицы. Запись может производиться как построчно, так и в столбец. В простейшем варианте текст из таблицы считывается в направлении, отличном от записи (например, по столбцам, если записывался по строкам).

Пример:

Запишем фразу «ТЕРМИНАТОР ПРИБЫВАЕТ СЕДЬМОГО В ПОЛНОЧЬ» в таблицу размером 5×7 по строкам (рис.10).

Выписав текст из таблицы по столбцам получим шифр: «ТНПВЕГЛЕАРАДОНРТИЕЬВМОБТМПЧИРЫСООЬ».

	1	2	3	4	5
1	т	е	р	м	и
2	н	а	т	о	р
3	п	р	и	б	ы
4	в	а	е	т	с
5	е	д	ь	м	о
6	г	о	в	п	о
7	л	н	о	ч	ь

Рис.10. Пример шифрующей таблицы

Перед считыванием текста возможна перестановка строк, столбцов таблицы, либо совместная перестановка строк и столбцов (двойная перестановка). Порядок считывания текста в этом случае может и не меняться.

Пример: В таблице на рис.1 переставим столбцы в порядке: 4–3–5–1–2 (рис.11), а порядок считывания текста оставим тот же, что и порядок записи (по столбцам).

	4	3	5	1	2
1	м	р	и	т	е
2	о	т	р	н	а
3	б	и	ы	п	р
4	т	е	с	в	а
5	м	ь	о	е	д
6	п	в	о	г	о
7	ч	о	ь	л	н

Рис. 11. Пример шифрующей таблицы с перестановкой столбцов

Выписав текст из таблицы получим криптограмму: «МРИ-ТЕОТРНАБИЬПРТЕСВАМЬОЕДПВОГОЧОЬЛН».

При решении задачи криптоанализа шифров перестановки необходимо восстановить начальный порядок следования букв текста.

Таким образом, в нашем примере при анализе криптограммы необходимо произвести действия, обратные шифрованию, то есть:

- записать текст криптограммы в таблицу в порядке ее считывания при шифровании;
- переставить строки, чтобы они следовали в исходном порядке;
- считать текст из таблицы в порядке его записи при шифровании.

Появления букв в открытом тексте нельзя считать независимыми друг от друга. Для восстановления исходного порядка символов текста используется анализ их совместимости, в чем может помочь таблицы сочетаемости символов, а также таблица вероятностей (частот) появления двухбуквенных сочетаний (биграмм) в текстах естественного языка.

Таблица сочетаемости букв (табл.1) содержит перечень букв, которые могут предшествовать, то есть находиться слева, и следовать, то есть находиться справа, от выбранной буквы. Вероятность предшествования и следования для гласных (Г) и согласных (С) неодинакова, она также указана в таблице (в процентах).

Вопрос о зависимости букв алфавита в открытом тексте от предыдущих букв исследовался известным русским математиком А.А.Марковым. Он показал, что появление букв в тексте естественного языка зависит не только от одной, но от значительного числа предшествующих букв. К.Шенноном было показано, что такая зависимость ощутима на глубину до 30 знаков, после чего она практически не ощущается. Однако для учебных целей достаточно ограничиться анализом двухбуквенных сочетаний (биграмм). А.А.Марковым отмечена еще одна устойчивая закономерность открытых текстов, связанная с чередованием гласных и согласных букв. Частоты встречаемости гласных/согласных букв в зависимости от предыдущей гласной/согласной приведены в табл.2.

Таблица 1

Сочетаемость букв русского языка

<i>Г</i>	<i>С</i>	<i>Слева</i>	<i>Буква</i>	<i>Справа</i>	<i>Г</i>	<i>С</i>
3	97	л, д, к, т, в, р, н	А	л, н, с, т, р, в, к, м	12	88
80	20	я, е, у, и, а, о	Б	о, ы, е, а, р, у	81	19
68	32	я, т, а, е, и, о	В	о, а, и, ы, с, н, л, р	60	40
78	22	р, у, а, и, е, о	Г	о, а, р, л, и, в	69	31
72	28	р, я, у, а, и, е, о	Д	е, а, и, о, н, у, р, в	68	32
19	81	м, и, л, д, т, р, н	Е	н, т, р, с, л, в, м, и	12	88
83	17	р, е, и, а, у, о	Ж	е, и, д, а, н	71	29
89	11	о, е, а, и	З	а, н, в, о, м, д	51	49
27	73	р, т, м, и, о, л, н	И	с, н, в, и, е, м, к, з	25	75
55	45	ь, в, е, о, а, и, с	К	о, а, и, р, у, т, л, е	73	27
77	23	г, в, ы, и, е, о, а	Л	и, е, о, а, ь, я, ю, у	75	25
80	20	я, ы, а, и, е, о	М	и, е, о, у, а, н, п, ы	73	27
55	45	д, ь, н, о, а, и, е	Н	о, а, и, е, ы, н, у	80	20
11	89	р, п, к, в, т, н	О	в, с, т, р, и, д, н, м	15	85
65	35	в, с, у, а, и, е, о	П	о, р, е, а, у, и, л	68	32
55	45	и, к, т, а, п, о, е	Р	а, е, о, и, у, я, ы, н	80	20
69	31	с, т, в, а, е, и, о	С	т, к, о, я, е, ь, с, н	32	68
57	43	ч, у, и, а, е, о, с	Т	о, а, е, и, ь, в, р, с	63	37
15	85	п, т, к, д, н, м, р	У	т, п, с, д, н, ю, ж	16	84
70	30	н, а, е, о, и	Ф	и, е, о, а, е, о, а	81	19
90	10	у, е, о, а, ы, и	Х	о, и, с, н, в, п, р	43	57
69	31	е, ю, н, а, и	Ц	и, е, а, ы	93	7
82	18	е, а, у, и, о	Ч	е, и, т, н	66	34
67	33	ь, у, ы, е, о, а, и, в	Ш	е, и, н, а, о, л	68	32
84	16	е, б, а, я, ю	Щ	е, и, а	97	3
0	100	м, р, т, с, б, в, н	Ы	л, х, е, м, и, в, с, н	56	44
0	100	н, с, т, л	Ь	н, к, в, п, с, е, о, и	24	76
14	86	с, ы, м, л, д, т, р, н	Э	н, т, р, с, к	0	100
58	42	ь, о, а, и, л, у	Ю	д, т, щ, ц, н, п	11	89
43	57	о, н, р, л, а, и, с	Я	в, с, т, п, д, к, м, л	16	84

Таблица 2

Чередование гласных и согласных

	Г	С	Всего
Г	6588	38310	44898
С	38296	16806	55102

Таблица 3. Частоты биграмм русского языка

	А	Б	В	Г	Д	Е	Ж	З	И	Й	К	Л	М	Н	О	П	Р	С	Т	У	Ф	Х	Ц	Ч	Ш	Щ	Ы	Ь	Э	Ю	Я	-	
А	2	12	35	8	14	7	6	15	7	7	19	27	19	45	3	11	26	31	27	3	1	10	6	7	10	1			2	6	9	146	
Б	5					9	1		6			6		2	21		8	1		6						1	11				2	3	
В	35	1	5	3	3	32		2	17		7	10	3	9	58	6	6	19	6	7		1	1	2	4	1	18	1	2		3	61	
Г	7				3	3			5		1	5		1	50		7			2												7	
Д	25		3	1	1	29	1	1	13		1	5	1	13	22	3	6	8	1	10			1	1	1		5	1			1	11	
Е	2	9	18	11	27	7	5	10	6	15	13	35	24	63	7	16	39	37	33	3	1	8	3	7	3	3			1	1	2	138	
Ж	5	1			6	12			5					6				1														2	
З	35	1	7	1	5	3			4		2	1	2	9	9	1	3	1		2							4				4	12	
И	4	6	22	5	10	21	2	23	19	11	19	21	20	32	8	13	11	29	29	3	1	17	3	11	1	1			1	3	17	134	
Й	1	1	4	1	3		1	2	4		5	1	2	7	9	7	3	10	2				1	3	2							65	
К	24	1	4	1		4	1	1	26		1	4	1	2	66	2	10	3	7	10			1									36	
Л	25	1	1	1	1	33	2	1	36		1	2	1	8	30	2		3	1	6		4		1			2	30		4	9	49	
М	18	2	4	1	1	21	1	2	23		3	1	3	7	19	5	2	5	3	9	1			2			5	1	1		3	60	
Н	54	1	2	3	3	34			58		3		1	24	67	2	1	9	9	7	1		5	2			36	3			5	28	
О	1	28	84	32	47	15	1	18	12	29	19	41	38	30	9	18	43	50	39	3	2	5	2	12	4	3			2	3	2	161	
П	7					15			4			9		1	46		41	1		6							2					2	1
Р	55	1	4	4	3	37	3	1	24		3	1	3	7	56	2	1	5	9	16		1	1	1	2		8	3			5	11	
С	8	1	7	1	2	25			6		40	13	3	9	27	11	4	11	82	6		1	1	2	2		1	8			17	27	
Т	35	1	27	1	3	31		1	28		5	1	1	11	56	4	26	18	2	10				1			11	21			4	64	
У	1	4	4	4	11	2	6	3	2		8	5	5	5	1	5	7	14	7			1		8	3	2				9	1	51	
Ф	2					2			2						1		1	1														1	
Х	4	1	4	1	3	1		2	3		4	3	3	4	18	5	3	4	2	2	1			1								27	
Ц	3					7			10		2				1					1							1					3	
Ч	12					23			13		2			6						7	1				1				1			3	
Ш	5					11			14		1	2		2	2						1								1			1	
Щ	3					8			6					1						1													
Ы		1	9	1	3	12		2	4	7	3	6	6	3	2	10	3	9	4	1		16		1	2							43	
Ь		2	4	1	1	2		2	2		6		3	13	2	4	1	11	3					1	4				1	3	1	78	
Э											1				1			1	9														
Ю		2	1	2	1			3	1		1		1	1	1	3	1	1	7				1	1		4						26	
Я	1	3	9	1	3	3	1	5	3	2	3	3	4	6	3	6	3	6	10			2	1	4	1	1			1	1	1	97	
-	25	47	124	33	61	25	14	40	73		70	22	59	126	87	149	44	133	65	36	9	12	4	37	7	1			19	1	19		

Знание частот встречаемости пар букв (биграмм) позволяет легко вскрывать шифры табличной перестановки. Истинный порядок следования строк/столбцов в таблице можно восстановить, рассматривая и исключая маловероятные сочетания букв. Кроме того, на основе вероятностей появления биграмм можно рассчитать вероятность следования одной строки (столбца) за другой.

Пусть известно, что криптограмма была получена следующим образом: текст записан в таблицу построчно, осуществлена перестановка столбцов. Тогда, для того, чтобы оценить вероятность $p(i,j)$ следования столбца j непосредственно за столбцом i , надо для каждой строки рассмотреть сочетания символов из этих столбцов. Получим m вероятностей $p(e_{ki}, e_{kj})$ биграмм, где m – число строк шифрующей таблицы, e_{ki}, e_{kj} – символы, стоящие в шифрующей таблице на пересечении k строки и i, j столбца соответственно. Окончательно имеем:

$$p(i, j) = \prod_{k=1}^m p(e_{ki}, e_{kj})$$

Пользуясь этой формулой, можно вычислить вероятности следования друг за другом всех возможных пар столбцов $p(i,j), i \neq j; i, j = 1, \dots, n$, n – число столбцов шифрующей таблицы. Если в исходном тексте j столбец действительно стоит после i -того, то вероятность $p(i,j)$ должна быть, в принципе, больше вероятностей $p(i,k), k \neq j$ и $p(k,j), k \neq i$. Руководствуясь этими соображениями, для таблиц небольшого размера можно не сложно восстановить истинный порядок следования столбцов.

Если текст в шифрующую таблицу записывался в столбец, и переставлялись строки, то интерес представляют символы, составляющие фрагмент осмысленного текста, то есть символы e_{ik}, e_{jk} двух строк одного столбца. Вероятность следования j строки непосредственно за i строкой в этом случае вычисляется как:

$$p(i, j) = \prod_{k=1}^n p(e_{ik}, e_{jk})$$

Если известны не вероятности, а частоты появления биграмм (как, например, в табл.3), можно рассчитать аналогичную статистику для частот.

При проведении криптоанализа двойных перестановок (переставляются и строки, и столбцы шифрующей таблицы) важно, каким образом записывался открытый текст в шифрующую таблицу:

- Если текст записывался построчно, то сначала надо восстановить истинный порядок следования столбцов, затем – строк.
- Если же открытый текст записывался в шифрующую таблицу в столбец, то сначала следует переставлять строки, затем – столбцы.

При этом сама последовательность перестановок (что сначала переставлялось – столбцы или строки) оказывается неважна.

Задание

Дешифровать криптограммы, полученные методами столбцовой и двойной перестановки.

Указания к выполнению практической работы

Для выполнения практической работы рекомендуется использовать файлы *Перестановка.xlsx* и *Двойная перестановка.xlsx*, реализующие расчет статистик на основе данных о частотах биграмм.

Технология выполнения задания

Задание1. Дешифровать криптограмму, полученную методом столбцовой перестановки. Известно, что текст записывался в шифрующую таблицу и считывался построчно, знаки пробела в тексте сохранены.

1. Выбрать текст криптограммы в соответствии с номером варианта (табл.4).

Выполнить анализ криптограммы аналогично рассмотренному далее примеру.

Пример: Известно, что в шифрующей таблице произведена перестановка столбцов, текст записывался и выписывался из шифрующей таблицы построчно. Известно также, что при шифровании пробелы между словами сохранены (символ «_»).

Необходимо дешифровать криптограмму «СВПООЗ-ЛУЙЬСТЬ_ЕДПСКОКАОЙЗ».

Таблица 4

Варианты задания

1.	ОКЕСНВРП_ЫРЕАДЕЫН_В_РСИКО
2.	ДСЛИЕЗТЕА_Д_ЛЬЮВМИ_АОЧХК
3.	НМВИАИ_НЕВЕ_СМСТУОРДИАНКМ
4.	ЕДСЗЬНДЕ_МУБД_УЭ_КТЗЕМНАЫ
5.	СОНРЧОУО_ХДТ_ИЕИ_ВЗКАТРРИ
6.	_ОНКА_БНЬЕЦВЛЕ_К_ТГОАНЕИР
7.	НЗМАЕЕАА_Г_НОТВОССОТЬЯАЛС
8.	РППОЕААДТВЛ_ЕБЬЛНЫЕ_ПА_ВР
9.	ОПЗДЕП_ИХРДОТ_И_ВРИТЧ_САА
10.	ВКЬОСИРЙУ_ОВНЕ_СОАПНИОТС
11.	ПКТИРАОЛНАОИЧ_З_ЕСЬНЕЛНЖО
12.	ИПКСОЕ_ТСМНАЧИ_ОЕН_ГДЕЛА_
13.	АМВИННЪТЛЕАНЕ_ЙОВ_ОПХАРТО
14.	АРЫКЗЫ_КЙТНЛ_ААЫ_ОЛБКЫТРТ
15.	_ПАРИИВИАРЗ_БРА_ИСТЬЛТОЕК
16.	А_ЛНПАУВКЭИ_ЦИАКР_ОВОЕДРИ
17.	ЖВНОАН_АТЗОБСН_БЮ_ФВИИКИЗ
18.	ОТВГОСЕЬТАДВ_С_БЗАТТЕЫАЧ
19.	ЯАМРИТ_ДЖЕХ_СВЕД_ТСУВЕТНО
20.	УЬБДТ_ОЕГТВ_ОЫКЭА_ВКАИУЦИ
21.	ЛТБЕИЛЖЫЕ_ОАПТЖРДУ_ЛМНОА
22.	ИПТКРРАФОГ_ВАИЯАЯ_ЖНУКАНА
23.	ПКЕЕРРПО_ЙУОТ_ИТПСУТЛЯЕИН
24.	ИБЖЗНСД_ТУН_ЕТАНУВЕ_РЫГОЗ
25.	ЕОУРВА_НЬРИАДИЦЕПИ_РНШВЫЕ

2. Длина криптограммы– 25 символов, поэтому предположим, что она была записана с помощью таблицы 5×5. Для дальнейшего выполнения задания рекомендуется воспользоваться файлом *Перестановка.xlsx*, реализующим расчет статистик для оценки порядка следования столбцов.

3. Запишем символы криптограммы построчно в шифрующую таблицу 5×5 (лист *Криптограмма*) – рис. 12.

с	в	п	о	о
з	л	у	й	ь
с	т	ь	_	е
д	п	с	к	о
к	а	о	й	з

Рис. 12. Криптограмма, занесенная в шифрующую таблицу

4. Изучить таблицу статистик на листе *Криптограмма* и высказать гипотезу о порядке следования столбцов шифрующей таблицы:

- В таблице *Статистика (тыс)* – порядок столбцов на листе *Криптограмма* приведены значения получаемых для столбцов статистик.
- На листе *Частоты по столбцам* приведены частоты двухбуквенных сочетаний и расчет статистик для соответствующих столбцов. Например, для последовательно следующих столбцов 1 и 2 (1-2) имеем двухбуквенные сочетания: св, зл, ст, дп, ка, которым соответствуют частоты 7, 1, 82, 3, 24. Результирующее значение статистики 41 328.
- Для облегчения визуального анализа на листе *Криптограмма* отображается значение статистики в тысячах (/1000), то есть 41 (рис. 13).

	1	2	3	4	5
1	--	41	93	0	0
2	0	--	2	0	37 219
3	1	0	--	0	0
4	0	11	0	--	0
5	348	0	0	0	--

Рис. 13. Статистика криптограммы

Для оценки возможности того, что столбец стоит на первом/последнем месте в шифрующей таблице могут быть использованы частоты биграмм вида «_е» и «е_», где е – символ столбца, стоящий соответственно на пересечении первой или последней строки (лист *Частоты биграмм*).

Из анализа значений статистик для примера имеем наиболее вероятные последовательности столбцов: 1-3, 2-5, 5-1 и более слабые 1-2, 4-2, 3-1. Предположения о порядке следования столбцов можно указывать в области *Примечания* на листе *Криптограмма*.

На первом месте скорее всего стоят 3, 1 или 2 столбцы, а на последнем – 3 или 2.

- Посмотрим на символы, стоящие в третьей строке: «сть_е». Скорее всего, мягкий знак стоит в конце слова. Поэтому предположим, что столбец 4 следует за столбцом 3. Учитывая результаты, полученные в предыдущем пункте, предположим следующий порядок столбцов: 3-4-2-5-1.
5. Задать новый порядок следования столбцов, изменяя **только номера** (выделены красным шрифтом) столбцов таблицы *Перестановка столбцов - новый порядок* на листе *Криптограмма*.

В примере будет получена новая таблица, однако текст остается не читаемым (рис. 14):

3	4	2	5	1
п	о	в	о	с
у	й	л	ь	з
ь	_	т	е	с
с	к	п	о	д
о	й	а	з	к

Рис. 14. Новый порядок следования столбцов

В этом случае следует высказать новую гипотезу о порядке следования столбцов, используя анализ получаемого текста.

- Снова обратим внимание на третью строку. Значение частот биграмм «ТЕ» - 31, «СЕ» - 25, «ЕС» - 37, «ЕТ» - 33. Скорее всего, «ь» стоит после сочетания «тес» и представляет окончание глагола «тесь». Переставим в конец столбцы с символами «ь» и «_», сохранив их порядок, то есть зададим новую последовательность столбцов 2-5-1-3-4.

Теперь текст в таблице читается, это «ВОСПОЛЬЗУЙТЕСЬ ПОДСКАЗКОЙ».

6. После расшифрования текста показать его преподавателю.

Задание 2. Дешифровать криптограмму, полученную методом двойной перестановки. Известно, что текст записывался в шифрующую таблицу и считывался построчно, знаки пробела в тексте сохранены.

7. Выбрать текст криптограммы в соответствии с номером варианта (табл.5).Выполнить анализ криптограммы аналогично рассмотренному далее примеру.

Таблица 5

Варианты задания

1.	СЯСЕ__ЛУНЫИАККННОГЯДУЧАТН
2.	МСЕЫ_ЛЫВЕНТОСАНТУЕИ_РЛПОБ
3.	АМНРИД_УЕБСЫ_ЕЙРСООКОТНВ_
4.	ОПЧУЛС_БООНЕВ_ОЖАЕОНЕЩЕИН
5.	ЕШИАНИРЛПГЕЧАВРВ_СЫНА_ЛО
6.	АРАВНРСВЕЕОАВ_ЗАНЯА_КМРЕИ
7.	А_ЛТАВЙООЛСО_ТВ_ШЕЕНЕСТ_Ь
8.	ФИ_ЗИММУЫНУУКБ_Е_ДЫШЫИВЧУ
9.	ВР_ЕСДЕИ_ТПХРОИ_ЗБУАДНУА_
10.	ЩТААЙПЕЕ_ТБГУРРСВЬЕ_ОРЗВВ
11.	АВАРНСЧАА_НЕДВЕДЕРПЕОЙ_ИС
12.	ДОПК_СОПАЛЕИНЛ_ГИНЙОИЖЕ_Т
13.	ЛУАЗИЯНСА_ДТДЕАИ_ШРФЕОНП_
14.	С_ОЯНВ_СЬСЛААВРЧЕАРТОГДЕС
15.	ЗШАФИПРАЛОЕНЖ_ОЬН_ДАРВОНА
16.	КЭЕ_ТДУМБ_ЬСЗЕДНЕЗМАОР_ТУ
17.	_ЕАЛЯРАНВЯАЧДА_ЕРПЕСАНВ_Ч
18.	_И_ЕНТРЗИ_ОКЕВНОДЛЕША_ИМР
19.	РОБДОЕВПС_МСХЪА__ИВПСНИОТ
20.	ЕСДНОГТЕАНН_НЕОВМР_ЕУНПТЕ
21.	_ЙЕСТОВО_НИИНЛАЕТИЖДСОПВ_
22.	НДИАЕОЫЛПНЕ__НВЕАНГТ_ИЗЛА
23.	П_БИРДЛЬНЕВ_ОП_ОПЗДЕВЫГЕА
24.	МДООИТЕЬ_СМТ_НАДТЕСУБЕХНО
25.	АИНАЛЖНОЛЕШФ_ЗИ_УАРОЬСНЕ_

Пример: Известно, что использован шифр двойной перестановки, текст записывался в шифрующую таблицу построчно. Дешифровать криптограмму «ЫОЕЧ-ТТОУ_СНСОРЧТРНАИДЬН_Е».

8. Текст содержит 25 символов, что позволяет записать его в квадратную таблицу 5×5 . Поскольку известно, что запись велась построчно, сначала следует восстановить порядок следования столбцов, а затем – строк. Для выполнения задания рекомендуется воспользоваться книгой *Двойная перестановка.xlsx*, содержащей расчет статистик.
9. Запишем криптограмму построчно в таблицу (лист *Криптограмма*) – рис. 15.

ы	о	е	ч	т
т	о	у	_	с
н	с	о	р	ч
т	р	н	а	и
д	ь	н	_	е

Рис. 15. Исходная криптограмма в шифрующей таблице

10. Провести анализ статистик на листе *Криптограмма* и высказать гипотезу о порядке следования столбцов.
- Анализ статистик показывает, что наиболее вероятны следующие последовательности столбцов: 1-3, 2-4, 3-5, 4-3, 5-1.
 - Проверка на первый последний столбец не проводится, так как порядок строк также изменен.
 - Предположим следующую последовательность следования столбцов: 2-4-3-5-1.
11. Переставим столбцы в указанном порядке, меняя **номера столбцов** таблицы *Перестановка столбцов – новый порядок* (выделены красным) – рис. 16.
- Полученный порядок столбцов, скорее всего, правильный, так как в строках таблицы получили вполне читаемые фрагменты текста «очеты», «срочн», «ранит».

	2	4	3	5	1
1	о	ч	е	т	ы
2	о	–	у	с	т
3	с	р	о	ч	н
4	р	а	н	и	т
5	ь	–	н	е	д

Рис. 16. Криптограмма, записанная с учетом нового порядка следования столбцов

12. Высказать гипотезу о порядке следования строк.

- Фрагмент «срочн» составляет, скорее всего, слово «срочно», таким образом, после 3 строки должна следовать 1 или 2 строка. После строки с фрагментом «ранит», скорее всего, идет строка, начинающаяся с мягкого знака – «ранить» (4-5).
- На основании проверки строк на первую/последнюю (таблица *Частота биграмм – порядок строк*) предположим, что 3 строка идет первой. Тогда порядок строк очевиден: 3-2-4-5-1.

13. Осуществить перестановку строк, задав новые **номера строк** в таблице *Перестановка строк – новый порядок* (выделены красным).

Получен читаемый текст: «СРОЧНО_УСТРАНИТЬ_НЕДОЧЕТЫ».

14. После расшифрования текста показать его преподавателю.

Практическая работа № 3. Изучение шифров простой и многоалфавитной замены (шифр Цезаря и шифр Виженера)

Описание шифров

Шифр простой (одноалфавитной) замены заключается в замене символов алфавита исходного сообщения на новые. При этом один и тот же символ открытого сообщения всегда одним и тем же символом криптограммы. Соответствие между символами алфавита исходного текста и символами алфавита криптограммы может задаваться с помощью таблицы или формулы. Заданное соответствие не меняется на всем протяжении шифрования.

Набор различных символов исходных сообщений называется *нормативным алфавитом*, а соответствующий им набор символов криптограмм – *шифралфавитом* (*алфавитом шифрования*).

Простейшим примером такого шифра является шифр Цезаря, в котором алфавит шифрования получается путем циклического сдвига влево исходного нормативного алфавита на S позиций (рис.17).

порядковый № символа	0	1	2	3	4		22	23	24	25
алфавит исходного текста	a	b	c	d	e	...	w	x	y	z
	↓	↓	↓	↓	↓	...	↓	↓	↓	↓
алфавит шифра	d	e	f	g	h		z	a	b	c
порядковый № символа	3	4	5	6	7		25	0	1	2

Рис. 17. Пример шифра Цезаря

Пронумеровав буквы алфавита, начиная с нуля, получим математическое описание этого шифра:

$$c_i = (a_i + S) \bmod L,$$

где a_i , c_i – i -тый элемент открытого текста и шифртекста соответственно, L – мощность (количество различных символов) нормативного алфавита, S – сдвиг, одинаковый для всех символов, $0 \leq S \leq L-1$. При $S=0$ алфавит шифрования совпадает с нормативным.

Многоалфавитные шифры используют не один, а целый набор алфавитов шифрования, примером многоалфавитной замены является шифр Виженера.

Шифрование осуществляется по таблице, представляющей собой квадратную матрицу размерностью $L \times L$, где L – мощность (число различных символов) используемого алфавита. Первая строка содержит все символы нормативного алфавита в обычном порядке. Каждая следующая строка получается из предыдущей циклическим сдвигом на один символ влево.

На рис. 18 показана таблица Виженера для русского языка (алфавит без буквы «Ё», содержит пробел). В таблице выделены

строки – алфавиты шифрования, используемые, если выбрано ключевое слово «МАЯК».

	0	1	2	3	4	5	6	7	8	9	10	11	12	13	14	15	16	17	18	19	20	21	22	23	24	25	26	27	28	29	30	31	32
0	а	б	в	г	д	е	ж	з	и	й	к	л	м	н	о	п	р	с	т	у	ф	х	ц	ч	ш	щ	ъ	ы	ь	э	ю	я	-
1	б	в	г	д	е	ж	з	и	й	к	л	м	н	о	п	р	с	т	у	ф	х	ц	ч	ш	щ	ъ	ы	ь	э	ю	я	-	а
2	в	г	д	е	ж	з	и	й	к	л	м	н	о	п	р	с	т	у	ф	х	ц	ч	ш	щ	ъ	ы	ь	э	ю	я	-	а	б
3	г	д	е	ж	з	и	й	к	л	м	н	о	п	р	с	т	у	ф	х	ц	ч	ш	щ	ъ	ы	ь	э	ю	я	-	а	б	в
4	д	е	ж	з	и	й	к	л	м	н	о	п	р	с	т	у	ф	х	ц	ч	ш	щ	ъ	ы	ь	э	ю	я	-	а	б	в	г
5	е	ж	з	и	й	к	л	м	н	о	п	р	с	т	у	ф	х	ц	ч	ш	щ	ъ	ы	ь	э	ю	я	-	а	б	в	г	д
6	ж	з	и	й	к	л	м	н	о	п	р	с	т	у	ф	х	ц	ч	ш	щ	ъ	ы	ь	э	ю	я	-	а	б	в	г	д	е
7	з	и	й	к	л	м	н	о	п	р	с	т	у	ф	х	ц	ч	ш	щ	ъ	ы	ь	э	ю	я	-	а	б	в	г	д	е	ж
8	и	й	к	л	м	н	о	п	р	с	т	у	ф	х	ц	ч	ш	щ	ъ	ы	ь	э	ю	я	-	а	б	в	г	д	е	ж	з
9	й	к	л	м	н	о	п	р	с	т	у	ф	х	ц	ч	ш	щ	ъ	ы	ь	э	ю	я	-	а	б	в	г	д	е	ж	з	и
10	к	л	м	н	о	п	р	с	т	у	ф	х	ц	ч	ш	щ	ъ	ы	ь	э	ю	я	-	а	б	в	г	д	е	ж	з	и	й
11	л	м	н	о	п	р	с	т	у	ф	х	ц	ч	ш	щ	ъ	ы	ь	э	ю	я	-	а	б	в	г	д	е	ж	з	и	й	к
12	м	н	о	п	р	с	т	у	ф	х	ц	ч	ш	щ	ъ	ы	ь	э	ю	я	-	а	б	в	г	д	е	ж	з	и	й	к	л
13	н	о	п	р	с	т	у	ф	х	ц	ч	ш	щ	ъ	ы	ь	э	ю	я	-	а	б	в	г	д	е	ж	з	и	й	к	л	м
14	о	п	р	с	т	у	ф	х	ц	ч	ш	щ	ъ	ы	ь	э	ю	я	-	а	б	в	г	д	е	ж	з	и	й	к	л	м	н
15	п	р	с	т	у	ф	х	ц	ч	ш	щ	ъ	ы	ь	э	ю	я	-	а	б	в	г	д	е	ж	з	и	й	к	л	м	н	о
16	р	с	т	у	ф	х	ц	ч	ш	щ	ъ	ы	ь	э	ю	я	-	а	б	в	г	д	е	ж	з	и	й	к	л	м	н	о	п
17	с	т	у	ф	х	ц	ч	ш	щ	ъ	ы	ь	э	ю	я	-	а	б	в	г	д	е	ж	з	и	й	к	л	м	н	о	п	р
18	т	у	ф	х	ц	ч	ш	щ	ъ	ы	ь	э	ю	я	-	а	б	в	г	д	е	ж	з	и	й	к	л	м	н	о	п	р	с
19	у	ф	х	ц	ч	ш	щ	ъ	ы	ь	э	ю	я	-	а	б	в	г	д	е	ж	з	и	й	к	л	м	н	о	п	р	с	т
20	ф	х	ц	ч	ш	щ	ъ	ы	ь	э	ю	я	-	а	б	в	г	д	е	ж	з	и	й	к	л	м	н	о	п	р	с	т	у
21	х	ц	ч	ш	щ	ъ	ы	ь	э	ю	я	-	а	б	в	г	д	е	ж	з	и	й	к	л	м	н	о	п	р	с	т	у	ф
22	ц	ч	ш	щ	ъ	ы	ь	э	ю	я	-	а	б	в	г	д	е	ж	з	и	й	к	л	м	н	о	п	р	с	т	у	ф	х
23	ч	ш	щ	ъ	ы	ь	э	ю	я	-	а	б	в	г	д	е	ж	з	и	й	к	л	м	н	о	п	р	с	т	у	ф	х	ц
24	ш	щ	ъ	ы	ь	э	ю	я	-	а	б	в	г	д	е	ж	з	и	й	к	л	м	н	о	п	р	с	т	у	ф	х	ц	ч
25	щ	ъ	ы	ь	э	ю	я	-	а	б	в	г	д	е	ж	з	и	й	к	л	м	н	о	п	р	с	т	у	ф	х	ц	ч	ш
26	ъ	ы	ь	э	ю	я	-	а	б	в	г	д	е	ж	з	и	й	к	л	м	н	о	п	р	с	т	у	ф	х	ц	ч	ш	щ
27	ы	ь	э	ю	я	-	а	б	в	г	д	е	ж	з	и	й	к	л	м	н	о	п	р	с	т	у	ф	х	ц	ч	ш	щ	ъ
28	ь	э	ю	я	-	а	б	в	г	д	е	ж	з	и	й	к	л	м	н	о	п	р	с	т	у	ф	х	ц	ч	ш	щ	ъ	ы
29	э	ю	я	-	а	б	в	г	д	е	ж	з	и	й	к	л	м	н	о	п	р	с	т	у	ф	х	ц	ч	ш	щ	ъ	ы	ь
30	ю	я	-	а	б	в	г	д	е	ж	з	и	й	к	л	м	н	о	п	р	с	т	у	ф	х	ц	ч	ш	щ	ъ	ы	ь	э
31	я	-	а	б	в	г	д	е	ж	з	и	й	к	л	м	н	о	п	р	с	т	у	ф	х	ц	ч	ш	щ	ъ	ы	ь	э	ю
32	-	а	б	в	г	д	е	ж	з	и	й	к	л	м	н	о	п	р	с	т	у	ф	х	ц	ч	ш	щ	ъ	ы	ь	э	ю	я

Рис. 18. Пример таблицы Виженера

Далее выбирается ключ или ключевая фраза. После чего шифрование осуществляется следующим образом:

- под каждой буквой исходного сообщения последовательно записываются буквы ключа;
- если ключ оказался короче сообщения, его последовательно повторяют пока не будет достигнут конец сообщения;
- каждая буква шифртекста находится на пересечении столбца таблицы, определяемого буквой открытого текста, и строки, определяемой буквой ключа.

Пусть требуется зашифровать открытый текст «ГРУЗИТЕ АПЕЛЬСИНЫ БОЧКАМИ», выбрано ключевое слово «МАЯК» (рис. 19).

Открытый текст Г Р У З И Т Е _ А П Е Л Ь С И Н Ы _ Б О Ч К А М И
Ключ М А Я К М А Я К М А Я К М А Я К М А Я К М А Я К М
Криптограмма П Р С С Ф Т Г Й М П Г Х З С Ж Ч Ж _ _ Ш В К Я Ц Ф

Рис. 19. Шифрование с помощью криптосистемы Виженера

В многоалфавитных шифрах один и тот же символ криптограммы может заменять разные символы открытого текста. Так, в рассмотренном примере буква «С» заменяет в разных случаях буквы «У», «З» и «С»; символ «_» – букву «Б» и символ «_».

Буквы ключа определяют величину смещения символов криптограммы относительно символов открытого текста. Таким образом,

$$c_i = (a_i + S_i) \bmod L,$$

где a_i , c_i – i -тый элемент открытого текста и шифр-текста соответственно, L – мощность (количество различных символов) нормативного алфавита, S_i – сдвиг, определяемый i -тым символом ключевой последовательности. Ключевая последовательность получается периодическим повторением ключевого слова. Например, ключевое слово «МАЯК» порождает последовательность вида «МАЯКМАЯКМАЯК...». S_i – числовой эквивалент соответствующей буквы ключа, $0 \leq S_i \leq L-1$.

Шифр Цезаря является частным случаем шифра Виженера с периодом ключевой последовательности, равным единице (ключ состоит из одной буквы).

Задание

Изучить процедуры шифрования и расшифрования в шифрах Цезаря и Виженера.

Указания к выполнению практической работы

Для выполнения практической работы рекомендуется использовать файлы *Алфавит.xlsx*, содержащий алфавит русского языка.

Технология выполнения задания

Задание 1. Зашифровать слово с помощью шифра Цезаря.

1. В приложении MSExcel открыть файл *Алфавит.xlsx* или создать книгу, содержащую пронумерованные символы русского алфавита: в первом столбце ввести номера от 0 до 32, во втором – символы алфавита по порядку, в третьем – снова нумерацию от 0 до 32. В книгу отформатировать (уменьшить) ширину столбцов для удобного введения в них текста побуквенно (рис. 20), для облегчения данной задачи можно использовать копирование форматов.

	A	B	C	D	E	F	G	H	I	J	K	L	M	N	O	P	Q	R	S
1		0 а	0																
2		1 б	1																
3		2 в	2																
4		3 г	3																
5		4 д	4																
6		5 е	5																
7		6 ё	6																
8		7 ж	7																
9		8 з	8																
10		9 и	9																
11		10 й	10																

Рис. 20. Пример содержания и форматирования книги «алфавит»

2. Выбрать значение ключа равным номеру варианта.
3. Зашифровать слово «семена» с помощью шифра Цезаря с выбранным ключом:
 - ввести в ячейки первой строки отформатированной области побуквенно шифруемое слово, важно, чтобы символы алфавита в таблице и символы вводимого слова были набраны в одном регистре;
 - строкой ниже получить числовой код символов шифруемого слова с помощью функции **ВПР**:
 - первым параметром (*Искомое_значение*) функции назначить ссылку на ячейку с текущим символом шифруемого слова,

- вторым параметром (*Таблица*) функции назначить ссылку на таблицу с алфавитом начиная со второго столбца (2 и 3 столбцы), сделать ссылку абсолютной, нажав кнопку F4,
- значение третьего параметра (*Номер_столбца*) задать равным 2,
- в качестве значения четвертого параметра (*Интервальный_просмотр*) ввести слово *ложь*, например, **=ВПР(F1;\$B\$1:\$C\$33;2;ЛОЖЬ)**, скопировать функцию для всех символов шифруемого слова (рис. 21),

F2		fx =ВПР(F1;\$B\$1:\$C\$33;2;ЛОЖЬ)												
	A	B	C	D	E	F	G	H	I	J	K	L	M	
1		0 а	0			г	л	а	г	о	л			
2		1 б	1			3	12	0	3	15	12			
3		2 в	2											

Рис. 21. Пример вычисления числового кода символа

- строкой ниже получить код символа криптограммы, сложив по модулю 33 полученный код текущего символа со значением ключа:
 - ввести значение ключа,
 - во второй строке под текущим символом шифруемого слова вставить функцию **ОСТАТ**,
 - первым параметром (*Число*) функции указать сумму ячейки с кодом шифруемого символа и ячейки со значением ключа (ссылку на значение ключа сделать абсолютной),
 - второй параметр (*Делитель*) задать равным 33, например, **ОСТАТ(F2+\$E\$3;33)**, скопировать сформированную функцию **ОСТАТ** для всех символов шифруемого слова (рис.22).

F3		fx =ОСТАТ(F2+\$E\$3;33)												
	A	B	C	D	E	F	G	H	I	J	K	L	M	
1		0 а	0			г	л	а	г	о	л			
2		1 б	1			3	12	0	3	15	12			
3		2 в	2		15	18	27	15	18	30	27			
4		3 г	3											
5		4 д	4											

Рис. 22. Пример вычисления кода криптограммы, ключ равен 15

- строкой ниже с помощью функции ВПР перевести полученный код криптограммы в символьный вид:
 - первым параметром функции назначить ссылку на ячейку с текущим кодом криптограммы,
 - вторым параметром функции назначить ссылку на таблицу с алфавитом начиная с первого столбца (1 и 2 столбцы), сделать ссылку на таблицу абсолютной,
 - значение третьего параметра (*Номер_столбца*) задать равным 2,
 - в качестве значения четвертого параметра (*Интервальный_просмотр*) ввести слово *ложь*, например, **=ВПР(F3;\$A\$1:\$B\$33;2;ЛОЖЬ)**, скопировать функцию для всех символов шифруемого слова (рис. 23) – криптограмма получена.

F4		fx =ВПР(F3;\$A\$1:\$B\$33;2;ЛОЖЬ)												
	A	B	C	D	E	F	G	H	I	J	K	L	M	
1	0 а	0				г	л	а	г	о	л			
2	1 б	1				з	12	0	з	15	12			
3	2 в	2			15	18	27	15	18	30	27			
4	3 г	3				с	ь	о	с	э	ь			
5	4 д	4												
6	5 е	5												

Рис. 23. Пример текста, зашифрованного криптосистемой Цезаря

4. Проанализировать полученный текст криптограммы, обратив внимание на повторяющиеся символы.

Задание 2. Расшифровать криптограмму, полученную с помощью шифра Цезаря.

5. Выбрать значение ключа шифрования и криптограмму из таблицы 6 в соответствии с номером варианта.

Варианты задания

№ варианта	Ключ шифрования	Криптограмма
1.	31	п ж й ж и м л
2.	29	ж ь и б з е ы
3.	28	ё а з к д и ю
4.	27	е ь к н л я ё ц
5.	26	п ю ж ж з к л х
6.	25	й л н ж й к ж в
7.	24	ж ё г ё й е ё
8.	23	з я щ д ц в
9.	22	е ь ё ь щ х м х
10.	21	е г ж ф к э у
11.	20	ы у г ь е ю у
12.	19	ф б г б у ч ь
13.	18	э ь г ь з с
14.	17	с х у х э я г
15.	16	я ю ы ш ё ш о
16.	15	а ч н ь ч у
17.	14	я ц а б н д ц м
18.	13	ю х ь ы ь х щ
19.	2	й в г в д в
20.	11	т к л щ э к
21.	10	ф й ц о ь й
22.	9	ь ц с х ч у
23.	3	ь з о с е з н
24.	7	о х т х щ х
25.	6	ч к ц к ж ц ф

6. Расшифровать криптограмму выбранным ключом:

- ввести в ячейки строки отформатированной области побуквенно текст криптограммы, важно, чтобы символы алфавита в таблице и символы вводимого слова были набраны в одном регистре;
- строкой ниже получить числовой код символов шифруемого слова с помощью функции **ВПР** (аналогично п.3);
- строкой ниже получить код символа расшифрованного текста, вычтя по модулю 33 значение ключа из полученного кода текущего символа криптограммы, используя функцию **ОСТАТ** (рис. 24).

F8		fx =ОСТАТ(F7-ЕЕ\$8;33)													
	A	B	C	D	E	F	G	H	I	J	K	L	M	N	
5		4 д	4												
6		5 е	5			ц	и	ф	и	р	т	о			
7		6 ё	6			23	9	21	9	17	19	15			
8		7 ж	7		4	19	5	17	5	13	15	11			
9		8 з	8												
10		9 и	9												

Рис. 24. Пример вычисления кода открытого текста, ключ равен 4

- строкой ниже с помощью функции **ВПР** перевести полученный код криптограммы в символьный вид (аналогично п.3, рис.25). Критерием правильности расшифрования является получение осмысленного слова.

F9		fx =ВПР(F8;\$A\$1:\$B\$33;2;ЛОЖЬ)													
	A	B	C	D	E	F	G	H	I	J	K	L	M	N	
5		4 д	4												
6		5 е	5			ц	и	ф	и	р	т	о			
7		6 ё	6			23	9	21	9	17	19	15			
8		7 ж	7		4	19	5	17	5	13	15	11			
9		8 з	8			т	е	р	е	м	о	к			
10		9 и	9												
11		10 й	10												

Рис. 25. Пример расшифрования текста

Задание 3. Зашифровать слово с помощью шифра Виженера.

7. Выбрать значение ключа шифрования из таблицы 7 в соответствии с номером варианта.

Таблица 7

Варианты задания

№ варианта	Ключ шифрования	Криптограмма
1.	слон	г ф ъ а ц ю ч ш с
2.	клин	х ф й т ы щ н а у ц и
3.	смех	ю м ч ъ ю м ч ю ъ м
4.	звон	з т ч в ф ж б ц т в
5.	приз	м ю н ш т х ы р ъ р
6.	лист	ю н э ч ш н д г ф з
7.	свет	ь р я е п н э с ш н с

8.	вой	фухжртёучку
9.	мир	юкхячфхчф
10.	час	ангйаэгязая
11.	кол	кюрцькбчк
12.	слово	ьъьцчхрьшчсчкпэгюк
13.	клуб	бряпьюбпьюп
14.	стул	хбеюевбъгеп
15.	флаг	фцтцфчьргэтя
16.	дрель	хтурюфхсрйсяцюш
17.	цена	буюрыпанецаь
18.	парус	биэацврщкяюсгп
19.	скунс	юшвращшуеяаьёй
20.	кот	чэащюбцчс
21.	право	ухлрюаяийрюфсфрю
22.	куча	оввучшетщвшоывй
23.	мост	ыралсрацюбуб
24.	окно	хупэбшьрэоябрщ
25.	глаз	пщоксуалггнцфюь

8. Зашифровать слово «алфавит» с помощью шифра Виженера с выбранным ключом:

- ввести в ячейки строки отформатированной области побуквенно шифруемое слово, важно, чтобы символы алфавита в таблице и символы вводимого слова были набраны в одном регистре;
- строкой ниже получить числовой код символов шифруемого слова с помощью функции **ВПР**(аналогично п.3);
- строкой ниже ввести побуквенно ключ шифра Виженера, циклически повторяя его, пока не будет достигнут конец шифруемого слова (рис.26);

	A	B	C	D	E	F	G	H	I	J	K	L	M	N
10		9 и	9											
11		10 й	10			а	л	ф	а	в	и	т		
12		11 к	11			0	12	21	0	2	9	19		
13		12 л	12			с	ы	р	с	ы	р	с		
14		13 м	13											

Рис. 26. Пример ключевой строки шифра Виженера (ключ «сыр»)

- строкой ниже получить числовой код символов ключевой строки с помощью функции **ВПР**(аналогично п.3);
- строкой ниже получить код символа криптограммы, сложив по модулю 33 полученный код текущего символа шифруемого слова с кодом текущего символа ключевой строки, используя функцию **ОСТАТ**(рис.27);

F15		fx =ОСТАТ(F14+F12;33)													
	A	B	C	D	E	F	G	H	I	J	K	L	M	N	
10		9 и	9												
11		10 й	10			а	л	ф	а	в	и	т			
12		11 к	11			0	12	21	0	2	9	19			
13		12 л	12			с	ы	р	с	ы	р	с			
14		13 м	13			18	28	17	18	28	17	18			
15		14 н	14			18	7	5	18	30	26	4			
16		15 о	15												

Рис. 27. Пример вычисления кода криптограммы шифра Виженера

- строкой ниже с помощью функции **ВПР** перевести полученный код криптограммы в символьный вид (аналогично п.3).

Задание 4. Расшифровать криптограмму, полученную с помощью шифра Виженера.

9. Выбрать значение ключа шифрования и криптограмму из таблицы 7 в соответствии с номером варианта.

10. Расшифровать криптограмму выбранным ключом:

- ввести в ячейки строки отформатированной области побуквенно текст криптограммы, важно, чтобы символы алфавита в таблице и символы вводимого слова были набраны в одном регистре;
- строкой ниже получить числовой код символов шифруемого слова с помощью функции **ВПР** (аналогично п.3);
- строкой ниже сформировать ключевую строку (аналогично п.8);
- строкой ниже получить числовой код символов ключевой строки с помощью функции **ВПР**(аналогично п.3);
- строкой ниже получить код символа открытого текста, вычтя по модулю 33 код текущего символа ключевой строки из кода-

текущего символа криптограммы, используя функцию **ОСТАТ**(рис.28);

F22		fx		=ОСТАТ(F19-F21;33)														
	A	B	C	D	E	F	G	H	I	J	K	L	M	N	O	P	Q	R
17	16	п	16															
18	17	р	17			б	а	б	ц	м	я	в	н	щ	з	ы		
19	18	с	18			1	0	1	23	13	32	2	14	26	8	28		
20	19	т	19			с	ы	р	с	ы	р	с	ы	р	с	ы		
21	20	у	20			18	28	17	18	28	17	18	28	17	18	28		
22	21	ф	21			16	5	17	5	18	15	17	19	9	23	0		
23	22	х	22															

Рис. 28. Пример вычисления кода открытого текста шифра Виженера

- строкой ниже с помощью функции **ВПР** перевести полученный код криптограммы в символьный вид (аналогично п.3). Критерием правильности расшифрования является получение осмысленного слова.
11. Показать полученные значения криптограмм и открытых текстов преподавателю.

Практическая работа №4. Криптоанализ шифра простой замены

Описание шифра и рекомендации по криптоанализу

Шифр простой (одноалфавитной) замены – один из древнейших. Частным случаем одноалфавитной замены является шифр Цезаря.

Рассмотрим случай, когда соответствие между нормативным алфавитом и алфавитом шифрования задается таблицей.

Пусть соответствию между нормативным и шифрующим алфавитом задано таблицей 8. Зашифруем слово «ЗВЕЗДА».

Таблица 8

Пример одноалфавитной замены

нормативный алфавит	а	б	в	г	д	е	ж	з	и	й	к	л	м	н	о	п	...
алфавит шифрования	ф	к	с	э	и	у	х	п	о	б	ь	р	а	щ	з	г	...

Исходное сообщение: З В Е З Д А

Криптограмма: П С У П И Ф

Число вариантов ключа в таком шифре достаточно велико, однако криптоанализ осмысленных текстов не представляет большого труда, поскольку шифр простой замены сохраняет статистические характеристики исходного сообщения. Анализ шифра простой замены основан на использовании статистических закономерностей естественного языка. Так, например, известно, что в русском языке чаще всего встречается буквы «О», «А» и «Е», а наиболее редки «Ц», «Щ», «Э», «Ф» (без учета «Ё» и «Ъ»). Частоты букв русского языка в алфавите с символом пробела приведены в табл.9.

Таблица 9

Частоты символов русского языка (с пробелом)

Символ	Частота	Символ	Частота	Символ	Частота	Символ	Частота
-	0,175	Р	0,040	У	0,021	Х	0,009
О	0,089	В	0,038	Я	0,018	Ж	0,007
Е,Ё	0,072	Л	0,035	Ы	0,016	Ю	0,006
А	0,062	К	0,028	Ь,Ъ	0,014	Ш	0,006
И	0,062	М	0,026	Б	0,014	Ц	0,004
Т	0,053	Н	0,025	Г	0,013	Щ	0,003
Н	0,053	Д	0,025	Ч	0,012	Э	0,003
С	0,045	П	0,023	Й	0,010	Ф	0,002

Шифры простой замены обладают важным свойством: они не нарушают статистических характеристик языка исходного текста, то есть частоты появления символов, а также k -буквенных сочетаний (k -грамм) сохраняются. Это позволяет криптоаналитику получить открытый текст при помощи *частотного анализа*. Метод частотного анализа заключается в том, что наиболее часто встречающиеся буквы криптограммы заменяются наиболее вероятными символами нормативного алфавита.

Неравновероятность k -грамм (и даже слов) тесно связана с избыточностью текста на естественном языке – наличием в нем большого числа повторений отдельных фрагментов текста: корней, окончаний, суффиксов, слов и фраз. Для русского языка

наиболее частыми фрагментами являются биграммы и триграммы:

СТ, НО, НЕ, ЕН, ТО, НА, ОВ, НИ, РА, ВО, КО, ПО
СТО, ЕНО, НОВ, ТОВ, ОВО, ОВА, ОГО, ПРО, АТЬ, ЕНИ

Следует, однако, отметить, что частоты появления символов в конкретном тексте могут отличаться от стандартных, и достаточно существенно. Эти отличия могут проявиться тем сильнее, чем короче сообщение. Поэтому частотный анализ коротких сообщений иногда бывает весьма затруднителен.

Приведем некоторые советы по выполнению частотного анализа русских текстов:

1. Сначала следует подсчитать частоты появления каждого символа в криптограмме. Далее следует сопоставить полученные значения с таблицей стандартных частот русского языка (табл.9). Совпадение может быть не точным, однако возможно определить наиболее часто встречающиеся символы. Если нормативный алфавит включает пробел, то наиболее частый символ – это «_» (появляется с частотой более 15%), далее следуют гласные «О» и «Е». Можно предположить, что следующие по частоте символы – также гласные: «А» и «И». Также можно сделать предположение относительно наиболее редко встречающихся символов (менее 1%) – скорее всего, это согласные: «Х», «Ж», «Ш», «Ц», «Щ», «Ф», или «Э», «Ю».
2. Если, как это часто бывает, прямое сопоставление частот не приводит сразу к раскрытию текста сообщения, рекомендуется обратить внимание на пары повторяющихся букв. В русском языке чаще всего повторяются буквы **нн**, **сс** (в середине слов, перед окончанием); **ии**, **ее**, **мм** (как в середине слов, так и окончание), **оо** (только в середине слов), **вв** (в начале или в середине слов).
3. Если в шифртексте имеются пробелы между словами, то можно постараться определить слова, состоящие из одной, двух или трех букв. Таблица 10 содержит частотный список (в порядке убывания частоты появления в текстах) первых однобуквенных, двухбуквенных, трехбуквенных и четырехбуквенных лексем русского языка.

Лексема охватывает все словоформы (изменение слова по падежам и спряжение для глаголов). Полный частотный список лексем можно найти, например, в «Новом частотном словаре русской лексики»¹.

Таблица 10

Частотный список коротких лексем русского языка

Однобуквенные	Двухбуквенные		Трехбуквенные		Четырехбуквенные
в	не	за	что	год	быть
я	на	от	как	все	этот
с	он	же	это	его	весь
а	по	вы	они	еще	свой
к	но	ты	она	или	мочь
у	мы	бы	так	уже	себя
о	из	ее	для	вот	если

Следует обратить внимание и на слова-палиндромы (слова, читающиеся одинаково как слева направо, так и справа налево), а также на другие слова с особенностями орфографии, например, на слова, пишущиеся через дефис (табл. 11).

Таблица 11

Слова-палиндромы, слова с дефисами

Слова-палиндромы	Слова с дефисами	
как	как-то, что-то, какой-то, кто-то, чего-то, когда-то	пол-яблока
еще	из-за, из-под	давай-ка
или	все-таки, прямо-таки	северо-запад, юго-восток
ее	какой-нибудь, что-нибудь, кто-нибудь	научно-исследовательский, железно-бетонный, сине-зеленый
оно	во-первых, во-вторых	вице-президент, генерал-лейтенант

¹Ляшевская О.Н., Шаров С.А., Частотный словарь современного русского языка (на материалах Национального корпуса русского языка). М.: Азбуковник, 2009: [Электронный ресурс] URL: <http://dict.ruslang.ru/freq.php>

еле	по-видимому по-своему, по-моему, по-нашему	по-французски, по-немецки, по-хозяйски
тот, тут	вот-вот, еле-еле, чуть-чуть, ха-ха	по-старому, по-новому, по-хорошему
лил, летел, лишил	как-либо, куда-либо, какой-либо	давным-давно, мало-помалу, крепко-накрепко, крест-накрест, как-никак, волей-неволей, нежданно-негаданно
иди	кое-где, кое-кто, кое-что	

4. При анализе криптограммы рекомендуется учитывать не только частность отдельных символов, но и частоту появления k -грамм (табл.1,3), сочетание гласных и согласных (табл.2), а если в тексте оставлены пробелы – то и частоты первых/последних букв. Так, например, в качестве первых букв слова чаще всего встречаются буквы «С», «П», «В», «Н», «О», «И», «М» и «К», первыми буквами не могут быть «Ы» и «Ь», «Ъ», что отличается от данных общей частотной таблицы (табл. 9).
5. Тексты разных жанров имеют свои особенности. Если это возможно, следует подготовить таблицу частотности текстов, учитывающую жанровые особенности сообщения, которое требуется дешифровать. Например, в телеграфных сообщениях обычно опускают предлоги и союзы, отсутствие таких слов будет снижать частотность некоторых наиболее часто встречающихся букв. В этом случае следует использовать частотную таблицу, созданную на основе подсчета статистики других телеграфных сообщений.
6. Если есть возможность сделать некоторые предположения о содержании открытого текста, можно попытаться угадать его типовые фрагменты или формулировки (часто присутствуют, например, в деловой переписке, распорядительных документах), помогающие решить задачу криптоанализа.
7. В некоторых случаях частотность букв криптограммы уже совпадает с частотностью букв в таблице, и все же зашифрованный текст не читаем. В этом случае, скорее всего, использован не шифр замены, а шифр перестановки. Все буквы остались теми же, но находятся не на своих местах.

Рассмотрим пример частотного анализа шифра простой замены. Пусть дан текст криптограммы:

«УТЦПАКПЩНСЩГАЛЙЮБШИАРБУТЦПФБСНЫАШЙ
АЬЙЛБАНСЙСТНСТОБНДЩМЩАЙШЙЖТЛЙАСБДНСЙАШ
ЩАСЩЖЕДЩАБНЖТАЩЩАРЩНСЙСЩОЩЩАРЖТШ-
ШИГ».

Известно, что нормативный алфавит содержит пробел.

Подсчитаем частоты появления различных символов в криптограмме и проведем их сравнение со стандартными частотами (табл.12):

Таблица 12

Сопоставление частот

Частоты появления символов в криптограмме												
Символ	А	Щ	С	Й	Ш	Н	Б	Т	Ж	Д	Р	...
Частота	0,131	0,103	0,093	0,084	0,075	0,075	0,065	0,065	0,037	0,028	0,028	
Стандартные частоты												
Символ	_	О	Е	А	И	Н	Т	С	Р	В	Л	...
Частота	0,175	0,089	0,072	0,062	0,062	0,053	0,053	0,045	0,04	0,038	0,035	

Заменяем два наиболее часто встречающихся символа криптограммы: «А» – на символ пробела «_» и «Щ» – на «О». Получим соответствие:

У Т Ц П А К П Щ Н С Щ Г А Л Й Ю Б Ш И А Р Б У Т Ц П Ф Б С
 -
 Н Ы А Ш Й А Ь Й Л Б А Н С Й С Т Н С Т О Б Н Д Щ М Щ А Й Ш
 -
 Й Ж Т Л Й А С Б Д Н С Й А Ш Щ А С Щ Ж Е Д Щ А Б Н Ж Т А Щ
 -
 Ш А Р Щ Н С Й С Щ О Ш Щ А Р Ж Т Ш Ш И Г
 - _ - О - - - - - О - - - О _ - - - - - - - - - - - - -

Обратим внимание на двухбуквенные слова «Ш Щ» и «Щ Ш», а также на сдвоенное «Ш Ш» в последнем слове. Поскольку «Щ» заменено на букву «О», то «Ш» – согласная, может быть буквой «Н» или «Т», «Д», «П». Скорее всего это «Н», в этом

случае последнее слово – прилагательное, а «НН» стоит перед окончанием. Сделаем замену «Ш» – «Н».

У Т Ц П А К П Щ Н С Щ Г А Л Й Ю Б Ш И А Р Б У Т Ц П Ф Б С
 - - - - - о - - о - - - - - н - - - - - - - - - -
 Н Ы А Ш Й А Ъ Й Л Б А Н С Й С Т Н С Т О Б Н Д Щ М Щ А Й Ш
 - - - - - н - - - - - - - - - - - - - - - - о - о - - н
 Й Ж Т Л Й А С Б Д Н С Й А Ш Щ А С Щ Ж Е Д Щ А Б Н Ж Т А Щ
 - - - - - - - - - - - н о - - о - - - о - - - - - о
 Ш А Р Щ Н С Й С Щ О Ш Щ А Р Ж Т Ш Ш И Г
 н - - о - - - - о - н о - - - - н н - -

Можно предположить, что стоящее на конце седьмого слова сочетание «Щ М Щ» – это окончание «ОГО» прилагательного, тогда «М» – «Г». Если это так, то следующее за прилагательным слово, скорее всего, существительное мужского рода в родительном падеже, и оканчивается на «А». Отсюда «Й» – «А». Данное предположение не противоречит таблице частот.

Тогда:

У Т Ц П А К П Щ Н С Щ Г А Л Й Ю Б Ш И А Р Б У Т Ц П Ф Б С
 - - - - - о - - о - - - а - - н - - - - - - - - - -
 Н Ы А Ш Й А Ъ Й Л Б А Н С Й С Т Н С Т О Б Н Д Щ М Щ А Й Ш
 - - - - - н а - - а - - - а - - - - - - - о г о - а н
 Й Ж Т Л Й А С Б Д Н С Й А Ш Щ А С Щ Ж Е Д Щ А Б Н Ж Т А Щ
 а - - - а - - - - - а - н о - - о - - - о - - - - - о
 Ш А Р Щ Н С Й С Щ О Ш Щ А Р Ж Т Ш Ш И Г
 н - - о - - а - о - н о - - - - н н - -

Пятым словом является предлог «НА», поэтому следующее слово оканчивается, скорее всего, на «Е». Заменяем «Б» – «Е».

У Т Ц П А К П Щ Н С Щ Г А Л Й Ю Б Ш И А Р Б У Т Ц П Ф Б С
 - - - - - о - - о - - - а - е н - - е - - - - - е -
 Н Ы А Ш Й А Ъ Й Л Б А Н С Й С Т Н С Т О Б Н Д Щ М Щ А Й Ш
 - - - - - н а - - а - е - - - а - - - - - - е - - о г о - а н
 Й Ж Т Л Й А С Б Д Н С Й А Ш Щ А С Щ Ж Е Д Щ А Б Н Ж Т А Щ
 а - - - а - - е - - - а - н о - - о - - - о - е - - - - о
 Ш А Р Щ Н С Й С Щ О Ш Щ А Р Ж Т Ш Ш И Г
 н - - о - - а - о - н о - - - - н н - -

Рассмотрим слово «АНА - - - А». Предположим, что это слово «АНАЛИЗА». Сделаем замены: «Ж» – «Л», «Т» – «И», «Л» – «З». Получили:

У Т Ц П А К П Щ Н С Щ Г А Л Й Ю Б Ш И А Р Б У Т Ц П Ф Б С
 - и - - _ - - о - - о - _ з а - е н - _ - е - и - - - е -
 Н Ы А Ш Й А Ъ Й Л Б А Н С Й С Т Н С Т О Б Н Д Щ М Щ А Й Ш
 - - _ н а _ - а з е _ - - а - и - - и - е - - о г о _ а н
 Й Ж Т Л Й А С Б Д Н С Й А Ш Щ А С Щ Ж Е Д Щ А Б Н Ж Т А Щ
 а л и з а _ - е - - - а _ н о _ - о л - - о _ е - л и _ о
 Ш А Р Щ Н С Й С Щ О Ш Щ А Р Ж Т Ш Ш И Г
 н _ - о - - а - о - н о _ - л и н н - -

Слово «Е - ЛИ» – это, скорее всего «ЕСЛИ», последнее слово «-ЛИНН - -» похоже на «ДЛИННЫЙ», а в словосочетании «НА - АЗЕ» (АНАЛИЗА) – стоит слово «БАЗЕ». Сделаем соответствующие замены: «Н» – «С», «Р» – «Д», «И» – «Ы», «Г» – «Й», «Ъ» – «Б».

У Т Ц П А К П Щ Н С Щ Г А Л Й Ю Б Ш И А Р Б У Т Ц П Ф Б С
 - и - - _ - - о с - о й _ з а - е н ы _ д е - и - - - е -
 Н Ы А Ш Й А Ъ Й Л Б А Н С Й С Т Н С Т О Б Н Д Щ М Щ А Й Ш
 с - _ н а _ б а з е _ с - а - и с - и - е с - о г о _ а н
 Й Ж Т Л Й А С Б Д Н С Й А Ш Щ А С Щ Ж Е Д Щ А Б Н Ж Т А Щ
 а л и з а _ - е - с - а _ н о _ - о л - - о _ е с л и _ о
 Ш А Р Щ Н С Й С Щ О Ш Щ А Р Ж Т Ш Ш И Г
 н _ д о с - а - о - н о _ д л и н н ы й

Обратим внимание на слово «С - А - ИС - И - ЕС - ОГО» (АНАЛИЗА), что похоже на слово «СТАТИСТИЧЕСКОГО», если это так, то читается и слово «ДОС - А - О - НО» – «ДОСТАТОЧНО». Сделаем замены: «С» – «Т», «О» – «Ч», «Д» – «К». Получили:

У Т Ц П А К П Щ Н С Щ Г А Л Й Ю Б Ш И А Р Б У Т Ц П Ф Б С
 - и - - _ - - о с т о й _ з а - е н ы _ д е - и - - - е т
 Н Ы А Ш Й А Ъ Й Л Б А Н С Й С Т Н С Т О Б Н Д Щ М Щ А Й Ш
 с - _ н а _ б а з е _ с т а т и с т и ч е с к о г о _ а н
 Й Ж Т Л Й А С Б Д Н С Й А Ш Щ А С Щ Ж Е Д Щ А Б Н Ж Т А Щ
 а л и з а _ т е к с т а _ н о _ т о л - к о _ е с л и _ о
 Ш А Р Щ Н С Й С Щ О Ш Щ А Р Ж Т Ш Ш И Г
 н _ д о с т а т о ч н о _ д л и н н ы й

Теперь, заметив, что первое и четвертое слова криптограммы имеют общую последовательность букв «УТЦП», и, исходя из контекста, не сложно сделать оставшиеся замены. Получили открытый текст: «ШИФР ПРОСТОЙЗАМЕНЫДЕШИФРУЕТСЯ НА БАЗЕ СТАТИСТИЧЕСКОГО АНАЛИЗА ТЕКСТА НО ТОЛЬКО ЕСЛИ ОН ДОСТАТОЧНО ДЛИННЫЙ».

В таблице 13 приведен ключ шифра – соответствие между символами нормативного алфавита и алфавита шифрования, по которому проводится их замена. Вопросительные знаки соответствуют буквам, ни разу не встретившимся в тексте криптограммы.

Таблица 13

Ключ шифра простой замены из примера

| | | | | | | | | | | | | | | | | |
|---------------------|---|---|---|---|---|---|---|---|---|---|---|---|---|---|---|---|
| Нормативный алфавит | _ | А | Б | В | Г | Д | Е | Ж | З | И | Й | К | Л | М | Н | О |
| Алфавит шифрования | ? | _ | е | ? | й | к | ь | л | ? | ы | а | п | з | г | с | ч |
| Нормативный алфавит | П | Р | С | Т | У | Ф | Х | Ц | Ч | Ш | Щ | Ы | Ь | Э | Ю | Я |
| Алфавит шифрования | р | д | т | и | ш | у | ? | ф | ? | н | о | я | б | ? | м | ? |

Задание

Дешифровать криптограмму, полученную шифром простой замены. Символы криптограммы закодированы двузначными числами. В тексте криптограммы сохранены пробелы и пунктуация. Символ пробела и знаки препинания в нормативный алфавит не входят.


Указания к выполнению практической работы

Для выполнения практической работы рекомендуется использовать файл *Простая замена.xlsx*. Тексты криптограмм для анализа приведены в Приложении 1.

Технология выполнения задания

1. Открыть книгу MSExcel*Простая замена.xlsx*, в строке предупреждения включить выполнение макросов.
2. Скопировать текст криптограммы из Приложения 1 в соответствии с номером варианта.

3. Перейти на лист *Загрузить криптограмму* и выбрать ячейку **В3**. Установить курсор мыши в строку формул, вставить в нее скопированный текст и нажать Enter. Затем нажать кнопку **Загрузить криптограмму**.
4. После загрузки криптограммы будет открыт лист *Криптограмма*. Под символами криптограммы в процессе расшифрования должны отображаться символы открытого текста. Первоначально отображаются знаки #, что указывает на то, что не установлено никаких соответствий между символами криптограммы и символами нормативного алфавита.

ЗАМЕЧАНИЕ: В силу особенностей реализации книги *Простая замена.xlsx*, текст криптограммы, наряду с цифрами – символами алфавита шифрования должен содержать только знаки пробела, двойных кавычек, «.», «,», «;», «:», «!», «-». Если текст содержит другие знаки (например, «?», скобки, «...» и т.п.), после загрузки криптограммы следует очистить ячейки, содержащие эти символы, с помощью клавиши Del. Нельзя использовать операцию вырезки , используйте только операцию копирования и клавишу Del.

5. Подсчитать частоты появления символов криптограммы:
 - Двухзначные числа, составляющие криптограмму, последовательно занести в столбец **G** таблицы *Назначить* на листе *Частоты символов*. По мере занесения чисел соответствующие им знаки # на листе *Криптограмма* будут заменены на символ подчеркивания «_». Заносить в таблицу следует только те числа, для которых отображается знак #.
 - После того, как все символы шифралфавита занесены в таблицу *Назначить* (о чем свидетельствует отсутствие знаков # на листе *Криптограмма*), скопировать значения из столбца **G** таблицы в столбец **A** таблицы *Статистика - Криптограмма* на листе *Частоты символов*. В столбце **B** отобразятся частоты встречаемости в криптограмме символов шифралфавита (использованных для шифрования текста двухзначных чисел).
6. После того, как все символы криптограммы занесены в таблицы *Криптограмма* и *Назначить*, следует снять защиту с листа *Частоты символов*. Для этого перейти на лист *Частоты сим-*

волов и выполнить команду **Рецензирование/Снять защиту листа**.

7. На листе *Частоты символов* с помощью команды **Данные/Сортировка** отсортировать таблицу *Криптограмма* по столбцу *Част* в порядке убывания частот (внимание, выделяйте всю таблицу!), а таблицу *Назначить* – по столбцу *Крипт* в порядке возрастания значений символов шифр-алфавита.
8. После сортировки установить защиту листа *Частоты символов* с помощью команды **Рецензирование/Защитить лист**.
9. На листе *Частоты символов* приведены стандартные частоты символов русского языка для нормативного алфавита без пробела. Диаграммы позволяют провести визуальное сравнение стандартных частот и частот криптограммы.
10. Высказать предположение относительно соответствия наиболее часто встречающихся символов буквам «О» и «Е» и занести эти буквы в таблицу *Назначить* в столбец **Нрядом** с нужными символами шифралфавита. Буквы отобразятся на листе *Криптограмма* в соответствующих местах текста.

ЗАМЕЧАНИЕ: Поскольку текст криптограммы не слишком велик, следует учесть, что закономерности русского языка могут проявляться в нем не в строгом соответствии с таблицей стандартных частот.

11. Проанализировать полученные фрагменты теста на листе *Криптограмма* с точки зрения закономерностей русского языка и оценить правильность выдвинутой гипотезы о соответствии символов. Если имеется несоответствие, следует изменить назначение букв символам шифралфавита в таблице *Назначить* на листе *Частоты символов*.
12. Используя рекомендации по криптоанализу, последовательно выдвинуть гипотезы относительно соответствия между другими символами криптограммы и буквами русского языка, каждый раз:
 - задавая соответствие в таблице *Назначить* на листе *Частоты символов*,
 - проводя анализ корректности полученного на листе *Криптограмма* частично дешифрованного текста с точки зрения русского языка,

- изменяя или удаляя, в случае несоответствия, сделанные на листе *Частоты символов* назначения.

13. После завершения дешифрования текста показать его преподавателю.

Практическая работа №5. Криптоанализ многоалфавитного шифра (шифра Виженера)

Рекомендации по криптоанализу

Шифры простой замены могут быть вскрыты с помощью частотного анализа, поскольку не меняют статистику открытых текстов. В отличие от них, шифры сложной (многоалфавитной) замены маскируют естественную частоту появления символов в тексте. Поэтому многоалфавитные замены значительно надежнее, однако, частотный анализ применим и к ним.

Частотный анализ шифра Виженера с использованием статистик (метод индекса совпадений) предложен в 1922 году американским криптографом Уильямом Фридманом. Это первый пример успешного применения вероятностно-статистических методов в криптоанализе, однако методы взлома шифра Виженера были описаны еще в XIX веке.

Пусть M – длина ключевого слова в шифре Виженера. Если ключевое слово короче шифруемого текста, оно будет последовательно повторяться, чтобы длина ключевой последовательности (гаммы) совпала с длиной шифруемого сообщения. Величина M называется *периодом гаммы*.

Разобьем криптограмму на блоки, равные по длине периоду гаммы. Символы криптограммы, занимающие одинаковое положение в таких блоках, зашифрованы одним и тем же символом ключа, то есть для их получения использован один и тот же шифр простой замены, а именно, шифр Цезаря.

Описанное свойство позволяет применить частотный анализ для каждой группы символов криптограммы, соответствующей определенной букве ключа. Такие группы символов называют *группами периода*. Число групп периода равно длине ключа M .

Как известно, алфавит шифрования в криптосистеме Цезаря представляет собой циклически сдвинутый влево нормативный алфавит. Величина сдвига для каждой из групп периода определяется соответствующей буквой ключа. В результате частотного анализа символов, составляющих группу периода, будет определена величина этого сдвига. Прделав эту процедуру для каждой из групп, можно получить ключ шифрования. Такой метод криптоанализа может быть эффективен, если длина криптограммы N превышает $20M$ ($N > 20M$), M – длина ключа.

Однако, для получения групп периода надо знать длину ключевого слова. Поэтому криптоанализ шифра Виженера проводится в два этапа. На первом этапе определяется длина ключа M , на втором этапе – само ключевое слово.

Число M может быть определено разными способами. Так, в 1863 г. был предложен метод, получивший название **теста Казиски** в честь своего автора. Тест основан на простом наблюдении, что два одинаковых отрезка открытого текста, отстоящих друг от друга на расстоянии, кратном M , будут зашифрованы одинаково. Тест сводится к поиску в криптограмме повторяющихся фрагментов длиной, не меньшей трех, и определению расстояния между ними. Случайное появление в шифртексте повторяющихся фрагментов достаточной длины маловероятно.

Пусть d_1, d_2, \dots – найденные расстояния между повторениями и d – наибольший общий делитель (НОД) этих чисел. Тогда M кратно d . Чем больше повторяющихся фрагментов имеется в криптограмме, тем больше вероятность того, что M совпадет с d .

Для определения значения M , может быть использован **автокорреляционный метод**. Текст криптограммы выписывается в строку, под ним выписываются строки, в которых текст сдвинут влево на 1, 2, 3, 4 и так далее позиции ($t=1, 2, 3, \dots$). Затем для каждой строки подсчитывается число позиций (столбцов), в которых символ строки совпал с символом исходной строки в той же позиции ($c_i = c_{i+t}$). Затем для каждой строки вычисляются *автокорреляционные коэффициенты*, равные отношению числа совпадений к длине строки. Для значений сдвига t , кратных периоду гам-

мы, автокорреляционные коэффициенты должны быть заметно больше, чем для сдвигов, не кратных периоду.

Для проверки правильности выбора значения M , можно применить **метод индекса совпадений**.

Индексом совпадений $I_C(x)$ для последовательности $x = (x_1, \dots, x_m)$, составленной из букв алфавита A , называется вероятность того, что две случайно выбранные буквы из этой последовательности совпадают.

Пусть A – алфавит мощностью L , состоящий из символов a_i , $i=0, \dots, L-1$; $A = \{a_1, \dots, a_{L-1}\}$. Значение индекса совпадения экспериментально может быть получено как:

$$I_C(x) = \frac{\sum_{i=0}^{L-1} f_i(f_i - 1)}{m(m-1)},$$

где f_i – число вхождений буквы a_i в последовательности x .

Пусть x – строка осмысленного текста на естественном языке. Допустим, что буквы в x появляются в любом месте текста с вероятностями p_0, \dots, p_{L-1} независимо друг от друга, где p_i – вероятность появления буквы a_i в осмысленном тексте. Тогда при достаточно больших m и определении p_i как $p_i = f_i / m$ получаем приближенную формулу:

$$I_C(x) \approx \sum_{i=0}^{L-1} p_i^2.$$

Взяв за основу значения вероятностей p_i для открытых текстов на естественном языке (например, из частотных таблиц), можно получить теоретически ожидаемые значения индекса совпадения для разных языков (табл. 14).

Таблица 14

Значения индекса совпадений европейских языков

| Язык | Русский | Русск. с пробелом | Алгл. | Франц. | Нем. | Итал. | Испан. |
|------------------|---------|-------------------|-------|--------|-------|-------|--------|
| $I_C(x) \approx$ | 0,055 | 0,068 | 0,066 | 0,078 | 0,076 | 0,074 | 0,077 |

Шифрование открытого с помощью простой замены не изменяет значения индекса совпадений. Действительно, в этом случае вероятности p_i переставляются местами, но значение суммных

квадратов остается неизменной. Таким образом, значения из таблицы 14 будут справедливы для любых шифров простой замены, в том числе, и в случае, когда x является группой периода шифра Виженера.

В то же время, если последовательность x – реализация независимых испытаний равномерно распределенной случайной величины (появление всех символов равновероятно), то индекс совпадения может быть вычислен как:

$$I_c(x) = \sum_{i=0}^{L-1} \frac{1}{L^2} = L \cdot \frac{1}{L^2} = \frac{1}{L},$$

где L – мощность алфавита A случайной последовательности x . Значение индекса совпадений будет в этом случае ощутимо ниже – порядка $1/L$. Для русского языка, например, это значение составляет 0,03.

Заметная разница значений $I_c(x)$ для осмысленных текстов и случайных последовательностей букв позволяет в большинстве случаев установить точное значение периода гаммы (длины ключевого слова) M в шифре Виженера.

Пусть $y = (y_1, y_2, \dots, y_N)$ – криптограмма, полученная шифром Виженера, и пусть высказано предположение относительно периода гаммы (длины ключевого слова) M . Выпишем последовательность упорядоченно с периодом M . Столбцы получившейся таблицы составляют группы периода шифра, обозначим их через $Y_i, i=1, \dots, M$ (рис. 29).

| Y_1 | Y_2 | ... | Y_M |
|------------|------------|-----|----------|
| y_1 | y_2 | ... | y_M |
| y_{M+1} | y_{M+2} | ... | y_{2M} |
| y_{2M+1} | y_{2M+2} | ... | y_{3M} |
| ... | ... | ... | ... |

Рис. 29. Получение групп периода

Если длина ключевого слова M определена правильно, то каждый столбец $Y_i, i=1, \dots, M$, представляет собой группу периода, то есть набор символов открытого текста, зашифрованных простой заменой – шифром Цезаря со сдвигом S_i , определяемым i -

тым символом ключевого слова. Поэтому для русского текста должно быть получено $I_C(Y_i) \approx 0,055$ при любом i .

С другой стороны, если значение M выбрано неверно и отличается от длины ключевого слова, то столбцы Y_i будут более похожи на случайные последовательности символов, поскольку они являются результатом зашифрования фрагментов открытого текста многоалфавитным шифром. Тогда значения $I_C(Y_i)$ будут приближены к числу $1/L \approx 0,03$ (для русского языка).

Предположим, что на первом этапе найдена длина ключевого слова M . Теперь требуется найти само ключевое слово, то есть определить сдвиги $S_i, i=1, \dots, M$, каждой из групп периода относительно нормативного алфавита.

Для решения этой задачи может быть использована статистика, названная *взаимным индексом совпадений*.

Пусть $x=(x_1, \dots, x_m), y=(y_1, \dots, y_{m'})$ — две строки символов алфавита A .

Взаимным индексом совпадения $MI_C(x, y)$ называется вероятность того, что случайно выбранная буква из x совпадает со случайно выбранной буквой из y .

Пусть f_0, f_1, \dots, f_{L-1} и $f'_0, f'_1, \dots, f'_{L-1}$ — частоты вхождений букв алфавита A в строки x и y соответственно. Тогда

$$MI_C(x, y) = \frac{\sum_{i=0}^{L-1} f_i \cdot f'_i}{m \cdot m'}.$$

Рассмотрим относительные сдвиги $S_i - S_j$ групп периода Y_i и Y_j . При нулевом сдвиге между группами периода индекс $MI_C(x, y)$ близок к значениям индекса совпадений в естественном языке (табл. 14). Ненулевые относительные сдвиги дают более низкие значения взаимного индекса совпадений. Это наблюдение позволяет определить верные величины относительных сдвигов групп периода между собой. Тогда можно составить систему уравнений, связывающую относительные сдвиги различных групп периода. В результате останется 33 (для русского языка) варианта для ключевого слова, из которых можно выбрать верное ключевое слово, если оно является осмысленным текстом.

Этот метод эффективен для небольших значений M , поскольку для получения надежных статистик потребуются тексты достаточно большой длины.

Задание

Дешифровать криптограмму, полученную шифром Виженера. Известно, что алфавит открытого текста совпадает с алфавитом русского языка без буквы «ё» с добавлением символа пробела (33 буквы).

Указания к выполнению практической работы

Для выполнения практической работы рекомендуется использовать файл *Шифр Виженера.xlsx*. Тексты криптограмм содержатся в приложении 2.

Технология выполнения задания

Задание 1. Определить длину использованного ключевого слова (период гаммы) шифра Виженера.

1. Выбрать в соответствии с номером варианта криптограмму для анализа из Приложения 2 и скопировать ее в новый документ MSWord.
2. Выполнить тест Казиски, заключающийся в поиске повторяющихся фрагментов в шифртексте. Для выполнения теста Казиски рекомендуется использовать возможности текстового редактора MSWord:
 - Установить курсор в начало текста криптограммы. Выполнить команду **Главная/Найти**. В окне команды набрать первые три символа текста криптограммы, будет осуществлен поиск совпадений.
 - В случае, если повторения не найдено, выполнить поиск повторений для 2, 3 и 4 символов криптограммы, и так далее, пока не будет найден повторяющийся фрагмент, состоящий из 3 или более символов (вероятность случайного повторения двухбуквенных сочетаний достаточно высока).
 - В случае, если найдено повторение, следует выделить все вхождения этого сочетания букв (например, заливкой цветом), для

перехода к следующему найденному фрагменту следует воспользоваться кнопками со стрелками в окне поиска.

- После того, как все повторения фрагмента выделены, следует проанализировать следующие за повторениями символы с целью выяснить, не имеет ли повторяющийся фрагмент большую длину. Если это так, дополнительные символы также следует выделить (рис. 30).

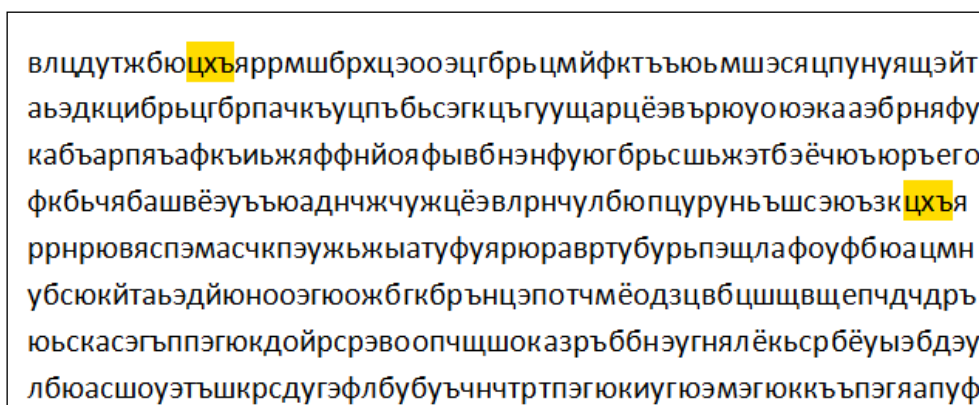



Рис. 30. Пример поиска повторений с помощью тестаКазиски

В примере на рис. 30, первый найденный трехбуквенный фрагмент – «цхъ». Для него в тексте криптограммы имеется лишь одно повторение. Видно, что следующие за этим фрагментом буквы также повторяются, поэтому фрагмент имеет длину 6 символов и выглядит как «цхъярр». Случайное появление столь длинного повторяющегося фрагмента маловероятно.

3. После нахождения и выделения нескольких повторяющихся фрагментов следует определить расстояние между повторениями каждого из фрагментов:

- Выделить текст от начала первого повторяющегося фрагмента до начала следующего его вхождения в текст, не включая сам следующий фрагмент (или от конца первого фрагмента до конца следующего).
- Выполнить команду **Рецензирование/Статистика** . Расстояние в знаках указано в строке *Знаков (с пробелами)* в окне команды.

Так, расстояние между повторяющимися фрагментами «цхъярр» на рис. 30 составило 210 знаков.

- Если фрагмент встречается в тексте более двух раз, следует определить расстояния между каждым соседними повторениями.
4. Полученные значения расстояний между фрагментами следует занести в книгу *Шифр Виженера.xlsx*:
- Открыть книгу *Шифр Виженера.xlsx*, включить выполнение макросов в строке предупреждения. Занести текст каждого из повторяющихся фрагментов и значения расстояний между повторениями в форму на лист *Опред-е периода1* (рис. 31).

| Сочетание | Расстояния | | | Кол-во повторений |
|---------------|------------|-----|-----|-------------------|
| цхьярр | 210 | | | 2 |
| цгбр | 40 | | | 2 |
| гбр | 40 | 80 | 550 | 4 |
| брьц | 35 | 595 | | 3 |

Рис. 31. Пример заполнения формы для определения периода гаммы с помощью теста Казиски

- В низу формы будет рассчитано значение НОД введенных расстояний.

Для расстояний, указанных на рис. 31, будет получено значение НОД, равное 5, тогда, скорее всего, период гаммы (длина ключевого слова) $M=5$.

Период гаммы M кратен или находится среди делителей НОД расстояний. Желательно, чтобы найденные в тексте повторения позволяли однозначно определить период гаммы, для этого НОД должен быть простым числом (делится нацело только на себя и на 1). Таким образом, рекомендуется, если это возможно, производить поиск повторяющихся фрагментов в тексте до тех пор, пока значение НОД не будет простым числом.

5. Определить период гаммы методом автокорреляции:

- На лист *Опред-е периода2* в строку 2 (*Криптограмма*) занести посимвольно текст криптограммы. Поскольку шифртекст имеет большую длину, можно занести лишь первые 75-100 его символов.

ЗАМЕЧАНИЕ: Для удобства занесения символов криптограммы, можно загрузить ее в книгу *Шифр Виженера.xlsx*. Для этого следует перейти на лист *Загрузить криптограмму*, выделить ячейку **Е3** и вставить текст криптограммы в адресную строку. Затем перейти в ячейку **В3**, задать значение периода 7, после чего загрузить криптограмму, нажав кнопку **Загрузить криптограмму**.

После этого можно осуществлять копирование символов криптограммы построчно с листа *Криптограмма* (столбцы **В-Н**) и вставлять их в строку 2 на лист *Опред-е периода2*. Уже просмотренную и скопированную часть шифртекста на листе *Криптограмма* рекомендуется выделять цветом.

- Скопировать заполненную 2 строку (*Криптограмма*) листа *Опред-е периода2*, начиная со второго символа, и вставить ее в 3 строку (*Сдвиг = 1*) командой **Специальная вставка/Значения**. Последний, незаполненный символ строки 3 заполнить следующим символом из текста криптограммы.
- Заполнить строки 4-12, каждый раз копируя предыдущую строку со сдвигом на 1 символ влево, использовать команду **Специальная вставка/Значения**. Недостающие символы в конце строк дополнить следующими символами криптограммы так, чтобы все строки были одинаковой длины.
- Цветом (инструмент **Условное форматирование**) будут выделены символы в строках, совпадающие с символом первой строки в том же столбце. Для каждой строки вручную подсчитать количество совпадений (число выделенных ячеек в строке) и занести эти значения в ячейки **В16-В25** на листе *Опред-е периода2*.
- В ячейках **Л16-Л25** будут выведены значения коэффициентов автокорреляции, наибольшие из которых определяют сдвиг (сдвиги), кратные периоду гаммы (рис. 32).

| Сдвиг | Число совпадений | Коэффициент автокорреляции |
|-------|------------------|----------------------------|
| 1 | 3 | 0,040 |
| 2 | 2 | 0,027 |
| 3 | 1 | 0,013 |
| 4 | 2 | 0,027 |
| 5 | 7 | 0,093 |
| 6 | 1 | 0,013 |
| 7 | 2 | 0,027 |
| 8 | 1 | 0,013 |
| 9 | 2 | 0,027 |
| 10 | 7 | 0,093 |

Рис. 32. Пример определения периода гаммы методом автокорреляции

На рис. 32 наибольшие значения коэффициента автокорреляции получены при величинах сдвига 5 и 10, откуда можно сделать вывод, что период гаммы (длина ключевого слова), скорее всего кратна (или равна) 5.

6. Проверить гипотезу о том, что период гаммы равен определенному в предыдущих тестах значению M (например, 5) с помощью метода индекса совпадений:

- Очистить данные, занесенные ранее на лист *Криптограмма* (столбцы **В-Н**) – от этого зависит правильность подсчета индексов совпадений.
- Перейти на лист *Загрузить криптограмму*, вставить шифртекст в ячейку **Е3** (если это не было сделано ранее), в ячейку **В3** занести проверяемое значение M (например, 5), затем нажать кнопку **Загрузить криптограмму**. Данные будут загружены на лист *Криптограмма*, каждый из полученных столбцов представляет предполагаемую группу периода Y_i .
- Перейти на лист *Статистика период*. Для каждого столбца – группы периода Y_i в строке 38 приведен расчет индекса совпадения $I_C(Y_i)$. В случае, если период гаммы определен правильно, все значения индекса должны быть не менее 0,05, в этом случае они будут выделены цветом (табл. 16).

В примере значения всех индексов совпадения превышают 0,05, что свидетельствует о правильности определения периода гаммы.

**Пример значений индекса совпадений для групп периода
в случае правильного определения M**

| Номер столбца – группы периода | 1 | 2 | 3 | 4 | 5 |
|--------------------------------|--------|--------|--------|--------|--------|
| Значение индекса совпадения | 0,0571 | 0,0560 | 0,0634 | 0,0582 | 0,0723 |

- Если период гаммы определен неправильно, все или некоторые значения индексов совпадения окажутся близки к $1/33 \approx 0,03$ (не выделяются цветом). В этом случае гипотезу о значении периода гаммы следует пересмотреть.

Задание 2. Определить относительные сдвиги групп периода относительно первой группы. Определить ключевое слово и дешифровать криптограмму.

7. Определить относительные сдвиги между столбцами – группами периода:
 - Перейти на лист *Статистика сдвиги книги шифр Виженера.xlsx*. В диапазоне **B4:AH11** приведены частоты встречаемости символов. Строка 4 содержит частоты букв в русском языке, приведенные к размеру групп периода. В строках 5-11 содержатся частоты групп периода рассматриваемой криптограммы. Распределения этих частот «сдвинуты» относительно русского языка и относительно друг друга. Для каждой группы периода цветом (инструмент **Условное форматирование**) выделены наибольшие значения частот.
 - Определить сдвиг второй группы периода (*Столбец 2*) относительно первой (*Столбец 1*), для этого можно воспользоваться сопоставлением пиковых частот в строках 5 и 6 (рис. 33), либо сопоставлением начала/конца фрагмента алфавита с малыми частотами (длинный фрагмент без цветового выделения – рис. 34). Сопоставление начала фрагмента с малыми частотами более надежно.

| Символ | А | Б | В | Г | Д | Е | Ё | Ж | З | И | Й | К | Л | М | Н | О | П | Р | С | Т | У | Ф | Х | Ц | Ч | Ш | Щ | Ъ | Ы | Ь | Э | Ю | Я |
|--------------|----|---|----|----|----|----|---|---|---|----|---|---|----|---|----|----|----|----|----|----|----|----|---|----|---|----|---|----|---|---|----|----|---|
| Русский язык | 16 | 3 | 9 | 3 | 6 | 17 | 0 | 2 | 3 | 15 | 2 | 7 | 9 | 6 | 13 | 22 | 6 | 9 | 11 | 12 | 5 | 1 | 2 | 1 | 3 | 1 | 1 | 0 | 4 | 3 | 1 | 1 | 4 |
| Столбец 1 | 17 | 2 | 11 | 16 | 14 | 7 | 0 | 1 | 1 | 3 | 2 | 1 | 0 | 3 | 4 | 1 | 0 | 1 | 16 | 9 | 14 | 5 | 4 | 23 | 0 | 0 | 5 | 10 | 3 | 2 | 2 | 10 | 1 |
| Столбец 2 | 2 | 2 | 0 | 7 | 1 | 0 | 0 | 4 | 4 | 5 | 0 | 3 | 11 | 3 | 5 | 2 | 10 | 18 | 0 | 2 | 3 | 14 | 2 | 7 | 9 | 11 | 9 | 26 | 2 | 5 | 14 | 15 | 2 |

сдвиг = 6

Рис. 33. Пример определения сдвига сопоставлением пиковых частот

| Символ | А | Б | В | Г | Д | Е | Ё | Ж | З | И | Й | К | Л | М | Н | О | П | Р | С | Т | У | Ф | Х | Ц | Ч | Ш | Щ | Ъ | Ы | Ь | Э | Ю | Я |
|--------------|----|---|----|----|----|----|---|---|---|----|---|---|----|---|----|----|----|----|----|----|----|----|---|----|---|----|---|----|---|---|----|----|----|
| Русский язык | 16 | 3 | 9 | 3 | 6 | 17 | 0 | 2 | 3 | 15 | 2 | 7 | 9 | 6 | 13 | 22 | 6 | 9 | 11 | 12 | 5 | 1 | 2 | 1 | 3 | 1 | 1 | 0 | 4 | 3 | 1 | 1 | 4 |
| Столбец 1 | 17 | 2 | 11 | 16 | 14 | 7 | 0 | 1 | 1 | 3 | 2 | 1 | 0 | 3 | 4 | 1 | 0 | 1 | 16 | 9 | 14 | 5 | 4 | 23 | 0 | 0 | 5 | 10 | 3 | 2 | 2 | 10 | 11 |
| Столбец 2 | 2 | 2 | 0 | 7 | 1 | 0 | 0 | 4 | 4 | 5 | 0 | 3 | 11 | 3 | 5 | 2 | 10 | 18 | 0 | 2 | 3 | 14 | 2 | 7 | 9 | 11 | 9 | 26 | 2 | 5 | 14 | 15 | 2 |

сдвиг = $-27 \pmod{33} = 33 - 27 = 6$

Рис. 34. Пример определения сдвига по началу фрагмента с малыми частотами

По сути, требуется определить направление, в котором надо сместить алфавит в строке 6, чтобы распределение частот стало сходным с распределением частот в строке 5, а также величину этого смещения в позициях. При сдвиге вправо его величина считается положительной (рис. 33), а при сдвиге влево – отрицательной (рис. 34); в последнем случае значение следует взять по модулю L (L – число символов алфавита, для русского языка $L=33$). Для вычисления значения по модулю можно воспользоваться функцией Excel **ОСТАТ()**.

Для визуального определения величины сдвига можно использовать гистограммы частот на листе *Статистика сдвига*. Приведены гистограммы распределения частот для первой группы периода, второй группы периода и второй группы периода с учетом определенного сдвига. При визуальном анализе также следует учитывать не только пиковые (наибольшие) значения частот, но и наличие достаточно длинного промежутка низких значений частот.

- После определения сдвига, его значение заносится в столбец **А1** (для *Столбца2* – в ячейку **А16**). Затем можно сравнить гистограммы *Столбца1* и *Столбца2* с учетом определенного сдвига. Они должны быть схожими (рис. 35).

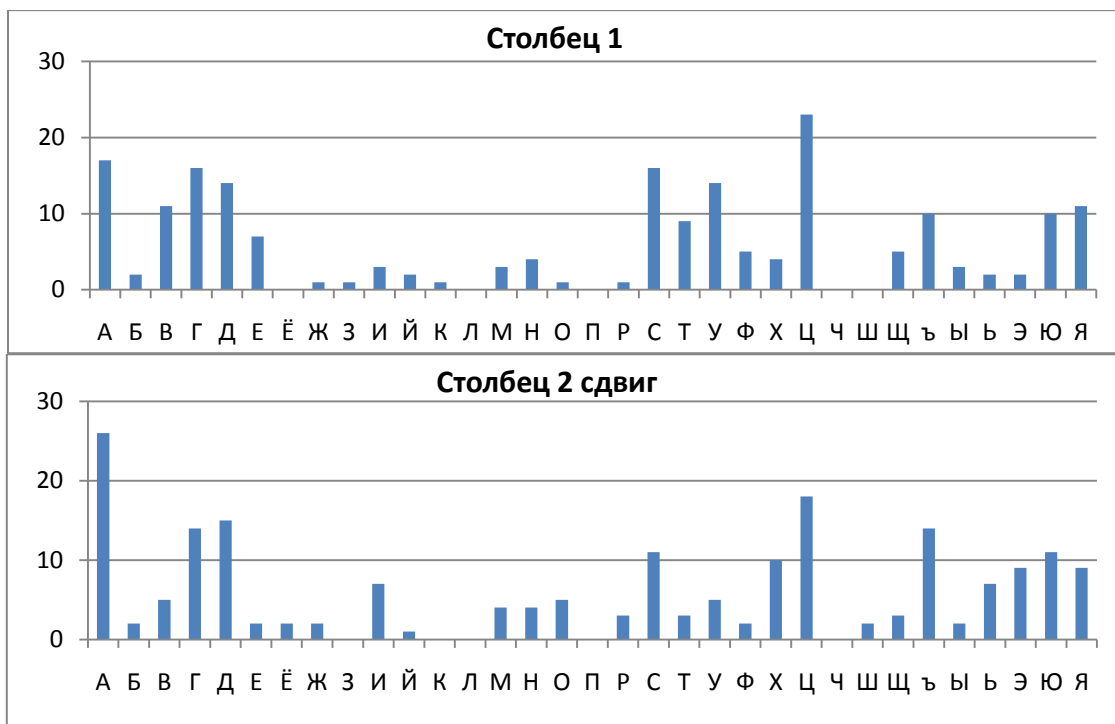


Рис. 35. Пример визуальной проверки правильности определения относительного сдвига групп периода

- После определения сдвига, в диапазоне **В15:АН20** отобразится «сдвинутое» распределение, в столбце **АІ**– значение взаимного индекса совпадений (для *Столбца2* – в ячейке **АІ15**). Если сдвиг определен правильно, то значения индекса взаимного совпадения будет выше 0,05.
 - В случае, если значение индекса взаимного совпадения ниже 0,05, следует рассмотреть другую гипотезу о значении относительного сдвига и изменить его значение (для начала можно проверить значения, равные +/- 1 от определенного ранее).
 - Аналогичным образом определить относительные сдвиги остальных столбцов – групп периода относительно *Столбца 1*. Для визуального определения и проверки правильности определения величины сдвига *Столбца 3*, *Столбца 4* и т.д. с помощью гистограмм, в гистограммах *Столбец 2* и *Столбец 2 сдвиг* следует изменить исходные данные (щелкнуть на гистограмме правой кнопкой мыши, выполнить команду **Выбрать данные** и выбрать соответствующую строку с данными).
8. Определение относительных сдвигов $S(i)$ позволяет составить систему уравнений для определения сдвигов $g(i)$ групп перио-

да Y_i , $i \neq 1$ относительно алфавита первой группы периода (*Столбца 1*). Уравнения отображаются в строках **25-28** на листе *Статистика сдвига*.

Например, в случае $M = 5$ будут составлены 4 уравнения с 5 неизвестными $g(1), g(2), \dots, g(5)$.

$$\begin{array}{ll} g(1) - g(2) = S(2), \text{ откуда} & g(2) = g(1) - S(2), \\ g(1) - g(3) = S(3), & g(3) = g(1) - S(3), \\ g(1) - g(4) = S(4), & g(4) = g(1) - S(4), \\ g(1) - g(5) = S(5). & g(5) = g(1) - S(5). \end{array}$$

9. Теперь для получения ключевого слова требуется определить значение $g(1)$, то есть величину сдвига *Столбца 1* относительно алфавита открытого текста. Поскольку возможно всего 33 варианта сдвига (от 0 до 32), сдвиг $g(1)$ нетрудно определить перебором всех вариантов первого символа ключевого слова.

- Подбор ключа отображается в строках **33-66** на листе *Статистика сдвига*. Первый символ в каждой строке – предполагаемый первый символ ключевого слова, остальные символы ключевого слова вычисляются на основе полученных ранее из уравнений.
- Из полученных вариантов следует выбрать тот, который является осмысленным словом.

10. Зная ключ, провести дешифрование криптограммы:

- Для получения открытого текста на листе *Криптограмма* ввести найденное ключевое слово посимвольно в диапазон ячеек **K1:Q1**. Расшифровка текста содержится в столбцах **K-Q** (чтение текста осуществляется по строкам).
- Если в результате дешифрования не был получен осмысленный текст, следует опробовать другой правдоподобный вариант ключевого слова из списка полученных (если таковой имеется).

11. Показать результат выполнения лабораторной работы преподавателю

ТЕМА 2. СИММЕТРИЧНЫЕ КРИПТОСИСТЕМЫ. СОВРЕМЕННЫЕ БЛОЧНЫЕ ШИФРЫ

подавляющее большинство современных алгоритмов симметричного шифрования относятся к классу блочных шифров. Информация разбивается на блоки фиксированной длины (обычно, 64 или 128 битов), после чего эти блоки поочередно шифруются одним и тем же ключом.

Над шифруемым текстом выполняется некоторое преобразование с участием ключа шифрования, которое повторяется определенное число раз (раундов). Чаще всего исходный ключ шифрования также модифицируется для его дальнейшего использования в процессе преобразований. Такая модификация называется *расширением ключа*; в каждом раунде используется свой подключ – *ключ раунда*.

Таким образом, алгоритм шифрования можно логически разделить на две части: собственно шифрующее преобразование и процедура расширения ключа.

Примерами современных блочных шифров являются алгоритмы «Магма» и «Кузнечик» российского стандарта шифрования ГОСТ Р 34.12–2015, современный американский стандарт AES (шифр Rijndael), а также другие известные алгоритмы: DES, RC6, IDEA и др.

Практическая работа №6. Криптоанализ симметричного блочного шифра (слайдовая атака)

Описание шифра и метода криптоанализа

Существует множество видов криптоанализа, каждый из которых зависит, в наибольшей степени, от имеющейся у криптоаналитика информации. Универсальные методы криптоанализа, такие как метод полного перебора («грубой силы»), анализ на основе использования словарей, применимы ко многим шифрам, однако в большинстве случаев оказываются неэффективными. Эффективность других методов, таких как линейный и дифференциальный криптоанализ падает с ростом числа раундов криптоалгоритма. Однако существуют методы анализа, эффектив-

ность которых не зависит от числа раундов шифрующего преобразования и определяется особенностями ключа шифра.

К таким методам относится «слайдовая атака» («скользящая атака», *slideattack*), применимая к любому алгоритму при условии использования одинаковых раундовых ключей. Слайдовая атака использует степень самоподобия функции преобразования алгоритма шифрования, то есть использование одной и той же раундовой функции F , зависящей от одного и того же подключа в каждом раунде. Слайдовая атака может эксплуатировать как слабость процедуры формирования подключей, так и более общие структурные свойства шифра.

Обычная слайдовая атака рассчитана на анализ криптоалгоритмов, состоящих из r раундов, каждый из которых осуществляет F -преобразование входного текста, зависящее от одного и того же значения ключа K .

Идея заключается в том, что можно сопоставить один процесс зашифрования с другим таким образом, что один из процессов будет «отставать» от другого на один раунд (рис. 36).

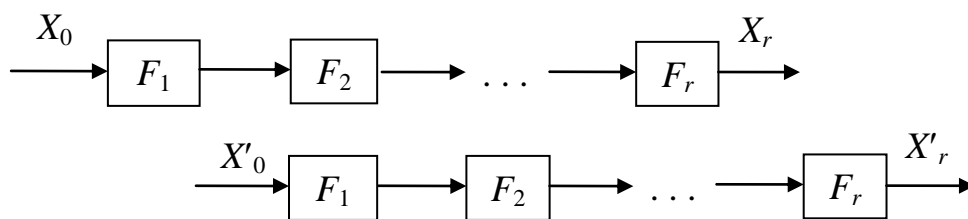


Рис. 36. Схема обычной слайдовой атаки

Пусть X_0 и X'_0 – некоторые открытые тексты, $X_j = F_j(X_{j-1})$, $X'_j = F_j(X'_{j-1})$, $j=1,2,\dots,r$. Предположим, что $X'_{j-1} = X_j$, тогда можно сказать, что $X'_j = F_j(X'_{j-1}) = F_j(X_j) = X_{j+1}$, то есть для любого раунда выход первого процесса шифрования будет совпадать со входом второго процесса. Поэтому, если имеется некоторая пара значений, такая что выход первого раунда первого процесса шифрования является входом первого раунда второго процесса шифрования: $X'_0 = X_1$, то тогда выход последнего раунда первого процесса шифрования будет входом последнего раунда второго процесса шифрования: $X'_{r-1} = X_r$.

Пара открытых текстов и соответствующих им шифр-текстов (P, C) (P', C') называется *слайдовой парой* в том случае, если $F(P)=P'$ и $F(C)=C'$.

Слайдовая атака проходит следующим образом. Получают пары *открытый текст–закрытый текст* (P_i, C_i) с помощью одного и того же ключа, среди которых ожидают найти хотя бы одну слайдовую пару. После того, как слайдовая пара найдена, могут быть найдены и некоторые биты ключа. Для определения оставшихся битов секретного ключа следует определить следующую слайдовую пару, и с ее помощью опять провести анализ, и так далее. Для определения секретного ключа достаточно найти несколько слайдовых пар.

В случае, когда речь идет об алгоритмах шифрования, построенных на схеме Фейстеля, раундовая функция преобразует только половину входного сообщения. Поэтому условие $F(X)=X'$ можно легко проверить, сравнив левую часть сообщения X и правую часть сообщения X' . Таким образом, сложность атаки может быть снижена до $2^{n/2}$ открытых текстов, где n —длина блока алгоритма шифрования.

Для сети Фейстеля условие нахождения потенциальной слайдовой пары может быть сформулировано следующим образом: (P, C) образует слайдовую пару совместно с (P', C') , если левые половины текстов P' и C сравны соответственно правым половинам P и C' .

Если существует возможность выбора открытых текстов, то для сети Фейстеля сложность анализа может быть снижена до $2^{n/4}$ открытых текстов. В этом случае выбирается произвольное $n/2$ -битовое значение x , затем подбирается массив открытых текстов $P'_i=(x, y_i)$, которые будут различаться только случайной выбранной правой частью y_i , и массив $P_j=(y_j, x)$, которые будут различаться только случайной левой частью y_j . Отбор слайдовых пар производится по совпадению правой части криптограммы C'_i с левой частью C_j .

Слайдовые атаки применимы и для алгоритмов, в которых функция формирования подключей периодична, то есть один и тот же подключ повторяется через равное количество раундов. Известны эффективные слайдовые атаки для сети Фейстеля с

двухраундовымсамоподобием: слайдовая атака с использованием дополнений, которая основана на отборе открытых текстов, различия которых компенсируют различие подключей, слайдовая атака с петлей, основанная на сопоставлении процессов шифрования и расшифровки; комбинация этих методов позволяет проводить атаки на сети Фейстеля с четырехраундовымсамоподобием.

Самый простой вид слайдовой атаки обычно легко пресечь, избавившись от самоподобия в алгоритме шифрования. Более сложные варианты предполагают и более сложный анализ, однако против них гораздо сложнее защититься.

В практической работе рассматривается применение метода слайдовой атаки к учебному алгоритму, полученному на основе алгоритма S-DES (упрощенного DES). Алгоритм S-DES является блочным алгоритмом шифрования, построенным по схеме Фейстеля, с длиной открытого текста 8 бит.

В учебном алгоритме (рис.37), в отличие от S-DES, опущены начальная и конечная перестановки, так как они не влияют на криптографическую стойкость алгоритма. Для простоты в каждом раунде алгоритма используется один и тот же ключ и опускается процедура начального преобразования ключа (получение 8-битового ключа из исходного 10-битового). Поскольку метод криптоанализа на основе слайдовой атаки не зависит от числа раундов, учебный алгоритм включает 20 раундов шифрования, а не 2 как в S-DES.

На вход каждого (i -того) раунда учебного алгоритма подается 8-битовый текст. F -преобразованию подвергается 4-битовое значение, представляющее собой правую половину R_i входного блока, обозначим это значение как (b_1, b_2, b_3, b_4) .

Первой операцией F -преобразования является операция перестановки с расширением E/P, в результате которой 4-битовое сообщение преобразуется к 8-битовому путем перестановки и повторения битов.

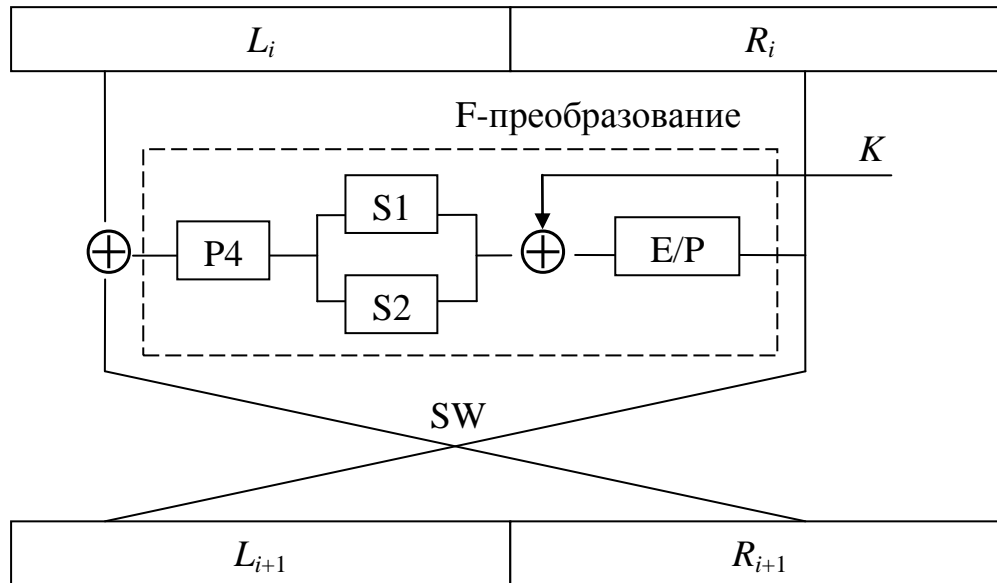


Рис. 37. Схема i -того раунда учебного алгоритма

Пусть операция Е/Р задана таблицей 17. Тогда результате применения операции Е/Р исходное 4-битовое значение (b_1, b_2, b_3, b_4) преобразуется к виду $(b_4, b_1, b_2, b_3, b_2, b_3, b_4, b_1)$, где b_i – биты правого подблока R_i входных данных.

Таблица 17

Пример перестановки с расширением Е/Р

| | | | | | | | |
|---|---|---|---|---|---|---|---|
| 4 | 1 | 2 | 3 | 2 | 3 | 4 | 1 |
|---|---|---|---|---|---|---|---|

К полученному 8-битовому значению применяется операция побитового сложения по модулю два (XOR) с 8-битным секретным ключом $K=(k_1, k_2, k_3, k_4, k_5, k_6, k_7, k_8)$.

Полученная 8-битовая последовательность делится на две части: левая поступает на вход блока замены S1, правая – на вход блока S2. Выходами S-блоков являются двухбитовые последовательности.

Пусть работа S-блоков задана таблицей 18. S-блоки действуют следующим образом: первый и четвертый биты входной последовательности рассматриваются как 2-битовые числа (от 00 до 11 в двоичном представлении или от 0 до 3 – в десятичном), определяющие строку, а второй и третий – столбец таблицы S-блока. Элемент, находящийся на пересечении соответствующих строки и столбца задает выход S-блока.

Таблица 18

S-блоки, десятичное представление

| Блок S1 | | | | | Блок S2 | | | | |
|---------|---|---|---|---|---------|---|---|---|---|
| S1 | 0 | 1 | 2 | 3 | S2 | 0 | 1 | 2 | 3 |
| 0 | 1 | 0 | 3 | 2 | 0 | 1 | 1 | 2 | 3 |
| 1 | 3 | 2 | 1 | 0 | 1 | 2 | 0 | 1 | 3 |
| 2 | 0 | 2 | 1 | 3 | 2 | 3 | 0 | 1 | 0 |
| 3 | 3 | 1 | 3 | 1 | 3 | 2 | 1 | 0 | 3 |

Для простоты использования на основе таблицы 18 можно построить сводную таблицу входов и выходов S-блоков (табл. 19).

Таблица 19

Входы и выходы S-блоков, двоичное представление

| Вход | Выход S1 | Выход S2 |
|------|----------|----------|
| 0000 | 01 | 01 |
| 0001 | 11 | 10 |
| 0010 | 00 | 01 |
| 0011 | 10 | 00 |
| 0100 | 11 | 10 |
| 0101 | 01 | 01 |
| 0110 | 10 | 11 |
| 0111 | 00 | 11 |
| 1000 | 00 | 11 |
| 1001 | 11 | 10 |
| 1010 | 10 | 00 |
| 1011 | 01 | 01 |
| 1100 | 01 | 01 |
| 1101 | 11 | 00 |
| 1110 | 11 | 00 |
| 1111 | 01 | 11 |

Из выходов блоков S1 и S2 получается общая 4-битовая последовательность, к которой применяется операция перестановки P4. Пусть эта операция задана таблицей 20. Результат перестановки P4 является выходом функции F.

Таблица 20

Таблица перестановки P4

| | | | |
|---|---|---|---|
| 2 | 4 | 3 | 1 |
|---|---|---|---|

К выходу функции применяется операция побитного XOR с левой частью входного текста раунда. Поскольку алгоритм построен по схеме Фейстеля, между раундами шифрования используется функция SW, которая меняет местами первые и последние 4 бита (левую преобразованную и правую исходную части) последовательности, чтобы в следующем раунде F-функция работала уже с другой четверкой битов. После последнего раунда перестановка не проводится.

Криптоанализ с помощью слайдовой атаки состоит в поиске слайдовых пар и сопоставлении входов и выходов первого и последнего раундов шифрования для этих пар. Это, в свою очередь, позволяет проанализировать изменение значений внутри раунда, чтобы получить возможные варианты ключа шифрования.

Для получения значений битов ключа в ходе анализа часть преобразований раунда выполняется в прямом направлении, а часть – в обратном (рис. 38).

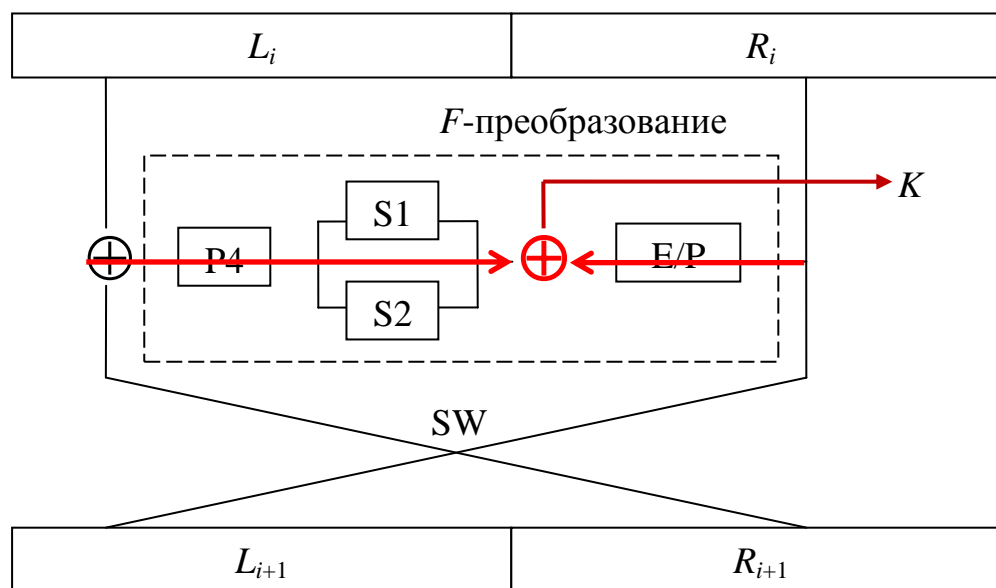


Рис. 38. Ход выполнения анализа раунда учебного алгоритма

Получив возможные значения на входе и выходе операции побитового XOR с ключом, можно восстановить возможные варианты ключа.

Анализ новых раундов и новых слайдовых пар позволяет сузить число возможных вариантов ключа. Если в ходе анализа

первых и последних раундов одной из отобранных пар не будет получено совпадений вариантов ключа, значит, такая пара не является слайдовой и должна быть исключена из рассмотрения.

Задание. Найти секретный ключ Кучебного алгоритма с помощью с помощью обычной слайдовой атаки.

Указания к выполнению практической работы

Для выполнения практической работы рекомендуется использовать файл *Слайдовая атака.xlsx*. Параметры учебного алгоритма, определяемые вариантами задания приведены в Приложении 3.

Технология выполнения задания

Задание 1. Выбрать слайдовые пары для последующего анализа.

1. Изучить теоретическое описание учебного алгоритма и слайдовой атаки.
2. Открыть книгу *Слайдовая атака.xlsx*, в строке предупреждения включить выполнение макросов.
3. На листе *параметры шифра* следует ввести номер варианта, определяемые вариантом значения в таблицы: перестановки с расширением E/P, перестановки P4, S-блоков (в десятичном виде), маски. Варианты задания приведены в Приложении 3.

Провести криптоанализ алгоритма шифрования аналогично рассмотренному ниже примеру.

Пример. В качестве таблиц E/P, P4, S-блоков используются таблицы 17, 18, 20, маска: 1101.

4. Перейти на лист *данные для анализа* и нажать кнопку **Получить данные для анализа**. Будут заполнены значениями таблицы *Отбор по левой половине текста* и *Отбор по правой половине текста*.

Хотя для проведения криптоанализа достаточно всего по $2^{8/4}=4$ текста со случайно выбранными правыми и со случайными левыми частями, программа выдаст все возможные варианты от-

крытых текстов с фиксированной (совпадающей с маской) левой частью и фиксированной правой частью (по 16).

5. Для проведения дальнейшего анализа следует отобрать из сгенерированных текстов слайдовые пары. Согласно определению слайдовой пары для сети Фейстеля, слайдовыми парами являются тексты i и j , для которых:

- а. левая половина X_L открытого текста P_i совпадает с правой половиной X'_R текста P'_j , а также
- б. правая половина Y_R шифр-текста C_i совпадает с левой половиной Y'_L шифр-текста C'_j .

Условие (а) выполняется для всех сгенерированных текстов.

- Следует отобрать тексты, для которых выполнено условие (б). Части текстов, по которым следует проводить отбор, находятся в столбцах с выделением цветом. Для уменьшения перебора возможные слайдовые пары следует искать только среди текстов с неповторяющимися значениями Y_R (Y'_L). Для облегчения этого поиска повторяющиеся значения Y_R (Y'_L) выделены цветом (инструмент Excel **Условное форматирование**).

Проверку условия (б) желательно проводить среди невыделенных текстов. Рекомендуется выделять каждую из найденных слайдовых пар своим цветом (инструмент **Заливка**).

- Отобранные слайдовые пары занести в строки **23-...** на листе данные для анализа.

Для рассматриваемого примера выделены следующие возможные слайдовые пары, представленные на рис. 39.

ОТОБРАННЫЕ СЛАЙДОВЫЕ ПАРЫ

| № | X_L | X_R | Y_L | Y_R | № | X'_L | X'_R | Y'_L | Y'_R |
|----|------|------|------|------|----|------|------|------|------|
| 12 | 1101 | 1011 | 0101 | 0011 | 4 | 0011 | 1101 | 0011 | 1101 |
| 13 | 1101 | 1100 | 1000 | 1110 | 5 | 0100 | 1101 | 1110 | 0110 |
| 15 | 1101 | 1110 | 0110 | 1010 | 7 | 0110 | 1101 | 1010 | 0010 |
| 16 | 1101 | 1111 | 1100 | 1011 | 8 | 0111 | 1101 | 1011 | 0000 |
| 1 | 1101 | 0000 | 1110 | 1000 | 9 | 1000 | 1101 | 1000 | 1101 |
| 5 | 1101 | 0100 | 0111 | 0100 | 13 | 1100 | 1101 | 0100 | 1111 |

Рис. 39. Пример слайдовых пар

Задание 2. Провести анализ первых раундов слайдовой пары.

6. Занести первую слайдовую пару в строку **3** на лист *анализ* книги *Слайдовая атака.xlsx*. Провести анализ первого раунда слайдовой пары.
- Пусть выбрана слайдовая пара 12, 4 (рис. 39). После занесения ее на лист анализ, схема сопоставления начальных раундов шифрования (левая схема) примет следующий вид (рис. 40).

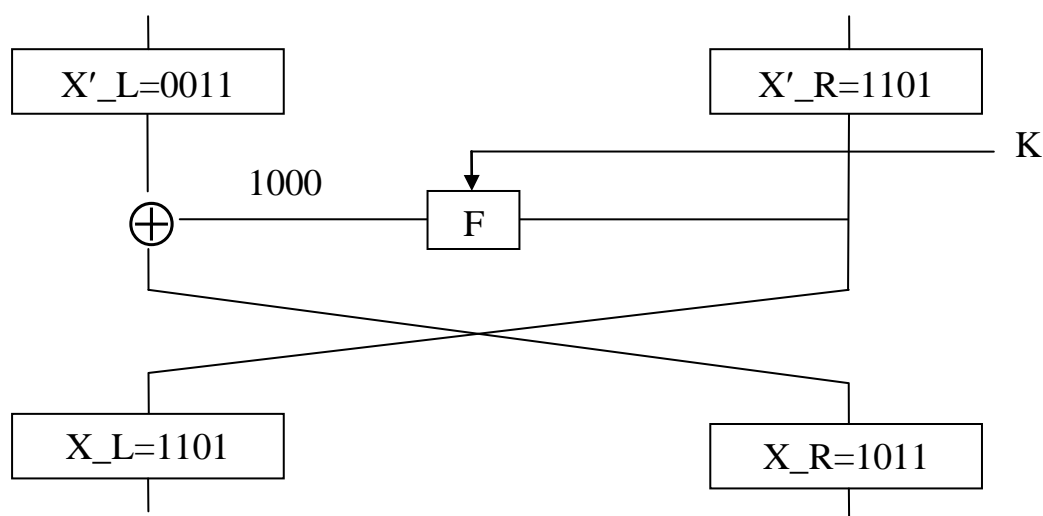


Рис. 40. Данные для анализа первых раундов первой слайдовой пары

7. Вычислить выход F -функции:

- Зная X_R и X'_L , можно вычислить значение выхода F -функции как результат побитовой операции XOR этих значений.

ЗАМЕЧАНИЕ: Операцию побитового XOR можно производить вручную, воспользоваться Калькулятором Windows (режим *Программист*) или использовать функцию MS Excel 2013 **БИТ.ИСКЛИЛИ** (группа Инженерные).

В примере $X_R = 0011$, $X'_L = 1001$, $X_R \oplus X'_L = 1000$.

- Занести полученное значение в ячейку **D15**.
8. Так как перед выходом из F -функции производится перестановка P_4 , применить обратное преобразование – P_4^{-1} к полученному в ячейке **D15** значению:
 - Определить преобразование, обратное к P_4 , аналогично рассмотренному ниже примеру.

В примере перестановка P_4 задана таблицей 17: 2, 4, 3, 1. Это означает, что при прямом преобразовании в первую позицию ставится второй бит, во вторую – четвертый бит, в третью – третий бит, в четвертую позицию – первый бит текста. Поэтому при обратном преобразовании значение в ячейке таблицы означает номер позиции, в которую надо переставить текущий бит (рис. 41).

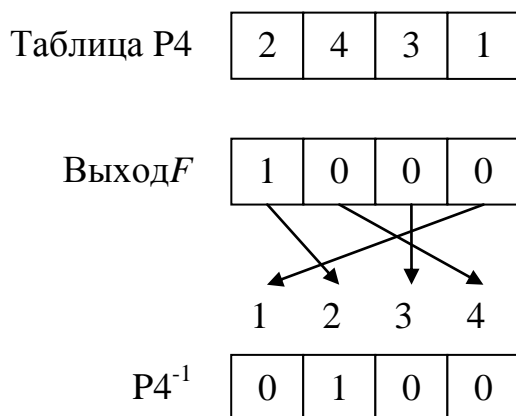


Рис. 41. Выполнение преобразования P_4^{-1}

В примере получаем, что обратная перестановка P_4^{-1} может быть задана таблицей {4, 1, 3, 2}, а выходом P_4^{-1} при входе 1000 является значение 0100.

- Занести номера битов, задающих таблицу обратной перестановки P_4^{-1} в ячейку **D17**, а значения переставленных битов – в диапазон ячеек **A19:D19**.
9. Определить возможные входы S-блоков.

В примере получили, что на вход перестановки P_4 поступило значение 0100, а значит, на выходе блока S1 получено значение 01, на выходе блока S2 – значение 00.

- Занести первые два бита полученного на выходе P_4^{-1} (входе P_4) значения в ячейку **B21**, а последние два бита – в ячейку **D21**.
- Чтобы проанализировать, какими могут быть значения входов S-блоков, на основе двоичного представления S-блоков составляется таблица вида 19. Таблица 19 размещена в диапазоне **M3:O19** листа *анализ*.
- Определить значения 4-битовых входов S1 (первый столбец таблицы входов и выходов S-блоков) по значению выхода, за-

несенному в ячейку **B21** (второй столбец таблицы). Занести полученные значения в диапазон ячеек **B23-...**

- Определить значения 4-битовых входов **S2** (первый столбец таблицы) по значению выхода, занесенному в ячейку **D21** (третий столбец таблицы). Занести полученные значения в диапазон ячеек **D23-...**

В примере на основе анализа таблицы 19, получаем, что возможными входами блока **S1** могут быть 0000, 0101, 1011, 1100 и 1111. Возможными входами блока **S2** являются значения 0011, 1010, 1101, 1110.

10. Определить значения входа **F**-функции результата преобразования **E/P**:

- Значение входа **F**-функции совпадает с **X'_R**.

В примере значение входа **F**-функции – 1101.

- После входа в **F** выполняется преобразование **E/P** (перестановка с расширением), согласно таблице 20. Для удобства последовательность номеров бит, определяющую преобразование **E/P**, можно занести на лист *анализ*, например, в ячейку **I15**, а результат этой операции – в ячейку **P15**.

Выполним **E/P**-преобразование для входа 1101. Получаем значение 11101011.

11. Определить возможные значения ключа шифрования.

На полученное в ячейке **P15** значение будет наложено с помощью операции побитового **XOR** значение секретного ключа $K=(K1,K2)$, а результат подан на вход **S**-блоков.

Так, в рассматриваемом примере на вход блока **S1** будет подано значение $1110 \oplus K1$, а на вход блока **S2** – $1011 \oplus K2$.

- Занести первые 4 бита значения из ячейки **P15** в ячейку **G21**, а последние 4 бита – в ячейку **I21**, определяющие входы **S**-блоков.
- Возможные значения входов **S1**, занесенные в диапазон **B23-...**, и значение в ячейки **G21** позволяют определить возможные значения первой части **K1** секретного ключа **K**. Для этой цели для каждого значения, определенного как вход **S1**-блока, надо провести **XOR**-операцию со значением **G21**. Занести результаты вычислений в диапазон ячеек **G23-...** листа *анализ*.

- Возможные значения входов $S2$ из диапазона $D23-...$ и значение в ячейки $I21$ позволяют определить возможные значения второй части $K2$ секретного ключа K . Для этой цели для каждого значения, определенного как вход $S2$ -блока, надо провести XOR-операцию со значением $I21$. Результаты вычислений следует занести в диапазон ячеек $I23-...$ листа *анализ*.

Результаты вычисления ключа в рассматриваемом примере приведены на рис. 42.

| входы $S1$ | | $K1$ | входы $S2$ | | $K2$ |
|------------|---------------|------|------------|---------------|------|
| 0000 | $\oplus 1110$ | 1110 | 0011 | $\oplus 1011$ | 1000 |
| 0101 | $\oplus 1110$ | 1011 | 1010 | $\oplus 1011$ | 0001 |
| 1011 | $\oplus 1110$ | 0101 | 1101 | $\oplus 1011$ | 0110 |
| 1100 | $\oplus 1110$ | 0010 | 1110 | $\oplus 1011$ | 0101 |
| 1111 | $\oplus 1110$ | 0001 | | | |

Рис. 42. Пример вычисления ключа (анализ первых раундов первой слайдовой пары)

12. Скопировать полученные значение ключа (а лучше результаты всех проведенных расчетов) на новый лист, пометив (на новом листе) для каких раундов и для какой слайдовой пары проведен анализ. При копировании использовать вставку значений (**Главная/Вставить/Вставить значения**).
13. Очистить результаты предыдущих вычислений на листе *анализ*, кроме слайдовой пары и последовательностей номеров бит, задающих операции $P4^{-1}$ и E/P (если они были занесены на лист в ходе предыдущего анализа).

Задание 3. Провести анализ последних раундов первой слайдовой пары.

14. Теперь следует провести анализ последних раундов шифрования для первой слайдовой пары (рис. 43):
 - Исходные данные для анализа будут отображены на схемевходов и выходов последних раундов (правая схема). Дальнейший анализ проводится аналогично анализу первых раундов.

- Вычислить значение выхода F -функции на основании значений Y_L и Y'_R .

В примере получаем значение выхода F -функции – 1000). Анализ этого значения выхода F был проведен ранее, имеем возможные входы блока $S1$ – 0000, 0101, 1011, 1100 и 1111, возможные входы блока $S2$ – 0011, 1010, 1101, 1110.

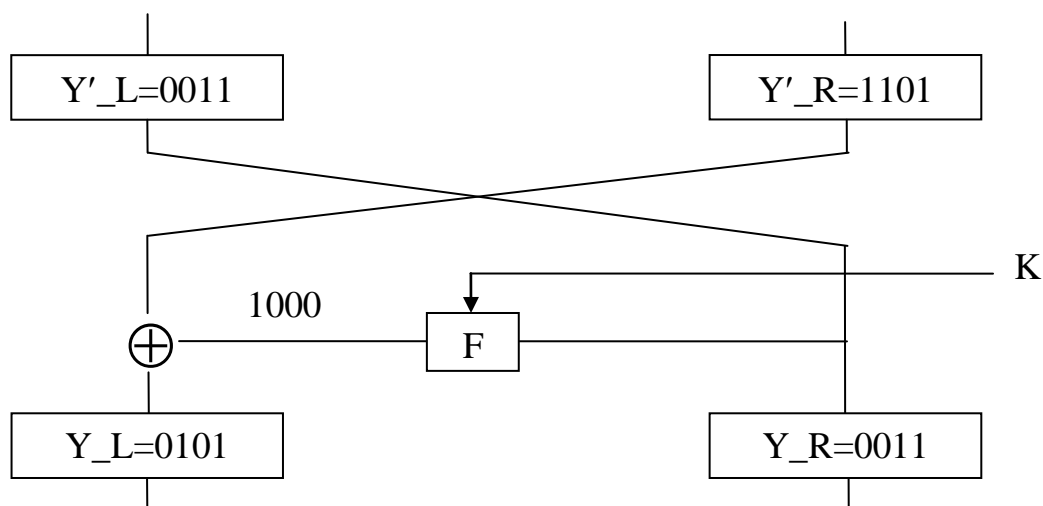


Рис. 43. Пример данных для анализа последних раундов первой слайдовой пары

- Определить значение входа F -функции (совпадает с Y'_L), в примере имеем – 0011.
 - Выполнить преобразование E/P , в примере получено значение 10010110. Тогда на вход блока $S1$ подано значение $1001 \oplus K1$, блока $S2$ – значение $0110 \oplus K2$.
 - Определить возможные значения ключа. В примере получены возможные значения $K1$: 1001, 1100, 0010, 0101, 0111. Возможные значения $K2$: 0101, 1100, 1011, 1000.
15. Скопировать полученные в ходе анализа значение ключа (а лучше результаты всех проведенных расчетов) на новый лист, пометив анализ каких раундов и для какой слайдовой пары был проведен. При копировании использовать вставку значений (**Главная/Вставить/Вставить значения**).
16. Очистить результаты предыдущих вычислений на листе *анализ*, кроме последовательностей номеров бит, задающих операции $P4^{-1}$ и E/P (если они были занесены на лист в ходе предыдущего анализа).

17. Сопоставить значения ключа, полученные при анализе первых и последних раундов слайдовой пары. Такое сопоставление обычно позволяет сократить число вариантов ключа, поскольку оставляются только совпадающие значения. Сопоставление производится отдельно для подключа $K1$ и подключа $K2$.

В примере сопоставление возможных значений подключей $K1$ и $K2$, полученные в ходе анализа первых и последних раундов первой слайдовой пары дает совпадение двух значений $K1$ и двух значений $K2$, что позволяет получить всего 4 возможных варианта искомого ключа (рис. 44).

| $K1$ | | $K2$ | |
|---------|------------------|---------|------------------|
| первые, | последние раунды | первые, | последние раунды |
| 1110 | 1001 | 1000 | 0101 |
| 1011 | 1100 | 0001 | 1100 |
| 0101 | 0010 | 0110 | 1011 |
| 0010 | 0101 | 0101 | 1000 |
| 0001 | 0111 | | |

Рис. 44. Пример сопоставления полученных значений подключей (первая слайдовая пара)

Таким образом, $K1$ может принимать значения 0101 или 0010, $K2$ – значения 1000 или 0101.

ЗАМЕЧАНИЕ: Варианты искомого ключа получаются как сочетания вариантов $K1$ с любым из вариантов $K2$. Таким образом, если имеется m вариантов $K1$ и k вариантов $K2$, то можно определить mk различных вариантов искомого ключа.

Для дальнейшего сужения круга значений ключей следует проанализировать другие слайдовые пары.

ЗАМЕЧАНИЕ: Если при анализе не найдено совпадений среди вариантов значений $K1$ или $K2$, значит, пара не является слайдовой (или в ходе анализа допущены вычислительные ошибки), и следует перейти к анализу следующей пары.

Задание 4. Провести анализ следующей слайдовой пары.

18. Занести на лист *анализ* значения текстов второй слайдовой пары из отображенных на листе данные для *анализа*. Провести анализ пары аналогично заданиям 2 и 3.

- В примере в качестве второй слайдовой пары выбрана пара 13, 5(рис. 39).
- При анализе первых раундов второй слайдовой пары, получаем: выход F – 1000, вход – 1101. Это совпадает с данными первых раундов первой слайдовой пары (задание 2) и не даст новых результатов.
- Анализ последних раундов второй слайдовой пары (рис.45) дает значение выхода F -функции – 1110. После обратного преобразования $P4^{-1}$ получаем выход S -блоков: 0111, выход $S1$ – 01, выход $S2$ – 11.
- С помощью таблицы 19, получены возможные входы $S1$: 0000, 0101, 1011, 1100 и 1111; возможные входы $S2$: 0110, 0111, 1000, 1111.
- Входом F -функции является значение 1110. Е/Рпреобразование дает значение 01111101. На вход блока $S1$ подано значение $0111 \oplus K1$, блока $S2$ – значение $1101 \oplus K2$.

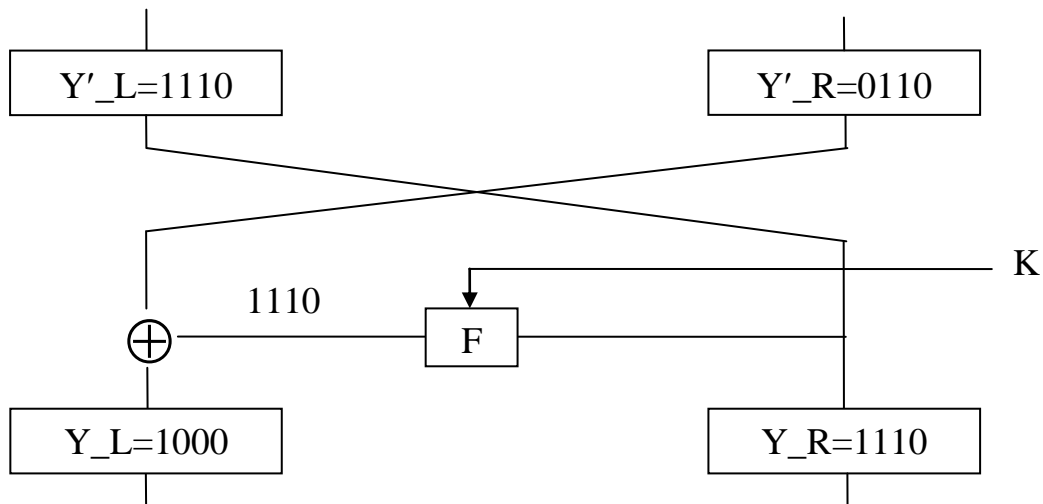


Рис. 45. Пример данных для анализа последних раундов второй слайдовой пары

- Возможными значениями $K2$ являются: 1011, 1010, 0101, 0010. Сравнение с результатами анализа первых раундов этой слай-

довой пары (рис. 42) дает одно совпадение: 0101. Таким образом, подключ K_2 однозначно определен.

- Поскольку найдены совпадающие значения для обеих частей ключа, пара может быть признана слайдовой.
19. Проверить наличие совпадающих значений ключа с результатами анализа предыдущих слайдовых пар.
- В примере со значениями K_1 , полученными в ходе анализа первой слайдовой пары (рис. 44), совпадает только одно значение – 0010. Таким образом, подключ K_1 однозначно определен: $K_1 = 0010$.
 - Найденное значение $K_2 = 0101$ совпадает с одним из значений, полученных при анализе первой слайдовой пары (рис. 44).
 - Таким образом, получили однозначно определенный истинный ключ $K = K_1 \& K_2 = 00100101$.
20. Для проверки полученного значения ключа следует ввести его значение в ячейку **K21** листа *анализ* и нажать кнопку **Проверить ключ**. В случае правильно определенного значения будет выдано подтверждение о верности значения секретного ключа (*ключ верен*).

ЗАМЕЧАНИЕ: Если анализ 3-4 слайдовых пар не позволяет однозначно определить значение секретного ключа, следует поочередно проверить все отобранные в ходе анализа варианты секретных ключей и выбрать правильный.

21. Поскольку в рассматриваемом примере значение секретного ключа найдено верно, анализ остальных слайдовых пар можно не проводить.
22. Продемонстрировать преподавателю полученное значение секретного ключа K , правильность которого подтверждена с помощью файла *Слайдовая атака.xlsm*.

Практическая работа №7. Изучение шифра AES

Описание алгоритма шифрования

Алгоритм AES использует для шифрования 128-битовые блоки текста и ключи трех фиксированных размеров: 128, 192 и 256 битов.

Алгоритм AES представляет блок данных в виде двумерного массива байтов размером 4×4 . Запись байтов в массив производится по столбцам. Все операции производятся над отдельными байтами массива, а также над независимыми столбцами и строками.

Для шифрования в каждом раунде алгоритма используются следующие преобразования: *SubBytes*, *ShiftRows*, *MixColumns*, *AddRoundKey* (рис.46).

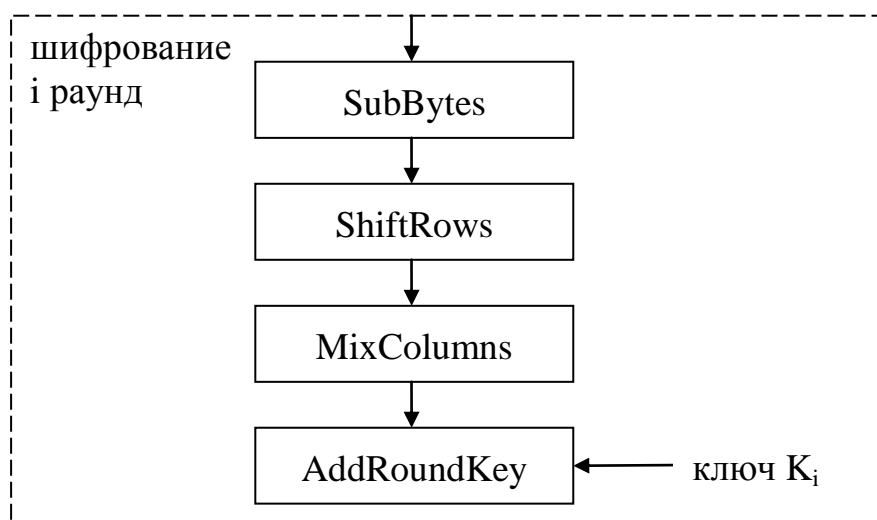


Рис. 46. Раунд шифрования алгоритма AES

Операция *SubBytes* представляет собой табличную замену каждого байта массива данных. Замена производится в соответствии с табл. 21. Байты представляются двухразрядными шестнадцатеричными числами. Первый шестнадцатеричный разряд определяет строку, а второй – столбец таблицы 21, определяющие новое значение байта.

Примеры операции *SubBytes*: $7C \rightarrow 10$, $F4 \rightarrow BF$.

Таблица 21

Таблица замен операции *SubBytes*

| | 0 | 1 | 2 | 3 | 4 | 5 | 6 | 7 | 8 | 9 | A | B | C | D | E | F |
|---|----|----|----|----|----|----|----|----|----|----|----|----|----|----|----|----|
| 0 | 63 | 7C | 77 | 7B | F2 | 6B | 6F | C5 | 30 | 01 | 67 | 2B | FE | D7 | AB | 76 |
| 1 | CA | 82 | C9 | 7D | FA | 59 | 47 | F0 | AD | D4 | A2 | AF | 9C | A4 | 72 | C0 |
| 2 | B7 | FD | 93 | 26 | 36 | 3F | F7 | CC | 34 | A5 | E5 | F1 | 71 | D8 | 31 | 15 |
| 3 | 04 | C7 | 23 | C3 | 18 | 96 | 05 | 9A | 07 | 12 | 80 | E2 | EB | 27 | B2 | 75 |
| 4 | 09 | 83 | 2C | 1A | 1B | 6E | 5A | A0 | 52 | 3B | D6 | B3 | 29 | E3 | 2F | 84 |
| 5 | 53 | D1 | 00 | ED | 20 | FC | B1 | 5B | 6A | CB | BE | 39 | 4A | 4C | 58 | CF |

| | | | | | | | | | | | | | | | | |
|---|----|----|----|----|----|----|----|----|----|----|----|----|----|----|----|----|
| 6 | D0 | EF | AA | FB | 43 | 4D | 33 | 85 | 45 | F9 | 02 | 7F | 50 | 3C | 9F | A8 |
| 7 | 51 | A3 | 40 | 8F | 92 | 9D | 38 | F5 | BC | B6 | DA | 21 | 10 | FF | F3 | D2 |
| 8 | CD | 0C | 13 | EC | 5F | 97 | 44 | 17 | C4 | A7 | 7E | 3D | 64 | 5D | 19 | 73 |
| 9 | 60 | 81 | 4F | DC | 22 | 2A | 90 | 88 | 46 | EE | B8 | 14 | DE | 5E | 0B | DB |
| A | E0 | 32 | 3A | 0A | 49 | 06 | 24 | 5C | C2 | D3 | AC | 62 | 91 | 95 | E4 | 79 |
| B | E7 | C8 | 37 | 6D | 8D | D5 | 4E | A9 | 6C | 56 | F4 | EA | 65 | 7A | AE | 08 |
| C | BA | 78 | 25 | 2E | 1C | A6 | B4 | C6 | E8 | DD | 74 | 1F | 4B | BD | 8B | 8A |
| D | 70 | 3E | B5 | 66 | 48 | 03 | F6 | 0E | 61 | 35 | 57 | B9 | 86 | C1 | 1D | 9E |
| E | E1 | F8 | 98 | 11 | 69 | D9 | 8E | 94 | 9B | 1E | 87 | E9 | CE | 55 | 28 | DF |
| F | 8C | A1 | 89 | 0D | BF | E6 | 42 | 68 | 41 | 99 | 2D | 0F | B0 | 54 | BB | 16 |

Операция *ShiftRows* выполняет циклический сдвиг влево последних трех строк массива данных (рис.47).

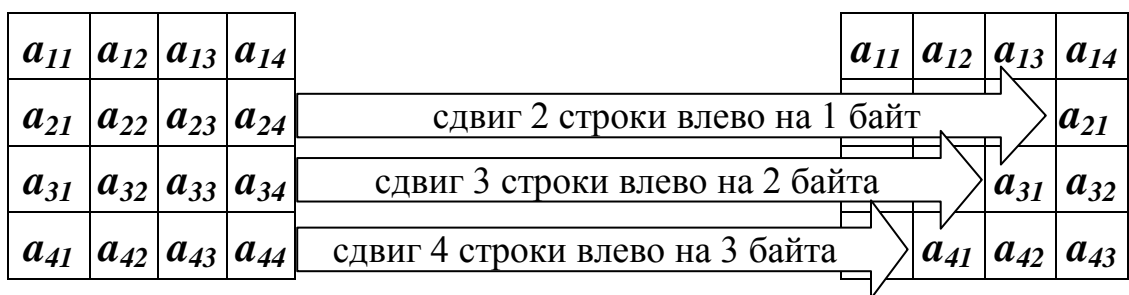


Рис. 47. Операция *ShiftRows*

Пример операции *ShiftRows*:

| | | | |
|----|----|----|----|
| D4 | E0 | B8 | 1E |
| 27 | BF | B4 | 41 |
| 11 | 98 | 5D | 52 |
| AE | F1 | E5 | 30 |

→

| | | | |
|----|----|----|----|
| D4 | E0 | B8 | 1E |
| BF | B4 | 41 | 27 |
| 5D | 52 | 11 | 98 |
| 30 | AE | F1 | E5 |

Операция *MixColumns* производится над каждым из столбцов массива данных. Выполняется умножение столбца, который рассматривается как полином в конечном поле Галуа $GF(2^8)$ на фиксированный полином $g(x) = 3x^3 + x^2 + x + 2$. Умножение выполняется по модулю $x^4 + 1$.

Элементы a_k столбца рассматриваются как коэффициенты полинома третьей степени, в результате, новые значения b_k столбца байтов могут быть вычислены по формуле:

$$\begin{pmatrix} b_1 \\ b_2 \\ b_3 \\ b_4 \end{pmatrix} = \begin{pmatrix} 02 & 03 & 01 & 01 \\ 01 & 02 & 03 & 01 \\ 01 & 01 & 02 & 03 \\ 03 & 01 & 01 & 02 \end{pmatrix} \begin{pmatrix} a_1 \\ a_2 \\ a_3 \\ a_4 \end{pmatrix},$$

или

$$\begin{aligned} b_1 &= 02 \cdot a_1 \oplus 03 \cdot a_2 \oplus a_3 \oplus a_4 \\ b_2 &= a_1 \oplus 02 \cdot a_2 \oplus 03 \cdot a_3 \oplus a_4 \\ b_3 &= a_1 \oplus a_2 \oplus 02 \cdot a_3 \oplus 03 \cdot a_4 \\ b_4 &= 03 \cdot a_1 \oplus a_2 \oplus a_3 \oplus 02 \cdot a_4, \end{aligned}$$

где 02, 03 – двузначные шестнадцатеричные числа, a_k – элементы исходного столбца, представленные как элементы из $GF(2^8)$. Каждое значение a_k может быть представлено в виде восьмиразрядного двоичного числа (8-битовой строки), которому соответствует полином 7 степени, коэффициенты которого (0 или 1) определяются значениями соответствующих бит.

Например, шестнадцатеричному числу 10_{16} соответствует двоичное число 00010000_2 и полином $0 \cdot x^7 + 0 \cdot x^6 + 0 \cdot x^5 + 1 \cdot x^4 + 0 \cdot x^3 + 0 \cdot x^2 + 0 \cdot x + 0 \cdot 1 = x^4$.

Числу $BF_{16} = 10111111_2$ соответствует полином $1 \cdot x^7 + 0 \cdot x^6 + 1 \cdot x^5 + 1 \cdot x^4 + 1 \cdot x^3 + 1 \cdot x^2 + 1 \cdot x + 1 \cdot 1 = x^7 + x^5 + x^4 + x^3 + x^2 + x + 1$.

Операция \oplus – сложение в поле $GF(2^8)$, которое определяется как побитовая операция XOR.

Например, в шестнадцатеричном виде: $10 \oplus BF = AF$, в полиномиальном виде: $x^4 + x^7 + x^5 + x^4 + x^3 + x^2 + x + 1 = x^7 + x^5 + x^3 + x^2 + x + 1$, в двоичном виде: $00010000 + 10111111 = 10101111$.

Операция \cdot – умножение в поле $GF(2^8)$ по модулю $m(x) = x^8 + x^4 + x^3 + x + 1$. В отличие от сложения, в $GF(2^8)$ простой операции умножения на уровне байтов не существует.

Например, $BF \cdot 10 = 05$, или, в полиномиальном представлении:

$$\begin{aligned} (x^7 + x^5 + x^4 + x^3 + x^2 + x + 1) \cdot x^4 &= x^{11} + x^9 + x^8 + x^7 + x^6 + x^5 + x^4 = \\ (x^8 + x^4 + x^3 + x + 1)(x^3 + x + 1) + x^2 + 1 &= \\ (x^{11} + x^7 + x^6 + x^4 + x^3 + x^9 + x^5 + x^4 + x^2 + x + x^8 + x^4 + x^3 + x + 1) + x^2 + 1 &= \\ x^{11} + x^9 + x^8 + x^7 + x^6 + x^5 + x^4 & \end{aligned}$$

Далее следует взять остаток от деления полученного результата на $m(x)$, чтобы получить элемент поле $GF(2^8)$, то есть сте-

пень результирующего результата, не превышающую 7. В примере получим x^2+1 (000000101 в двоичном представлении или 05 в шестнадцатеричном).

Пример операции *MixColumns*:

| | | |
|----|---|----|
| D4 | → | 04 |
| BF | | 66 |
| 5D | | 81 |
| 30 | | E5 |

Операция *AddRoundKey* выполняет наложение на массив данных материала ключа, а именно для каждого байта массива данных выполняется побитовая операция XOR с соответствующим байтом ключа раунда.

$$b_{kl} = a_{kl} \oplus K_{kl}$$

Например, если первый байт массива данных – 04, а первый байт ключа раунда – F5, то результат *AddRoundKey* для первого байта составит F1.

Количество раундов алгоритма AES определяется длиной ключа (табл.22).

Таблица 2

Число раундов AES

| | | | |
|-----------------------------|-----|-----|-----|
| Размер ключа в битах | 128 | 192 | 256 |
| Количество раундов N | 10 | 12 | 14 |

Перед первым раундом выполняется предварительное наложение на открытый текст материала ключа с помощью операции *AddRoundKey*.

Последний раунд отличается от предыдущих тем, что в нем не выполняется операция *MixColumns*.

Рассмотрим далее *процедуру расширения ключа* только для алгоритма AES с 128-битовыми ключами (AES-128).

Формируются константы раунда *RCon* – 4-х байтовые столбцы, первый байт которых равен $2^{i-1} \bmod 256$, i – номер раунда, а остальные байты – нулевые (табл.23).

Константы раунда $RCon$

| 1 | 2 | 3 | 4 | 5 | 6 | 7 | 8 | 9 | 10 |
|----|----|----|----|----|----|----|----|----|----|
| 01 | 02 | 04 | 08 | 10 | 20 | 40 | 80 | 1B | 36 |
| 00 | 00 | 00 | 00 | 00 | 00 | 00 | 00 | 00 | 00 |
| 00 | 00 | 00 | 00 | 00 | 00 | 00 | 00 | 00 | 00 |
| 00 | 00 | 00 | 00 | 00 | 00 | 00 | 00 | 00 | 00 |

Ключ K_i раунда i – массив байтов размером 4×4 . Обозначим столбцы этой таблицы через Ti_k . Ключ K_i раунда i формируется на основании ключа предыдущего раунда K_{i-1} и константы раунда $RCon_i$.

Ti_1 формируется следующим образом:

$$Ti_1 = SubBytes(RotWord(Ti-1_4)) \oplus RCon_i \oplus Ti-1_1.$$

- К первому столбцу $Ti-1_4$ ключа предыдущего раунда K_{i-1} применяется преобразование $RotWord$, заключающееся в циклическом сдвиге на 1 байт влево.
- К результату операции $RotWord$ применяется операция $SubBytes$ в соответствии с таблицей 21.
- К результату применяется операция побитового XOR с константой раунда и с $Ti-1_1$.

Пример вычисления первого столбца ключа 2 раунда:

K_1 – ключ предыдущего раунда

| $T1_1$ | $T1_4$ | $RotWord T1_4$ | \rightarrow | $SubBytes$ | \rightarrow | $\oplus RCon_2$ | \rightarrow | $\oplus T1_1$ | $T2_1$ |
|--------|--------|----------------|---------------|------------|---------------|-----------------|---------------|---------------|--------|
| F5 | 01 | AE | | 3B | | E2 | | E0 | 15 |
| D5 | D2 | 12 | | BB | | EA | | EA | 3F |
| 9A | 13 | C3 | | 36 | | 05 | | 05 | 9F |
| 32 | 7A | C7 | | 88 | | C4 | | C4 | F6 |

$Ti_k, k \neq 1$ получаются применением к предыдущему столбцу ключа Ti_{k-1} операции побитового XOR с соответствующим столбцом $Ti-1_k$ ключа предыдущего раунда: $Ti_k = Ti_{k-1} \oplus Ti-1_k$.

В рассмотренном выше примере, следующие столбцы ключа 2 раунда вычисляются как:

| $T2_1 \oplus T1_2$ | \rightarrow | $T2_2 \oplus T1_3$ | \rightarrow | $T2_3 \oplus T1_4$ | \rightarrow | $T2_4$ |
|--------------------|---------------|--------------------|---------------|--------------------|---------------|--------|
| 15 | | 14 | | BA | | 32 |
| 3F | 01 | ED | AE | FF | 88 | C4 |
| 9F | D2 | 8C | 12 | 4F | 3B | F4 |
| F6 | 13 | 8C | C3 | 4B | BB | 7D |
| | 7A | | C7 | | 36 | |

Получаемые значения 2, 3 и 4 столбца ключа выделены цветом.

Для расшифрования в каждом раунде алгоритма используются преобразования: *InvShiftRows*, *InvSubBytes*, *AddRoundKey*, *InvMixColumns* (рис.48).

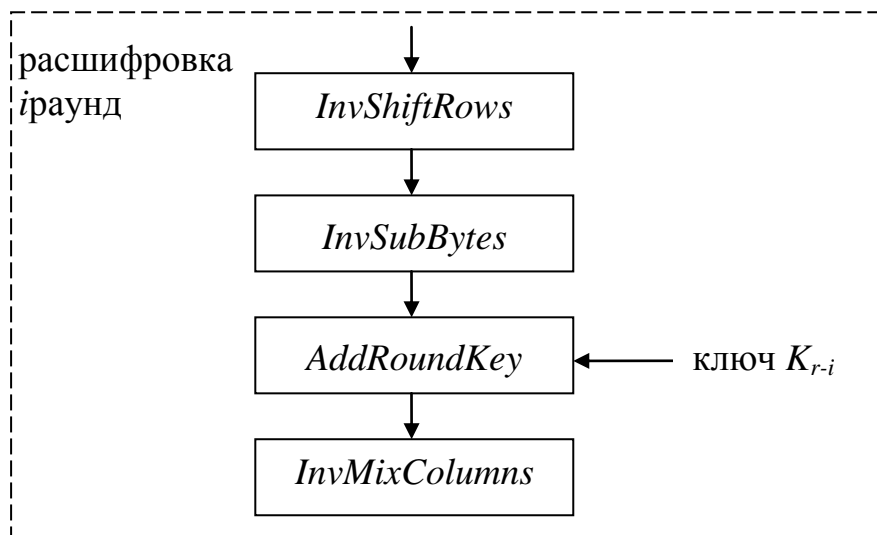


Рис. 48. Раунд расшифрования алгоритма AES

Аналогично процедуре шифрования перед первым раундом расшифрования выполняется операция *AddRoundKey*, накладывающая на шифр-текст значения ключа последнего (r) раунда шифрования. Последний раунд расшифровки не содержит операцию *InvMixColumns*.

Аналогично процедуре шифрования перед первым раундом расшифрования выполняется операция *AddRoundKey*, накладывающая на шифр-текст значения ключа последнего (r) раунда шифрования. Последний раунд расшифровки не содержит операцию *InvMixColumns*.

Операция *InvShiftRows* производит циклический сдвиг вправо трех последних строк массива данных на то же количество байтов, на которое выполнялся сдвиг операцией *ShiftRows* при шифровании.

Операция *InvSubBytes* производит побайтно обратную *SubByte* табличную замену в соответствии с таблицей 24.

Таблица замен операции *InvSubBytes*

| | 0 | 1 | 2 | 3 | 4 | 5 | 6 | 7 | 8 | 9 | A | B | C | D | E | F |
|---|----|----|----|----|----|----|----|----|----|----|----|----|----|----|----|----|
| 0 | 52 | 09 | 6A | D5 | 30 | 36 | A5 | 38 | BF | 40 | A3 | 9E | 81 | F3 | D7 | FB |
| 1 | 7C | E3 | 39 | 82 | 9B | 2F | FF | 87 | 34 | 8E | 43 | 44 | C4 | DE | E9 | CB |
| 2 | 54 | 7B | 94 | 32 | A6 | C2 | 23 | 3D | EE | 4C | 95 | 0B | 42 | FA | C3 | 4E |
| 3 | 08 | 2E | A1 | 66 | 28 | D9 | 24 | B2 | 76 | 5B | A2 | 49 | 6D | 8B | D1 | 25 |
| 4 | 72 | F8 | F6 | 64 | 86 | 68 | 98 | 16 | D4 | A4 | 5C | CC | 5D | 65 | B6 | 92 |
| 5 | 6C | 70 | 48 | 50 | FD | ED | B9 | DA | 5E | 15 | 46 | 57 | A7 | 8D | 9D | 84 |
| 6 | 90 | D8 | AB | 00 | 8C | BC | D3 | 0A | F7 | E4 | 58 | 05 | B8 | B3 | 45 | 06 |
| 7 | D0 | 2C | 1E | 8F | CA | 3F | 0F | 02 | C1 | AF | BD | 03 | 01 | 13 | 8A | 6B |
| 8 | 3A | 91 | 11 | 41 | 4F | 67 | DC | EA | 97 | F2 | CF | CE | F0 | B4 | E6 | 73 |
| 9 | 96 | AC | 74 | 22 | E7 | AD | 35 | 85 | E2 | F9 | 37 | E8 | 1C | 75 | DF | 6E |
| A | 47 | F1 | 1A | 71 | 1D | 29 | C5 | 89 | 6F | B7 | 62 | 0E | AA | 18 | BE | 1B |
| B | FC | 56 | 3E | 4B | C6 | D2 | 79 | 20 | 9A | DB | C0 | FE | 78 | CD | 5A | F4 |
| C | 1F | DD | A8 | 33 | 88 | 07 | C7 | 31 | B1 | 12 | 10 | 59 | 27 | 80 | EC | 5F |
| D | 60 | 51 | 7F | A9 | 19 | B5 | 4A | 0D | 2D | E5 | 7A | 9F | 93 | C9 | 9C | EF |
| E | A0 | E0 | 3B | 4D | AE | 2A | F5 | B0 | C8 | EB | BB | 3C | 83 | 53 | 99 | 61 |
| F | 17 | 2B | 04 | 7E | BA | 77 | D6 | 26 | E1 | 69 | 14 | 63 | 55 | 21 | 0C | 7D |

Операция *AddRoundKey* выполняет наложение на массив данных ключа раунда, однако использование ключей раундов при расшифровке производится в обратную сторону (от $r-1$ до 0). Таким образом, в i раунде расшифрования используется ключ $r-i$ раунда шифрования $-Kr-i$.

Операция *InvMixColumns* выполняет умножение каждого столбца массива данных аналогично прямой операции *MixColumns* на полином $g^{-1}(x) = Bx^3 + Dx^2 + 9x + E$.

Задание

A. Выполнить «в ручную» операцию *MixColumns* для заданного столбца байтов. Выбор столбца байтов для преобразования производится из таблицы 25 в соответствии с номером варианта.

B. Зашифровать с помощью алгоритма AES-128 заданный фрагмент на заданном ключе.

C. Дешифровать заданную криптограмму, полученную шифром AES-128 на ключе из задания **B**, получить открытый текст сообщения.

Выбор блока открытого текста для шифрования, ключа и криптограммы для расшифровывания производится из таблицы 25 в соответствии с номером варианта.

Таблица 25

Варианты задания

| | | |
|----|--|---|
| 1. | Столбец байтов
AD
41
87
AC | Блок текста:
38 AD C5 0F AC 3F C1 1B 4C 8E B2 80 57 90 23 2C
Ключ:
A4 83 01 77 CA 0F 68 EE AF 66 AB 45 A7 7B 89 08
Криптограмма:
AB 0A 78 15 33 CC 17 49 18 74 F4 AA 2C 92 9F 07 |
| 2. | Столбец байтов
47
33
8D
E5 | Блок текста:
73 46 8E DE 88 B0 36 95 56 D3 59 B9 00 54 FB 89
Ключ:
87 24 31 2B 4D 2B 59 C5 E2 4D F2 80 45 36 7B 88
Криптограмма:
E3 9A 65 4D 83 01 94 DE A9 D5 4F BE 20 13 37 9A |
| 3. | Столбец байтов
24
C6
24
0F | Блок текста:
DC 9F 26 D8 66 2F C2 C1 C8 BD 2F 25 3E B8 B2 DE
Ключ:
86 05 F5 45 CB 2E AC 80 29 63 5E 00 6C 55 25 88
Криптограмма:
AF 01 8D DD B8 BF 03 D6 51 00 BB BA 25 96 C2 5E |
| 4. | Столбец байтов
BD
8C
58
3A | Блок текста:
A6 8B 6B EE 75 D1 28 5A D9 29 A7 48 7F 1A 47 C5
Ключ:
72 3A 31 15 B9 14 9D 95 90 77 C3 95 FC 22 E6 1D
Криптограмма:
5F A4 49 D6 02 F0 20 87 F6 90 D3 A8 13 1A F3 4B |
| 5. | Столбец байтов
00
41
87
AC | Блок текста:
82 20 62 4C E4 0B 86 7C C6 22 73 70 62 84 97 DD
Ключ:
F1 84 95 A5 48 A0 08 30 D8 D7 CB A5 24 F5 2D B8
Криптограмма:
C9 5A DB 3B 19 43 E6 0D 2E 27 F1 41 D9 47 5C 9C |

| | | |
|------------|----------------|--|
| 6. | Столбец байтов | Блок текста:
E4 BA F0 AD 95 5E 82 C2 F0 28 5F B7 BC B7 4B 0C |
| | 29 | Ключ:
37 6C F9 93 7F CC F1 A3 A7 1B 3A 06 83 EE 17 BE |
| | 33 | Криптограмма:
FB D4 F2 68 43 D6 F8 08 AB F9 B3 5D CA C3 8E F0 |
| | 8D | |
| 7. | Столбец байтов | Блок текста:
3C 01 54 58 51 D5 36 6B ED 74 73 E6 F4 E4 40 BF |
| | 2A | Ключ:
5F 9C 57 7F 20 50 A6 DC 87 4B 9C DA 04 A5 8B 64 |
| | C6 | Криптограмма:
36 FF F9 82 E2 BC 3E DB 86 C1 99 CB B8 67 9D 4A |
| | 24 | |
| 8. | Столбец байтов | Блок текста:
10 F3 A2 C5 57 CF 49 FB C9 D3 61 92 6E 63 CB C0 |
| | E9 | Ключ:
D9 A1 14 8D F9 F1 B2 51 7E BA 2E 8B 7A 1F A5 EF |
| | 8C | Криптограмма:
2D 26 DF 69 B4 01 66 43 A6 B7 B8 27 D4 A3 1C 24 |
| | 85 | |
| 9. | Столбец байтов | Блок текста:
86 F4 44 C2 5C E1 40 92 FC CB 6D 28 3C 98 90 FD |
| | 14 | Ключ:
19 A6 CB 57 E0 57 79 06 9E ED 57 8D E4 F2 F2 62 |
| | 9F | Криптограмма:
D3 70 BA D5 8B 86 3F 46 54 A3 C3 D5 FE 08 53 93 |
| | 7D | |
| 10. | Столбец байтов | Блок текста:
98 4C FA B5 40 88 61 C2 DA 2E F9 FE 93 D3 D6 A8 |
| | 35 | Ключ:
CF 5C 09 49 4A 06 68 CE D7 47 94 A5 FE F2 C7 CE |
| | 66 | Криптограмма:
96 62 59 51 53 34 06 A7 99 3F 54 3A 33 F3 E2 10 |
| | 8B | |
| 11. | Столбец байтов | Блок текста:
4F FB FF 41 28 B9 C3 A3 DB 8E 90 5D 72 ED 21 1A |
| | A1 | Ключ:
44 9A 82 F2 0E 9C EA 3C D9 DB 7E 99 27 29 B9 57 |
| | 7B | Криптограмма:
CE 6F 00 C6 4A 36 FF B8 E7 D3 E7 A7 A7 09 46 80 |
| | E9 | |
| 89 | | |

| | | |
|------------|----------------|--|
| 12. | Столбец байтов | Блок текста:
6F B0 6D 0C 33 05 B8 99 53 F8 A0 1E D4 49 7E 2E |
| | 05 | Ключ:
E5 CC D9 3E EB 50 33 02 32 8B 4D 9B 15 A2 F4 CC |
| | A3 | Криптограмма:
71 6C 85 E2 21 8A 62 22 8D 12 37 34 63 BA 3A 12 |
| | D3 | |
| 62 | | |
| 13. | Столбец байтов | Блоктекста:
C2 B8 92 34 B8 E1 55 09 6C BA CA 77 A9 F9 15 7B |
| | 95 | Ключ:
D7 73 92 67 3C 23 A1 65 0E A8 EC FE 1B 0A 18 32 |
| | 9F | Криптограмма:
5D 07 C0 8A CD A7 4F B3 5F 1B 39 8C E9 F0 FA CD |
| | D7 | |
| ED | | |
| 14. | Столбец байтов | Блоктекста:
DB 00 C4 C6 A2 4F A3 4C 50 01 B8 DA 1B EB 40 3D |
| | 05 | Ключ:
A0 DE B1 CB 9C FD 10 AD 92 55 FC 53 89 5F E4 61 |
| | 66 | Криптограмма:
AF 91 26 B5 6D BE 5E D2 9E F2 62 17 61 31 85 B2 |
| | B8 | |
| F3 | | |
| 15. | Столбец байтов | Блоктекста:
15 E7 3D BE D1 90 83 E5 21 C2 05 01 34 7F C5 4C |
| | 30 | Ключ:
4F 87 5E 6F D3 4A 4E C2 41 1F B2 91 CB 40 56 F0 |
| | 7B | Криптограмма:
DB AE 22 2E 3D AC 5C F8 DE 46 2A BF DD 8B E4 D8 |
| | 0E | |
| 98 | | |
| 16. | Столбец байтов | Блоктекста:
A4 83 01 77 CA 0F 68 EE AF 66 AB 45 A7 7B 89 08 |
| | F2 | Ключ:
E6 6E E7 1F E8 03 32 D3 33 CA 38 DE C8 B1 93 51 |
| | A3 | Криптограмма:
30 63 8A EB 86 86 93 91 18 C2 21 66 CD 38 10 FA |
| | 3D | |
| 26 | | |
| 17. | Столбец байтов | Блок текста:
87 24 31 2B 4D 2B 59 C5 E2 4D F2 80 45 36 7B 88 |
| | C9 | Ключ:
6E 70 D9 89 05 87 8F 66 BB D9 4F 8B 75 26 54 8C |
| | 80 | Криптограмма:
08 75 94 2C 3C 2C C5 C4 7A 93 4D 02 0F 1D C3 C5 |
| | 2E | |
| 8C | | |

| | | |
|------------|----------------|--|
| 18. | Столбец байтов | Блок текста:
86 05 F5 45 CB 2E AC 80 29 63 5E 00 6C 55 25 88 |
| | 03 | Ключ:
43 EB E9 A5 44 1A AB 53 A4 E6 6D B2 0F 07 A2 FB |
| | 2D | Криптограмма:
96 6B 6E 3B EA FC 95 20 F3 AE 8C D1 EE 0C BB 92 |
| | 89 | |
| 2B | | |
| 19. | Столбец байтов | Блок текста:
72 3A 31 15 B9 14 9D 95 90 77 C3 95 FC 22 E6 1D |
| | 29 | Ключ:
D4 F2 93 9A CD 05 63 95 03 13 06 24 BF 0B F5 23 |
| | D5 | Криптограмма:
BE E6 73 E3 7C B4 86 C7 0C 3A 00 0F 96 57 F7 73 |
| | F5 | |
| 06 | | |
| 20. | Столбец байтов | Блок текста:
F1 84 95 A5 48 A0 08 30 D8 D7 CB A5 24 F5 2D B8 |
| | B5 | Ключ:
C5 C9 F4 94 7C 32 63 A7 13 75 E2 0A ED 7B 06 A7 |
| | 7D | Криптограмма:
08 1D B4 55 80 1B ED AF 21 4C 34 5A 7B EA 93 EC |
| | 0D | |
| 16 | | |
| 21. | Столбец байтов | Блок текста:
37 6C F9 93 7F CC F1 A3 A7 1B 3A 06 83 EE 17 BE |
| | 2D | Ключ:
61 C3 8B 03 CE D6 D4 F1 A6 43 9C 5A B1 77 E7 8F |
| | 80 | Криптограмма:
2C 97 CC 7E A3 3E 7E 98 9C B0 35 19 40 7A 95 6D |
| | E9 | |
| C8 | | |
| 22. | Столбец байтов | Блок текста:
5F 9C 57 7F 20 50 A6 DC 87 4B 9C DA 04 A5 8B 64 |
| | EA | Ключ:
BB 1C A2 D6 7A 7C 99 66 AC 9C 58 97 30 87 8E AC |
| | 2D | Криптограмма:
F1 00 63 F8 4B DB 3F CE 14 28 3D AF BC 62 B0 52 |
| | 19 | |
| B5 | | |
| 23. | Столбец байтов | Блок текста:
D9 A1 14 8D F9 F1 B2 51 7E BA 2E 8B 7A 1F A5 EF |
| | EE | Ключ:
45 64 6A EA 4E 12 9D 9A A5 62 8C E2 54 3D 93 A6 |
| | F5 | Криптограмма:
56 09 61 C6 9D B3 75 F2 DC 14 F9 5A B5 EA 61 1B |
| | 3E | |
| 60 | | |

| | | |
|------------|----------------|--|
| 24. | Столбец байтов | Блоктекста:
19 A6 CB 57 E0 57 79 06 9E ED 57 8D E4 F2 F2 62 |
| | 9B | Ключ:
E6 DD 69 0A 7A F2 E6 FE 17 38 70 C3 AC C1 DE 3E |
| | D7 | Криптограмма:
B1 0A 28 5F CD 15 04 9A 54 31 F8 F4 41 58 52 B8 |
| | 0D | |
| 51 | | |
| 25. | Столбец байтов | Блоктекста:
CF 5C 09 49 4A 06 68 CE D7 47 94 A5 FE F2 C7 CE |
| | 92 | Ключ:
20 44 A6 F1 AA 01 E7 91 A9 BD B6 D8 E0 B1 8A 2B |
| | 39 | Криптограмма:
2E AF 76 93 A0 E7 52 66 19 19 0D 77 32 F8 BF 44 |
| | 2C | |
| 17 | | |

Указания к выполнению практической работы

Для выполнения практической работы рекомендуется использовать файл *AES.xlsm*.

Технология выполнения задания

1. Изучить описание алгоритма AES, рекомендуется использовать презентацию алгоритма (файл *rij.exe*).

Задание А. Выполнить операцию *MixColumns* для заданного столбца байтов аналогично рассмотренному примеру.

Пример. Пусть задан столбец алгоритма AES, содержащий байты, представленные шестнадцатеричными числами: A1, BF, 5D, 30. Выполнить операцию *MixColumns* над заданным столбцом байтов.

2. Выполнить операцию *MixColumns* как действия с полиномами в конечном поле Галуа $GF(2^8)$. Элементы столбца определяются как полиномы в $GF(2^8)$:

- Преобразовать элементы столбца в полиномы в конечном поле Галуа $GF(2^8)$, для чего сначала перевести шестнадцатеричное число в двоичный вид с помощью Калькулятора Windows (*Инженерный режим*) или функцией *MSEXCELШЕСТН.В.ДВ* (группа *Инженерные*), а затем битовую строку – в полином.

Для рассматриваемого примера имеем:

$a_1 = A_{16} = 10100001_2$, соответствующий полином в поле Галуа имеет вид: x^7+x^5+1 ;

$$a_2 = BF_{16} = 10111111_2, x^7+x^5+x^4+x^3+x^2+x+1;$$

$$a_3 = 5D_{16} = 01011101_2, x^6+x^4+x^3+x^2+1;$$

$$a_4 = 30_{16} = 00110000_2, x^5+x^4.$$

3. Провести вычисление, используя $b_1 = 02 \bullet a_1 \oplus 03 \bullet a_2 \oplus a_3 \oplus a_4$, умножение полиномов производится по модулю $(x^8+x^4+x^3+x+1)$.

ЗАМЕЧАНИЕ: Значениям $02_{16} = 00000010_2$ и $03_{16} = 00000011_2$ соответствуют полиномы x и $x+1$ в конечном поле Галуа $GF(2^8)$.

В примере получаем:

$$b_1 = (x^7+x^5+1) \cdot x + (x^7+x^5+x^4+x^3+x^2+x+1) \cdot (x+1) + (x^6+x^4+x^3+x^2+1) + (x^5+x^4) = x^8+x^6+x^5+x^8+x^6+x^5+x^4+x^3+x^2+x^7+x^5+x^4+x^3+x^2+x+1+x^6+x^3+x^2+1+x^5 = x^7+x^6+x^5+x^3+x^2+x.$$

(заливкой выделены сокращаемые слагаемые, согласно определению операции сложения в $GF(2^8)$ как операции побитового XOR коэффициентов при одинаковых степенях)

Поскольку старшая степень результирующего полинома не превышает 7, приведение по модулю можно не проводить.

- Преобразовать результат в двузначное шестнадцатеричное число (воспользоваться Калькулятором Windows или инженерной функцией MSExcel ДВ.В.ШЕСТН): $b_1 = 11101110_2 = EE_{16}$.

4. Провести вычисление $b_2 = a_1 \oplus 02 \bullet a_2 \oplus 03 \bullet a_3 \oplus a_4$.

В примере получаем:

$$b_2 = (x^7+x^5+1) + (x^7+x^5+x^4+x^3+x^2+x+1) \cdot x + (x^6+x^4+x^3+x^2+1) \cdot (x+1) + (x^5+x^4) = x^7+1+x^8+x^6+x^5+x^4+x^3+x^2+x+x^7+x^5+x^4+x^3+x+x^6+x^4+x^3+x^2+1+x^4 = x^8+x^3.$$

Поскольку старшая степень полинома равна 8, следует привести результат по модулю $(x^8+x^4+x^3+x+1)$, что в данном случае означает сложение с этим полиномом:

$$x^8+x^3 \bmod (x^8+x^4+x^3+x+1) = (x^8+x^4+x^3+x+1) + x^8+x^3 = x^4+x+1.$$

Окончательно, $b_2 = 00010011_2 = 13_{16}$.

5. Провести вычисление $b_3 = a_1 \oplus a_2 \oplus 02 \bullet a_3 \oplus 03 \bullet a_4$.

В примере получаем:

$$b_3 = (x^7+x^5+1) + (x^7+x^5+x^4+x^3+x^2+x+1) + (x^6+x^4+x^3+x^2+1) \cdot x + (x^5+x^4) \cdot (x+1) = x^4+x^3+x^2+x+x^7+x^5+x^4+x^3+x+x^6+x^5+x^4 =$$

$$x^7+x^6+x^5+x^4+x^2.$$

$$b_3 = 11110100_2 = F4_{16}.$$

6. Провести вычисление $b_4 = 03 \cdot a_1 \oplus a_2 \oplus a_3 \oplus 02 \cdot a_4$.

В рассматриваемом примере:

$$\begin{aligned} b_4 &= (x^7+x^5+1) \cdot (x+1) + (x^7+x^5+x^4+x^3+x^2+x+1) + \\ & (x^6+x^4+x^3+x^2+1) + (x^5+x^4) \cdot x = \\ & = x^8+x^6+x^5+x^7+x^5+1+x^7+x^5+x^6+x^6+x^5 = x^8+x^6+x^5+1. \end{aligned}$$

Приведение по модулю:

$$(x^8+x^6+x^5+1) \bmod (x^8+x^4+x^3+x+1) = (x^8+x^4+x^3+x+1) + x^8+x^6+x^5+1 = x^6+x^5+x^4+x^3+x.$$

$$b_4 = 01111010_2 = 7A_{16}.$$

Результатом выполнения операции *MixColumns* над столбцом байтов A1, BF, 5D, 30 является столбец EE, 13, F4, 7A.

7. Выполнить операцию *MixColumns* как действия с двоичными разрядами.

ЗАМЕЧАНИЕ: В формулах для вычисления bi умножение на значение 02_{16} (00000010₂) можно рассматривать как сдвиг двоичного числа на один разряд влево, умножение на 03_{16} (00000011₂) – как сдвиг числа на один разряд влево с последующим сложением (XOR) с исходным числом. Приведение по модулю: $(x^8+x^4+x^3+x+1)$ – сложение (XOR) с 100011011₂.

- Представить элементы исходного столбца в двоичном виде.
В примере: $a_1 = 10100001_2$, $a_2 = 10111111_2$, $a_3 = 01011101_2$, $a_4 = 00110000_2$.

- Вычислить b_1 .

Для рассматриваемого примера получаем:

$$02 \cdot a_1 = 101000010,$$

$$03 \cdot a_2 = 101111110 \text{ XOR } 101111111 = 111000001.$$

$$\begin{array}{r} b_1 = \\ 1\ 0\ 1\ 0\ 0\ 0\ 0\ 1\ 0 \\ 1\ 1\ 1\ 0\ 0\ 0\ 0\ 0\ 1 \\ 0\ 1\ 0\ 1\ 1\ 1\ 0\ 1 \\ \text{XOR} \\ \hline 0\ 1\ 1\ 1\ 0\ 1\ 1\ 1\ 0 \end{array}$$

$$b_1 = 11101110_2 = EE_{16}.$$

- Вычислить b_2 .

В примере имеем:

$$02 \cdot a_2 = 101111110,$$

$$03 \cdot a_3 = 010111010 \text{ XOR } 01011101 = 011100111.$$

$$\begin{array}{r}
 b_2 = \quad 1 \ 0 \ 1 \ 0 \ 0 \ 0 \ 0 \ 1 \\
 \quad 1 \ 0 \ 1 \ 1 \ 1 \ 1 \ 1 \ 1 \\
 \quad 0 \ 1 \ 1 \ 1 \ 0 \ 0 \ 1 \ 1 \\
 \text{XOR} \quad 0 \ 0 \ 1 \ 1 \ 0 \ 0 \ 0 \ 0 \\
 \hline
 \quad 1 \ 0 \ 0 \ 0 \ 0 \ 1 \ 0 \ 0 \\
 \text{приведение, XOR} \quad 1 \ 0 \ 0 \ 0 \ 1 \ 1 \ 0 \ 1 \\
 \hline
 \quad 0 \ 0 \ 0 \ 0 \ 1 \ 0 \ 0 \ 1
 \end{array}$$

$$b_2 = 00010011_2 = 13_{16}$$

- Вычислить b_3 .

В примере:

$$02 \cdot a_3 = 010111010,$$

$$03 \cdot a_4 = 001100000 \text{ XOR } 00110000 = 001010000.$$

$$\begin{array}{r}
 b_3 = \quad 1 \ 0 \ 1 \ 0 \ 0 \ 0 \ 0 \ 1 \\
 \quad 1 \ 0 \ 1 \ 1 \ 1 \ 1 \ 1 \ 1 \\
 \quad 0 \ 1 \ 0 \ 1 \ 1 \ 1 \ 0 \ 1 \\
 \text{XOR} \quad 0 \ 0 \ 1 \ 0 \ 1 \ 0 \ 0 \ 0 \\
 \hline
 \quad 0 \ 1 \ 1 \ 1 \ 1 \ 0 \ 1 \ 0
 \end{array}$$

$$b_3 = 11110100_2 = F4_{16}$$

- Вычислить b_4 .

В примере:

$$03 \cdot a_1 = 101000010 \text{ XOR } 10100001 = 111100011.$$

$$02 \cdot a_4 = 001100000,$$

$$\begin{array}{r}
 b_4 = \quad 1 \ 1 \ 1 \ 1 \ 0 \ 0 \ 0 \ 1 \\
 \quad 1 \ 0 \ 1 \ 1 \ 1 \ 1 \ 1 \ 1 \\
 \quad 0 \ 1 \ 0 \ 1 \ 1 \ 1 \ 0 \ 1 \\
 \text{XOR} \quad 0 \ 0 \ 1 \ 1 \ 0 \ 0 \ 0 \ 0 \\
 \hline
 \quad 1 \ 0 \ 1 \ 1 \ 0 \ 0 \ 0 \ 1 \\
 \text{приведение, XOR} \quad 1 \ 0 \ 0 \ 0 \ 1 \ 1 \ 0 \ 1 \\
 \hline
 \quad 0 \ 0 \ 1 \ 1 \ 1 \ 1 \ 0 \ 1
 \end{array}$$

$$b_4 = 01111010_2 = 7A_{16}$$

Результат – столбец EE, 13, F4, 7A.

Задание В. Выполнить шифрование заданного блока текста аналогично рассмотренному примеру.

Пример. Пусть задан 128-битовый фрагмент текста «3243F6A8885A308D313198A2E0370734» и 128-битовый ключ «2B7E151628AED2A6ABF7158809CF4F3C». Требуется зашифровать текст с помощью алгоритма AES. Для шифрования рекомендуется использовать книгу *AES.xlsx*.

8. Выбрать значения блока текста и ключа шифрования из таблицы 25 в соответствии с номером варианта.
9. Открыть книгу *AES.xlsx*. Занести значения текста и ключа по байтно в ячейки диапазонов **B3:Q3** и **S3:AH3** листа *Данные шифр-е* книги *AES.xlsx*. Числовые значения следует вводить в текстовом формате, то есть предварять символом одинарной кавычки ('). Результат предварительного (нулевого) раунда отобразится в диапазоне **S5:V8** листа *Данные шифр-е*.

Для рассматриваемого примера:

| Данные | | | | Ключ 0 | | | | Результат 0 раунда | | | |
|--------|----|----|----|--------|----|----|----|--------------------|----|----|----|
| 32 | 88 | 31 | E0 | 2B | 28 | AB | 09 | 19 | A0 | 9A | E9 |
| 43 | 5A | 31 | 37 | 7E | AE | F7 | CF | 3D | F4 | C6 | F8 |
| F6 | 30 | 98 | 07 | 15 | D2 | 15 | 4F | E3 | E2 | 8D | 48 |
| A8 | 8D | A2 | 34 | 16 | A6 | 88 | 3C | BE | 2B | 2A | 08 |

10. Вычислить ключ 1 раунда шифрования:

- Перейти на лист *Расширение ключа*, в ячейке **A11** установить значение **1**.
- Скопировать данные из диапазона **K5:N8** листа *Данные шифр-е*, перейти на лист *Расширение ключа* и вставить значения в диапазон **F11:I14** командой **Вставить/Специальная вставка/Значения**.
- В диапазоне ячеек **A15:D18** листа *Расширение ключа* получен ключ 1 раунда.

В рассматриваемом примере имеем:

Результат (ключ 1 раунда):

| | | | |
|----|----|----|----|
| A0 | 88 | 23 | 2A |
| FA | 54 | A3 | 6C |
| FE | 2C | 39 | 76 |
| 17 | B1 | 39 | 05 |

- Скопировать значения ключа 1 раунда в диапазон ячеек **K10:N13** листа *Данные шифр-е* (**Вставить/Специальная вставка/Значения**).

11. Выполнить первый раунд шифрования:

- На листе *Данные шифр-е* автоматически заполнен диапазон **D10:G13** исходных данных 1 раунда шифрования. Скопировать значения из диапазона **D10:G13** в диапазон **C8:F11** листа *Шифрование* (**Вставить/Специальная вставка/Значения**).
- Аналогичным образом скопировать значения из диапазона **K10:N13** листа *Данные шифр-е* в диапазон ячеек **H8:K11** листа *Шифрование*.
- На листе *Шифрование* приведены результаты выполнения операций раунда.

В примере:

| SubBytes | | | | ShiftRows | | | | MixColumns | | | | AddRoundKey | | | |
|----------|----|----|----|-----------|----|----|----|------------|----|----|----|-------------|----|----|----|
| D4 | E0 | B8 | 1E | D4 | E0 | B8 | 1E | 04 | E0 | 48 | 28 | A4 | 68 | 6B | 02 |
| 27 | BF | B4 | 41 | BF | B4 | 41 | 27 | 66 | CB | F8 | 06 | 9C | 9F | 5B | 6A |
| 11 | 98 | 5D | 52 | 5D | 52 | 11 | 98 | 81 | 19 | D3 | 26 | 7F | 35 | EA | 50 |
| AE | F1 | E5 | 30 | 30 | AE | F1 | E5 | E5 | 9A | 7A | 4C | F2 | 2B | 43 | 49 |

- Скопировать результат выполнения последней операции раунда (данные диапазона **C53:F56** листа *Шифрование*) в диапазон **S10:V13** листа *Данные шифр-е*.

12. Повторить пункты 10-11 для всех раундов шифрования (со 2 по 9).

В примере будут получены следующие результаты:

| раунд 2 | текст | | | | ключ 2 | | | | результат раунда | | | |
|---------|-------|----|----|----|--------|----|----|----|------------------|----|----|----|
| | A4 | 68 | 6B | 02 | F2 | 7A | 59 | 73 | AA | 61 | 82 | 68 |
| | 9C | 9F | 5B | 6A | C2 | 96 | 35 | 59 | 8F | DD | D2 | 32 |
| | 7F | 35 | EA | 50 | 95 | B9 | 80 | F6 | 5F | E3 | 4A | 46 |
| | F2 | 2B | 43 | 49 | F2 | 43 | 7A | 7F | 03 | EF | D2 | 9A |

операции раунда

| SubBytes | | | | ShiftRows | | | | MixColumns | | | | AddRoundKey | | | |
|----------|----|----|----|-----------|----|----|----|------------|----|----|----|-------------|----|----|----|
| 49 | 45 | 7F | 77 | 49 | 45 | 7F | 77 | 58 | 1B | DB | 1B | AA | 61 | 82 | 68 |
| DE | DB | 39 | 02 | DB | 39 | 02 | DE | 4D | 4B | E7 | 6B | 8F | DD | D2 | 32 |
| D2 | 96 | 87 | 53 | 87 | 53 | D2 | 96 | CA | 5A | CA | B0 | 5F | E3 | 4A | 46 |
| 89 | F1 | 1A | 3B | 3B | 89 | F1 | 1A | F1 | AC | A8 | E5 | 03 | EF | D2 | 9A |

раунд 3

текст

| | | | |
|----|----|----|----|
| AA | 61 | 82 | 68 |
| 8F | DD | D2 | 32 |
| 5F | E3 | 4A | 46 |
| 03 | EF | D2 | 9A |

ключ 3

| | | | |
|----|----|----|----|
| 3D | 47 | 1E | 6D |
| 80 | 16 | 23 | 7A |
| 47 | FE | 7E | 88 |
| 7D | 3E | 44 | 3B |

результат раунда

| | | | |
|----|----|----|----|
| 48 | 67 | 4D | D6 |
| 6C | 1D | E3 | 5F |
| 4E | 9D | B1 | 58 |
| EE | 0D | 38 | E7 |

операции раунда

SubBytes

| | | | |
|----|----|----|----|
| AC | EF | 13 | 45 |
| 73 | C1 | B5 | 23 |
| CF | 11 | D6 | 5A |
| 7B | DF | B5 | B8 |

ShiftRows

| | | | |
|----|----|----|----|
| AC | EF | 13 | 45 |
| C1 | B5 | 23 | 73 |
| D6 | 5A | CF | 11 |
| B8 | 7B | DF | B5 |

MixColumns

| | | | |
|----|----|----|----|
| 75 | 20 | 53 | BB |
| EC | 0B | C0 | 25 |
| 09 | 63 | CF | D0 |
| 93 | 33 | 7C | DC |

AddRoundKey

| | | | |
|----|----|----|----|
| 48 | 67 | 4D | D6 |
| 6C | 1D | E3 | 5F |
| 4E | 9D | B1 | 58 |
| EE | 0D | 38 | E7 |

раунд 4

текст

| | | | |
|----|----|----|----|
| 48 | 67 | 4D | D6 |
| 6C | 1D | E3 | 5F |
| 4E | 9D | B1 | 58 |
| EE | 0D | 38 | E7 |

ключ 4

| | | | |
|----|----|----|----|
| EF | A8 | B6 | DB |
| 44 | 52 | 71 | 0B |
| A5 | 5B | 25 | AD |
| 41 | 7F | 3B | 00 |

результат раунда

| | | | |
|----|----|----|----|
| E0 | C8 | D9 | 85 |
| 92 | 63 | B1 | B8 |
| 7F | 63 | 35 | BE |
| E8 | C0 | 50 | 01 |

операции раунда

SubBytes

| | | | |
|----|----|----|----|
| 52 | 85 | E3 | F6 |
| 50 | A4 | 11 | CF |
| 2F | 5E | C8 | 6A |
| 28 | D7 | 07 | 94 |

ShiftRows

| | | | |
|----|----|----|----|
| 52 | 85 | E3 | F6 |
| A4 | 11 | CF | 50 |
| C8 | 6A | 2F | 5E |
| 94 | 28 | D7 | 07 |

MixColumns

| | | | |
|----|----|----|----|
| 0F | 60 | 6F | 5E |
| D6 | 31 | C0 | B3 |
| DA | 38 | 10 | 13 |
| A9 | BF | 6B | 01 |

AddRoundKey

| | | | |
|----|----|----|----|
| E0 | C8 | D9 | 85 |
| 92 | 63 | B1 | B8 |
| 7F | 63 | 35 | BE |
| E8 | C0 | 50 | 01 |

раунд 5

текст

| | | | |
|----|----|----|----|
| E0 | C8 | D9 | 85 |
| 92 | 63 | B1 | B8 |
| 7F | 63 | 35 | BE |
| E8 | C0 | 50 | 01 |

ключ 5

| | | | |
|----|----|----|----|
| D4 | 7C | CA | 11 |
| D1 | 83 | F2 | F9 |
| C6 | 9D | B8 | 15 |
| F8 | 87 | BC | BC |

результат раунда

| | | | |
|----|----|----|----|
| F1 | C1 | 7C | 5D |
| 00 | 92 | C8 | B5 |
| 6F | 4C | 8B | D5 |
| 55 | EF | 32 | 0C |

операции раунда

SubBytes

| | | | |
|----|----|----|----|
| E1 | E8 | 35 | 97 |
| 4F | FB | C8 | 6C |
| D2 | FB | 96 | AE |
| 9B | BA | 53 | 7C |

ShiftRows

| | | | |
|----|----|----|----|
| E1 | E8 | 35 | 97 |
| FB | C8 | 6C | 4F |
| 96 | AE | D2 | FB |
| 7C | 9B | BA | 53 |

MixColumns

| | | | |
|----|----|----|----|
| 25 | BD | B6 | 4C |
| D1 | 11 | 3A | 4C |
| A9 | D1 | 33 | C0 |
| AD | 68 | 8E | B0 |

AddRoundKey

| | | | |
|----|----|----|----|
| F1 | C1 | 7C | 5D |
| 00 | 92 | C8 | B5 |
| 6F | 4C | 8B | D5 |
| 55 | EF | 32 | 0C |

раунд 6

текст

| | | | |
|----|----|----|----|
| F1 | C1 | 7C | 5D |
| 00 | 92 | C8 | B5 |
| 6F | 4C | 8B | D5 |
| 55 | EF | 32 | 0C |

ключ 6

| | | | |
|----|----|----|----|
| 6D | 11 | DB | CA |
| 88 | 0B | F9 | 00 |
| A3 | 3E | 86 | 93 |
| 7A | FD | 41 | FD |

результат раунда

| | | | |
|----|----|----|----|
| 26 | 3D | E8 | FD |
| 0E | 41 | 64 | D2 |
| 2E | B7 | 72 | 8B |
| 17 | 7D | A9 | 25 |

операции раунда

SubBytes

| | | | |
|----|----|----|----|
| A1 | 78 | 10 | 4C |
| 63 | 4F | E8 | D5 |
| A8 | 29 | 3D | 03 |
| FC | DF | 23 | FE |

ShiftRows

| | | | |
|----|----|----|----|
| A1 | 78 | 10 | 4C |
| 4F | E8 | D5 | 63 |
| 3D | 03 | A8 | 29 |
| FE | FC | DF | 23 |

MixColumns

| | | | |
|----|----|----|----|
| 4B | 2C | 33 | 37 |
| 86 | 4A | 9D | D2 |
| 8D | 89 | F4 | 18 |
| 6D | 80 | E8 | D8 |

AddRoundKey

| | | | |
|----|----|----|----|
| 26 | 3D | E8 | FD |
| 0E | 41 | 64 | D2 |
| 2E | B7 | 72 | 8B |
| 17 | 7D | A9 | 25 |

раунд 7

текст

| | | | |
|----|----|----|----|
| 26 | 3D | E8 | FD |
| 0E | 41 | 64 | D2 |
| 2E | B7 | 72 | 8B |
| 17 | 7D | A9 | 25 |

ключ 7

| | | | |
|----|----|----|----|
| 4E | 5F | 84 | 4E |
| 54 | 5F | A6 | A6 |
| F7 | C9 | 4F | DC |
| 0E | F3 | B2 | 4F |

результат раунда

| | | | |
|----|----|----|----|
| 5A | 19 | A3 | 7A |
| 41 | 49 | E0 | 8C |
| 42 | DC | 19 | 04 |
| B1 | 1F | 65 | 0C |

операции раунда

SubBytes

| | | | |
|----|----|----|----|
| F7 | 27 | 9B | 54 |
| AB | 83 | 43 | B5 |
| 31 | A9 | 40 | 3D |
| F0 | FF | D3 | 3F |

ShiftRows

| | | | |
|----|----|----|----|
| F7 | 27 | 9B | 54 |
| 83 | 43 | B5 | AB |
| 40 | 3D | 31 | A9 |
| 3F | F0 | FF | D3 |

MixColumns

| | | | |
|----|----|----|----|
| 14 | 46 | 27 | 34 |
| 15 | 16 | 46 | 2A |
| B5 | 15 | 56 | D8 |
| BF | EC | D7 | 43 |

AddRoundKey

| | | | |
|----|----|----|----|
| 5A | 19 | A3 | 7A |
| 41 | 49 | E0 | 8C |
| 42 | DC | 19 | 04 |
| B1 | 1F | 65 | 0C |

раунд 8

текст

| | | | |
|----|----|----|----|
| 5A | 19 | A3 | 7A |
| 41 | 49 | E0 | 8C |
| 42 | DC | 19 | 04 |
| B1 | 1F | 65 | 0C |

ключ 8

| | | | |
|----|----|----|----|
| EA | B5 | 31 | 7F |
| D2 | 8D | 2B | 8D |
| 73 | BA | F5 | 29 |
| 21 | D2 | 60 | 2F |

результат раунда

| | | | |
|----|----|----|----|
| EA | 04 | 65 | 85 |
| 83 | 45 | 5D | 96 |
| 5C | 33 | 98 | B0 |
| F0 | 2D | AD | C5 |

операции раунда

SubBytes

| | | | |
|----|----|----|----|
| BE | D4 | 0A | DA |
| 83 | 3B | E1 | 64 |
| 2C | 86 | D4 | F2 |
| C8 | C0 | 4D | FE |

ShiftRows

| | | | |
|----|----|----|----|
| BE | D4 | 0A | DA |
| 3B | E1 | 64 | 83 |
| D4 | F2 | 2C | 86 |
| FE | C8 | C0 | 4D |

MixColumns

| | | | |
|----|----|----|----|
| 00 | B1 | 54 | FA |
| 51 | C8 | 76 | 1B |
| 2F | 89 | 6D | 99 |
| D1 | FF | CD | EA |

AddRoundKey

| | | | |
|----|----|----|----|
| EA | 04 | 65 | 85 |
| 83 | 45 | 5D | 96 |
| 5C | 33 | 98 | B0 |
| F0 | 2D | AD | C5 |

раунд 9

| текст | | | |
|-------|----|----|----|
| EA | 04 | 65 | 85 |
| 83 | 45 | 5D | 96 |
| 5C | 33 | 98 | B0 |
| F0 | 2D | AD | C5 |

ключ 9

| | | | |
|----|----|----|----|
| AC | 19 | 28 | 57 |
| 77 | FA | D1 | 5C |
| 66 | DC | 29 | 00 |
| F3 | 21 | 41 | 6E |

результат раунда

| | | | |
|----|----|----|----|
| EB | 59 | 8B | 1B |
| 40 | 2E | A1 | C3 |
| F2 | 38 | 13 | 42 |
| 1E | 84 | E7 | D2 |

операции раунда

| SubBytes | | | | ShiftRows | | | | MixColumns | | | | AddRoundKey | | | |
|----------|----|----|----|-----------|----|----|----|------------|----|----|----|-------------|----|----|----|
| 87 | F2 | 4D | 97 | 87 | F2 | 4D | 97 | 47 | 40 | A3 | 4C | EB | 59 | 8B | 1B |
| EC | 6E | 4C | 90 | 6E | 4C | 90 | EC | 37 | D4 | 70 | 9F | 40 | 2E | A1 | C3 |
| 4A | C3 | 46 | E7 | 46 | E7 | 4A | C3 | 94 | E4 | 3A | 42 | F2 | 38 | 13 | 42 |
| 8C | D8 | 95 | A6 | A6 | 8C | D8 | 95 | ED | A5 | A6 | BC | 1E | 84 | E7 | D2 |

13. Аналогично пункту 10 сформировать ключ завершающего (10) раунда.

14. Поскольку завершающий раунд шифрования имеет сокращенное число операций, скопировать значения текста и ключа в диапазоны ячеек **C59:F62** и **H59:K62** соответственно листа *Шифрование*. Результат шифрования отобразится в диапазоне **C75:F78** листа *Шифрование*. Скопировать значения диапазона **C75:F78** в диапазон ячеек **S55:V58** листа *Данные шифр-е*.

Для рассматриваемого примера получили:

заключит.

раунд

| текст | | | |
|-------|----|----|----|
| EB | 59 | 8B | 1B |
| 40 | 2E | A1 | C3 |
| F2 | 38 | 13 | 42 |
| 1E | 84 | E7 | D2 |

ключ 10

| | | | |
|----|----|----|----|
| D0 | C9 | E1 | B6 |
| 14 | EE | 3F | 63 |
| F9 | 25 | 0C | 0C |
| A8 | 89 | C8 | A6 |

результат шиф-
рования

| | | | |
|----|----|----|----|
| 39 | 02 | DC | 19 |
| 25 | DC | 11 | 6A |
| 84 | 09 | 85 | 0B |
| 1D | FB | 97 | 32 |

операции раунда

| SubBytes | | | | ShiftRows | | | | AddRoundKey | | | |
|----------|----|----|----|-----------|----|----|----|-------------|----|----|----|
| E9 | CB | 3D | AF | E9 | CB | 3D | AF | 39 | 02 | DC | 19 |
| 09 | 31 | 32 | 2E | 31 | 32 | 2E | 09 | 25 | DC | 11 | 6A |
| 89 | 07 | 7D | 2C | 7D | 2C | 89 | 07 | 84 | 09 | 85 | 0B |
| 72 | 5F | 94 | B5 | B5 | 72 | 5F | 94 | 1D | FB | 97 | 32 |

Результат шифрования – криптограмма
«3925841D02DC09FBDC118597196A0B32».

Задание С. Выполнить расшифрование заданного блока аналогично рассмотренному примеру.

Пример. Пусть задан 128-битовый фрагмент текста «E20E5F3C947E69D0D78B8079F4E2695B». Требуется расшифровать текст с помощью алгоритма AES с помощью ключа из предыдущего задания «2B7E151628AED2A6ABF7158809CF4F3C».

При расшифровании используются те же раундовые ключи, что и при шифровании данных, но в обратном порядке. Поскольку заданный шифр-текст получен на том же ключе шифрования, что и в предыдущем задании, ключи для расшифровки уже вычислены. Для расшифрования рекомендуется использовать книгу *AES.xlsx*.

15. Выбрать значение криптограммы из таблицы 25 в соответствии с номером варианта.

16. Занести значение криптограммы побайтно в ячейки диапазона **B3:Q3** листа *Данные расшифр-ка* книги *AES.xlsx*. Числовые значения следует предварять знаком одинарной кавычки «'». В ячейки диапазона **K5:N8** листа *Данные расшифр-ка* скопировать значения байтов ключа заключительного раунда шифрования из диапазона **K55:N58** листа *Данные шифр-е*. Результат предварительного (нулевого) раунда расшифровки отобразится в диапазоне **S5:V8** листа *Данные расшифровка*.

В примере имеем:

| раунд 0 | текст | | | | ключ 10 | | | | результат раунда | | | |
|---------|-------|----|----|----|---------|----|----|----|------------------|----|----|----|
| | E2 | 94 | D7 | F4 | D0 | C9 | E1 | B6 | 32 | 5D | 36 | 42 |
| | 0E | 7E | 8B | E2 | 14 | EE | 3F | 63 | 1A | 90 | B4 | 81 |
| | 5F | 69 | 80 | 69 | F9 | 25 | 0C | 0C | A6 | 4C | 8C | 65 |
| | 3C | D0 | 79 | 5B | A8 | 89 | C8 | A6 | 94 | 59 | B1 | FD |

17. Выполнить первый раунд шифрования:

- Скопировать значения ключа шифрования 9 раунда с листа *Данные шифр-е* в диапазон ячеек **K10:N13** листа *Данные расшифр-ка*.
- На листе *Данные расшифр-ка* автоматически заполнен диапазон **D10:G13** исходных данных 1 раунда расшифровки. Скопировать значения из диапазона **D10:G13** в диапазон **S8:F11** листа *Расшифровка* (**Вставить/Специальная вставка/значения**).

- Аналогичным образом скопировать данные из диапазона **K10:N13** листа *Данные расшифр-ка* в диапазон ячеек **H8:K11** листа *Расшифровка*.
- На листе *Расшифровка* приведены результаты выполнения операций раунда расшифрования.

В примере:

| InvShiftRows | | | | InvSubBytes | | | | AddRoundKey | | | | InvMixColumns | | | |
|--------------|----|----|----|-------------|----|----|----|-------------|----|----|----|---------------|----|----|----|
| 32 | 5D | 36 | 42 | A1 | 8D | 24 | F6 | 0D | 94 | 0C | A1 | B5 | C2 | 92 | DC |
| 81 | 1A | 90 | B4 | 91 | 43 | 96 | C6 | E6 | B9 | 47 | 9A | 29 | F4 | 33 | 95 |
| 8C | 65 | A6 | 4C | F0 | BC | C5 | 5D | 96 | 60 | EC | 5D | 03 | 42 | E7 | E5 |
| 59 | B1 | FD | 94 | 15 | 56 | 21 | E7 | E6 | 77 | 60 | 89 | 04 | 4E | 81 | 43 |

- Скопировать результат выполнения последней операции раунда (данные диапазона **C73:F76** листа *Расшифровка*) в диапазон **S10:V13** листа *Данные расшифр-ка*.

18. Повторить пункт 17 для всех раундов расшифровки (со 2 по 9).

В примере будут получены следующие результаты:

| раунд 2 | | | | текст | | | | ключ 8 | | | | результат раунда | | | |
|---------|----|----|----|-------|----|----|----|--------|----|----|----|------------------|--|--|--|
| B5 | C2 | 92 | DC | EA | B5 | 31 | 7F | FC | CB | 48 | 8B | | | | |
| 29 | F4 | 33 | 95 | D2 | 8D | 2B | 8D | 1A | 2A | BB | DB | | | | |
| 03 | 42 | E7 | E5 | 73 | BA | F5 | 29 | 21 | 58 | D6 | 2D | | | | |
| 04 | 4E | 81 | 43 | 21 | D2 | 60 | 2F | D4 | B6 | D5 | BA | | | | |

операции раунда

| InvShiftRows | | | | InvSubBytes | | | | AddRoundKey | | | | InvMixColumns | | | |
|--------------|----|----|----|-------------|----|----|----|-------------|----|----|----|---------------|----|----|----|
| B5 | C2 | 92 | DC | D2 | A8 | 74 | 93 | 38 | 1D | 45 | EC | FC | CB | 48 | 8B |
| 95 | 29 | F4 | 33 | AD | 4C | BA | 66 | 7F | C1 | 91 | EB | 1A | 2A | BB | DB |
| E7 | E5 | 03 | 42 | B0 | 2A | D5 | F6 | C3 | 90 | 20 | DF | 21 | 58 | D6 | 2D |
| 4E | 81 | 43 | 04 | B6 | 91 | 64 | 30 | 97 | 43 | 04 | 1F | D4 | B6 | D5 | BA |

| раунд 3 | | | | текст | | | | ключ 7 | | | | результат раунда | | | |
|---------|----|----|----|-------|----|----|----|--------|----|----|----|------------------|--|--|--|
| FC | CB | 48 | 8B | 4E | 5F | 84 | 4E | C4 | DC | 0B | 4F | | | | |
| 1A | 2A | BB | DB | 54 | 5F | A6 | A6 | 2B | 0B | 34 | A3 | | | | |
| 21 | 58 | D6 | 2D | F7 | C9 | 4F | DC | 56 | 37 | 25 | 55 | | | | |
| D4 | B6 | D5 | BA | 0E | F3 | B2 | 4F | A3 | 8F | 3F | B5 | | | | |

операции раунда

| InvShiftRows | | | | InvSubBytes | | | | AddRoundKey | | | | InvMixColumns | | | |
|--------------|----|----|----|-------------|----|----|----|-------------|----|----|----|---------------|----|----|----|
| FC | CB | 48 | 8B | 55 | 59 | D4 | CE | 1B | 06 | 50 | 80 | C4 | DC | 0B | 4F |
| DB | 1A | 2A | BB | 9F | 43 | 95 | FE | CB | 1C | 33 | 58 | 2B | 0B | 34 | A3 |

| | | | | | | | | | | | | | | | |
|----|----|----|----|----|----|----|----|----|----|----|----|----|----|----|----|
| D6 | 2D | 21 | 58 | 4A | FA | 7B | 5E | BD | 33 | 34 | 82 | 56 | 37 | 25 | 55 |
| B6 | D5 | BA | D4 | 79 | B5 | C0 | 19 | 77 | 46 | 72 | 56 | A3 | 8F | 3F | B5 |

раунд 4

| текст | | | | ключ 6 | | | | результат раунда | | | |
|-------|----|----|----|--------|----|----|----|------------------|----|----|----|
| C4 | DC | 0B | 4F | 6D | 11 | DB | CA | 02 | 6F | 60 | 28 |
| 2B | 0B | 34 | A3 | 88 | 0B | F9 | 00 | C6 | 5D | B8 | F3 |
| 56 | 37 | 25 | 55 | A3 | 3E | 86 | 93 | 6E | 37 | 1D | F0 |
| A3 | 8F | 3F | B5 | 7A | FD | 41 | FD | DE | 8C | 4B | F6 |

операции раунда

| InvShiftRows | InvSubBytes | AddRoundKey | InvMixColumns |
|--------------|-------------|-------------|---------------|
| C4 DC 0B 4F | 88 93 9E 92 | E5 82 45 58 | 02 6F 60 28 |
| A3 2B 0B 34 | 71 0B 9E 28 | F9 00 67 28 | C6 5D B8 F3 |
| 25 55 56 37 | C2 ED B9 B2 | 61 D3 3F 21 | 6E 37 1D F0 |
| 8F 3F B5 A3 | 73 25 D2 71 | 09 D8 93 8C | DE 8C 4B F6 |

раунд 5

| текст | | | | ключ 5 | | | | результат раунда | | | |
|-------|----|----|----|--------|----|----|----|------------------|----|----|----|
| 02 | 6F | 60 | 28 | D4 | 7C | CA | 11 | 3B | AD | EF | 64 |
| C6 | 5D | B8 | F3 | D1 | 83 | F2 | F9 | 79 | B9 | 61 | 24 |
| 6E | 37 | 1D | F0 | C6 | 9D | B8 | 15 | 9F | B8 | 37 | 0A |
| DE | 8C | 4B | F6 | F8 | 87 | BC | BC | DC | 53 | 0B | 51 |

операции раунда

| InvShiftRows | InvSubBytes | AddRoundKey | InvMixColumns |
|--------------|-------------|-------------|---------------|
| 02 6F 60 28 | 6A 06 90 EE | BE 7A 5A FF | 3B AD EF 64 |
| F3 C6 5D B8 | 7E C7 8D 9A | AF 44 7F 63 | 79 B9 61 24 |
| 1D F0 6E 37 | DE 17 45 B2 | 18 8A FD A7 | 9F B8 37 0A |
| 8C 4B F6 DE | F0 CC D6 9C | 08 4B 6A 20 | DC 53 0B 51 |

раунд 6

| текст | | | | ключ 4 | | | | результат раунда | | | |
|-------|----|----|----|--------|----|----|----|------------------|----|----|----|
| 3B | AD | EF | 64 | EF | A8 | B6 | DB | B8 | D3 | D3 | E4 |
| 79 | B9 | 61 | 24 | 44 | 52 | 71 | 0B | 96 | 45 | 62 | 20 |
| 9F | B8 | 37 | 0A | A5 | 5B | 25 | AD | 8D | 33 | B5 | C4 |
| DC | 53 | 0B | 51 | 41 | 7F | 3B | 00 | E1 | F1 | 79 | 20 |

операции раунда

| InvShiftRows | InvSubBytes | AddRoundKey | InvMixColumns |
|--------------|-------------|-------------|---------------|
| 3B AD EF 64 | 49 18 61 8C | A6 B0 D7 57 | B8 D3 D3 E4 |
| 24 79 B9 61 | A6 AF DB D8 | E2 FD AA D3 | 96 45 62 20 |
| 37 0A 9F B8 | B2 A3 6E 9A | 17 F8 4B 37 | 8D 33 B5 C4 |
| 53 0B 51 DC | 50 9E 70 93 | 11 E1 4B 93 | E1 F1 79 20 |

раунд 7

текст

| | | | |
|----|----|----|----|
| B8 | D3 | D3 | E4 |
| 96 | 45 | 62 | 20 |
| 8D | 33 | B5 | C4 |
| E1 | F1 | 79 | 20 |

ключ 3

| | | | |
|----|----|----|----|
| 3D | 47 | 1E | 6D |
| 80 | 16 | 23 | 7A |
| 47 | FE | 7E | 88 |
| 7D | 3E | 44 | 3B |

результат раунда

| | | | |
|----|----|----|----|
| CE | 58 | B6 | 57 |
| 2F | 16 | 28 | 83 |
| 87 | 94 | 87 | 34 |
| D6 | F0 | 3F | C7 |

операции раунда

InvShiftRows

| | | | |
|----|----|----|----|
| B8 | D3 | D3 | E4 |
| 20 | 96 | 45 | 62 |
| B5 | C4 | 8D | 33 |
| F1 | 79 | 20 | E1 |

InvSubBytes

| | | | |
|----|----|----|----|
| 9A | A9 | A9 | AE |
| 54 | 35 | 68 | AB |
| D2 | 88 | B4 | 66 |
| 2B | AF | 54 | E0 |

AddRoundKey

| | | | |
|----|----|----|----|
| A7 | EE | B7 | C3 |
| D4 | 23 | 4B | D1 |
| 95 | 76 | CA | EE |
| 56 | 91 | 10 | DB |

InvMixColumns

| | | | |
|----|----|----|----|
| CE | 58 | B6 | 57 |
| 2F | 16 | 28 | 83 |
| 87 | 94 | 87 | 34 |
| D6 | F0 | 3F | C7 |

раунд 8

текст

| | | | |
|----|----|----|----|
| CE | 58 | B6 | 57 |
| 2F | 16 | 28 | 83 |
| 87 | 94 | 87 | 34 |
| D6 | F0 | 3F | C7 |

ключ 2

| | | | |
|----|----|----|----|
| F2 | 7A | 59 | 73 |
| C2 | 96 | 35 | 59 |
| 95 | B9 | 80 | F6 |
| F2 | 43 | 7A | 7F |

результат раунда

| | | | |
|----|----|----|----|
| 9F | 76 | 15 | B2 |
| DC | D7 | 6A | 2F |
| F0 | D5 | D2 | 7E |
| B4 | 7F | 66 | D9 |

операции раунда

InvShiftRows

| | | | |
|----|----|----|----|
| CE | 58 | B6 | 57 |
| 83 | 2F | 16 | 28 |
| 87 | 34 | 87 | 94 |
| F0 | 3F | C7 | D6 |

InvSubBytes

| | | | |
|----|----|----|----|
| EC | 5E | 79 | DA |
| 41 | 4E | FF | EE |
| EA | 28 | EA | E7 |
| 17 | 25 | 31 | 4A |

AddRoundKey

| | | | |
|----|----|----|----|
| 1E | 24 | 20 | A9 |
| 83 | D8 | CA | B7 |
| 7F | 91 | 6A | 11 |
| E5 | 66 | 4B | 35 |

InvMixColumns

| | | | |
|----|----|----|----|
| 9F | 76 | 15 | B2 |
| DC | D7 | 6A | 2F |
| F0 | D5 | D2 | 7E |
| B4 | 7F | 66 | D9 |

раунд 9

текст

| | | | |
|----|----|----|----|
| 9F | 76 | 15 | B2 |
| DC | D7 | 6A | 2F |
| F0 | D5 | D2 | 7E |
| B4 | 7F | 66 | D9 |

ключ 1

| | | | |
|----|----|----|----|
| A0 | 88 | 23 | 2A |
| FA | 54 | A3 | 6C |
| FE | 2C | 39 | 76 |
| 17 | B1 | 39 | 05 |

результат раунда

| | | | |
|----|----|----|----|
| CE | 4B | 3D | 1E |
| 00 | 6F | 80 | 0B |
| 94 | 79 | BF | 89 |
| DD | D9 | 52 | BC |

операции раунда

InvShiftRows

| | | | |
|----|----|----|----|
| 9F | 76 | 15 | B2 |
| 2F | DC | D7 | 6A |
| D2 | 7E | F0 | D5 |
| 7F | 66 | D9 | B4 |

InvSubBytes

| | | | |
|----|----|----|----|
| 6E | 0F | 2F | 3E |
| 4E | 93 | 0D | 58 |
| 7F | 8A | 17 | B5 |
| 6B | D3 | E5 | C6 |

AddRoundKey

| | | | |
|----|----|----|----|
| CE | 87 | 0C | 14 |
| B4 | C7 | AE | 34 |
| 81 | A6 | 2E | C3 |
| 7C | 62 | DC | C3 |

InvMixColumns

| | | | |
|----|----|----|----|
| CE | 4B | 3D | 1E |
| 00 | 6F | 80 | 0B |
| 94 | 79 | BF | 89 |
| DD | D9 | 52 | BC |

19. Выполнить заключительный раунд расшифровки:

- Скопировать значения ключа 0 раунда шифрования (исходного ключа шифрования) с листа *Данные шифр-е* в диапазон ячеек **K55:N58** листа *Данные расшифр-ка*.
- Скопировать значения текста и ключа заключительного раунда расшифровки в диапазоны ячеек **C79:F82** и **H79:K82** листа *Расшифровка*. Результат расшифрования отобразится в диапазоне **C95:F98** листа *Расшифровка*.

В примере получим:

заключит.

раунд

| текст | | | | ключ 0 | | | | открытый текст | | | |
|-------|----|----|----|--------|----|----|----|----------------|----|----|----|
| CE | 4B | 3D | 1E | 2B | 28 | AB | 09 | C7 | E4 | 20 | E0 |
| 00 | 6F | 80 | 0B | 7E | AE | F7 | CF | E0 | FC | F1 | F5 |
| 94 | 79 | BF | 89 | 15 | D2 | 15 | 4F | E1 | 20 | F2 | E0 |
| DD | D9 | 52 | BC | 16 | A6 | 88 | 3C | F3 | EE | F0 | F5 |

операции раунда

| InvSubBytes | | | | InvShiftRows | | | | AddRoundKey | | | |
|-------------|----|----|----|--------------|----|----|----|-------------|----|----|----|
| EC | CC | 8B | E9 | EC | CC | 8B | E9 | C7 | E4 | 20 | E0 |
| 52 | 06 | 3A | 9E | 9E | 52 | 06 | 3A | E0 | FC | F1 | F5 |
| E7 | AF | F4 | F2 | F4 | F2 | E7 | AF | E1 | 20 | F2 | E0 |
| C9 | E5 | 48 | 78 | E5 | 48 | 78 | C9 | F3 | EE | F0 | F5 |

- Скопировать значения диапазона **C95:F98** в диапазон ячеек **S55:V58** листа *Данные расшифр-ка*. Данные значения представляют открытый текст в шестнадцатеричном представлении.
- В диапазоне **B63:Q63** листа *Данные расшифр-ка* приведено десятичное представление открытого текста, которое трактуется как ASCII-коды текстовых символов. Диапазон **B65:Q65** листа *Данные расшифр-ка* содержит символьное представление открытого текста. Критерием правильности выполнения задания является получение осмысленного текста.

В рассматриваемом примере будет получен открытый текст «Забудь о страхах».

ТЕМА 3. ПОТОКОВЫЕ СИСТЕМЫ ШИФРОВАНИЯ

Потоковые шифры преобразуют открытый текст в шифртекст последовательно, бит за битом. Фактически они являются шифром гаммирования и различаются только методами генерации ключевой последовательности – *гаммы* $\gamma_1(k), \gamma_2(k), \dots, \gamma_i(k), \dots$, зависящей от ключа k . Шифрование производится наложением гаммы на открытый текст: $y_i = x_i \oplus \gamma_i(k)$, арасшифрование – повторным наложением гаммы $x_i = y_i \oplus \gamma_i(k) = x_i \oplus \gamma_i(k) \oplus \gamma_i(k)$.

Сама гамма должна быть непредсказуемой, то есть нарушитель, зная любой сколь угодно длинный ее фрагмент, не должен иметь возможности предсказать следующий бит (биты) гаммы. Поэтому в качестве генераторов гаммы должны использоваться криптографически сильные генераторы псевдослучайных чисел. К таким генераторам относятся, например, режимы гаммирования блочных шифров в предположении стойкости алгоритма блочного шифрования.

Кроме того, важна и эффективность (высокая скорость работы) генератора. Криптографически сильные генераторы, как правило, гораздо медленнее традиционных методов генерации псевдослучайных чисел, встроенных в инструментальные средства разработки программных систем и высокоуровневые языки программирования.

Одним из наиболее эффективных на сегодняшний день генераторов криптографически сильных псевдослучайных последовательностей является генератор Блум-Блюма-Шуба (BBS-генератор), являющийся асимметричной криптосистемой. Шифр гаммирования, использующий этот генератор, был предложен в 1984 году и получил название криптосистемы Блюма – Гольдвассер по именам авторов.

Практическая работа №8. Изучение потоковой криптосистемы Блюма – Гольдвассер

Описание метода шифрования

Система вероятностного шифрования Блюма-Гольдвассер основана на применении криптографически сильного генератора

псевдослучайных чисел – BBS-генератора. Параметрами генератора являются два случайных больших простых числа p и q , такие, что $p \equiv q \equiv 3 \pmod{4}$. Числа p и q держатся в секрете, а число Блюма $n = pq$ является общим открытым параметром и может публиковаться свободно.

Отправитель сообщения M представляет его в виде битовой последовательности длины m , выбирает случайное число s , взаимно простое с n , $1 < s < n$, и генерирует псевдослучайную битовую последовательность $ps = b_0 b_1 b_2 \dots b_{m-1}$ длины m , пользуясь формулами:

$$x_0 = s^2 \pmod{n}, x_i = x_{i-1}^2 \pmod{n}, b_i = x_i \pmod{2}, i = 0, 1, \dots, m-1.$$

Для шифрования сообщения M на него накладывается (с помощью побитового XOR) полученная псевдослучайная битовая последовательность накладывается на сообщение $M \oplus ps$. Результат отправляется получателю вместе с подсказкой – значением следующего члена ряда x_i , то есть x_m . Таким образом, в качестве криптограммы C выступает пара $(x_m, M \oplus ps)$, причем число x_m не участвовало в формировании последовательности ps .

Получатель должен восстановить последовательность ps , а затем наложить ее на C : $C \oplus ps = M \oplus ps \oplus ps = M$.

Стойкость криптосистемы Блюма-Гольдвассер базируется на непредсказуемости влево BBS-генератора, определяемой однонаправленностью функции $f(x) = x^2 \pmod{n}$, где n – число Блюма, в предположении трудности факторизации числа n .

Законный получатель сообщения, зная значения p и q , может легко восстановить последовательность ps .

Для этого сначала с помощью расширенного алгоритма Евклида он получает целые числа a и b , такие, что $ap + bq = 1$.

Затем вычисляет:

$$\alpha = \left(\frac{p+1}{4} \right)^m \pmod{p-1},$$

$$\beta = \left(\frac{q+1}{4} \right)^m \pmod{q-1},$$

$$r = (x_m \pmod{p})^\alpha \pmod{p},$$

$$t = (x_m \pmod{q})^\beta \pmod{q},$$

$$x_0 = (apt + bqr) \pmod{n}.$$

Значение x_0 позволяет вычислить любой член последовательности x_i с той же эффективностью, как это может сделать отправитель.

Быстродействие криптосистемы Блюма-Гольдвассер может быть повышено за счет использования не одного, а не более $\log_2 \eta$ младших битов чисел последовательности x_i , где η – количество двоичных разрядов числа Блюма n (то есть $\eta \approx \log_2 \log_2 n$). Это не ослабит результирующую последовательность ps , а само шифрование будет эффективнее в $\log_2 \eta$ раз.

Задание

Изучить процедуры генерации случайных чисел методом Блюма-Блюма-Шуба, шифрования и расшифрования в криптосистеме Блюма-Гольдвассер.

Технология выполнения задания

Задание А. Зашифровать клавиатурный символ с помощью криптосистемы Блюма-Гольдвассер, сгенерировав 8-битовую псевдослучайную последовательность.

1. Из таблицы 26 выбрать, в соответствии с номером варианта, значения параметров BBS-генератора p , q , случайное число s и подлежащий зашифрованию символ M (все символы – русскоязычные).

Таблица 26

Варианты задания

| № | p | q | s | Открытый текст M | № | p | q | s | Открытый текст M |
|----------|-----------------------|-----------------------|-----------------------|--------------------------------------|-----------|-----------------------|-----------------------|-----------------------|--------------------------------------|
| 1 | 491 | 191 | 86584 | А | 14 | 883 | 367 | 65486 | О |
| 2 | 967 | 211 | 199217 | Б | 15 | 719 | 127 | 24904 | П |
| 3 | 787 | 167 | 126295 | В | 16 | 431 | 607 | 232989 | р |
| 4 | 859 | 307 | 40176 | Г | 17 | 359 | 523 | 76520 | с |
| 5 | 547 | 239 | 113114 | Д | 18 | 947 | 331 | 127471 | т |
| 6 | 811 | 443 | 201939 | е | 19 | 167 | 839 | 6960 | у |
| 7 | 607 | 499 | 38453 | ж | 20 | 523 | 419 | 160052 | ф |
| 8 | 419 | 631 | 178911 | з | 21 | 239 | 919 | 33449 | Х |
| 9 | 331 | 727 | 178999 | и | 22 | 571 | 227 | 41449 | Ц |

| | | | | | | | | | |
|-----------|-----|-----|--------|---|-----------|-----|-----|--------|---|
| 10 | 311 | 563 | 124332 | к | 23 | 191 | 823 | 102516 | Ч |
| 11 | 227 | 751 | 141201 | Л | 24 | 127 | 827 | 74957 | Ш |
| 12 | 659 | 491 | 47136 | М | 25 | 463 | 371 | 97069 | Щ |
| 13 | 439 | 523 | 96423 | Н | | | | | |

Сформировать псевдослучайную последовательность rs_i зашифровать символ M аналогично рассмотренному ниже примеру.

Пример. BBS-генератор имеет следующие параметры: $p = 419$, $q = 599$, выбрано случайное число $s = 3612$. Сформировать псевдослучайную 8-битовую последовательность, используя один младший бит чисел x_i , формируемых BBS-генератором. Зашифровать символ «я».

2. В приложении MSExcel создать новую книгу, на первом листе ввести значения p , q , вычислить число Блюма n как их произведение. Ввести значение случайного числа s .
3. Рассчитать элементы ряда x_i (рис.49):
 - Пронумеровать ячейки первого столбца от 0 до 8 (поскольку требуется сформировать 8 бит последовательности rs для шифрования и еще одно число-подсказку).
 - В первую ячейку второго столбца ввести формулу для вычисления x_0 по формуле $x_0 = s^2 \bmod n$, например, **=ОСТАТ(D2^2;\$C\$2)**.
 - Во вторую ячейку второго столбца ввести формулу для вычисления x_1 ($x_1 = x_0^2 \bmod n$), например, **=ОСТАТ(B5^2;\$C\$2)**. Скопировать эту формулу на оставшиеся ячейки ряда x_i .

| | A | B | C | D | E | F |
|----|-----|----------------|--------|------|---|---|
| 1 | P | q | n | s | | |
| 2 | 419 | 599 | 250981 | 3612 | | |
| 3 | | | | | | |
| 4 | № | x _i | | | | |
| 5 | 0 | 246513 | | | | |
| 6 | 1 | 135525 | | | | |
| 7 | 2 | 236045 | | | | |
| 8 | 3 | 212968 | | | | |
| 9 | 4 | 90552 | | | | |
| 10 | 5 | 115434 | | | | |
| 11 | 6 | 176085 | | | | |
| 12 | 7 | 236447 | | | | |
| 13 | 8 | 162135 | | | | |
| 14 | | | | | | |

Рис. 49. Вычисление последовательности x_i BBS-генератора

4. Вычислить младшие биты b_i чисел x_i . Значение младшего бита определяется остатком от деления числа на 2, поэтому для вычисления можно использовать функцию **ОСТАТ** (рис. 50), например, **=ОСТАТ(B5;2)** для числа x_0 . Скопировать формулу на все ячейки ряда b_i , кроме последней (последнее число x_8 не предназначено для формирования битовой последовательности, это – число-подсказка).
5. Сформировать результирующую битовую псевдослучайную последовательность с помощью операции **&**, например, **=C5&C6&C7&C8&C9&C10&C11&C12**, или функции **СЦЕПИТЬ** из группы *Текстовые*, например, **=СЦЕПИТЬ(C5;C6;C7;C8;C9;C10;C11;C12)**.

Значение результирующей последовательности: 11100011 (рис. 50).

| | A | B | C | D | E | F |
|----|-----|--------|--------|----------|---|---|
| 1 | P | q | n | s | | |
| 2 | 419 | 599 | 250981 | 3612 | | |
| 3 | | | | | | |
| 4 | № | xi | bi | | | |
| 5 | 0 | 246513 | 1 | | | |
| 6 | 1 | 135525 | 1 | | | |
| 7 | 2 | 236045 | 1 | | | |
| 8 | 3 | 212968 | 0 | | | |
| 9 | 4 | 90552 | 0 | | | |
| 10 | 5 | 115434 | 0 | | | |
| 11 | 6 | 176085 | 1 | | | |
| 12 | 7 | 236447 | 1 | | | |
| 13 | 8 | 162135 | | | | |
| 14 | | | ps | 11100011 | | |
| 15 | | | | 227 | | |
| 16 | | | | | | |

Рис. 50. Вычисление псевдослучайной последовательности ps

6. Перевести битовую последовательность ps в десятичное число с помощью функции **ДВ.В.ДЕС** группы *Инженерные*.
7. Зашифровать символ в криптосистеме Блюма-Гольдвассер (рис. 51):
 - Занести шифруемый символ M на лист MSExcel. Получить десятичный (ASCII) код символа с помощью функции **КОД-СИМВ** группы *Текстовые*.
 - Получить значение $M \oplus ps$ (на основе десятичных значений кода символа и последовательности ps) с помощью функции **БИТ.ИСКЛИЛИ** (в MSExcel 2013) или операции *Xor* в стандартном приложении MSWindows Калькулятор, режим (вид) *Программист*.

| | A | B | C | D | E | F | G |
|----|---|--------------|----|--------------|---|-----|---|
| 12 | 7 | 236447 | 1 | | | | |
| 13 | 8 | 162135 | | | | | |
| 14 | | | ps | 11100011 | | я | |
| 15 | | | | 227 | | 255 | |
| 16 | | | | | | | |
| 17 | | Криптограмма | | 28 | | | |
| 18 | | | | (162135, 28) | | | |

Рис. 51. Зашифрование символа в криптосистеме Блюма-Гольдвассер

- Сформировать криптограмму C с подсказкой вида $(x_8, M \oplus ps)$.
 В рассматриваемом примере получили: $M \oplus ps = 28$;
 $C = (162135, 28)$.

Задание В. Расшифровать криптограмму, полученную в криптосистеме Блюма-Гольдвассер. Известно, что использована эффективная реализация BBS-генератора с максимально допустимым числом младших битов.

8. В соответствии с номером варианта выбрать из таблицы 27 значения секретного ключа: чисел p и q , криптограмму C , состоящую из числа-подсказки x_6 и последовательности ASCII-кодов c_i символов зашифрованного текста.

Провести расшифрование (получить открытый текст) аналогично рассмотренному ниже примеру.

Пример. Известен общий секретный ключ абонентов – числа $p = 419$ и $q = 599$. Получена криптограмма, представленная последовательностью ASCII-кодов 71;228;136 с проверочным числом $x_6 = 3600$. Известно, что при формировании псевдослучайной последовательности BBS-генератора использовано максимально возможное число младших битов чисел x_i , не нарушающее стойкости последовательности.

Варианты задания

| № | p | q | КриптограммаС | | № | p | q | КриптограммаС | |
|----|-----|-----|---------------|-------------|----|-----|-----|---------------|-------------|
| | | | x_6 | c_i | | | | x_6 | c_i |
| 1 | 439 | 491 | 123530 | 130;222;119 | 14 | 751 | 359 | 155824 | 52;188;154 |
| 2 | 883 | 227 | 90864 | 142;179;227 | 15 | 919 | 307 | 87447 | 245;152;205 |
| 3 | 719 | 787 | 1969 | 191;6;52 | 16 | 443 | 499 | 114407 | 245;33;110 |
| 4 | 431 | 859 | 365061 | 185;255;104 | 17 | 367 | 631 | 61651 | 0;250;25 |
| 5 | 359 | 547 | 21860 | 32;225;68 | 18 | 211 | 823 | 10088 | 211;28;89 |
| 6 | 947 | 811 | 333274 | 78;119;23 | 19 | 311 | 827 | 106599 | 229;47;240 |
| 7 | 167 | 607 | 10940 | 43;233;19 | 20 | 307 | 839 | 102273 | 108;251;47 |
| 8 | 523 | 419 | 32720 | 245;222;181 | 21 | 499 | 523 | 186727 | 59;132;91 |
| 9 | 239 | 631 | 136689 | 17;103;9 | 22 | 631 | 239 | 28164 | 100;183;157 |
| 10 | 571 | 311 | 36743 | 135;142;186 | 23 | 331 | 571 | 55710 | 247;40;158 |
| 11 | 191 | 967 | 132562 | 158;52;200 | 24 | 727 | 311 | 81985 | 222;79;20 |
| 12 | 127 | 659 | 57634 | 48;202;24 | 25 | 563 | 439 | 64930 | 53;81;109 |
| 13 | 463 | 431 | 113045 | 204;84;79 | | | | | |

9. Определить максимально допустимое для использования в последовательности rs число младших битов чисел x_i (рис. 52):

- Занести на новый лист MSExcel значения p и q , вычислить $n = pq$. Получили $n = 250981$.
- Определить минимальное число битов, необходимое для кодирования n . Рядом со значением n вычислить двоичный логарифм значения $n + 1$. Для этого следует использовать функцию **LOG**, задав значение второго параметра равным 2, например, **=LOG(C2+1;2)**. Полученное значение округлить вверх до целого, для чего следует использовать функцию **ОКРУГЛВВЕРХ**, задав число десятичных разрядов равным 0, например, **=ОКРУГЛВВЕРХ(LOG(C2+1;2);0)**. Получили значение 18, таким образом, для кодирования числа $n = 250981$ требуется не менее 18 двоичных разрядов.

ЗАМЕЧАНИЕ: Округление вверх можно произвести также с помощью функций **ОКРВВЕРХ** или **ОКРВВЕРХ.ТОЧН**, в этом случае значение второго параметра (точность) следует установить равным 1.

| | | A | B | C | D | E | F | G |
|---|---|-----|-----|--------|----|---|---|---|
| 1 | p | q | n | | | | | |
| 2 | | 419 | 599 | 250981 | 18 | 4 | | |
| 3 | | | | | | | | |

Рис. 52. Расчет максимально допустимого числа младших битов

- Взять двоичный логарифм от полученного значения, например, $=\text{LOG}(D2;2)$. Округлить полученное значение вниз с помощью функции **ОКРУГЛВНИЗ**, задав число десятичных разрядов равным 0, например, $=\text{ОКРУГЛВНИЗ}(\text{LOG}(D2;2);0)$. Получили 4, таким образом, в BBS-генераторе допустимо использовать не более 4 младших битов.

ЗАМЕЧАНИЕ: Округление вниз можно также произвести с помощью функций **ОКРВНИЗ** или **ОКРВНИЗ.ТОЧН**, в этом случае значение второго параметра (точность) следует установить равным 1.

10. С помощью значения-подсказки, восстановить значение x_0 , использованное для генерации последовательности r при шифровании. Сначала с помощью расширенного алгоритма Евклида следует найти значения a и b , такие что $ap + bq = 1$. Значения a и b существуют, так как числа p и q – простые, а значит, взаимно просты. Реализовать расширенный алгоритм Евклида (рис. 53):

- Сформировать первую строку алгоритма как: $\text{max}(p,q); 1; 0$.
- Сформировать вторую строку алгоритма как: $\text{min}(p,q); 0; 1$.
- Теперь следует вычислить значения в третьей строке алгоритма. В качестве первого элемента строки вычислить значение $\text{max}(p,q) \bmod \text{min}(p,q)$ с помощью функции **ОСТАТ**, например, $=\text{ОСТАТ}(A4;A5)$ для рис. 53.
- Вычислить четвертое значение в третьей строке как результат целочисленного деления $\text{max}(p,q)$ на $\text{min}(p,q)$ с помощью функции **ЧАСТНОЕ**. Например, для рис. 53 функция примет вид $=\text{ЧАСТНОЕ}(A4;A5)$.
- Второе и третье значения в строке вычисляются как разность соответствующего значения из первой строки и значения из

второй строки, помноженного на результат целочисленного деления. Например, в ячейку **B6** на рис. 53 будет занесена формула **=B4-B5*D6**, а в ячейку **C7** – формула **=C4-C5*D6**.

- Скопировать строку 3 на нижележащий диапазон ячеек, пока не будут получены значения **#ДЕЛ/0!**.
- Результаты вычисления (a и b) находятся во второй и третьей ячейках строки, начинающейся с 1. При этом меньшее по модулю значение соответствует большему из чисел p и q . В случае получения отрицательных значений a или b , их дальнейшее преобразование проводить не надо.

Для рассматриваемого примера получили: $a = -203$, $b = 142$.

- Провести проверку равенства $ap + bq = 1$.

В примере получаем: $-203 * 419 + 142 * 599 = 1$, значит числа a и b определены правильно.

| | | B10 | | fx | | =B8-B9*D10 | |
|----|---------|---------|---------|---------|---|------------|--|
| | A | B | C | D | E | | |
| 1 | p | q | n | | | | |
| 2 | 419 | 599 | 250981 | 18 | 4 | | |
| 3 | | | | | | | |
| 4 | 599 | 1 | 0 | | | | |
| 5 | 419 | 0 | 1 | | | | |
| 6 | 180 | 1 | -1 | 1 | | | |
| 7 | 59 | -2 | 3 | 2 | | | |
| 8 | 3 | 7 | -10 | 3 | | | |
| 9 | 2 | -135 | 193 | 19 | | | |
| 10 | 1 | 142 | -203 | 1 | | | |
| 11 | 0 | -419 | 599 | 2 | | | |
| 12 | #ДЕЛ/0! | #ДЕЛ/0! | #ДЕЛ/0! | #ДЕЛ/0! | | | |
| 13 | #ДЕЛ/0! | #ДЕЛ/0! | #ДЕЛ/0! | #ДЕЛ/0! | | | |
| 14 | | | | | | | |
| 15 | 1 | | | | | | |

Рис. 53. Определение значений a и b с помощью расширенного алгоритма Евклида

- Вычислить значения α и β , воспользовавшись формулами:

$$\alpha = \left(\frac{p+1}{4} \right)^m \bmod (p-1), \quad \beta = \left(\frac{q+1}{4} \right)^m \bmod (q-1), \quad \text{где } m \text{ – номер члена ряда } x_i, \text{ переданного в качестве значения-подсказки.}$$

В рассматриваемом примере $m = 6$. Поскольку показатель степени невелик, для вычисления α и β можно использовать последовательное умножение по модулю числа на само себя (рис. 54). Например, пронумеровать ячейки диапазона **G4:G9** от 1 до 6, вычислить в ячейке **H4** значение $(p + 1)/4$, в ячейку **H5** занести формулу **=ОСТАТ(H4*H\$4;A\$2-1)**, затем скопировать формулу на оставшиеся ячейки диапазона **H5:H9**. Ячейка **H9** содержит значение α ($\alpha = 49$ для рассматриваемого примера). Аналогичным образом вычислить значение β : в ячейке **I4** вычислить значение $(q + 1)/4$, скопировать формулу из ячейки **H5** на диапазон **I5:I9** (в примере $\beta = 584$).

| | G | H | I | J | K | L |
|----|---|----------|---------|---|---|---|
| 4 | 1 | 105 | 150 | | | |
| 5 | 2 | 157 | 374 | | | |
| 6 | 3 | 183 | 486 | | | |
| 7 | 4 | 405 | 542 | | | |
| 8 | 5 | 307 | 570 | | | |
| 9 | 6 | 49 | 584 | | | |
| 10 | | α | β | | | |

Рис. 54. Вычисление значений α и β

- Вычислить значения r и t , воспользовавшись формулами: $r = (x_m \bmod p)^\alpha \bmod p$, $t = (x_m \bmod q)^\beta \bmod q$. Занести на лист MS Excel значение-подсказку $x_m = x_6$. Для проведения вычислений реализовать быстрый алгоритм возведения в степень по модулю аналогично пункту 3 лабораторной работы №6 (Изучение шифра RSA). Для рассматриваемого примера получили: $r = 215$, $t = 54$ (рис. 55).

| | G | H | I | J | K | L | M | N | O | P |
|----|---|----------|------------|-----|-------|--------|---|-----|-----|-----|
| 10 | | α | β | | x_6 | | | | | |
| 11 | | 110001 | 1001001000 | | 3600 | | | | | |
| 12 | n | 6 | 10 | | | | | | | |
| 13 | 0 | 1 | 248 | 248 | 248 | | 0 | 6 | 1 | 1 |
| 14 | 1 | 0 | 330 | 1 | 248 | | 0 | 36 | 1 | 1 |
| 15 | 2 | 0 | 379 | 1 | 248 | | 0 | 98 | 1 | 1 |
| 16 | 3 | 0 | 343 | 1 | 248 | | 1 | 20 | 20 | 20 |
| 17 | 4 | 1 | 329 | 329 | 306 | | 0 | 400 | 1 | 20 |
| 18 | 5 | 1 | 139 | 139 | 215 | | 0 | 67 | 1 | 20 |
| 19 | 6 | | | | r | | 1 | 296 | 296 | 529 |
| 20 | 7 | | | | | | 0 | 162 | 1 | 529 |
| 21 | 8 | | | | | | 0 | 487 | 1 | 529 |
| 22 | 9 | | | | | | 1 | 564 | 564 | 54 |
| 23 | | | | | | | | | | t |
| 24 | | | | | x_0 | 141418 | | | | |

Рис. 55. Вычисление значений r и t

- Вычислить значение x_0 , воспользовавшись формулой $x_0 = (apt + bqr) \bmod n$. Для вычислений использовать функцию **ОСТАТ**. В примере получили: $x_0 = 141418$.
11. Зная значения x_0 и n , восстановить элементы исходной последовательности ps и расшифровать криптограмму (рис. 56):
- Определить число членов ряда x_i , необходимых для формирования псевдослучайной последовательности достаточной для шифрования/расшифрования длины. Для этого число ASCII-кодов, задающих шифртекст, следует умножить на 8 и разделить на полученное максимально допустимое число младших битов. Для рассматриваемого примера получаем: $3 \cdot 8 / 4 = 6$, то есть требуется сформировать 6 чисел ряда x_i .
 - Пронумеровать ячейки первого столбца числами от 0 до 6. В первую ячейку второго столбца занести значение x_0 , в следующей вычислить x_1 по формуле $x_1 = x_0^2 \bmod n$, используя функцию **ОСТАТ** (аналогично пункту 3). Например, **=ОСТАТ(B18^2;\$C\$2)** для ячейки **B19**. Проверить, что полученное значение x_6 совпало с присланным значением-подсказкой.
 - Во втором столбце сформировать фрагменты последовательности ps , соответствующие значениям ряда $x_0 - x_5$ (число-подсказка x_6 не участвует в формировании последовательности ps). Поскольку ис-

пользованы 4 младших бита чисел x_i , в десятичном виде фрагменты ps можно получить в виде остатка от целочисленного деления на $2^4 = 16$. Например, **=ОСТАТ(B18;16)** для ячейки **C18**.

| | A | B | C | D | E | F | G |
|----|---|--------|-------|-------|-------|-------|---|
| 17 | | x_i | psi | Psi | C_i | M_i | |
| 18 | 0 | 141418 | 10 | | | | |
| 19 | 1 | 131701 | 5 | 165 | 71 | | |
| 20 | 2 | 107472 | 0 | | 226 | в | |
| 21 | 3 | 85164 | 12 | 12 | 228 | | |
| 22 | 4 | 57958 | 6 | | 232 | и | |
| 23 | 5 | 60 | 12 | 108 | 136 | | |
| 24 | 6 | 3600 | | | 228 | д | |
| 25 | | | | | | | |

Рис. 56. Расшифрование сообщения

- Поскольку шифрованию подвергались 8-битовые значения (ASCII-коды символов сообщения), сформировать 8-битовые фрагменты последовательности ps , сгруппировав полученные 4-битовые фрагменты по 2. В десятичном виде это можно сделать, умножив первое значение на 16 и добавив к нему второе. Например, **=C19+C18*16** для ячейки **D19**.
- Занести на лист MSExcel последовательность кодов криптограммы. Выполнить операцию побитового Xor соответствующих 8-битовых фрагментов ps и кодов криптограммы. Для этих целей можно воспользоваться функцией **БИТ.ИСКЛИЛИ** (в MSExcel 2013) или операцией *Xor* в режиме Программист стандартного Калькулятора MSWindows. Например, **=БИТ.ИСКЛИЛИ(D19;E19)** для ячейки **E20**.
- Перевести полученные ASCII-коды в символы открытого текста с помощью функции **СИМВОЛ** группы *Текстовые*. Например, **=СИМВОЛ(E20)** для ячейки **F20**. Получение осмысленного текста является критерием правильности расшифрования сообщения.

В примере получен текст «вид».

12. Продемонстрировать результаты выполнения практической работы преподавателю.

ТЕМА 4. КРИПТОСИСТЕМЫ С ОТКРЫТЫМ КЛЮЧОМ

Концепция криптографии с открытым ключом была предложена Уитфилдом Диффи (Whitfield Diffie) и Мартином Хеллманом (Martin Hellman), и, независимо от них, Ральфом Мерклом (Ralph Merkle). Основная идея заключается в том, чтобы использовать ключи парами, состоящими из ключа шифрования и ключа расшифрования, которые невозможно вычислить один из другого.

Алгоритм является общедоступным, нет необходимости в секретных каналах связи. Общая схема выглядит следующим образом:

1. Каждый пользователь генерирует пару ключей: один для шифрования (открытый ключ), другой для расшифрования (личный ключ).

2. Каждый пользователь публикует свой ключ шифрования, размещает его в открытом для всех доступе. Вторым ключом, парным открытому – это личный ключ, он сохраняется в секрете.

3. Если пользователь А собирается послать сообщение пользователю В, он шифрует сообщение открытым ключом пользователя В.

4. Когда пользователь В получает криптограмму, он расшифровывает ее с помощью своего личного (секретного) ключа. Другой получатель не сможет дешифровать сообщение, поскольку личный ключ В известен только абоненту В.

Наиболее широкое распространение получила Схема Райвеста–Шамира–Адлемана (RSA).

Асимметричные криптосистемы (и, в частности, шифр RSA) могут быть использованы и для подтверждения авторства (подписания сообщений). В этом случае:

1. Если пользователь А собирается послать подписанное сообщение пользователю В, он шифрует сообщение своим личным ключом.

2. Теперь любой, в том числе и пользователь В сможет удостовериться в авторстве и неизменности сообщения, расшифровав присланную с ним криптограмму с помощью открытого ключа отправителя А и сравнив результат с открытым текстом.

Совпадение открытого и расшифрованного текстов свидетельствует о подлинности авторства и неизменности переданного сообщения. Никто другой не сможет подписать сообщение от лица А, поскольку личный ключ известен только абоненту А.

Практическая работа №9. Изучение шифра RSA

Описание алгоритма шифрования

Перед началом процесса шифрования исходный текст должен быть переведен в числовую форму (с помощью таблицы замен), этот метод считается известным. В результате текст представляется в виде одного большого числа. Затем полученное число разбивается на части (блоки) так, чтобы каждая из них была числом в промежутке от 0 до $N-1$, (о выборе числа N будет сказано далее). Процесс шифрования одинаков для каждого блока. Поэтому можно считать, что блок исходного текста представлен числом x , $0 \leq x \leq N-1$.

Конечно, выбор блоков неоднозначен, но и не совсем произволен. Например, во избежание двусмысленностей, не следует выделять блоки, начинающиеся с нуля.

Разбиение числа на блоки можно произвести различными способами. При этом промежуточные результаты зависят от способа разбиения, однако конечный результат – не зависит.

При расшифровании, наоборот, полученная последовательность блоков соединяется вместе и получается большое число. После этого числа заменяют буквами в соответствии с таблицей замен для получения исходного сообщения.

Опишем процесс шифрования. Каждый абонент вырабатывает свою пару ключей. Для этого он генерирует два больших простых числа p и q , вычисляет произведение $N=p \cdot q$. Затем он вырабатывает случайное число e , взаимно простое со значением функции Эйлера $\varphi(N)$ от числа N : $\varphi(N)=(p-1) \cdot (q-1)$, и находит число d из условия $e \cdot d \equiv 1 \pmod{\varphi(N)}$. Так как e и $\varphi(N)$ – взаимно простые: $\text{НОД}(e, \varphi(N))=1$, то такое число d существует и оно единственно.

Пара (N, e) объявляется открытым ключом абонента и помещается в открытый доступ. Пара (N, d) является личным (сек-

ретным) ключом. Для расшифрования достаточно знать секретный ключ. Числа p , q , $\varphi(N)$ в дальнейшем не нужны, поэтому их можно уничтожить.

Пользователь A , отправляющий сообщение x абоненту B , выбирает из открытого каталога пару (N, e) абонента B и вычисляет шифрованное сообщение $y = x^e \pmod{N}$.

Чтобы получить исходный текст, абонент B вычисляет $y^d \pmod{N}$.

Пример. Пусть $p=7$, $q=17$. Тогда $N=7 \cdot 17=119$, $\varphi(N)=6 \cdot 16=96$. Выбираем значение e : $e < 96$, $\text{НОД}(e, 96)=1$. Пусть выбрано $e=5$. Находим d : $e \cdot d = 1 \pmod{\varphi(N)}$, $d = e^{-1} \pmod{\varphi(N)}$. С помощью расширенного алгоритма Евклида получаем $d=77$ ($77 \cdot 5 = 4 \cdot 96 + 1$).

Открытый ключ $(119, 5)$, личный ключ $(119, 77)$. Пусть теперь $x=19$. Для зашифрования число 19 возводим в 5-ю степень по модулю 119, тогда имеем $19^5 = 2\,476\,099$ и остаток от целочисленного деления этого значения на 119 равен 66. Итак, $y = 19^5 \pmod{119} = 66$. При расшифровании же получим: $x = 66^{77} \pmod{119} = 19$.

Упрощение вычислений

Как шифрование, так и расшифрование в RSA предполагают использование операции возведения целого числа в целую степень по модулю p . Если возведение в степень выполнять непосредственно с целыми числами и только потом проводить сравнение по модулю p , то промежуточные значения окажутся огромными. Здесь можно воспользоваться свойствами арифметики в классах вычетов $a \cdot b \pmod{p} = ((a \pmod{p}) \cdot b) \pmod{p} = ((a \pmod{p}) \cdot (b \pmod{p})) \pmod{p}$. Таким образом, можно рассмотреть промежуточные результаты по модулю p . Это позволяет получить значение большой степени по модулю p с помощью итерационных вычислений. Итерационный алгоритм будет иметь линейную сложность относительно показателя степени.

Например, для вычисления $88^3 \pmod{23}$, можно выполнить следующее преобразование:

$$\begin{aligned} 88^3 \pmod{23} &= ((88 \pmod{23}) \cdot 88 \pmod{23}) \cdot 88 \pmod{23} = \\ &= ((19 \cdot 88) \pmod{23}) \cdot 88 \pmod{23} = (1672 \pmod{23}) \cdot 88 \pmod{23} = \\ &= 16 \cdot 88 \pmod{23} = 1408 \pmod{23} = 5. \end{aligned}$$

Существует и более эффективный алгоритм вычисления большой степени числа, основанный на возведении в квадрат по модулю p . Степень x при вычислении значения a^x представляется в виде последовательности операций умножения на 2 и сложения с 1. Пусть, например, требуется вычислить $a^{100} \bmod p$. Представим степень как $100 = 2(2(1+2 \cdot 2 \cdot 2(1+2)))$. Тогда возведение в степень $a^{100} = ((((((a^2 \cdot a)^2)^2) \cdot a)^2)^2)$, $a^{100} \bmod p = ((((((a^2 \bmod p) \cdot (a \bmod p))^2 \bmod p)^2 \bmod p)^2 \bmod p) \cdot (a \bmod p))^2 \bmod p$.

Вычислим $7^{100} \bmod 23$, получаем 16 (табл. 28).

Таблица 28

Пример быстрого вычисления степени по модулю

| | | | | | | | | |
|-----|----------------|----------------------|----------------|----------------|----------------|----------------------|----------------|----------------|
| | $7^2 \bmod 23$ | $x \cdot 7 \bmod 23$ | $x^2 \bmod 23$ | $x^2 \bmod 23$ | $x^2 \bmod 23$ | $x \cdot 7 \bmod 23$ | $x^2 \bmod 23$ | $x^2 \bmod 23$ |
| x | 3 | 21 | 4 | 16 | 3 | 21 | 4 | 16 |

Таким образом, возведение в степень 100 производится путем 2 умножений и 6 возведений в квадрат по модулю (то есть всего 8 операций).

Количество операций умножения при вычислении a^x методом повторного возведения в квадрат не превосходит $2 \log x$.

Для нахождения числа d , удовлетворяющего сравнению $e \cdot d \equiv 1 \pmod{\phi(N)}$, то есть инверсии e по модулю $\phi(N)$: $d = e^{-1} \bmod \phi(N)$, может быть использован расширенный алгоритм Евклида.

На вход алгоритма подаются числа $\phi(N)$, e , $\phi(N) > e$.

1. Формируются строки: $U = \{u_1, u_2\} \leftarrow \{\phi(N), 0\}$;
 $V = \{v_1, v_2\} \leftarrow \{e, 1\}$.

2. ПОКА $v_1 \neq 0$:

3. $k \leftarrow u_1 \text{ div } v_1$
4. $T = \{t_1, t_2\} \leftarrow \{u_1 \bmod v_1; u_2 - k \cdot v_2\}$
5. $U \leftarrow V, V \leftarrow T$

6. РЕЗУЛЬТАТ $U = \{u_1; u_2\} = \{\text{НОД}(\phi(N), e); d\}$

Пусть, например, $e = 19$, $\phi(N) = 28$, требуется найти значение $d = e^{-1} \pmod{\phi(N)}$.

Вычисления с помощью расширенного алгоритма Евклида представлены на рис. 57.

В начале в строку U записываются значения $\{28,0\}$, а в строку $V = \{19,1\}$ (это две первые строки в схеме). Вычисляется T (третья строка). После этого в качестве U берется вторая, а в качестве V – третья строка в схеме, и вычисляется новое значение T (четвертая строка). Этот процесс продолжается до тех пор, пока первый элемент строки V не окажется равным 0. Тогда строка U (предпоследняя в схеме) содержит ответ.

| шаг | 1 | 2 | 3 | результат | строки | | k |
|-----|---|---|---|-----------|--------|-----|---|
| | U | | | | 28 | 0 | |
| | V | U | | | 19 | 1 | |
| 1 | T | V | U | | 9 | -1 | 1 |
| 2 | | T | V | U | 1 | 3 | 2 |
| 3 | | | T | V | 0 | -28 | 9 |

Рис. 57. Пример вычисления числа, обратного по модулю, с помощью расширенного алгоритма Евклида

В рассматриваемом примере получаем: $\text{НОД}(28,19)=1$, $d = 3$.

Задание

Выполнить шифрование, проверку аутентичности и дешифрование по алгоритму RSA, зная только открытые ключи абонентов криптосистемы RSA.

Технология выполнения задания

Задание А. Известны открытые ключи (N, e) абонентов криптосистемы RSA (табл.29). Кодирование символов сообщения осуществляется с помощью таблицы 30 (буквы «е» и «ё» не различаются). Найти значение передаваемого между абонентами шифртекста Y .

Таблица 29

Справочник открытых ключей абонентов криптосистемы RSA

| Абонент | Ключ (N, e) | Абонент | Ключ (N, e) | Абонент | Ключ (N, e) |
|---------|-------------|---------|-------------|---------|-------------|
| A | (5017, 251) | F | (8809,307) | K | (4553, 241) |
| B | (8471, 125) | G | (6077,619) | L | (6757, 233) |
| C | (4559, 311) | H | (5513,607) | P | (8413, 507) |
| D | (3403, 211) | I | (7747, 353) | Q | (6313, 749) |
| E | (5177, 179) | J | (5561, 433) | R | (9301, 387) |

Таблица 30

Таблица кодирования символов открытого текста

| Символ | а | б | в | г | д | е | ж | з | и | й | к | л | м | н | о | п |
|--------|----|----|----|----|----|----|----|----|----|----|----|----|----|----|----|----|
| код | 11 | 12 | 13 | 14 | 15 | 16 | 17 | 18 | 19 | 21 | 22 | 23 | 24 | 25 | 26 | 27 |
| Символ | р | с | т | у | ф | х | ц | ч | ш | щ | ъ | ы | ь | э | ю | я |
| код | 28 | 29 | 31 | 32 | 33 | 34 | 35 | 36 | 37 | 38 | 39 | 41 | 42 | 43 | 44 | 45 |

1. Выбрать параметры передачи шифртекста в системе RSA и открытый текст из таблицы 31 в соответствии с номером варианта.

Изучить теоретическое описание алгоритма RSA. Выполнить шифрование по аналогии с рассмотренным далее примером.

Пример. Пусть осуществляется передача шифртекста от абонента A1 к абоненту A2. И пусть получатель – абонент A2 имеет открытый ключ $N = 2537, e = 199$, требуется зашифровать с помощью алгоритма RSA текст «зима».

Таблица 31

Варианты задания

| № | Передача текста | № | Передача текста | № | Передача текста |
|---|-----------------|----|-----------------|----|-----------------|
| 1 | A → B; заря | 10 | H → J; сани | 19 | L → D; звук |
| 2 | C → D; клуб | 11 | K → P; клан | 20 | Q → B; соло |
| 3 | E → A; небо | 12 | L → Q; лист | 21 | I → A; пара |
| 4 | B → C; высь | 13 | I → K; крен | 22 | R → G; сеть |
| 5 | F → E; зонд | 14 | Q → R; свет | 23 | H → Q; один |
| 6 | J → F; семья | 15 | D → L; звон | 24 | P → F; рост |
| 7 | P → I; дело | 16 | A → H; ключ | 25 | B → K; метр |
| 8 | R → G; пять | 17 | K → F; курс | | |
| 9 | G → H; слон | 18 | E → P; байт | | |

2. Подготовить открытый текст к шифрованию, задав для него числовое представление.
 - Занести на новый лист книги MSExcel параметры криптосистемы RSA: числа N и e , а также открытый текст (посимвольно).
 - Закодировать текст с помощью таблицы 30, занеся коды символов на лист MSExcel:

| | | | |
|----|----|----|----|
| з | и | м | а |
| 18 | 19 | 24 | 11 |

ЗАМЕЧАНИЕ: Процесс перевода текста в числовые коды можно автоматизировать, если таблицу 30 занести на лист MSExcel и использовать функцию **ГПР** (для горизонтального представления таблицы) или **ВПР** (для вертикального представления) группы *Ссылки и массивы*.

- Объединить коды символов текста в общую последовательность символов: числовое представление открытого текста $X = 18192411$. В MSExcel для этого можно использовать операцию конкатенации **&**, например, **=C3&D3&E3&F3** (рис. 58).

| | A | B | C | D | E | F | G | H | I | J | K |
|---|------|-----|----------------|----|----|----|----------|---|---------------------|----|---|
| 1 | N | e | Открытый текст | | | | X | | Таблица кодирования | | |
| 2 | 2537 | 237 | з | и | м | а | | | а | 11 | а |
| 3 | | | 18 | 19 | 24 | 11 | 18192411 | | б | 12 | б |
| 4 | | | | | | | | | в | 13 | в |
| 5 | | | | | | | | | г | 14 | г |
| 6 | | | | | | | | | д | 15 | д |
| 7 | | | | | | | | | е | 16 | е |

Рис. 58. Занесение исходной информации на лист MSExcel

- Разбить последовательность цифр X на части так, чтобы $X_i < N$, ни одна часть не содержит ведущих нулей. Поскольку $N=2537$, $X_i < 2537$:

$$X_1=1819, X_2=2411.$$

Занести полученные значения на лист MSExcel.

3. Зашифровать X_1 по формуле: $Y=X^e \bmod N$. Для вычислений можно использовать табличный процессор MSExcel. Подготовить

реализацию алгоритма для быстрого вычисления степени по модулю последовательным возведением в квадрат:

- Перевести значение степени e в двоичное представление. В среде MSExcel для этих целей можно воспользоваться функцией ДЕС.В.ДВ группы *Инженерные* (например, =ДЕС.В.ДВ(B2)).

ЗАМЕЧАНИЕ: Функция ДЕС.В.ДВ осуществляет перевод значений только в диапазоне от -512 до 511. Если число e выходит за рамки указанного диапазона, следует воспользоваться стандартным приложением MSWindows Калькулятор, режим (вид) *Программист*. В этом случае следует установить переключатель системы счисления в позицию *Dec* (десятичная), ввести число e , а затем установить переключатель в позицию *Bin* (двоичная). Число будет переведено в двоичную систему счисления. Занести значение e в двоичной системе счисления на лист MSExcel.

Для рассматриваемого примера получили $e = 11000111_2$.

- Определить n – число разрядов двоичного представления числа e . В среде MSExcel для этих целей можно воспользоваться функцией ДЛСТР группы *Текстовые*. Пусть значение e в двоичной системе счисления занесено в ячейку A8. Тогда в ячейку A9 следует занести формулу =ДЛСТР(A8).

Для рассматриваемого примера получили $n = 8$.

- Сформировать таблицу для вычисления степени e по модулю N . В ячейки столбца A (ниже значений e и n) занести значения от 0 до $n-1$ (в примере – от 0 до 7), задав заголовок столбца: i .
- В соответствующие ячейки столбца B занести значения двоичных разрядов b_i (начиная с младшего разряда), для чего воспользоваться функцией ПСТР группы *Текстовые*, например, =ПСТР(\$A\$8;\$B\$8-A11;1) – рис. 59.

| B11 | | fx =ПСТР(\$A\$8;\$B\$8-A11;1) | | | | | |
|-----|----------|-------------------------------|----------------|----|----|----|----------|
| | A | B | C | D | E | F | G |
| 1 | N | e | Открытый текст | | | | X |
| 2 | 2537 | 199 | з | и | м | а | |
| 3 | | | 18 | 19 | 24 | 11 | 18192411 |
| 4 | x1 | x2 | | | | | |
| 5 | 1819 | 2411 | | | | | |
| 6 | | | | | | | |
| 7 | e | n | | | | | |
| 8 | 11000111 | | 8 | | | | |
| 9 | | | | | | | |
| 10 | i | bi | | | | | |
| 11 | 0 | 1 | | | | | |
| 12 | 1 | 1 | | | | | |
| 13 | 2 | 1 | | | | | |
| 14 | 3 | 0 | | | | | |
| 15 | 4 | 0 | | | | | |
| 16 | 5 | 0 | | | | | |
| 17 | 6 | 1 | | | | | |
| 18 | 7 | 1 | | | | | |

Рис. 59. Выделение битов двоичного представления степени e

- В соответствующих ячейках столбца **С** вычислить значения ряда x^{2^i} , задав заголовок столбца x_i . В ячейку **С11** занести ссылку на исходное значение (которое надо будет возвести в степень, пусть оно будет помещено в ячейку **С8**), тогда ячейка **С11** должна содержать формулу **=С8**, в ячейку **С12** – формулу для вычисления квадрата по модулю N : **=ОСТАТ(С11^2;\$А\$2)**, ячейка **А2** содержит значение N . Скопировать формулу из **С12** на оставшийся диапазон ячеек столбца **С** (рис. 60).
- В ячейки столбца **Д** занести значение 1, если соответствующее значение бита $b_i = 0$ (из столбца **В**) или значение x^{2^i} (из столбца **С**), если $b_i = 1$. Для этих целей воспользоваться функцией **ЕСЛИ** группы *Логические*. Формула в ячейке **Д11** имеет вид: **=ЕСЛИ(В11="0";1;С11)**. Скопировать формулу из **Д11** на оставшийся диапазон ячеек столбца **Д** (рис. 60).
- В столбце **Е** подсчитать произведение значений из столбца **Д** по модулю. Для этого в ячейку **Е11** ввести формулу **=Д11**, в ячей-

ку **E12**–формулу **=ОСТАТ(E11*D12;\$A\$2)**. Скопировать формулу на оставшийся диапазон ячеек столбца **E** (рис.60).

Последняя заполненная ячейка столбца **E** (**E18** в примере) содержит результат вычисления степени по модулю. Подписать эту ячейку как **y**.

| | A | B | C | D | E | F | G |
|----|----------|-----|------|------|------|---|---|
| 7 | e | n | X | | | | |
| 8 | 11000111 | 8 | 1819 | | | | |
| 9 | | | | | | | |
| 10 | i | bi | xi | | | | |
| 11 | | 0 1 | 1819 | 1819 | 1819 | | |
| 12 | | 1 1 | 513 | 513 | 2068 | | |
| 13 | | 2 1 | 1858 | 1858 | 1326 | | |
| 14 | | 3 0 | 1844 | 1 | 1326 | | |
| 15 | | 4 0 | 756 | 1 | 1326 | | |
| 16 | | 5 0 | 711 | 1 | 1326 | | |
| 17 | | 6 1 | 658 | 658 | 2317 | | |
| 18 | | 7 1 | 1674 | 1674 | 2122 | | |
| 19 | | | | | y | | |
| 20 | y1 | | | | | | |
| 21 | 2122 | | | | | | |

Рис. 60. Результаты вычисления степени по модулю

- Занести в ячейку для исходных данных (**C8**) значение $X_1=1819$. Ячейка, помеченная как **y**, будет содержать значение Y_1 . Скопировать полученное значение (использовать вставку только значений), подписав его (рис.60).

В рассматриваемом примере результат шифрования X_1 – значение $Y_1 = 2122$.

4. Зашифровать X_2 :

- Занести в ячейку для исходных данных (**C8**) значение $X_2=2411$. Ячейка, помеченная как **y**, будет содержать значение Y_2 . Скопировать полученное значение, подписав его.

В рассматриваемом примере результат шифрования X_2 – значение $Y_2 = 1796$.

5. Сформировать результирующее значение криптограммы, сцепив полученные значения Y_1 и Y_2 через знак точки запятой

(можно использовать операцию конкатенации &, например, =A21&" ";"&B21)–рис.61.

В примере получена криптограмма $Y = 2122;1796$ для передачи абоненту А2.

| D21 | | fx =A21&" ";"&B21 | | | | |
|-----|----------|-------------------|------|-----------|------|---|
| | A | B | C | D | E | F |
| 7 | e | n | X | | | |
| 8 | 11000111 | 8 | 2411 | | | |
| 9 | | | | | | |
| 10 | i | bi | xi | | | |
| 11 | 0 1 | | 2411 | 2411 | 2411 | |
| 12 | 1 1 | | 654 | 654 | 1317 | |
| 13 | 2 1 | | 1500 | 1500 | 1714 | |
| 14 | 3 0 | | 2218 | 1 | 1714 | |
| 15 | 4 0 | | 281 | 1 | 1714 | |
| 16 | 5 0 | | 314 | 1 | 1714 | |
| 17 | 6 1 | | 2190 | 2190 | 1437 | |
| 18 | 7 1 | | 1170 | 1170 | 1796 | |
| 19 | | | | | y | |
| 20 | Y1 | Y2 | | Y | | |
| 21 | 2122 | 1796 | | 2122;1796 | | |
| 22 | | | | | | |

Рис. 61. Получение значения криптограммы Y

Задание В. Абоненты криптосистемы RSA обмениваются открытыми сообщениями с подтверждением авторства. Проверить аутентичность сообщения, если известны открытые ключи (N, e) абонентов криптосистемы (табл.29). Кодирование символов сообщения осуществляется с помощью таблицы 30 (буквы «е» и «ё» не различаются).

6. Выбрать параметры передачи текста в системе RSA, передаваемый открытый текст проверочный код из таблицы 32 в соответствии с номером варианта.

Варианты задания

| № | Передача текста | Подпись | № | Передача текста | Подпись |
|----|-------------------------|-----------|----|-------------------------|-----------|
| 1 | $R \rightarrow A$; акт | 1019;8218 | 14 | $D \rightarrow B$; год | 2879;1136 |
| 2 | $I \rightarrow B$; фен | 6201;1357 | 15 | $C \rightarrow A$; воз | 4459;1492 |
| 3 | $J \rightarrow C$; сын | 2484;3766 | 16 | $F \rightarrow P$; йод | 5228;296 |
| 4 | $C \rightarrow D$; вес | 2115;3906 | 17 | $G \rightarrow D$; сор | 1808;4252 |
| 5 | $E \rightarrow I$; жар | 1142;3017 | 18 | $H \rightarrow E$; сын | 2751;1804 |
| 6 | $L \rightarrow J$; гол | 3296;6081 | 19 | $I \rightarrow K$; дом | 794;1883 |
| 7 | $Q \rightarrow E$; куб | 5238;49 | 20 | $K \rightarrow J$; кот | 79;2832 |
| 8 | $K \rightarrow C$; вал | 3629;54 | 21 | $J \rightarrow H$; дым | 2077;2367 |
| 9 | $G \rightarrow F$; лаз | 111;1230 | 22 | $L \rightarrow Q$; зал | 3909;3851 |
| 10 | $F \rightarrow K$; кит | 3321;5454 | 23 | $Q \rightarrow I$; час | 3176;3250 |
| 11 | $A \rightarrow C$; мир | 3787;2087 | 24 | $P \rightarrow G$; пес | 1235;2661 |
| 12 | $B \rightarrow R$; луг | 6248;6318 | 25 | $R \rightarrow F$; вид | 6216;7221 |
| 13 | $E \rightarrow L$; сом | 261;1386 | | | |

Поскольку сообщение подписывается абонентом с помощью своего личного ключа, проверка осуществляется с использованием открытого ключа отправителя. Выполнить проверку аутентичности сообщения по аналогии с рассмотренным далее примером.

Пример. Пусть от абонента A_1 к абоненту A_2 передан текст «зал» с подписью (проверочным кодом) $Y = (Y_1; Y_2) = 1698; 988$. И пусть отправитель – абонент A_1 имеет открытый ключ $N = 3403$, $e = 143$.

7. Расшифровать части проверочного кода открытым ключом отправителя, используя формулу $X = Y^e \bmod N$:

- Для каждого из частей Y_i проверочного кода вычислить значение X_i , реализовав алгоритм быстрого возведения в степень по модулю (аналогично пункту 3 задания А).

В рассматриваемом примере получено: $X_1 = 1811$, $X_2 = 23$.

- Сцепить полученные значения X_i (с помощью операции **&**), а затем разбить на двузначные числа (функции **ПСТР** и **ЗНАЧЕН**) для определения символов сообщения.

В примере коды символов сообщения: 18, 11, 23.

- Перевести полученные коды в символы, используя таблицу 30 (для автоматизации использовать функцию **ВПР**).

В примере получили символы: з, а, л (рис.62). Поскольку полученное слово совпадает с переданным открытым сообщением, аутентичность последнего подтверждена.

| F41 | | fx =ЗНАЧЕН(ПСТР(\$D\$41;1;2)) | | | | | | | |
|-----|----------|-------------------------------|------|--------|------|----|----|----|---|
| | A | B | C | D | E | F | G | H | I |
| 24 | N | e | | Y1 | Y2 | | | | ц |
| 25 | 3403 | 143 | | 1698 | 988 | | | | ч |
| 26 | | | | | | | | | ш |
| 27 | e | n | Y | | | | | | щ |
| 28 | 10001111 | 8 | 988 | | | | | | ъ |
| 29 | | | | | | | | | ы |
| 30 | i | bi | xi | | | | | | ь |
| 31 | 0 1 | | 988 | 988 | 988 | | | | э |
| 32 | 1 1 | | 2886 | 2886 | 3057 | | | | ю |
| 33 | 2 1 | | 1855 | 1855 | 1337 | | | | я |
| 34 | 3 1 | | 592 | 592 | 2008 | | | | |
| 35 | 4 0 | | 3358 | 1 | 2008 | | | | |
| 36 | 5 0 | | 2025 | 1 | 2008 | | | | |
| 37 | 6 0 | | 10 | 1 | 2008 | | | | |
| 38 | 7 1 | | 100 | 100 | 23 | | | | |
| 39 | | | | | | | | | |
| 40 | X1 | X2 | | Y | | | | | |
| 41 | 1811 | 23 | | 181123 | | 18 | 11 | 23 | |
| 42 | | | | | | з | а | л | |

Рис. 62. Вычисления для проверки аутентичности сообщения

Задание С. При передаче между абонентами перехвачена криптограмма Y , полученная шифрованием по алгоритму RSA. Дешифровать Y , вычислив секретный ключ d . Известны открытые ключи абонентов (табл. 29). Кодирование символов сообщения осуществляется с помощью таблицы 30.

8. Выбрать параметры шифра RSA и криптограмму Y в соответствии с номером варианта (табл. 33, выбор осуществляется по порядковому номеру в официальном списке группы).

Варианты задания

| № | Абоненты | Криптограмма Y | № | Абоненты | Криптограмма Y |
|----|-------------------|------------------|----|-------------------|------------------|
| 1 | $F \rightarrow P$ | 3872;5862 | 14 | $C \rightarrow D$ | 1386;193 |
| 2 | $G \rightarrow E$ | 4611;693 | 15 | $E \rightarrow I$ | 2421;6015 |
| 3 | $H \rightarrow D$ | 338;2187 | 16 | $L \rightarrow J$ | 4737;5282 |
| 4 | $I \rightarrow K$ | 2452;2200 | 17 | $Q \rightarrow E$ | 1172;1127 |
| 5 | $K \rightarrow J$ | 1889;67 | 18 | $K \rightarrow C$ | 115;1462 |
| 6 | $J \rightarrow H$ | 3722;1864 | 19 | $G \rightarrow F$ | 1071;6911 |
| 7 | $L \rightarrow Q$ | 2091;3156 | 20 | $F \rightarrow K$ | 3760;3167 |
| 8 | $Q \rightarrow I$ | 2130;7168 | 21 | $A \rightarrow C$ | 3341;3627 |
| 9 | $P \rightarrow G$ | 4554;2122 | 22 | $B \rightarrow R$ | 3978;5215 |
| 10 | $R \rightarrow F$ | 314;3906 | 23 | $E \rightarrow L$ | 4357;1114 |
| 11 | $R \rightarrow A$ | 1697;2777 | 24 | $D \rightarrow B$ | 4461;7243 |
| 12 | $I \rightarrow B$ | 1085;3979 | 25 | $C \rightarrow A$ | 3438;4112 |
| 13 | $J \rightarrow R$ | 5584;2224 | | | |

Выполнить дешифрование криптограммы по аналогии с рассмотренным далее примером.

Пример. От абонента A_1 к абоненту A_2 передана криптограмма $Y = (Y_1; Y_2) = 1726; 1996$. Известен открытый ключ получателя $N=2537; e=199$.

9. Для дешифрования необходимо получить личный ключ d получателя криптограммы. Для этого потребуется решить задачу факторизации (разложения на простые множители) числа N . Эта задача является вычислительно сложной, ее можно решить перебором всех простых чисел до тех пор, пока не будет найден один из множителей. В общем случае такой перебор неэффективен, и при используемых на практике параметрах шифра RSA невозможен в силу вычислительной сложности. Однако поскольку в примере N – небольшое число, его разложение на множители практически осуществимо. Для решения задачи разложения на множители можно воспользоваться инструментом **Поиск решения** MS Excel:

- На новом листе книги MS Excel ввести в ячейки **A1** и **B1** значение 10. В ячейку **B2** ввести формулу: **=A1*B1**.

- Проверить наличие инструмента **Поиск решения** на вкладке **Данные** в группе *Анализ*. Если инструмент отсутствует, следует его включить, для этого выполнить команду **Файл/Параметры**, перейти на вкладку *Надстройки*, в строке *Управление* выбрать *Надстройки Excel* и щелкнуть кнопку **Перейти**, затем в окне *Надстройки* установить флажок рядом с пунктом *Поиск решения* и нажать **ОК** (рис.63).

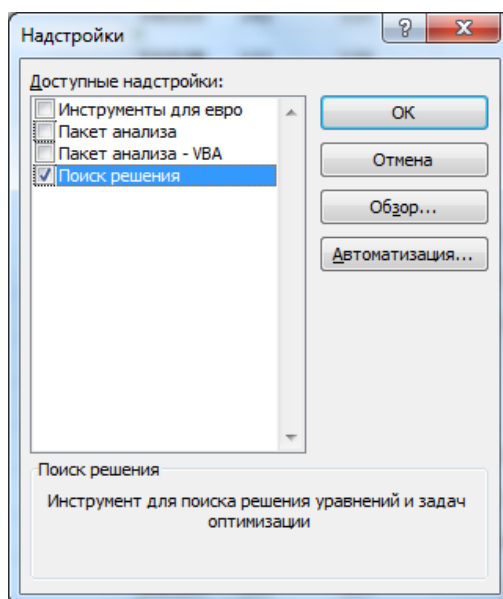


Рис. 63. Включение надстройки *Поиск решения*

- Выбрать ячейку **B2** (в которой подсчитано произведение двух множителей) и вызвать инструмент **Поиск решения** (вкладка **Данные**).
- В окне *Поиск решения* установить целевую ячейку – **\$B\$2** равной значению N (в примере – 2537), в поле *Изменяя ячейки переменных* выделить диапазон ячеек **\$A\$1:\$B\$1**, в группе *В соответствии с ограничениями* нажать кнопку **Добавить**, в окне *Добавление ограничения* в поле *Ссылка на ячейку* выделить диапазон ячеек **\$A\$1:\$B\$1**, в следующем поле выбрать значение *цел* и нажать **ОК** (рис.64). Будет установлено ограничение **\$A\$1:\$B\$1=целое**. Результирующий вид окна настроек инструмента **Поиск решения** показан на рис.65.

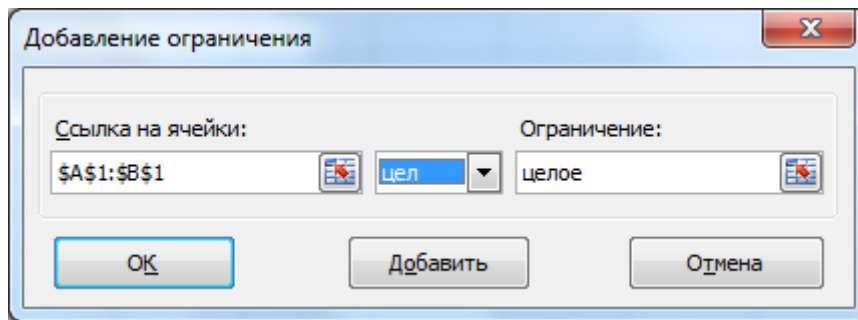


Рис. 64. Задание ограничений на изменяемые ячейки

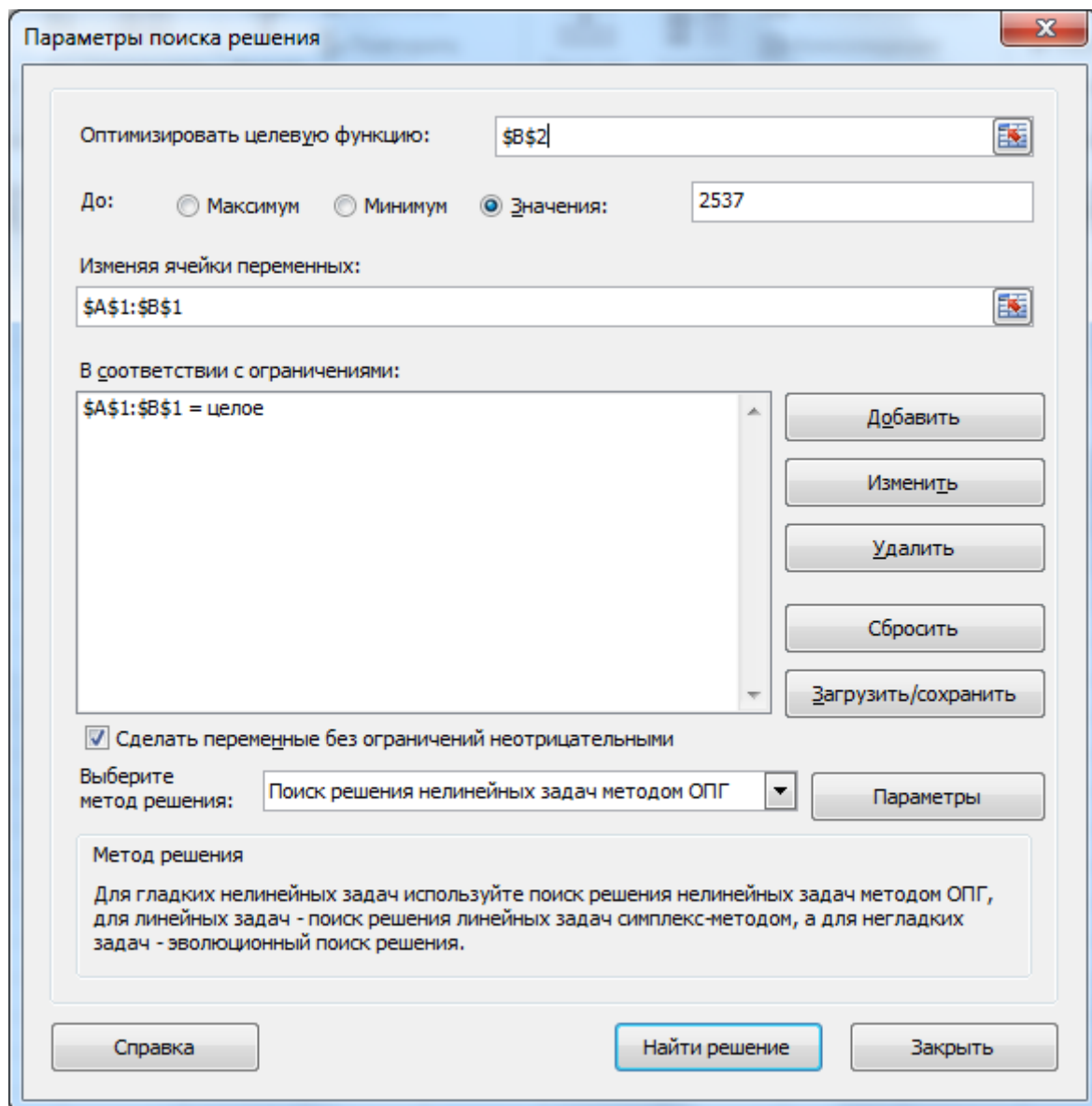


Рис. 65. Настройка инструмента Поиск решения

- В окне Поиск решения выбрать метод решения Поиск решения нелинейных задач методом ОПГ, затем нажать кнопку Пара-

метры и на вкладке *Все методы* установить *Максимальное время*: 1000 и *Предельное число итераций*: 10000. Нажать **ОК**.

- После того, как инструмент **Поиск решения** полностью настроен, в окне *Поиск решения* нажать кнопку **Выполнить**. Будет выдано окно *Результаты поиска решения* с сообщением о том, что решение найдено – установить переключатель в позицию *Сохранить найденное решение* и нажать **ОК**. В ячейках **A1** и **B1** будут получены значения простых сомножителей числа N .

В рассматриваемом примере после выполнения поиска решения в ячейке **A1** будет установлено значение 19, а в ячейке **B1** – 29. Это и есть множители числа $N=551$.

ЗАМЕЧАНИЕ: Если один из множителей окажется равным 1, то следует изменить начальные значения в ячейках **A1** и **B1**, а затем повторно выполнить поиск решения.

10. Получили: $p=43$, $q=59$. Поскольку оба числа простые, легко вычислить значение $\varphi(N)$:

$$\varphi(N)=\varphi(p \cdot q)=(p-1) \cdot (q-1)=42 \cdot 58=2436.$$

11. Зная значение $\varphi(N)$ и e , можно вычислить секретный ключ d из условия $e \cdot d \equiv 1 \pmod{\varphi(N)}$, $d = e^{-1} \pmod{\varphi(N)}$. Для вычисления d следует воспользоваться расширенным алгоритмом Евклида:

- Сформировать первую строку (**U**) расширенного алгоритма Евклида: на новом листе в ячейку **A1** занести значение $\varphi(N)=2436$, в ячейку **B1** – 1, **C1** – 0.
- Сформировать вторую строку (**V**) расширенного алгоритма Евклида: в ячейку **A2** занести значение $e=199$, в ячейку **B2** – 0, **C2** – 1.
- Вычислить значение $k=u_1 \operatorname{div} v_1$: в ячейку **D3** занести формулу: **=ЧАСТНОЕ(A1,A2)**.
- Сформировать строку $T=\{u_1 \bmod v_1, u_2-k \cdot v_2, u_3-k \cdot v_3\}$ расширенного алгоритма Евклида: в ячейку **A3** занести формулу: **=ОСТАТ(A1,A2)**, в ячейку **B3** – формулу **=B1-B2*D3**, в ячейку **C3** – формулу **=C1-C2*D3**.
- Выделить диапазон ячеек **A3:D3** и растянуть (скопировать) на несколько строк вниз, пока в столбце **A** не будет получено нулевое значение.

Результаты реализации расширенного алгоритма Евклида для рассматриваемого примера показаны на рис. 66.

| | A | B | C | D | E |
|----|---------|---------|---------|---------|---|
| 1 | 2436 | 1 | 0 | | |
| 2 | 199 | 0 | 1 | | |
| 3 | 48 | 1 | -12 | 12 | |
| 4 | 7 | -4 | 49 | 4 | |
| 5 | 6 | 25 | -306 | 6 | |
| 6 | 1 | -29 | 355 | 1 | |
| 7 | 0 | 199 | -2436 | 6 | |
| 8 | #ДЕЛ/0! | #ДЕЛ/0! | #ДЕЛ/0! | #ДЕЛ/0! | |
| 9 | #ДЕЛ/0! | #ДЕЛ/0! | #ДЕЛ/0! | #ДЕЛ/0! | |
| 10 | | | | | |

Рис. 66. Пример реализации расширенного алгоритма Евклида

- Значение d находится в столбце **C** в предпоследней строке, содержащей числовые значения, то есть в строке, предшествующей строке, начинающейся с 0. Строка с результатом должна начинаться с 1.

Для рассматриваемого примера значение личного ключа d содержится в ячейке **C6**, $d=355$.

ЗАМЕЧАНИЕ: Если полученное значение d – отрицательное, следует взять его по модулю $\varphi(N)$. Для этого можно использовать функцию **ОСТАТ()** или просто сложить d со значением $\varphi(N)$.

12. Занести значения N , d и частей Y_1 , Y_2 криптограммы на лист MSExcel.
13. Вычислить значения X_1 , X_2 , используя формулу $X=Y^d \bmod N$, вычисления производятся с помощью быстрого алгоритма возведения в степень по модулю (аналогично пункту 3 задания А).

Для рассматриваемого примера получили $X_1 = 1511$, $X_2 = 28$ (рис.67).

| | A | B | C | D | E | F | G | H |
|----|-----------|-----|------|--------|------|----|----|----|
| 45 | N | d | | Y1 | Y2 | | | |
| 46 | 2537 | 355 | | 1726 | 1996 | | | |
| 47 | | | | | | | | |
| 48 | d | n | Y | | | | | |
| 49 | 101100011 | 9 | 1996 | | | | | |
| 50 | | | | | | | | |
| 51 | i | bi | xi | | | | | |
| 52 | 0 1 | | 1996 | 1996 | 1996 | | | |
| 53 | 1 1 | | 926 | 926 | 1360 | | | |
| 54 | 2 0 | | 2507 | 1 | 1360 | | | |
| 55 | 3 0 | | 900 | 1 | 1360 | | | |
| 56 | 4 0 | | 697 | 1 | 1360 | | | |
| 57 | 5 1 | | 1242 | 1242 | 2015 | | | |
| 58 | 6 1 | | 68 | 68 | 22 | | | |
| 59 | 7 0 | | 2087 | 1 | 22 | | | |
| 60 | 8 1 | | 2077 | 2077 | 28 | | | |
| 61 | | | | | | | | |
| 62 | X1 | X2 | | X | | | | |
| 63 | 1511 | 28 | | 151128 | | 15 | 11 | 28 |
| 64 | | | | | | д | а | р |
| 65 | | | | | | | | |

Рис. 67. Пример расшифровки RSA

14. Преобразовать полученные значения в текстовое сообщение:

- Сформировать общую числовую последовательность X объединением расшифрованных частей X_1 и X_2 : $X=151128$.
- Разбить последовательность X на двузначные числа: 15, 11, 27.
- Используя таблицу 30, найти символы, соответствующие полученным числовым кодам.

В рассматриваемом примере зашифрованное сообщение содержит текст «дар».

15. Показать результаты выполнения практической работы преподавателю.

Практическая работа №10. Атака на алгоритм RSA методом Ферма

Безопасность RSA и описание метода криптоанализа

Безопасность алгоритма RSA основана на трудоемкости разложения на множители (факторизации) больших чисел. К началу 2010 года с помощью *метода решета числового поля* удалось факторизовать 768-битное число. Следовательно, выбираемое $N=p \cdot q$ должно быть больше. В настоящее время рекомендуются к использованию ключи RSA (N) порядка 2048 и 3072 бита. Кроме разрядности p и q , к ним предъявляются следующие дополнительные требования:

- пара простых чисел p и q для каждого абонента должна быть своей, то есть все модули N_A, N_B, N_C, \dots должны быть различны. В противном случае один абонент сможет читать сообщения, предназначенные для другого (поскольку сможет вычислить чужой личный ключ, зная разложение числа N на множители p и q значение $\phi(N)$). Кроме того, в случае пересылки пользователям с одинаковыми модулями одного и того же сообщения, противник сможет прочесть это сообщение с помощью атаки на алгоритм RSA *методом бесключевого чтения*.
- числа p и q не должны содержаться в списках известных больших простых чисел;
- значения p и q не должны быть близкими, так как иначе можно воспользоваться для факторизации N *методом Ферма*.

При известных p и q можно оценить стойкость выбранных параметров к атаке методом Ферма. Определить количество попыток k , необходимых для факторизации N , можно по формуле:

$$k = \sqrt{p * q + \left(\frac{p - q}{2}\right)^2} - \lfloor \sqrt{p * q} \rfloor,$$

где где $\lfloor x \rfloor$ – операция округления x до ближайшего целого числа;

- числа $p-1, p+1, q-1, q+1$ не должны разлагаться в произведение маленьких простых множителей, должны содержать в качестве сомножителя хотя бы одно большое простое число.

В 1978 г. один из авторов RSA Рональд Райвест сформулировал наиболее сильные требования. Числа

$p_1 = \frac{p-1}{2}$, $p_2 = \frac{p+1}{2}$, $q_1 = \frac{q-1}{2}$, $q_2 = \frac{q+1}{2}$ должны быть простыми, причем числа p_1-1 и q_1-1 не должны разлагаться в произведение маленьких простых.

Кроме того, нежелателен выбор малых значений экспонент e и d (хотя это и позволяет ускорить выполнение шифрования или расшифрования соответственно). Так, при значении $d < N^{0,292}$ существует эффективный способ его вычисления (атака Винера).

Если же малым является параметр e , то достаточно большое число открытых сообщений, удовлетворяющих неравенству $X < \sqrt[e]{Y}$, будут зашифровываться простым возведением в степень $Y = X^e < N$ и поэтому их можно будет найти простым извлечением корня степени e из криптограммы Y .

Таким образом, безопасность RSA во многом зависит от выбора параметров криптосистемы.

Метод Ферма – метод криптоанализа алгоритма RSA, применимый в случае, если параметры p и q оказались достаточно близкими друг к другу.

Рассмотрим пример. Пусть $N=23360947609$, два его простых делителя близки к друг другу. Определим p и q методом Ферма.

Пусть $p > q$, тогда имеем $N = \left(\frac{p+q}{2}\right)^2 + \left(\frac{p-q}{2}\right)^2$. Обозначим:

$t = \frac{p+q}{2}$, $s = \frac{p-q}{2}$. Так как s мало, то t – целое число, лишь немного большее \sqrt{N} , причем $t^2 - N$ является полным квадратом (то есть $v = \sqrt{t^2 - N}$ – целое число).

Для нахождения значения t сначала следует вычислить \sqrt{N} , затем следует проверять подряд целые числа $t > \sqrt{N}$.

В примере $\sqrt{N} \approx 152842,9$.

Рассмотрим $t_1=152843$, $v_1^2=t_1^2-N=35040$, $v_1 \approx 187,2$ – не является целым.

На следующем шаге рассмотрим $t_2=t_1+1=152844$, $v_2^2=t_2^2-N=340727$, $v_2 \approx 583,7$ – не является целым.

На третьем шаге: $t_3=t_2+1=t_1+2=152845$, $v_3^2=t_3^2-N=646416$, $v_3=804$ –целое.

Нашли $v=v_3$. Тогда $p=t+v$, $q=t-v$.

Получили: $p=152845+804=153649$, $q=152845-804=152041$.
Знание p и q позволяет найти секретный ключ алгоритма RSA.

Описание инструментального средства BCalc

Программа «BCalc» предназначена для работы с целыми числами большой размерности и включает в себя возможность выполнения базовых и некоторых специальных операций над целыми числами. Специальные операции:

- преобразование числа в символьные данные и обратно;
- возведение в степень по модулю;
- вычисление обратных значений по модулю;
- нахождение целых корней любых натуральных степеней;
- нахождение подходящих дробей для цепной дроби.

Описание интерфейса программы

В окне программы находятся следующие элементы интерфейса:

- поля ввода, помеченные латинскими буквами A, B, C, D;
- верхняя группа кнопок с обозначением выполняемых действий на них;
- нижняя группа кнопок, предназначенных для очистки полей и таблицы;
- таблица для хранения промежуточных результатов.

Поля ввода A, B, C хранят входные данные для вызываемых функций программы. Результаты работы этих функций помещаются в поле D. При нахождении подходящей дроби результат помещается в поле C и первую строку таблицы.

Для любого поля таблицы можно вызвать контекстное меню указателем мыши, нажав ее правую кнопку, в котором содержатся следующие пункты:

- «To [поле ввода]» – копирует значение ячейки таблицы в соответствующее поле ввода;
- «From [поле ввода]» – копирует значение соответствующего поля ввода в выбранную ячейку таблицы.

Кнопки «ClearD», «ClearA, B, C», «Cleargrid» очищают соответственно поле D, поля A, B, C – таблицу.

Кнопка «Increase number of rows» увеличивает количество строк в таблице на пять.

Кнопка «D → A» копирует значение, находящееся в данный момент в поле D, в поле A. Кнопка «D → table» копирует значение поля D в первую сверху пустую ячейку второй колонки таблицы.

Остальные кнопки запускают математические функции, описанные ниже. Математические функции программы:

«D = A+B» – значения A и B складываются, результат помещается в поле D.

«D = A*B» – значения A и B перемножаются, результат помещается в поле D.

«D = A div B» – в D помещается результат целочисленного деления A на B.

«D = A mod B» – в D помещается остаток от целочисленного деления A на B.

«D = A^B mod C» – в D помещается результат возведения A в степень B по модулю C. Экспонента может быть отрицательным числом. Если поле C = 0, то возведение в степень будет происходить по правилам обычной, а не модульной арифметики. В таком случае не стоит задавать в качестве экспоненты большие числа, так как вычисления могут занять слишком много времени. Невозможно также вычислять обратные значения, если в качестве модуля задан ноль.

«D = A^(1/B)» – в поле D помещается корень B степени от A. Если в результате извлечения корня получилось нецелое число, то в D помещается ближайшее большее целое число, а в первой строке таблицы появится надпись «[error]».

«A*D – B*C = N», где A – числитель дроби; B – знаменатель подходящей дроби δn порядка. В поле C будет помещен числитель, а в D – знаменатель подходящей дроби $\delta n-1$ порядка. В первую строку таблицы будет помещено значение выражения A*D – B*C. Если после начала вычисления дроби поля C и D равны нулю, то это значит, что числа A и B не взаимно просты.

« $D = \text{text}(A)$ » – число A интерпретируется как строка из символов в ANSI-кодировке. Строка помещается в поле D .

« $D = \text{number}(A)$ » – строка A , состоящая из символов, интерпретируется как число и помещается в поле D .

В программе используется модернизированный модуль «BigNumv2.0»(JesR. Klinke).

Задание. Даны значения модуля шифрования N , открытого ключа e и шифртекста Y . Известно, что Y получен шифрованием на открытом ключе (N, e) по алгоритму RSA. Используя разложение модуля на простые числа методом Ферма, определить секретный ключ алгоритма RSA и дешифровать Y .

Указания к выполнению практической работы

Для выполнения практической работы рекомендуется использовать программу *BCalc.exe*. Варианты заданий приведены в Приложении 4.

Технология выполнения задания

1. Изучить теоретическое описание метода Ферма.
2. Выбрать из Приложения 4 значения N , e и Y в соответствии с номером варианта. Выполнить криптоанализ по аналогии с рассмотренным далее примером.

Пример. $N=65815671868057$, $e=7423489$, $Y=64938654445479$. Дешифровать Y .

3. Запустить программу *BCalc.exe*, очистить поля таблицы кнопками «ClearD», «ClearA, B, C», «Cleargrid».
4. Вычислить $n = \lceil \sqrt{N} \rceil$ (операция $\lceil x \rceil$ – округление x до ближайшего целого числа):
 - Поместить в поле A значение N ($A \leftarrow N$), $B \leftarrow 2$, нажать кнопку « $D = A^{(1/B)}$ ». В поле D будет занесено число 8112686, а в заголовке таблицы отобразится сообщение «errog». Это означает, что N не является квадратом целого числа.
 - Нажать кнопку « $D \rightarrow \text{table}$ », вычислено значение $\lceil \sqrt{N} \rceil$ будет занесено в первую строку таблицы. Добавить подпись: n .

5. Вычислить $t_1 = n + 1$. Нажать кнопку «D→A», $V \leftarrow 1$, нажать «A+B», получено значение 8112687, занести его в таблицу: «D→table», подписать: t_1 .
6. Проверить $v_1 = \sqrt{t_1^2 - N}$ – целое число:
- Вычислить t_1^2 . Нажать кнопку «D→A», значение t_1 будет занесено в поле A ($A \leftarrow 8112687$), $V \leftarrow 2$, $C \leftarrow 0$, нажать кнопку «D=A^V mod C». Поскольку $C=0$, возведение в квадрат будет производится по правилам обычной, а не модулярной арифметики. В поле D будет занесено значение $t_1^2 = 65815690359969$. Занести в таблицу и подписать значение t_1^2 .
 - Вычислить $v_1^2 = t_1^2 - N$. Нажать кнопку «D→A», значение t_1^2 будет занесено в поле A ($A \leftarrow 65815690359969$), $V \leftarrow -N$ ($V \leftarrow -65815671868057$), нажать кнопку «D=A+V». Получили $v_1^2 = 18491912$. Занести в таблицу и подписать значение v_1^2 .
 - Вычислить $v_1 = \left[\sqrt{v_1^2} \right]$. Нажать кнопку «D→A», значение v_1^2 будет занесено в поле A ($A \leftarrow 18491912$), $V \leftarrow 2$, нажать кнопку «D=A^(1/V)». В поле D будет занесено число 4301, а в заголовке таблицы отобразится сообщение «error». Это означает, что v_1^2 не является квадратом целого числа.
 - Занести в таблицу и подписать значение v_1 .
7. Вычислить следующее число $t_2 = t_1 + 1 = n + 2$ и выполнить для него пункт 5. Продолжить вычисление чисел t_i и их проверку (выполнять пункт 5) до тех пор, пока не будет получено v_i^2 – квадрат целого числа. Для рассматриваемого примера получили:
- $t_2 = 8112688$, $t_2^2 = 65815706585344$, $v_2^2 = 34717287$, $v_2 = 5893$, «error»;
 - $t_3 = 8112689$, $t_3^2 = 65815722810721$, $v_3^2 = 50942664$, $v_3 = 7138$, «error»;
 - $t_4 = 8112690$, $t_4^2 = 65815739036100$, $v_4^2 = 67168043$, $v_4 = 8196$, «error»;
 - $t_5 = 8112691$, $t_5^2 = 65815755261481$, $v_5^2 = 83393424$, $v_5 = 9132$, заголовок таблицы пуст, что свидетельствует об успехе факторизации, v_5^2 – квадрат целого числа.

Получили: $t=t_5=8112691$, $v=v_5=9132$.

8. Вычислить $p=t+v$. В таблице щелкнуть правой кнопкой мыши на значении t_5 и выбрать команду **To A**, значение t_5 будет занесено в поле A ($A \leftarrow 8112691$), аналогично $B \leftarrow v_5$ ($B \leftarrow 9132$), нажать кнопку « $D=A+B$ ». $P=8121823$. Занести в таблицу и подписать значение p .
9. Вычислить $q=t-v$. В поле B добавить знак «-» перед значением ($B \leftarrow -9132$), нажать кнопку « $D=A+B$ ». $Q=8103559$. Занести в таблицу и подписать значение q .
10. Вычислить $\varphi(N)=(p-1)\cdot(q-1)$. $A \leftarrow p-1$ ($A \leftarrow 8121822$), $B \leftarrow q-1$ ($B \leftarrow 8103558$), « $D=A*B$ ». $\varphi(N)=65815655642676$. Занести в таблицу и подписать значение $\varphi(N)$.
11. Вычислить $d=e^{-1} \bmod \varphi(N)$. $A \leftarrow e$ ($A \leftarrow 7423489$), $B \leftarrow -1$, $C \leftarrow \varphi(N)$ ($C \leftarrow 65815655642676$), нажать кнопку « $D=A^B \bmod C$ ». $d=12490789985101$. Занести в таблицу и подписать значение d .
12. Произвести расшифрование значения Y : $X=Y^d \bmod N$:
 - $A \leftarrow Y$ ($A \leftarrow 64938654445479$), $B \leftarrow d$ ($B \leftarrow 12490789985101$), $C \leftarrow N$ ($C \leftarrow 65815671868057$), нажать кнопку « $D=A^B \bmod C$ ». $X=3553673249$. Занести в таблицу и подписать значение X .
 - Перевести X в текстовый вид: нажать кнопку « $D \rightarrow A$ » ($A \leftarrow X$), нажать кнопку « $D=\text{text}(A)$ ». Получен ответ: исходный текст «УРА!».Результат расшифрования – **УРА!**
Полученный открытый текст должен быть осмысленным, это является проверкой правильности дешифрования.

Практическая работа № 11. Атака на алгоритм RSA методом повторного шифрования

Описание метода криптоанализа

Пусть имеется открытый ключ (N, e) и зашифрованное им сообщение Y .

Построим последовательность: $Y_1=Y$, $Y_i=Y_{i-1}^e \pmod N$, $i>1$.
 $Y_m = Y^{e^m} \pmod N$, а так как $\text{НОД}(e, \varphi(N))=1$, то существует такое натуральное число m , что $e^m \equiv 1 \pmod{\varphi(N)}$.

Тогда $Y^{e^m-1} \equiv 1 \pmod N$, отсюда следует, что $Y^{e^m} \equiv Y \pmod N$, а поскольку $Y=X^e \pmod N$, то $Y^{e^m} = Y_{m-1}$ – решение сравнения $Y \equiv X^e \pmod N$.

Пример. Пусть имеется открытый ключ $N=84517$, $e=397$ и зашифрованное им сообщение $Y=8646$. Необходимо найти исходный текст X . Возведем Y в степень e и получим $Y_2=37043$. Будем повторять операцию до тех пор, пока не получим $Y_n=Y$. Y_{n-1} – искомое сообщение:

$$Y_3 = 5569, Y_4 = 61833, Y_5 = 83891, Y_6 = 16137, Y_7 = 8646 = Y.$$

Y_6 является решением сравнения $Y=X^e \pmod N$, а, следовательно, искомым сообщением X .

Анализ метода повторного шифрования хорошо показывает необходимость соблюдения требований на выбор p и q для обеспечения стойкости. В рассматриваемом примере $d = 82225$. Неудачный выбор параметров криптосистемы привел к тому, что атака методом повторного шифрования дала результат почти сразу, тогда как нахождение d потребовало бы на порядок больших вычислений.

Описание инструментального средства PS

Программа PS предназначена для нахождения порядка чисел в конечном поле $Z_{\varphi(N)}$ и дешифрации сообщений методом повторного шифрования.

Нахождение порядка чисел:

Для нахождения порядка числа методом повторного шифрования следует указать в поле редактирования N значение модуля, в поле e – экспоненты, а в поле Y – произвольное число, меньшее чем модуль. При нажатии кнопки **Запуск повторного шифрования** программа начнет возводить число Y в степень e (т. е. вычислять $Y_i = (Y_{i-1})^e$ до тех пор, пока Y_i не будет равен Y .

Значение $Y_{i-1} = \sqrt[e]{Y}$, а число шагов повторного шифрования является порядком числа e в конечном поле $Z_{\varphi(N)}$. При завершении работы алгоритма в поле i будет записано количество шагов повторного шифрования, а в поле X – значение Y_{i-1} .

Во время работы программы кнопка **Pause** приостанавливает работу алгоритма. Для продолжения работы следует нажать кнопку **Pause** еще раз. Флаг *Showresults* указывает, будут ли отображаться результаты промежуточных вычислений. Его отключение увеличивает скорость работы приблизительно на 20 %.

Дешифрации сообщений методом повторного шифрования:

Для дешифрации сообщения необходимо указать в поле редактирования N значение модуля, в поле e – экспоненты, в поле i – порядок экспоненты, а в область редактирования C поместить блоки зашифрованного текста (разделитель – символ конца строки). При нажатии кнопки **Дешифрация** начнется процесс вычисления исходного сообщения. Результат будет помещен в область редактирования M .

Задание. Даны значения модуля шифрования N , открытого ключа e и шифртекста Y . Известно, что Y получен шифрованием на открытом ключе (N, e) по алгоритму RSA. Используя метод повторного шифрования, расшифровать Y .

Указания к выполнению практической работы

Для выполнения практической работы рекомендуется использовать программу *PS.exe*. Варианты заданий приведены в Приложении 5.

Технология выполнения задания

1. Изучить теоретическое описание метода повторного шифрования.
2. Выбрать из Приложения 5 значения N , e и Y в соответствии с номером варианта. Выполнить криптоанализ по аналогии с рассмотренным примером.

Пример. $N=453819149023$, $e=1011817$, $Y=442511634532$.
Расшифровать Y .

3. Запустить программу *PS.exe*, ввести значение модуля в поле N , значение экспоненты – в поле e , в поле Y занести произвольное число, большее 1 и меньшее N , например, 2.
4. Определить порядок экспоненты. Установить флажок *ShowResult*. Нажать кнопку **Запуск повторного шифрования** и дож-

даться, пока не будут получены значения в полях X_i . Значение в поле i – порядок e в конечном поле $Z_{\varphi(N)}$. Получили $i=435$.

5. Дешифровать криптограмму Y . Для этого поместить значение Y в область редактирования поля C . Также должны быть заполнены поля N , e и i . Затем нажать кнопку **Дешифрация** и дождаться появления исходного текста в области редактирования M .

Будет получен ответ: открытый текст – «null».

Открытый текст должен быть осмысленным, что является проверкой правильности дешифрования.

ЗАМЕЧАНИЕ: Если шифртекст состоит из блоков, расшифрование может производиться как для каждого из блоков по отдельности (выполняется быстрее), так и для нескольких блоков сразу. В последнем случае каждый из блоков зашифрованного текста Y должен быть помещен на новую строку поля C .

Практическая работа №12. Атака на алгоритм RSA методом бесключевого чтения

Описание метода криптоанализа

Метод бесключевого чтения применим, когда пользователи используют один и тот же модуль N .

Пусть два пользователя выбрали одинаковый модуль N и разные экспоненты e_1 и e_2 . Если им будет послано некоторое циркулярное сообщение X , то криптоаналитик может получить в свое распоряжение два зашифрованных текста: $Y_1 = X^{e_1} \bmod N$, $Y_2 = X^{e_2} \bmod N$.

В этом случае, используя расширенный алгоритм Евклида, криптоаналитик может получить r и s такие, что $r \cdot e_1 + s \cdot e_2 = 1$. Зная r и s можно получить исходное сообщение: $Y_1^r \cdot Y_2^s = X^{re_1 + se_2} = X^1 = X$.

Пример. Пусть два пользователя применяют общий модуль $N=137759$, но разные взаимно простые экспоненты $e_1=191$ и $e_2=233$. Пусть также они получили шифровки $Y_1=60197$ и $Y_2=63656$, которые содержат одно и то же сообщение. Так как e_1 и e_2 – взаимно просты, всегда найдутся такие r и s , что $r \cdot e_1 + s \cdot e_2 = 1$.

Найдем r и s с помощью расширенного алгоритма Евклида ($U \leftarrow \{\max(e_1, e_2), 1, 0\}$, $V \leftarrow \{\min(e_1, e_2), 0, 1\}$, $k = u_1 \text{div} v_1$, $T = \{u_1 \bmod v_1, u_2 - k \cdot v_2, u_3 - k \cdot v_3\}$). Вычисления продолжаются, пока t_1 не станет равным 0.

Поскольку в рассматриваемом примере $e_2 > e_1$, расширенный алгоритм Евклида примет вид, представленный на рис. 68.

| аг | 1 | 2 | 3 | 4 | 5 | 6 | 7 | рез-т | строки | | | k |
|----|---|---|---|---|---|---|---|-------|--------|-----|------|---|
| | U | | | | | | | | 233 | 1 | 0 | |
| | V | U | | | | | | | 191 | 0 | 1 | |
| 1 | T | V | U | | | | | | 42 | 1 | -1 | 1 |
| 2 | | T | V | U | | | | | 23 | -4 | 5 | 4 |
| 3 | | | T | V | U | | | | 19 | 5 | -6 | 1 |
| 4 | | | | T | V | U | | | 4 | -9 | 11 | 1 |
| 5 | | | | | T | V | U | | 3 | 41 | -50 | 4 |
| 6 | | | | | | T | V | U | 1 | -50 | 61 | 1 |
| 7 | | | | | | | T | V | 0 | 191 | -233 | 3 |

Рис. 68. Пример нахождения значений r и s с помощью расширенного алгоритма Евклида

Итак, с помощью расширенного алгоритма Евклида найдено: $r=61$, $s=-50$, проведем проверку: $61 \cdot 191 - 50 \cdot 233 = 11651 - 11650 = 1$.

Тогда искомое сообщение X :

$$X = Y_1^r \cdot Y_2^s = (60197^{61} \cdot 63656^{-50}) \bmod 137759 = 1234.$$

Задание. Даны значения модуля шифрования N , экспоненты двух пользователей e_1 и e_2 , а также криптограммы Y_1 и Y_2 , направленные этим пользователям и содержащие одно и то же сообщение. Известно, что шифртексты получены с помощью алгоритма RSA. Используя метод бесключевого чтения, получить исходное сообщение X .

Указания к выполнению практической работы

Для выполнения практической работы рекомендуется использовать программу *BCalc.exe*. Варианты заданий приведены в Приложении 6.

Технология выполнения задания

1. Изучить теоретическое описание метода бесключевого чтения.
2. Выбрать из Приложения 6 значения N , e и Y в соответствии с номером варианта. Выполнить криптоанализ по аналогии с рассмотренным далее примером.

Пример. $N=357114156277$, $e_1=1025537$, $e_2=722983$, $Y_1=68639736967$, $Y_2=204258645263$. Получить исходное сообщение.

3. Запустить программу *BCalc.exe*, очистить поля и таблицу кнопками «Clear D», «Clear A, B, C», «Clear grid».
4. С помощью расширенного алгоритма Евклида найти значения r и s , удовлетворяющие уравнению $e_1 \cdot r - e_2 \cdot s = \pm 1$:
 - В поле A поместить значение e_1 (A ← 1025537), в поле B – значение e_2 (B ← 722983), нажать кнопку «A*D-B*C=N», поле D будет содержать значение r (286243), а поле C – значение s (406030).
 - Занести в таблицу и подписать значения r и s .

ЗАМЕЧАНИЕ: Если в результате вычислений r и s получено значение -1 (будет выдано соответствующее сообщение в первой строке таблицы: AD-BC=-1), то есть $e_1 \cdot r - e_2 \cdot s = -1$, то в дальнейших вычислениях изменить знак r и s противоположный.

5. Произвести дешифрование:
 - Возвести Y_1 в степень r по модулю N : A ← Y_1^r (A ← 68639736967), B ← r (B ← 286243), C ← N (357114156277), нажать «D=A^B mod C». Получили $Y_1^{r \bmod N} = 189703239311$. Занести в таблицу и подписать данный результат.
 - Аналогично предыдущему пункту возвести Y_2 в степень $-s$ по модулю N . Получили $Y_2^{-s \bmod N} = 104340380259$. Занести в таблицу и подписать данный результат.
 - Перемножить полученные значения $Y_1^{r \bmod N}$ и $Y_2^{-s \bmod N}$ по модулю N : A ← $Y_1^{r \bmod N}$ (A ← 189703239311), B ← $Y_2^{-s \bmod N}$ (B ← 104340380259), нажать «D=A*B». Нажать «D → A», занести C ← N (C ← 357114156277), нажать «D=A mod C». В поле

Получено значение $X=1381187873$. Занести в таблицу и подписать полученный результат.

- Перевести X в текстовый вид: нажать «D→A», нажать «D=text(A)». Получен ответ: «RSA!».

Результат расшифровки «RSA!».

Открытый текст должен быть осмысленным, что является проверкой правильности дешифрования.

Практическая работа №13. Атака на алгоритм RSA на основе Китайской теоремы об остатках

Описание метода криптоанализа

Метод криптоанализа на основе Китайской теоремы об остатках применим в случае, когда пользователи используют для шифрования одну и ту же экспоненту e .

Системы шифрования с открытыми ключами работают сравнительно медленно. Для повышения скорости шифрования RSA на практике могут использовать малые значения экспоненты зашифрования.

Если выбрать число e небольшим или таким, чтобы в его двоичной записи было мало единиц, то процедуру шифрования можно значительно ускорить.

Например, выбрав $e=3$ (при этом e – взаимно простое с $(p-1) \cdot (q-1)$, то есть ни $p-1$, ни $q-1$ не должны делиться на 3), можно реализовать шифрование с помощью одного возведения в квадрат по модулю N и одного перемножения. Выбрав в качестве значения e число 65 537, двоичная запись которого 10000000000000001 содержит только две единицы, можно реализовать шифрование с помощью 16 возведений в квадрат по модулю N и одного перемножения (поскольку $65\,537=2^{16}+1$).

Если экспонента e выбирается случайно, то реализация шифрования по алгоритму RSA потребует s возведений в квадрат по модулю N и в среднем $s/2$ умножений по тому же модулю, где s – длина двоичной записи числа N .

Однако выбор малых значений экспоненты e может привести к негативным последствиям. Например, у нескольких коррес-

посланных могут оказаться одинаковые экспоненты e . В этом случае применима атака на RSA на основе Китайской теоремы об остатках.

Пусть, например, три корреспондента имеют попарно взаимно простые модули N_1, N_2, N_3 и общую экспоненту $e=3$. Если им послано одно и то же сообщение X , то криптоаналитик может получить в свое распоряжение три шифрованных текста $Y_1, Y_2, Y_3, Y_i = X^3 \pmod{N_i}, i=1,2,3$. Далее он может найти решение системы сравнений, лежащее в интервале от 0 до $N_1 \cdot N_2 \cdot N_3$: $0 < Y < N_1 \cdot N_2 \cdot N_3$:

$$\begin{cases} Y \equiv Y_1 \pmod{N_1} \\ Y \equiv Y_2 \pmod{N_2} \\ Y \equiv Y_3 \pmod{N_3} \end{cases}$$

Согласно Китайской теореме об остатках, такое решение единственно, а так как $X^3 < N_1 \cdot N_2 \cdot N_3$, то $Y = X^3$. Значение X можно найти, вычислив кубический корень $X = \sqrt[3]{Y}$.

Китайская теорема об остатках. Пусть m_1, m_2, \dots, m_r – попарно взаимно простые, и числа a_1, a_2, \dots, a_r – произвольные целые. Тогда существует целое число x_0 : $0 \leq x_0 < m_1 \cdot m_2 \cdot \dots \cdot m_r$ и $x_0 \equiv a_1 \pmod{m_1}, x_0 \equiv a_2 \pmod{m_2}, \dots, x_0 \equiv a_r \pmod{m_r}$.

$$\text{При этом } x_0 = \sum_{i=1}^r a_i \cdot M_i \cdot N_i \pmod{m_1 \cdot m_2 \cdot \dots \cdot m_r},$$

$$\text{где } M_i = m_1 \cdot \dots \cdot m_{i-1} \cdot m_{i+1} \cdot \dots \cdot m_r \text{ и } N_i = M_i^{-1} \pmod{m_i}.$$

Для реализации атаки на алгоритм RSA с помощью китайской теоремы об остатках необходимо, чтобы один и тот же открытый X текст был послан абонентам с разными (взаимно простыми) значениями N_i и одинаковым e (шифртексты Y_i , содержащие X , будут различны).

Пример. Пусть три пользователя имеют разные модули $N_1=26549, N_2=45901, N_3=25351$, но используют одинаковую экспоненту $e=3$. Всем пользователям было послано одинаковое сообщение X , причем пользователи получили криптограммы $Y_1=5366, Y_2=814, Y_3=4454$. Требуется определить X .

Найдем $M_0 = N_1 \cdot N_2 \cdot N_3 = 30893378827799$. Далее находим:

$$m_1 = N_2 \cdot N_3 = 1163636251$$

$$m_2 = N_1 \cdot N_3 = 673043699$$

$$m_3 = N_1 \cdot N_2 = 1218625649$$

$$n_1 = m_1^{-1} \bmod N_1 = 13533$$

$$n_2 = m_2^{-1} \bmod N_2 = 27930$$

$$n_3 = m_3^{-1} \bmod N_3 = 22354$$

$$\begin{aligned} \text{Тогда } S &= Y_1 \cdot n_1 \cdot m_1 + Y_2 \cdot n_2 \cdot m_2 + Y_3 \cdot n_3 \cdot m_3 = 84501028038745578 \\ &+ 15301661957638980 + 121332116653000684 = \\ &= 221134806649385242 \end{aligned}$$

$$\begin{aligned} S \bmod M_0 &= 221134806649385242 \bmod 30893378827799 = \\ &= 1000000000 \end{aligned}$$

$X = (S \bmod M_0)^{1/3} = 1000$ – получили исходное сообщение, отправленное пользователям.

Задание. Даны значения экспоненты $e=3$, модулей шифрования трех пользователей N_1, N_2, N_3 , а также направленные этим пользователям шифртексты Y_1, Y_2 и Y_3 , содержащие одно и то же сообщение X . Известно, что шифртексты получены с помощью алгоритма RSA. Используя метод криптоанализа, основанный на китайской теореме об остатках, получить исходное сообщение X .

Указания к выполнению практической работы

Для выполнения практической работы рекомендуется использовать программу *BCalc.exe*. Варианты заданий приведены в Приложении 7.

Технология выполнения задания

1. Изучить теоретическое описание метода криптоанализа алгоритма RSA на основе китайской теоремы об остатках.
2. Выбрать из Приложения 7 значения модулей N и шифртекстов Y в соответствии с номером варианта; значение $e=3$.
3. Выполнить криптоанализ на основе Китайской теоремы об остатках по аналогии с рассмотренным далее примером.

Пример. $e=3$, $N_1=363542076673$, $N_2=728740902979$, $N_3=522993716719$, $Y_1=246562834516$, $Y_2=291375746601$, $Y_3=222724269731$. Получить исходное сообщение.

3. Запустить программу *BCalc.exe*, очистить поля и таблицу кнопками «Clear D», «Clear A, B, C», «Clear grid».

4. Вычислить значения $M_0=N_1 \cdot N_2 \cdot N_3$, $m_1=N_2 \cdot N_3$, $m_2=N_1 \cdot N_3$, $m_3=N_1 \cdot N_2$:
- Вычислить m_1 : $A \leftarrow N_2$ ($A \leftarrow 728740902979$), $B \leftarrow N_3$ ($B \leftarrow 522993716719$), нажать «D=A*B», получен результат $m_1=381126913374147389205901$. Занести в таблицу и подписать значение m_1 (кнопка «D→table»).
 - Вычислить M_0 : нажать «D→A», $B \leftarrow N_1$ ($B \leftarrow 363542076673$), нажать «D=A*B», получен результат: $M_0=138555669564008119302694433926047373$. Занести в таблицу и подписать значение M_0 .
 - Вычислить m_2 : $A \leftarrow N_3$ ($A \leftarrow 522993716719$), в ячейке B уже находится значение N_1 , нажать «D=A*B», получен результат: $m_2=190130221862955939995887$. Занести в таблицу и подписать значение m_2 .
 - Вычислить m_3 : $A \leftarrow N_2$ ($A \leftarrow 728740902979$), в ячейке B уже находится значение N_1 , нажать «D=A*B», получен результат: $m_3=264927981225542872108867$. Занести в таблицу и подписать значение m_3 .
5. Вычислить значения $n_1, n_2, n_3; n_i = m_i^{-1} \bmod N_i$:
- $A \leftarrow m_1$ ($A \leftarrow 381126913374147389205901$), $B \leftarrow -1$, $C \leftarrow N_1$ ($C \leftarrow 363542076673$), нажать «D=A^B mod C». Получен результат: $n_1=287993142707$. Занести в таблицу и подписать значение n_1 .
 - Аналогичным образом вычислить $n_2=106614970676$, $n_3=32171022265$. Занести в таблицу и подписать значения n_2 и n_3 .
6. Вычислить $S=Y_1 \cdot m_1 \cdot n_1 + Y_2 \cdot m_2 \cdot n_2 + Y_3 \cdot m_3 \cdot n_3$:
- Вычислить $s_1=Y_1 \cdot m_1 \cdot n_1$: $A \leftarrow Y_1$ ($A \leftarrow 246562834516$), $B \leftarrow m_1$ ($B \leftarrow 381126913374147389205901$), нажать «D=A*B», поле D содержит значение 93971732071863769917368012913678916ю Нажать «D→A», $B \leftarrow n_1$ ($B \leftarrow 287993142707$), нажать «D=A*B». $s_1=27063214444996231469275579740886150927965065612$. Занести в таблицу и подписать значение s_1 .
 - Аналогичным образом вычислить значения $s_2=5906398513461782189722213787020263988701928812$,

$s_3=1898279837945324293183813856161274170345359905$. Занести в таблицу и подписать значения s_2 и s_3 .

- Вычислить значение $S=s_1+s_2+s_3=34867892796403337952181607384067689087012354329$. Занести в таблицу и подписать значение S .
- 7. Вычислить $S \bmod M_0$: $A \leftarrow S$, $C \leftarrow M_0$, нажать « $D=A \bmod C$ », результат: $S \bmod M_0=67675640795094503562173784000$. Занести в таблицу и подписать полученное значение.
- 8. Вычислить корень степени e из значения $S \bmod M_0$: $(S \bmod M_0)^{1/e}$: нажать « $D \rightarrow A$ », значение $S \bmod M_0$ будет занесено в поле A ; $B \leftarrow e$ ($B \leftarrow 3$), нажать « $D=A^{(1/B)}$ ». Получено значение $X=4075154940$. Занести в таблицу и подписать числовое значение X .
- 9. Перевести значение X в текстовый вид: нажать « $D \rightarrow A$ » ($A \leftarrow X$), нажать « $D=\text{text}(A)$ ». Получен ответ: «тень»
Результат дешифрования: «тень».
Открытый текст должен быть осмысленным, что является проверкой правильности дешифрования.

ТЕМА 5. КРИПТОГРАФИЧЕСКИЕ ХЭШ-ФУНКЦИИ

Хэш-функцией называется любая односторонняя функция $y = h(x_1x_2\dots x_n)$, которая строке символов (сообщению) $x = x_1x_2\dots x_n$ произвольной длины n ставит в соответствие целое число фиксированной длины (хэш-код).

Хэш-код выполняет ту же функцию, что и контрольная сумма, то есть служит для проверки и подтверждения целостности передаваемого сообщения. Бесключевые хэш-функции обычно используются в технологии цифровой подписи.

В отличие от обычной контрольной суммы, криптографически сильная хэш-функция должна быть односторонней. То есть, для любого сообщения его хэш-код может быть легко вычислен, однако зная хэш-код, невозможно определить исходную строку (сообщение), для которой он был получен. Кроме того даже незначительное изменение исходного документа должно приводить к изменению хэша.

Основные требования, предъявляемые к криптографически сильным хэш-функциям (хэш-значение вычисляется для строки x):

- Для любого заданного x вычисление $h(x)$ выполняться относительно быстро;
- Для известного значения y практически невозможно найти x , такое, что $y = h(x)$;
- Для известного значения x практически невозможно найти другое сообщение x' , $x' \neq x$, такое, что их значения хэш-функции совпадают $h(x') = h(x)$;
- Практически невозможно найти пару каких-либо различных сообщений x и x' , $x' \neq x$, для которых значения хэш-функции совпадают $h(x') = h(x)$.

Существование сообщений с одинаковыми хэш-значениями называется *коллизией хэш-функции*. Возможность нахождения коллизий хэш-функции позволяет подделывать электронную подпись и влечет ненадежность системы аутентификации источников сообщений.

На сегодняшний день действующим российским стандартом являются две хэш-функции, описанные ГОСТ Р 34.11–2012 «Информационная технология. Криптографическая защита информации. Функция хэширования». Американские стандарты описывают два семейства хэш-функций: SHA-2 и SHA-3 (Кескак) с разными длинами хэш-кода. Хэш-функция SHA-1 не рекомендована к использованию, хотя еще достаточно распространена на практике. Для другой известной хэш-функции MD5 на сегодняшний день найдены коллизии и предложен осуществимый на практике алгоритм подделки подписей. Поэтому использовать хэш-функцию MD5 и предшествующие ей функции семейства MD не представляется разумным.

Практическая работа №14. Применение криптографических хэш-функций.

Задание. Исследовать использование алгоритмов хэш-функции в технологии ЭЦП.

Технология выполнения задания

1. Изучить теоретическое описание хэш-функций. Привести примеры криптографически сильных и слабых бесключевых хэш-функций. Какие бесключевые хэш-функции на сегодняшний день не рекомендованы к применению?
2. Воспользовавшись браузером MSInternetExplorer, просмотреть свойства доступных сертификатов промежуточных и доверенных удостоверяющих центров с помощью команды **Сервис/Свойства браузера/Содержание/Сертификаты**. Выбрав название сертификата на вкладке *Доверенные корневые центры сертификации* или *Промежуточные центры сертификации* посмотреть отображаемое в окне *назначение сертификата* и его свойства (**Просмотр/Состав/алгоритм хэширования подписи**).
3. Составить список используемых хэш-функций, обратив внимание на алгоритмы, используемые корневыми сертификатами *Class 3 Public Primary Certification* и *Copyright (c) 1997 Microsoft Corp.* Отвечают ли указанные сертификаты современным требованиям безопасности и почему?
4. Посмотреть сертификаты web-серверов, обращение к которым идет по защищенному протоколу HTTPS, например,
 - <https://мвд.рф/>
 - <https://www.nalog.ru/rn78/>
 - <https://www.gosuslugi.ru/>

Для просмотра сертификата следует открыть сайт с помощью браузера InternetExplorer, а затем щелкнуть на значке замка в правой части адресной строки или выполнить команду **Вид/Отчет о безопасности**, в окне команды нажать **Просмотреть сертификат**, исследовать используемый алгоритм хэширования (вкладка *Состав*) и путь сертификации на одноименной вкладке.

5. Составить список бесключевых хэш-функций, используя стандарты ГОСТ Р 34.11–2012, ISO/IEC 10118 (части 1-4), FIPS PUB 180, FIPS PUB 202 и информационный поиск в сети Интернет, с указанием размера выхода (хэш-кода), особенностей алгоритма и рекомендаций к использованию.

Какие функции из списка встречались чаще всего при просмотре сертификатов?

6. Вычислить значения различных бесключевых хэш-функций, используя онлайн-калькуляторы, например,
 - <http://foxtools.ru/Hash>
 - https://www.tools4noobs.com/online_tools/hash/
 - <http://www.convertstring.com/ru/Hash>
 - <http://hash.online-convert.com/ru>
7. Исследовать изменение хэш-кода при незначительном изменении хэшируемого текста (изменение 1 символа).
8. Показать отчет с результатами выполнения практической работы преподавателю.

ТЕМА 6. ЦИФРОВЫЕ ПОДПИСИ

Появление криптографии с открытым ключом позволило решать задачи, которые ранее считались неразрешимыми. К таким задачам относится использование цифрового аналога собственноручной подписи абонента – *электронной цифровой подписи (ЭЦП)*.

Электронная подпись обеспечивает те же свойства, что и собственноручная подпись автора сообщения, то есть гарантирует выполнение следующих свойств:

- Подлинность подписи можно проверить;
- Подпись нельзя подделать (данную подпись может поставить только ее обладатель и никто другой);
- Подпись является неотъемлемой частью документа и не может быть перенесена в другой документ.
- Подписанный документ не подлежит никаким изменениям.
- Автор подписи не может от нее отказаться.

Цифровая подпись для сообщения является числом, зависящим от самого сообщения и от секретного ключа, известного только подписывающему субъекту. При этом подпись должна легко проверяться без знания секретного ключа.

Наиболее распространена технология ЭЦП, основанная на совместном применении алгоритмов *хеширования* и *шифрования с открытым ключом* (RSA или Эль-Гамала).

Для подтверждения авторства, шифрование проводится личным ключом абонента, расшифровку (и, таким образом, проверку подлинности автора) может произвести любой пользователь открытым ключом абонента.

Как правило, шифруется не само сообщение, а его «дайджест» – значение фиксированной длины, зависящее от подписываемого сообщения. Для формирования дайджеста используется бесключевая хеш-функция, при этом именно она во многом определяет надежность всей системы цифровой подписи.

Практическая работа №15. Изучение электронной цифровой подписи Эль-Гамала

Рассмотрим алгоритм подписи Эль-Гамала, который лежит в основе большинства стандартов ЭЦП.

Сначала выбираются параметры системы Эль-Гамала, общие для всех абонентов группы: простое число p и число g , $1 < g < p-1$. Для обеспечения стойкости криптосистемы числа p и g должны быть выбраны следующим образом: $p = 2q + 1$, q – большое простое число, p – простое, $g^q \bmod p \neq 1$.

Затем, каждый абонент группы выбирает свой личный ключ – случайное число x , $1 < x < p-1$, которое держится в секрете. Затем абонент вычисляет свой открытый ключ y по формуле: $y = g^x \bmod p$. Затем открытые ключи абонентов публикуются, чтобы обеспечить возможность проверки подписей.

Алгоритм формирования подписи выглядит следующим образом:

1. Пусть M – подписываемое сообщение. Отправитель вычисляет хэш-код подписываемого сообщения $h = h(M)$. Значение h должно удовлетворять неравенству $0 < h < p$ (это достигается выбором соответствующей хэш-функции).
2. Далее отправитель выбирает случайное число k , $0 < k < p-1$, взаимно простое с $p-1$: $\text{НОД}(k, p-1) = 1$, и вычисляет числа:
$$r = g^k \bmod p,$$

$$u=(h-xr)\bmod(p-1),$$

$$s=k^{-1}u\bmod(p-1),$$

k^{-1} – число, обратное k по модулю $p-1$; k^{-1} существует, так как k и $p-1$ – взаимно просты.

Для каждого подписываемого сообщения выбирается свое случайное число k .

3. Подпись (r, s) добавляется к сообщению, и тройка (M, r, s) передается получателю.

Проверка подписи осуществляется следующим образом:

4. Получатель заново вычисляет хэш-код $h(M)$ присланного сообщения M и проверяет подпись, используя равенство:

$$y^r r^s \equiv g^h \pmod{p}.$$

Если это равенство выполняется, то подпись признается действительной. В противном случае (равенство не выполняется) подпись признается фальшивой, что может означать как подмену авторства, так и подмену самого сообщения.

Отметим, что число k выбирается заново для каждого нового подписания сообщения и должно держаться в секрете.

Используемые на практике алгоритмы хэширования достаточно сложны, поэтому будем использовать учебный алгоритм формирования хэш-значений $h(M)$. Будем считать, что сообщение M представлено в числовом виде, $M_i, i=1, \dots, n$ – десятичные цифры, представляющие сообщение M .

Учебный алгоритм хеширования:

1. Выбирается число h_0 – вектор инициализации. Значение h_0 вычисляется как длина сообщения в символах.
2. Для каждого символа сообщения вычисляется значение $h_i = (M_i + h_{i-1})^2 \bmod (p-1), i=1, \dots, n$.
3. Значение h_n , вычисленное для последнего символа, увеличивается на 1, что и является хэш-кодом сообщения: $h(M) = h_n + 1$.

Следует отметить, что вычисленное по этому алгоритму значение хэша зависит от всех символов подписываемого сообщения M .

Задание

Выполнить вычисление и проверку подписи сообщения по алгоритму Эль-Гамала.

Технология выполнения задания

Задание А. Известны значения общих параметров криптосистемы Эль-Гамала: $p=59$, $g=14$, личный ключ абонента x и случайное число k , выбранное для формирования подписи сообщения. Для заданного в числовом представлении сообщения M сгенерировать цифровую электронную подпись по алгоритму Эль-Гамала. Хэш-код сообщения вычисляется с помощью учебного алгоритма, начальное значение h_0 принимается равным числу десятичных разрядов в числовом представлении M .

Технология выполнения задания

1. Выбрать из таблицы 34 значения x и k и подписываемый текст M в соответствии с номером варианта.

Сформировать цифровую подпись для сообщения M по аналогии с рассмотренным далее примером.

Пример. Общими параметрами системы цифровой подписи Эль-Гамала являются значения $p=59$, $g=14$. Абонент выбрал личный ключ $x=34$. Он хочет передать сообщение $M=1111$, для которого выбрал случайное значение $k=43$.

Таблица 34

Варианты задания

| Вариант | x | k | M |
|----------------|-----|-----|------|
| 1 | 5 | 31 | 5211 |
| 2 | 12 | 47 | 3825 |
| 3 | 28 | 7 | 2412 |
| 4 | 7 | 21 | 1234 |
| 5 | 8 | 33 | 9461 |
| 6 | 17 | 11 | 7231 |
| 7 | 22 | 9 | 5184 |
| 8 | 10 | 15 | 4251 |
| 9 | 4 | 41 | 4629 |
| 10 | 19 | 35 | 3122 |

| Вариант | x | k | M |
|---------|-----|-----|------|
| 11 | 33 | 39 | 6236 |
| 12 | 25 | 17 | 2971 |
| 13 | 55 | 19 | 3616 |
| 14 | 6 | 27 | 7222 |
| 15 | 21 | 5 | 3845 |
| 16 | 13 | 23 | 1197 |
| 17 | 11 | 55 | 4225 |
| 18 | 48 | 13 | 3163 |
| 19 | 37 | 25 | 2617 |
| 20 | 9 | 15 | 1831 |
| 21 | 15 | 7 | 2528 |
| 22 | 52 | 45 | 4911 |
| 23 | 24 | 3 | 5269 |
| 24 | 18 | 37 | 2120 |
| 25 | 44 | 51 | 1712 |

2. Вычислить хеш-значение h сообщения M по итерационной формуле: $h_i = (M_i + h_{i-1})^2 \bmod (p-1)$, $i=1, \dots, n$, $h(M) = h_n + 1$, где n – число десятичных знаков в числовом представлении сообщения M , M_i – i -тый знак, $h_0 = n$:
- Для рассматриваемого примера $h_0 = 4$, $p = 59$, $M_i = 1$, $i = 1, \dots, 4$.
 - Вычисления можно производить в табличном процессоре MS Excel. Получение h_0 производится текстовой функцией ДЛСТР(), i -того символа сообщения M – текстовой функцией ПСТР(), вычисление h_i – функцией ОСТАТ() (рис. 69).

| | A | B | C | D | E |
|---|----|--|---|---|----|
| 1 | M | 1111 | | p | 59 |
| 2 | | | | | |
| 3 | h0 | =ДЛСТР(B1) | | | |
| 4 | h1 | =ОСТАТ((ПСТР(\$B\$1;1;1)+B3)^2;\$E\$1-1) | | | |
| 5 | h2 | =ОСТАТ((ПСТР(\$B\$1;2;1)+B4)^2;\$E\$1-1) | | | |
| 6 | h3 | =ОСТАТ((ПСТР(\$B\$1;3;1)+B5)^2;\$E\$1-1) | | | |
| 7 | h4 | =ОСТАТ((ПСТР(\$B\$1;4;1)+B6)^2;\$E\$1-1) | | | |
| 8 | h | =B7+1 | | | |

Рис. 69. Пример расчета хэш-значения

В рассматриваемом примере получили $h(M) = 23$ (рис.70).

| | A | B | C | D | E |
|---|----|------|---|---|----|
| 1 | M | 1111 | | p | 59 |
| 2 | | | | | |
| 3 | h0 | 4 | | | |
| 4 | h1 | 25 | | | |
| 5 | h2 | 38 | | | |
| 6 | h3 | 13 | | | |
| 7 | h4 | 22 | | | |
| 8 | h | 23 | | | |

Рис. 70. Результаты расчета хэш-значения

3. Вычислить число r по формуле $r = g^k \bmod p$. Для вычислений можно использовать табличный процессор MS Excel, реализовав в нем алгоритм быстрого возведения в степень по модулю (см. практическую работу №9. Изучение шифра RSA), либо использовать линейный относительно показателя степени итерационный алгоритм (так как значения k невелики):

- На новом листе в ячейку **A1** внести номер шага: 1, в ячейку **B1** – значение g (для рассматриваемого примера $g = 14$).
- В ячейку **A2** внести номер шага: 2, в ячейку **B2** – итерационную формулу для вычисления остатка от деления по модулю p , формула примет вид: **=ОСТАТ(14*B1;59)**.
- Выделить диапазон ячеек **A1:A2** и растянуть вниз, заполнив ячейки столбца **A** рядом данных до значения k включительно (в примере $k = 43$).
- Выделить ячейку **B2** и растянуть вниз (скопировать ее) в диапазон ячеек столбца **B** строки с номером k включительно (в примере – до ячейки **B43**). Результат вычисления находится в последней заполненной ячейке столбца **B**. Подписать значение r .

Для рассматриваемого примера получили:

$$r = 14^{43} \bmod 59 = 32.$$

4. Вычислить число u по формуле $u = (h - xr) \bmod (p - 1)$, для вычислений в среде табличного процессора MS Excel используется функция **ОСТАТ()**.

В примере получили: $u = (23 - 34 \cdot 32) \bmod (59 - 1) = 37$.

5. Рассчитать значение k^{-1} по модулю $p-1$ с помощью расширенного алгоритма Евклида (описание и пример реализации алгоритма приведены в практической работе №9. Изучение шифра RSA):
- Сформировать первую строку расширенного алгоритма Евклида: на новом листе в ячейку **A1** занести значение $p-1 = 58$, в ячейку **B1** – 1, в ячейку **C1** – 0.
 - Сформировать вторую строку расширенного алгоритма Евклида: в ячейку **A2** занести значение k (в примере – 43), в ячейку **B2** – 0, **C2** – 1.
 - Сформировать третью строку: в ячейку **D3** занести значение, вычисленное по формуле: $=\text{ЧАСТНОЕ}(A1,A2)$, в ячейку **A3** занести формулу: $=\text{ОСТАТ}(A1,A2)$, в ячейку **B3** – формулу $=B1-B2*D3$, в ячейку **C3** – формулу $=C1-C2*D3$ (рис. 71).

| | A | B | C | D |
|---|------------------------|-------------|-------------|--------------------------|
| 1 | 58 | 1 | 0 | |
| 2 | 43 | 0 | 1 | |
| 3 | $=\text{ОСТАТ}(A1;A2)$ | $=B1-B2*D3$ | $=C1-C2*D3$ | $=\text{ЧАСТНОЕ}(A1;A2)$ |
| 4 | | | | |

Рис. 71. Пример реализации расширенного алгоритма Евклида

- Выделить диапазон ячеек **A3:D3** и растянуть (скопировать) на несколько строк вниз, пока в столбце **A** не будет получено нулевое значение (рис.72).

| | A | B | C | D |
|---|---------|---------|---------|---------|
| 1 | 58 | 1 | 0 | |
| 2 | 43 | 0 | 1 | |
| 3 | 15 | 1 | -1 | 1 |
| 4 | 13 | -2 | 3 | 2 |
| 5 | 2 | 3 | -4 | 1 |
| 6 | 1 | -20 | 27 | 6 |
| 7 | 0 | 43 | -58 | 2 |
| 8 | #ДЕЛ/0! | #ДЕЛ/0! | #ДЕЛ/0! | #ДЕЛ/0! |

Рис. 72. Результаты вычислений k^{-1} по расширенному алгоритму Евклида

- Значение k^{-1} находится в предпоследней строке в столбце **C**, то есть, в строке, предшествующей строке, начинающейся с 0. Строка с результатом должна начинаться с 1.

Для рассматриваемого примера значение k^{-1} содержится в ячейке **C6**, $k^{-1}=27$.

ЗАМЕЧАНИЕ: Если получено отрицательное значение k^{-1} , следует взять его по модулю $p-1$. Для этого можно использовать функцию **ОСТАТ()** или просто сложить значение k^{-1} со значением $p-1$.

6. Вычислить число s по формуле $s=k^{-1}u \bmod (p-1)$. Для вычисления можно воспользоваться функцией **ОСТАТ()**. Подписать полученное значение s .

В примере $s=27 \cdot 37 \bmod (59-1)=13$.

7. Сформировать цифровую подпись сообщения M – пару чисел (r, s) .

Для рассматриваемого примера получили цифровую подпись сообщения M : (32, 13).

Задание В. Проверить правильность вычисления сгенерированной цифровой подписи.

8. Для проверки правильности вычисления полученной цифровой подписи следует произвести ее проверку с помощью открытого ключа абонента и убедиться, что подпись подлинная. Сформируем открытый ключ y абонента по формуле $y=g^x \bmod p$:

- Для вычисления значения y в среде MS Excel может быть использован алгоритм быстрого возведения в степень по модулю или линейный итерационный алгоритм, описанный в пункте 3.

Для рассматриваемого примера получаем $y=14^{34} \bmod 59=20$.

9. Вычислить и подписать значения $y^r \bmod p$ и $r^s \bmod p$, а затем их произведение по модулю p .

В примере получаем:

$$y^r \bmod p = 20^{32} \bmod 59 = 35,$$

$$r^s \bmod p = 32^{13} \bmod 59 = 10,$$

$$y^r \cdot r^s \bmod p = 35 \cdot 10 \bmod 59 = 55.$$

10. Вычислить и подписать значение $g^h \bmod p$, значение h было получено в пункте 2.

В примере $g^h \bmod p = 14^{23} \bmod 59 = 55$.

11. Проверить выполнение равенства $u^r \cdot r^s \bmod p = g^h \bmod p$: если равенство выполняется – можно сделать вывод, что подпись подлинная, значит она была вычислена правильно (при условии правильности значения $h(M)$).

В примере получили $55 = 55$, равенство выполняется, значит подпись сгенерирована правильно.

Задание С. Известны значения общих параметров системы Эль-Гамала: $p=59$, $g=14$ и открытый ключ абонента u . От абонента получено сообщение M (в числовом представлении), снабженное цифровой подписью Эль-Гамала вида (r,s) . Проверить подлинность цифровой подписи. Хэш-значение сообщения вычисляется с помощью учебного алгоритма, начальное значение h_0 принимается равным числу десятичных разрядов в числовом представлении M .

12. Выбрать из таблицы 35 открытый ключ отправителя u , текст M и значение цифровой подписи (r,s) в соответствии с номером варианта.

Таблица 35

Варианты задания

| Вариант | Открытый ключ отправителя u | Полученное сообщение M | Цифровая подпись | |
|---------|-------------------------------|--------------------------|------------------|-----|
| | | | r | s |
| 1 | 9 | 8723 | 23 | 43 |
| 2 | 25 | 3361 | 37 | 29 |
| 3 | 7 | 8722 | 11 | 34 |
| 4 | 35 | 7005 | 34 | 47 |
| 5 | 6 | 9054 | 39 | 56 |
| 6 | 37 | 2401 | 24 | 48 |
| 7 | 24 | 5524 | 33 | 9 |
| 8 | 48 | 4382 | 47 | 40 |
| 9 | 50 | 6525 | 44 | 31 |
| 10 | 2 | 7993 | 50 | 14 |
| 11 | 39 | 7865 | 40 | 49 |
| 12 | 12 | 3217 | 10 | 6 |
| 13 | 3 | 8593 | 30 | 42 |
| 14 | 54 | 6620 | 2 | 39 |

| | | | | |
|-----------|----|------|----|----|
| 15 | 43 | 1229 | 54 | 32 |
| 16 | 15 | 1333 | 31 | 9 |
| 17 | 10 | 2301 | 42 | 29 |
| 18 | 52 | 6543 | 13 | 48 |
| 19 | 21 | 9922 | 33 | 8 |
| 20 | 4 | 2211 | 18 | 11 |
| 21 | 42 | 1122 | 43 | 54 |
| 22 | 46 | 1211 | 24 | 12 |
| 23 | 49 | 5421 | 52 | 25 |
| 24 | 23 | 5241 | 55 | 16 |
| 25 | 33 | 6540 | 6 | 26 |

Проверить подлинность цифровой подписи для полученного сообщения M по аналогии с рассмотренным далее примером.

Пример. Получено сообщение $M=7569$ с подписью $(32,46)$, $r=32$; $s=46$. Известен открытый ключ отправителя $y=20$. Проверить подлинность подписи сообщения.

13. Вычислить и подписать значения $y^r \bmod p$ и $r^s \bmod p$, а затем их произведение по модулю p :

- Вычисления проводить на новом листе книги MS Excel. Для вычисления значения степени по модулю в среде MS Excel может быть использован быстрый алгоритм возведения в степень по модулю или линейный итерационный алгоритм, описанный в пункте 3.

В рассматриваемом примере получаем:

$$y^r \bmod p = 20^{32} \bmod 59 = 35,$$

$$r^s \bmod p = 32^{46} \bmod 59 = 15,$$

$$y^r \cdot r^s \bmod p = 35 \cdot 15 \bmod 59 = 53.$$

14. Для полученного сообщения вычислить хэш-код $h(M)$ аналогично пункту 2.

Результаты вычислений для рассматриваемого примера приведены на рис. 73. Получили: $h=6$.

| | A | B | C | D | E |
|---|----|------|---|---|----|
| 1 | M | 7565 | | p | 59 |
| 2 | | | | | |
| 3 | h0 | 4 | | | |
| 4 | h1 | 5 | | | |
| 5 | h2 | 42 | | | |
| 6 | h3 | 42 | | | |
| 7 | h4 | 5 | | | |
| 8 | h | 6 | | | |

Рис. 73. Пример вычисления хэи-значения сообщения

15. Вычислить значение $g^h \bmod p$.
В примере $g^h \bmod p = 14^6 \bmod 59 = 15$.
16. Проверить выполнение равенства $r^r \cdot r^s \bmod p = g^h \bmod p$, если равенство выполняется – можно сделать заключение, что подпись подлинная, в противном случае – подпись фальшивая.
В примере получили $53 \neq 15$, равенство не выполнено, значит, подпись фальшивая.
17. Продемонстрировать результаты выполнения практической работы преподавателю.

ТЕМА 7. КРИПТОГРАФИЯ НА ЭЛЛИПТИЧЕСКИХ КРИВЫХ

В последние время все большее распространение в криптографии находит одна из областей теории чисел и алгебраической геометрии – теория эллиптических кривых над конечными полями.

В общем случае уравнение эллиптической кривой E имеет вид:

$$y^2 + axy + by = x^3 + cx^2 + dx + e.$$

Пусть K – поле: либо поле R вещественных чисел, либо поле Q рациональных чисел, либо поле C комплексных чисел, либо конечное поле F_q из $q=p^r$ элементов, p – простое.

Существуют поля, содержащие элементы $a \neq 0$ такие, что $p \cdot a = 0$ при целом p , отличном от нуля. Так, в конечном поле, состоящим из двух элементов 0 и 1 имеем: $2 \cdot 1 = 1 + 1 = 0$.

Характеристикой поля K называется наименьшее натуральное число p , такое, что $p \cdot 1 = 0$, где 1 и 0 – единичный и нулевой элементы K соответственно.

Если такого числа не существует, то характеристика поля по определению равна 0 (например, характеристики полей R вещественных, Q рациональных и C комплексных чисел с бесконечным числом элементов равны 0).

Пусть K – поле характеристики, отличной от 2 и 3 , и $x^3 + ax + b$ – кубический многочлен без кратных корней, $a, b \in K$. *Эллиптическая кривая над K* – это множество точек (x, y) , $x, y \in K$, удовлетворяющих уравнению

$$y^2 = x^3 + ax + b,$$

вместе с единственным элементом, обозначаемым O и называемым *точкой в бесконечности*.

Условие отсутствия кратных корней у кубических многочленов в правой части приведенного выше уравнения кривой эквивалентно требованию, чтобы все точки кривой были неособенными.

Рассмотрим теперь поле вещественных чисел $K = R$, тогда эллиптическая кривая E – обычная плоская кривая с добавлением еще одной точки в бесконечности O ; E имеет вид $y^2 = x^3 + ax + b$.

Пусть E – эллиптическая кривая над вещественными числами, и пусть P и Q – две точки на эллиптической кривой E . Тогда точки $-P$ и $P+Q$ определены по следующим правилам:

1. Точка O – тождественный элемент по сложению (нулевой элемент) группы точек кривой.

Так, $O = -O$ для любой точки P : $P + O = P$.

Далее предполагается, что ни P , ни Q не являются точками в бесконечности.

2. Точки P и $-P$ имеют одинаковые x -координаты, а их y -координаты различаются только знаком, т.е. $-(x, y) = (x, -y)$. Из уравнения кривой следует, что $(x, -y)$ – также точка на E .

3. Если P и Q имеют различные x -координаты, то прямая, проходящая через эти точки, имеет с E еще только одну точку пересечения R' , за исключением двух случаев:

- когда прямая оказывается касательной в точке P , тогда полагают $R'=P$,
- когда прямая оказывается касательной в точке Q , тогда полагают $R'=Q$.

Сумма двух точек эллиптической кривой $P+Q$ определена как точка $R = -R'$, т.е. как отражение от оси x третьей точки пересечения кривой проведенной через эти точки прямой. Геометрическое построение, дающее $P+Q$, приведено на рис. 74.

4. Если $Q = -P$ (т. е. x -координата у точки Q та же, что и у P , а y -координата отличается лишь знаком), то сумму этих двух точек полагают равной «точке в бесконечности»: $P+Q = O$ (это является следствием правила 1, то есть $P-P = O$).

В графической интерпретации точку в бесконечности O следует представлять расположенной на оси y в предельном направлении, определяемом все более «крутыми» касательными к кривой. Она является «третьей точкой пересечения» с кривой E для любой вертикальной прямой: такая прямая пересекается с кривой в точках вида (x,y) , $(x,-y)$ и в точке O .

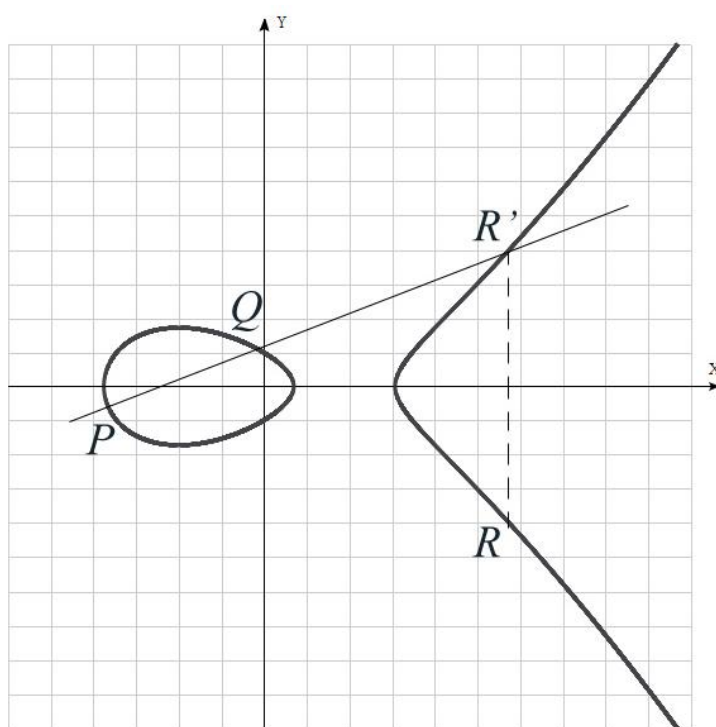


Рис. 74. Геометрическое построение суммы двух точек эллиптической кривой

5. Пусть $P=Q$, тогда считают, что прямая, проходящая через P и Q , – касательная к кривой E в точке P . Пусть R' – единственная другая точка пересечения этой прямой с E . Полагают $P+Q=-R'$ (в качестве R' берут P , если касательная в P имеет «двойное касание», т.е. если P является точкой перегиба кривой).

Введенная таким образом операция сложения подчиняется всем обычным правилам сложения, в частности коммутативному и ассоциативному законам.

Умножение nP точки P эллиптической кривой на положительное число $n(n>0)$ определяется как сумма n точек P . Если n – не положительно ($n\leq 0$), то nP определяется как сумма $|n|$ точек $-P$.

Обозначим (x_1, y_1) , (x_2, y_2) и (x_3, y_3) – координаты точек P , Q и $R=P+Q$ соответственно. Выразим x_3, y_3 через x_1, y_1, x_2 и y_2 .

Если $P\neq Q$, то координаты $P+Q$ вычисляются как:

$$x_3 = \left(\frac{y_2 - y_1}{x_2 - x_1} \right)^2 - x_1 - x_2,$$

$$y_3 = -y_1 + \frac{y_2 - y_1}{x_2 - x_1} (x_1 - x_3).$$

Или, определив λ как $\frac{y_2 - y_1}{x_2 - x_1}$,

$$x_3 = \lambda^2 - x_1 - x_2,$$

$$y_3 = -y_1 + \lambda(x_1 - x_3).$$

В случае если $P=Q$, то $P+Q=P+P=2P$. Координаты удвоенной точки $2P$:

$$x_3 = \left(\frac{3x_1^2 + a}{2y_1} \right)^2 - 2x_1,$$

$$y_3 = -y_1 + \frac{3x_1^2 + a}{2y_1} (x_1 - x_3).$$

Или, определив λ как $\frac{3x_1^2 + a}{2y_1}$,

$$x_3 = \lambda^2 - 2x_1,$$

$$y_3 = -y_1 + \lambda(x_1 - x_3).$$

Эллиптические кривые над конечным полем

В криптографии используются эллиптические кривые над конечным полем F_q из $q=p^r$ элементов, где p является простым числом.

Эллиптической группой по модулю p — $E_p(a,b)$ определяется как множество, состоящее из точки в бесконечности O и пар неотрицательных целых чисел (x, y) , таких, что: $0 \leq x < p, 0 \leq y < p$ и удовлетворяют условию:

$$y^2 = x^3 + ax + b \pmod{p},$$

где a и b — целые числа меньше p и удовлетворяют $(4a^3 + 27b^2) \pmod{p} \neq 0$.

Выполнение условия $(4a^3 + 27b^2) \pmod{p} \neq 0$ означает, что кубический многочлен $y^2 = x^3 + ax + b \pmod{p}$ не имеет кратных корней.

Элементы группы $E_p(a,b)$ — точки эллиптической кривой будут находиться в квадрате неотрицательных чисел от $(0,0)$ до (p,p) .

Для эллиптических кривых аналогом умножения двух чисел служит сложение двух точек эллиптической кривой E , определенной над F_q . Таким образом, аналог возведения числа в степень k — это умножение точки эллиптической кривой $P \in E$ на целое число k .

Практическая работа №16. Вычисление координат точек эллиптической кривой над конечным полем

Координаты точки $R = (x_3, y_3)$ эллиптической кривой E над конечным полем характеристики p , отличной от 2 и 3: $R = P + Q$, $P \neq Q$, $P, Q, R \in E$ определяются как

$$\begin{aligned} x_3 &= \lambda^2 - x_1 - x_2 \pmod{p}, & \lambda &= \frac{y_2 - y_1}{x_2 - x_1} \pmod{p}, \\ y_3 &= -y_1 + \lambda(x_1 - x_3) \pmod{p}, \end{aligned}$$

Координаты кратной точки $R = 2P$, $P, R \in E$ определяются:

$$\begin{aligned} x_3 &= \lambda^2 - 2x_1 \pmod{p}, & \lambda &= \frac{3x_1^2 + a}{2y_1} \pmod{p}, \\ y_3 &= -y_1 + \lambda(x_1 - x_3) \pmod{p}, \end{aligned}$$

Пример. Пусть $P = (3, 13), Q = (9, 7)$ — точки эллиптической кривой $E_{23}(1, 1): y^2 = x^3 + x + 1 \pmod{23}$.

1. Найти $R=P+Q$. $x_1=3, x_2=9, y_1=13, y_2=7, a=1$.

Вычислим λ для суммы точек: $\lambda=(13-7)/(9-3) \bmod 23 = 6/6 \bmod 23 = 1$.

Тогда $x_3=1-3-9 \bmod 23 = -11 \bmod 23 = 12$;

$y_3=-13+(3-9)=-13-6 \bmod 23 = -19 \bmod 23 = 4$.

$R=(12,4) \in E_{23}(1,1)$.

2. Найти $R=2P$.

Вычислим λ для двойной точки: $\lambda=(3 \cdot 3^2+1)/(2 \cdot 13) \bmod 23 = 28/26 \bmod 23$. Требуется вычислить значение натуральной дроби по модулю. Это можно сделать с помощью расширенного алгоритма Евклида.

Вычисление значения натуральной дроби по модулю

Значение $a/b \bmod p$, где p – простое число, может быть получено следующим образом.

Поскольку p – простое число, то оно будет взаимно простым с любым другим целым числом b , $|b| \neq kp, k \in \mathbb{Z}$. Числа b и p – взаимно просты $\text{НОД}(b,p)=1$. Значит, существуют такие целые числа x и y , что $bx+py=1$. Числа x и y можно найти с помощью расширенного алгоритма Евклида, $x = b^{-1} \bmod p$.

Представим $a/b \bmod p$ как:

$$a/b \bmod p = a \cdot 1/b \bmod p = a \cdot b^{-1} \bmod p = a \cdot x \bmod p.$$

Вычислим значение $\lambda = 28/26 \bmod 23$.

С помощью расширенного алгоритма Евклида найдем x и y , так что $26x+23y=1$:

Формируем строки $U \leftarrow \{\max(26,23), 1, 0\}$,
 $V \leftarrow \{\min(26,23), 0, 1\}$, $k = u_1 \text{ div } v_1$, $T = \{u_1 \bmod v_1, u_2 - k \cdot v_2, u_3 - k \cdot v_3\}$ пока u_1 не станет равным 0.

Так как $26 > 23$, шаги расширенного алгоритма Евклида примут следующий вид (рис. 75).

Найдены значения $x = 8$, $y = -9$, проверка $26 \cdot 8 - 9 \cdot 23 = 208 - 207 = 1$.

| шаг | 1 | 2 | 3 | 4 | рез-т | строки | | k |
|-----|---|---|---|---|-------|--------|-----|----|
| | U | | | | | 26 | 1 | 0 |
| | V | U | | | | 23 | 0 | 1 |
| 1 | T | V | U | | | 3 | 1 | -1 |
| 2 | | T | V | U | | 2 | -7 | 8 |
| 3 | | | T | V | U | 1 | 8 | -9 |
| 4 | | | | T | V | 0 | -23 | 26 |

Рис. 75. Вычисления по расширенному алгоритму Евклида

Тогда $\lambda = 28/26 \pmod{23} = 28 \cdot 8 \pmod{23} = 224 \pmod{23} = 17$.

Теперь можно вычислить координаты (x_3, y_3) двойной точки $R \in E_{23}(1,1)$, $R=2P$. Согласно формуле для вычисления координат двойной точки:

$$x_3 = 17^2 - 2 \cdot 3 \pmod{23} = 289 - 6 \pmod{23} = 283 \pmod{23} = 7,$$

$$y_3 = -13 + 17 \cdot (3 - 7) \pmod{23} = -13 - 17 \cdot 4 \pmod{23} = -13 - 68 \pmod{23} = -81 \pmod{23} = 11.$$

Точка $R=2P=(7,11) \in E_{23}(1,1)$.

Как видно, вычисление кратных точек может быть достаточно трудоемким. Аналогично методу быстрого возведения в степень по модулю (описан в практической работе №9 Изучение шифра RSA), кратное точки эллиптической кривой $kP \in E$ можно найти не более чем за $2 \log_2 k$ операций методом повторного удвоения.

Представим целое k как последовательность умножений на 2 и сложений с 1. Например, чтобы найти $100P$, представим $k=100$ как $100 = 2(2(1+2 \cdot 2 \cdot 2(1+2)))$. Тогда можно записать $100P = 2(2(P+2(2(2(P+2P))))$. Таким образом, значение кратной точки эллиптической кривой $100P$ может быть вычислено с помощью 6 удвоений и 2 сложений точек на кривой.

Кроме того, если известно число N точек на эллиптической кривой E и если $k > N$, то в силу равенства $NP = O$, можно заменить значение k его наименьшим неотрицательным вычетом по модулю N ($k' = k \pmod{N}$).

Задание. Дан конкретный вид $E_p(a,b)$ эллиптической кривой над конечным полем простой характеристики $p \neq 2, 3$, а также че-

тыре точки этой кривой $P, Q, R, S \in E_p(a, b)$ и целое число n . Вычислить координаты суммы точек и кратной точки.

A. Найдите точку $2P+3Q-R$

B. Найдите точку nS .

Указания к выполнению практической работы

Для выполнения практической работы рекомендуется использовать файл *элл.xls*, реализующий вычисления координат суммы двух точек и двойной точки для эллиптической кривой $E_{751}(-1,1)$, определенной в заданиях. Также можно реализовать вычисления самостоятельно в табличном процессоре MS Excel (функции **ОСТАТ** и **ЧАСТНОЕ**).

Технология выполнения задания

Задание A. Даны три точки P, Q, R на эллиптической кривой $E_{751}(-1,1)$. Найдите $2P+3Q-R$.

1. Изучить теоретическое описание эллиптических кривых и определение операций над точками эллиптических кривых.
2. Выбрать координаты точек P, Q, R из таблицы 36 в соответствии с номером варианта.

Таблица 36

Варианты задания

| № | Координаты точек на $E_{751}(-1,1)$ | | | | n |
|-----------|-------------------------------------|-----------|------------|-----------|-----|
| | P | Q | R | S | |
| 1 | (58, 139) | (67, 667) | (82, 481) | (62, 372) | 128 |
| 2 | (61, 129) | (59, 365) | (105, 369) | (43, 527) | 116 |
| 3 | (62, 372) | (70, 195) | (67, 84) | (39, 171) | 110 |
| 4 | (56, 332) | (69, 241) | (83, 373) | (43, 527) | 107 |
| 5 | (59, 386) | (70, 195) | (72, 254) | (36, 87) | 111 |
| 6 | (72, 497) | (61, 622) | (70, 556) | (49, 568) | 122 |
| 7 | (74, 170) | (53, 277) | (86, 25) | (39, 580) | 109 |
| 8 | (48, 702) | (69, 241) | (98, 338) | (75, 318) | 142 |
| 9 | (59, 386) | (61, 129) | (100, 364) | (45, 720) | 111 |
| 10 | (72, 497) | (53, 474) | (90, 730) | (78, 480) | 147 |
| 11 | (59, 365) | (59, 386) | (105, 382) | (53, 474) | 120 |
| 12 | (61, 622) | (61, 622) | (90, 730) | (43, 527) | 109 |

| № | Координаты точек на $E_{751}(-1,1)$ | | | | n |
|-----------|-------------------------------------|-----------|------------|-----------|-----|
| | P | Q | R | S | |
| 13 | (61, 129) | (69, 510) | (72, 497) | (49, 568) | 124 |
| 14 | (70, 556) | (56, 419) | (86, 726) | (39, 171) | 108 |
| 15 | (67, 84) | (69, 241) | (66, 199) | (49, 183) | 126 |
| 16 | (73, 72) | (56, 332) | (85, 35) | (58, 139) | 121 |
| 17 | (69, 241) | (53, 277) | (106, 24) | (33, 355) | 111 |
| 18 | (74, 581) | (53, 277) | (85, 35) | (39, 580) | 101 |
| 19 | (56, 419) | (69, 510) | (79, 640) | (44, 366) | 113 |
| 20 | (58, 612) | (67, 84) | (83, 373) | (73, 72) | 103 |
| 21 | (62, 379) | (53, 474) | (110, 622) | (85, 716) | 159 |
| 22 | (53, 277) | (66, 552) | (99, 456) | (66, 199) | 103 |
| 23 | (67, 667) | (53, 474) | (105, 382) | (44, 385) | 113 |
| 24 | (69, 241) | (66, 552) | (69, 510) | (45, 720) | 111 |
| 25 | (69, 510) | (53, 277) | (105, 369) | (39, 171) | 107 |

Выполнить вычисление суммы точек по аналогии с рассмотренным ниже примером.

Пример. $P, Q, R \in E_{751}(-1, 1)$. $P=(384, 475)$, $Q=(227, 452), R=(69, 510)$. Требуется определить координаты точки $2P+3Q-R$.

3. Вычислить координаты точки $2P$, $P=(384, 475)$:

- Занести координаты точки в файл *элл.xlsx* (в ячейки **A2**, **B2**).
- Ячейки **F4:F5** содержат значение $\lambda=442367/950 \bmod 751$, рассчитанное по формуле суммы точек.
- Требуется вычислить значение дроби по модулю $442367/950 \bmod 751$. Сначала с помощью расширенного алгоритма Евклида следует вычислить значение, обратное делителю по модулю, то есть $950^{-1} \bmod 751$. Расширенный алгоритм Евклида для двойной точки реализован в диапазоне ячеек **O1:R13**. Если делитель дроби (в рассматриваемом примере 950) меньше значения модуля, то есть основания кривой (в примере 751), то результат извлекается из предпоследней значащей ячейки столбца **P** (в диапазоне **O1:R13**). В противном случае результат извлекается из предпоследней значащей ячейки столбца **Q** в указанном диапазоне. Поскольку в рассматриваемом примере де-

литель дроби больше значения модуля ($950 > 751$), результат извлекается из ячейки **Q10** (рис.76), $950^{-1} \bmod 751 = -137$.

| | A | B | C | D | E | F | G | H | I | J | K | L | M | N | O | P | Q | R |
|----|-----------------|---------------------|----------|--------|-----|--------|-------------|---------|---------|---------|-----|----|---|---------|---------|---------|---------|---------|
| 1 | P | | | Q | | | | R | | | p | a | b | 2P | 950 | 0 | 1 | |
| 2 | 384 | 475 | | | | | | | | | 751 | -1 | 1 | | 751 | 1 | 0 | |
| 3 | 2P | | | | | | Q+R | | | | | | | | 199 | -1 | 1 | 1 |
| 4 | | $3*384^2-1$ | | 442367 | | 442367 | | | | 0 | | 0 | | | 154 | 4 | -3 | 3 |
| 5 | $\lambda =$ | $2*475$ | $=$ | 950 | $=$ | 950 | $\lambda =$ | | | | 0 | | 0 | | 45 | -5 | 4 | 1 |
| 6 | | | | -317 | | | | #ДЕЛ/0! | | | | | | | 19 | 19 | -15 | 3 |
| 7 | $=$ | -140230339 | | | | | $=$ | #ДЕЛ/0! | | | | | | | 7 | -43 | 34 | 2 |
| 8 | $=$ | 136 | | | | | $=$ | #ДЕЛ/0! | | | | | | | 5 | 105 | -83 | 2 |
| 9 | | | | | | | | | | | | | | | 2 | -148 | 117 | 1 |
| 10 | $x =$ | $136^2-2*384$ | $=$ | 17728 | | | $x =$ | #ДЕЛ/0! | $=$ | #ДЕЛ/0! | | | | | 1 | 401 | -317 | 2 |
| 11 | | | | 455 | | | | #ДЕЛ/0! | $=$ | #ДЕЛ/0! | | | | | 0 | -950 | 751 | 2 |
| 12 | $y =$ | $-475+136(384-455)$ | $=$ | -10131 | | | $y =$ | #ДЕЛ/0! | $=$ | #ДЕЛ/0! | | | | #ДЕЛ/0! | #ДЕЛ/0! | #ДЕЛ/0! | #ДЕЛ/0! | #ДЕЛ/0! |
| 13 | | | | 383 | | | | #ДЕЛ/0! | $=$ | #ДЕЛ/0! | | | | #ДЕЛ/0! | #ДЕЛ/0! | #ДЕЛ/0! | #ДЕЛ/0! | #ДЕЛ/0! |
| 14 | Проверка | | | | | | Проверка | | | | | | | Q+R | 751 | 0 | 1 | |
| 15 | 383^2 | $=$ | 146689 | 244 | | | #ДЕЛ/0! | $=$ | #ДЕЛ/0! | #### | | | | | 0 | 1 | 0 | |
| 16 | $455^2-1*455+1$ | $=$ | 94195921 | 244 | | | #ДЕЛ/0! | $=$ | #ДЕЛ/0! | #### | | | | #ДЕЛ/0! | #ДЕЛ/0! | #ДЕЛ/0! | #ДЕЛ/0! | #ДЕЛ/0! |
| 17 | | | | | | | | | | | | | | #ДЕЛ/0! | #ДЕЛ/0! | #ДЕЛ/0! | #ДЕЛ/0! | #ДЕЛ/0! |
| 18 | | | | | | | | | | | | | | #ДЕЛ/0! | #ДЕЛ/0! | #ДЕЛ/0! | #ДЕЛ/0! | #ДЕЛ/0! |
| 19 | | | | | | | | | | | | | | #ДЕЛ/0! | #ДЕЛ/0! | #ДЕЛ/0! | #ДЕЛ/0! | #ДЕЛ/0! |

Рис.76. Интерфейс программы эл.xlsx

- Занести значение, обратное делителю по модулю, в ячейку **D6**. Результирующее значение λ содержится в ячейке **B8**.
 - Координаты точки $2P$ содержатся в ячейках **D11** и **D13** соответственно.
 - Проконтролировать правильность вычислений. Значения ячеек **E15** и **E16** содержат левую и правую части уравнения эллиптической кривой $E_{751}(-1,1)$, вычисленные для найденных координат точки. Если эти значения совпадают, то точка удовлетворяет уравнению кривой. Проверка показывает правильность расчета координат точки $2P = (455, 383)$.
4. Аналогичным образом вычислить координаты точки $2Q$, $Q=(227,452)$.
Результат: $2Q = (34,74)$.
5. Вычислить координаты точки $3Q = 2Q + Q$, $2Q = (34,74)$, $Q=(227,452)$:
- Занести координаты одной точки в ячейки **D2**, **E2**, другой точки – в ячейки **H2**, **I2**.
 - Ячейки **L4:L5** содержат значение $\lambda=378/193 \bmod 751$, рассчитанное по формуле суммы точек.
 - Требуется вычислить значение дроби по модулю $378/193 \bmod 751$. Сначала с помощью расширенного алгоритма Евклида следует вычислить значение, обратное делителю по модулю,

то есть $193^{-1} \bmod 751$. Расширенный алгоритм Евклида для суммы точек реализован в диапазоне ячеек **O14:R25**. Если делитель дроби меньше значения модуля, то результат извлекается из предпоследней значащей ячейки столбца **P** в рассматриваемом диапазоне. В противном случае результат извлекается из предпоследней значащей ячейки столбца **Q** в рассматриваемом диапазоне. Поскольку в примере делитель дроби меньше значения модуля ($193 < 751$), результат извлекается из столбца **P** (ячейка **P19**), $193^{-1} \bmod 751 = 179$.

- Полученное значение занести в ячейку **J6**.
 - Ячейки **J11** и **J13** содержат координаты суммы точек, рассчитанные по формуле сложения точек. $3Q = (417, 137)$.
 - Ячейки **K15** и **K16** содержат проверочные значения, их совпадение показывает правильность расчета координат точки $3Q$.
6. По аналогии с предыдущим пунктом вычислить координаты суммы точек $2P+3Q$, $2P = (455, 383)$, $3Q = (417, 137)$. $2P+3Q = (493, 122)$.
7. Вычислить $2P+3Q-R$, $2P+3Q = (493, 122)$, $R = (69, 510)$:
- Вычислить координаты точки $-R$, для чего следует взять y -координату точки с отрицательным знаком по модулю.
 $-y = -510 \bmod 751 = 751 - 510 = 241$.
 $-R = (69, 241)$.
 - Вычислить сумму точек $2P + 3Q = (493, 122)$ и $-R = (69, 241)$.
 Окончательно получаем: $2P+3Q-R = (623, 166)$.

Задание В. Дана точка S на эллиптической кривой $E_{751}(-1, 1)$. Найти кратную точку nS .

8. Выбрать координаты точки S и значение n из таблицы 36 в соответствии с номером варианта. Выполнить вычисление кратной точки по аналогии с рассмотренным примером. Для вычислений рекомендуется использовать файл *элл.xlsx*.

Пример. $S = (623, 166) \in E_{751}(-1, 1)$, $n = 27$. Определить координаты точки nS .

9. Поскольку операции с точками эллиптической кривой достаточно трудоемки, для вычисления nS следует воспользоваться методом последовательного умножения на два. Для этого надо

представить число n как последовательность операций умножения на 2 и сложения с 1. $n=27=1+2(1+2(2(1+2)))$. Тогда $nS=27S=S+2(S+2(2(S+2S)))$. Провести последовательное вычисление этого выражения.

10. Вычислить $2S$, $S=(623,166) \in E_{751}(-1,1)$.

- Вычислить координаты двойной точки $2S$ с помощью файла *элл.xls* по аналогии с п.3. $2S=(680,93)$.

11. Вычислить координаты суммы точек $S+2S=(623,166)+(680,93)$ с помощью файла *элл.xls* по аналогии с п.5.

$$S+2S=(561,611).$$

12. Вычислить $2(S+2S)=2(561,611)=(484,379)$.

13. Вычислить $2(2(S+2S))=2(484,379)=(90,730)$.

14. Вычислить $S+2(2(S+2S))=(623,166)+(90,730)=(250,737)$.

15. Вычислить $2(S+2(2(S+2S)))=2(250,737)=(294,156)$.

16. Вычислить $S+2(S+2(2(S+2S)))=(623,166)+(294,156)=(617,293)$.

Получен результат: $27S=(617,293)$.

17. Показать результаты вычислений точек преподавателю.

Практическая работа №17. Цифровая подпись на эллиптических кривых

Описание выбора параметров криптосистем на эллиптических кривых и алгоритма цифровой подписи

В криптографии используются эллиптические кривые над двумя типами конечных полей: простыми полями большой нечетной простой характеристики (F_p , где $p > 3$) и полями характеристики 2 ($GF(2^m)$, где m – простое число).

Большинство криптосистем современной криптографии с открытым ключом естественным образом можно «переложить» на эллиптические кривые, однако не для всех схем это дает выигрыш в стойкости. Например, аналог алгоритма RSA в варианте на эллиптических кривых не имеет преимуществ перед своим оригиналом. Выигрыш при переходе на эллиптические кривые получают те криптографические схемы, стойкость которых основана

на сложности задачи логарифмирования в конечных полях. Обусловлено это тем, что при надлежащем выборе параметров кривой задача логарифмирования в группе точек кривой существенно сложнее задачи логарифмирования в мультипликативной группе исходного поля.

Переход на эллиптические кривые позволяет существенно увеличить стойкость схемы ключевого обмена Диффи-Хелмана (ECDH), криптосистемы Эль-Гамала и цифровой подписи DSA (ECDSA). Для сравнения: старый российский стандарт ЭЦП оперировал 1024-битовыми блоками данных, новый оперирует 256-битовыми и 512-битовыми. При этом по оценкам специалистов, трудоемкость взлома старого и нового стандартов ЭЦП России (с 256-битовыми строками) сопоставимы.

В качестве международного стандарта цифровой подписи принят американский алгоритм цифровой подписи на эллиптических кривых (ECDSA). В этом стандарте используются эллиптические кривые над полем $GF(2^m)$ характеристики 2. Однако криптографически стойких кривых над полем такой характеристики сравнительно мало.

Российский ГОСТ Р 34.10–2012 «Информационная технология. Криптографическая защита информации. Процессы формирования и проверки электронной цифровой подписи» определяет два варианта подписи с использованием эллиптических кривых над полем большой простой характеристики F_p , p – большое простое число порядка 256 ($2^{254} < p < 2^{256}$) и 512 бит ($2^{508} < p < 2^{512}$).

Выбор кривой и точки на ней для систем электронной цифровой подписи подразумевает решение ряда вспомогательных задач. Прежде всего, это подсчет количества N точек на кривой (*порядка кривой*), а также определения *порядка* генерирующей точки G .

Существует несколько классов криптографически слабых кривых, которых следует избегать: кривые над $GF(2^m)$, где m – не простое число и кривые над полями простой характеристики F_p , для которых число точек кривой N совпадает с p ($N = p$). Таким образом, требуется знать число N точек эллиптической кривой.

Следует также отметить, что хотя для реализации систем Диффи-Хелмана или шифрсистемы Эль-Гамала не требуется

знать количество N точек кривой, на практике нужно быть уверенным в надежности этих систем, которая зависит от того, имеет ли N большой простой делитель. Если N является произведением малых простых чисел, то криптосистема может быть вскрыта с помощью метода Полига-Силвера-Хеллмана. Таким образом, желательно, чтобы N было большим простым числом, то есть надо знать значение N .

Вместе с тем, задача нахождения значения N не является тривиальной. При достаточно больших значениях r генерация и подсчет перебором всех точек кривой неэффективны. Существуют полиномиальные алгоритмы нахождения числа точек N кривой (метод больших-малых шагов, метод Шуфа и др.), которые на практике дают весьма удовлетворительные результаты.

После того, как порядок N кривой определен, требуется найти большой простой делитель n порядка кривой. Такой делитель может не существовать, и тогда потребуется повторять процедуру выбора кривой до тех пор, пока не будут выполнены все требуемые условия. Поиск числа n может потребовать как решения задачи разложения на множители числа N , так и доказательства простоты числа n .

Использование криптосистем цифровой подписи на эллиптических кривых подразумевает также выбор «генерирующей» точки кривой и определение ее порядка.

Порядком точки P на эллиптической кривой называется такое наименьшее натуральное число, что $nP = O$. Если конечного n не существует, то говорят о точке бесконечного порядка.

Пример. Найти порядок точки $P=(2,3)$ на $y^2=x^3+1$. Находим, что $2P=(0,1)$, $4P=2(2P)=(0,-1)$. Поэтому $4P=-2P$ и, следовательно, $6P=O$. Тем самым порядок P может быть равен 2, 3 или 6. Но $2P=(0,1) \neq O$, а если бы P имела порядок 3, то было бы $4P=P$, что неверно. Итак, P имеет порядок 6.

Для получения криптографически стойкой системы ЭЦП должны выполняться следующие условия:

1. Порядок точки G , используемой в системе ЭЦП, должен быть большим простым числом n (в отечественном стандарте $2^{254} < n < 2^{256}$ или $2^{508} < n < 2^{512}$).
2. $N \neq p$ и $N \neq p+1$, где N – порядок кривой.

3. $p^k \neq 1 \pmod n$ для всех $k=1, \dots, C$, где C настолько велико, что вычислить дискретный логарифм в F_{p^c} за приемлемое время невозможно.

Отечественный стандарт цифровой подписи устанавливает $C = 31$ ($2^{254} < n < 2^{256}$) и $C = 131$ (если $2^{508} < n < 2^{512}$).

Эллиптическую кривую E можно выбрать случайным образом так, чтобы выполнялись указанные условия.

Точку G можно выбрать следующим образом. Найдем случайную точку $G' \in E(F_p)$ и вычислим $G = \frac{N}{n} G'$. Если $G \neq O$, то требуемая точка найдена, если же $G = O$, то следует выбрать другую точку G' .

Как видно, выбор кривой и «генерирующей» точки на ней является достаточно сложным.

Имеются готовые рекомендации по выбору конечных полей и эллиптических кривых, обеспечивающие высокий уровень безопасности и эффективность программной реализации. Так, американский институт стандартов и технологий NIST рекомендует 15 эллиптических кривых. Стандарт FIPS 186-4 рекомендует 10 конечных полей, в частности:

- поля простой характеристики F_p , где простое p имеет длину 192, 224, 256, 384 или 521 бит;
- поля $GF(2^m)$, где $m=163, 233, 283, 409$ или 571.

Причем для каждого конечного поля рекомендуется конкретный вид эллиптической кривой, при этом значение параметра a в уравнении кривой принимается равным -3 для ускорения вычислений.

Для каждого из вариантов цифровой подписи ГОСТ Техническим комитетом 26 «Криптографическая защита информации» Росстандарта предложен конкретный вид эллиптической кривой (рекомендации по стандартизации «Задание параметров эллиптических кривых в соответствии с ГОСТ Р 34.10–2012»). Здесь значение a также равно -3 , для кривой указана «генерирующая» точка и ее порядок.

Конкретный вид кривой E , «генерирующая» точка G на ней с указанием порядка этой точки являются общими для всех пользователей. Для генерации и проверки подписи требуется задание

и индивидуальных параметров каждого пользователя – еголично-го (секретного) и открытого ключей.

Ключ подписи (личный ключ) –случайное число d , $0 < d < n$. Ключ проверки подписи (открытый ключ) –точка эллиптической кривой $Q = dG$.

Алгоритм цифровой подписи также использует хэш-функцию, обозначаемую h . Подпись ГОСТ Р 34.10-2012 использует Хэш-функцию, определенную вГОСТ Р 34.11-2012: в случае $2^{254} < n < 2^{256}$ используется хэш-функция с длиной кода 256 бит, а в случае $2^{508} < n < 2^{512}$ – 512-битовая хэш-функция.

Генерация подписи

Входные данные: сообщение M , открытые параметры ЭЦП: $E, G \in E, n$, секретный ключ подписи d .

Выходные данные: подпись (r, s) .

Алгоритмгенерации подписи

1. Выбрать случайное число k в интервале $[1, n-1]$.
2. Вычислить $(x, y) = kG \in E$.
3. Вычислить $r = x \bmod n$.
4. Если $r = 0$, то вернуться к шагу 1.
5. Вычислить $z = k^{-1} \bmod n$.
6. Вычислить $h = h(M)$.
7. Вычислить $s = z(h + dr) \bmod n$.
8. Если $s = 0$, то вернуться к шагу 1.
9. Вывести пару (r, s) – подпись к M .

Замечания.

1. При $r = 0$ результат вычисления s не зависит от секретного ключа d .

2. При $s = 0$ не существуетнеобходимого для проверки подписи числа $s^{-1} \bmod n$.

Проверка подписи

Входные данные: сообщение M , открытые параметры ЭЦП: $E, G \in E, n$, открытый ключ проверки подписи $Q \in E$ и подпись (r, s) к M .

Выходные данные: заключение о подлинности или фальсификации подписи.

Алгоритм проверки подписи

1. Если хотя бы одно из условий $0 < r < n$, $0 < s < n$ нарушается, то подпись фальшивая и работа алгоритма закончена.
2. Вычислить $h = h(M)$.
3. Вычислить $v = s^{-1} \bmod n$.
4. Вычислить $u_1 = hv \bmod n$.
5. Вычислить $u_2 = rv \bmod n$.
6. Вычислить $X = (x, y) \in E$: $X = u_1G + u_2Q$.
7. Если $r = x \bmod n$, то подпись действительная, в противном случае подпись фальшивая.

Задание. Задан конкретный вид $E_p(a, b)$ эллиптической кривой над конечным полем (p – простое), генерирующая точка $G \in E_p(a, b)$ и порядок этой точки n .

А. Сгенерировать ЭЦП для сообщения с известным значением хэш-кода h , зная заданные значения секретного ключа подписи d и случайного числа k .

В. Проверить подлинность подписи (r, s) для сообщения с известным значением хэш-кода h , зная открытый ключ проверки подписи Q .

Указания к выполнению практической работы

Для выполнения практической работы рекомендуется использовать файл *элл.xls*, реализующий вычисления координат суммы двух точек и двойной точки для эллиптической кривой $E_{751}(-1, 1)$, определенной в заданиях.

Технология выполнения задания

Задание А. Сгенерировать цифровую подпись сообщения. Известные общие параметры системы цифровой подписи: вид кривой $E_{751}(-1, 1)$, координаты генерирующей точки $G = (416, 55)$ и порядок этой точки $n = 13$.

1. Изучить описание аналога схемы Эль-Гамала на эллиптических кривых.
2. Выбрать из таблицы 37 в соответствии с номером варианта значения личного ключа абонента d , хэш-кода сообщения h и случайного числа k для генерации подписи сообщения.

Варианты задания

| № | А | | | В | | |
|----|--|-----|-----|---|-----------|---------|
| | $E_{751}(-1,1)$ и генерирующая точка
$G = (416, 55)$ порядка $n = 13$ | | | $E_{751}(-1,1)$ и генерирующая точка
$G=(562,89)$ порядка $n = 13$ | | |
| | h | d | k | h | Q | (r,s) |
| 1 | 9 | 3 | 5 | 8 | (135,82) | (11,10) |
| 2 | 3 | 9 | 6 | 4 | (384,475) | (11,9) |
| 3 | 12 | 9 | 2 | 7 | (596,433) | (11,1) |
| 4 | 3 | 4 | 7 | 7 | (455,368) | (11,11) |
| 5 | 5 | 12 | 6 | 7 | (384,475) | (5,5) |
| 6 | 6 | 12 | 7 | 5 | (384,475) | (11,1) |
| 7 | 8 | 5 | 5 | 10 | (455,383) | (11,10) |
| 8 | 8 | 2 | 5 | 8 | (384,276) | (3,1) |
| 9 | 11 | 5 | 6 | 3 | (135,669) | (11,10) |
| 10 | 10 | 9 | 2 | 6 | (455,383) | (3,1) |
| 11 | 11 | 2 | 8 | 2 | (596,433) | (3,10) |
| 12 | 8 | 6 | 3 | 10 | (455,368) | (11,6) |
| 13 | 3 | 10 | 6 | 5 | (596,433) | (11,12) |
| 14 | 2 | 11 | 5 | 9 | (135,82) | (7,7) |
| 15 | 10 | 5 | 11 | 2 | (596,433) | (11,4) |
| 16 | 11 | 5 | 7 | 6 | (596,318) | (7,5) |
| 17 | 6 | 10 | 7 | 5 | (596,318) | (7,4) |
| 18 | 6 | 10 | 2 | 12 | (135,669) | (5,11) |
| 19 | 9 | 6 | 6 | 12 | (562,89) | (3,2) |
| 20 | 8 | 12 | 8 | 6 | (562,662) | (7,10) |
| 21 | 3 | 2 | 8 | 12 | (135,82) | (7,8) |
| 22 | 6 | 5 | 6 | 7 | (384,276) | (5,2) |
| 23 | 7 | 3 | 7 | 8 | (596,318) | (11,6) |
| 24 | 9 | 11 | 2 | 10 | (384,276) | (7,6) |
| 25 | 5 | 12 | 8 | 9 | (416,696) | (11,11) |

3. Вычислить значение подписи – пару чисел (r, s) по аналогии с рассмотренным далее примером.

Пример. Выбрана эллиптическая кривая $E_{751}(-1,1)$ и генерирующая точка $G=(384,475)$ порядка $n=13$ (13 – наибольший из делителей порядка кривой $N=728$). Абонент хочет подписать своим личным ключом $d=12$ сообщение, хэш-код которого $h=12$. Пусть абонент, подписывающий сообщение, выбрал случайное $k=3$.

4. Вычислить $kG=3G=3\cdot(384,475)$.
 - Вычислить сначала $2G=2\cdot(384,475)$ с помощью файла *элл.xls*. $2G=(455,383)$.
 - Вычислить $3G=G+2G=(384,475)+(455,383)$. $3G=(596,318)$.
5. $kG=3G=(596,318)$, $x=596$.
Вычислить $r=x \bmod n=596 \bmod 13=11$.
6. С помощью расширенного алгоритма Евклида вычислить $z=k^{-1} \bmod n=3^{-1} \bmod 13=-4 \bmod 13=9$.
7. Вычислить $s=z(h+dr) \bmod n=9\cdot(12+12\cdot 11) \bmod 13=9$.
Таким образом, вычислена цифровая подпись сообщения – пара $(r,s)=(11,9)$.

Задание В. Проверить подлинность цифровой подписи. Известны общие параметры системы цифровой подписи: вид кривой $E_{751}(-1,1)$, координаты генерирующей точки $G=(562,89)$ и порядок этой точки $n=13$.

8. Выбрать значения открытого ключа Q отправителя сообщения, подписи (r,s) и h – хэш-кода сообщения из таблицы 37 в соответствии с номером варианта.
9. Провести проверку подписи аналогично рассмотренному далее примеру.

Пример. Выбрана эллиптическая кривая $E_{751}(-1,1)$ и генерирующая точка $G=(384,475)$ порядка $n=13$. Получено сообщение с известным хэш-кодом $h=12$ и подписью $(11,9)$. Требуется проверить подлинность данной подписи, если известен открытый ключ абонента, подписавшего сообщение, $Q=(384,276)$.

10. Проверка подписи начинается с проверки условий $0 < r < n$, $0 < s < n$ – в данном случае они соблюдаются ($0 < 11 < 13$, $0 < 9 < 13$).
11. С помощью алгоритма Евклида вычислить значение $v=s^{-1} \bmod n=9^{-1} \bmod 13=3$.
12. Вычислить $u_1=hv \bmod n=12\cdot 3 \bmod 13=10$, $u_2=r \bmod n=11\cdot 3 \bmod 13=7$.
13. С помощью файла *элл.xls* вычислить координаты точки $X=u_1G+u_2Q=10\cdot(384,475)+7\cdot(384,276)=(596,318)$.
14. $X=(596,318)$, $x=596$, сравнить значения $r=11$ и $x \bmod n=596 \bmod 13=11$. Значения совпадают, значит, подпись подлинная.

15. Продемонстрировать результаты практической работы преподавателю.

ЛИТЕРАТУРА

1. *Бабенко Л.К., Ищукова Е.А.* Современные алгоритмы блочного шифрования и методы их анализа.: учеб. пособие. – М.: Гелиорс-АРВ, 2006.
2. *Васильева И.Н.* Криптографические методы защиты информации: учебник и практикум для академического бакалавриата.– М.: Юрайт, 2016.
3. *Васильева И.Н.* Криптографическая защита информации: учеб. пособие. – СПб.: СПбГЭУ, 2011.
4. *Васильева И.Н.* Криптографическая защита информации: практикум. – СПб.: СПбГЭУ, 2011.
5. *Васильева И.Н., Куватов В.И., Потехин В.С.* Криптографическая защита информации: учеб. пособие – СПб: Изд-во СПб ун-та МВД России, 2016.
6. *Жданов О.Н., Золотарев В.В.* Методы и средства криптографической защиты информации: учеб. пособие. – Красноярск: Сиб. гос. аэрокосмич. ун-т, 2008.
7. *Жданов О.Н., Куденкова И.А.* Криптоанализ классических шифров: лаб. практикум для студ. спец. 090105, 090106. – Красноярск: Сиб. гос. аэрокосмич. ун-т, 2009.
8. *Жданов О.Н., Лубкин И.А.* Алгоритм RSA: метод. указания к выполнению лабораторных работ для студ. спец. 090105. – Красноярск: Сиб. гос. аэрокосмич. ун-т, 2007.
9. *Ожиганов А.А.* Основы криптоанализа симметричных шифров: учеб. пособие – СПб.: СПбГУ ИТМО, 2008.
10. *Панасенко С.П.* Алгоритмы шифрования. Специальный справочник. – СПб.: БХВ-Петербург, 2009.
11. *Рябко Б.Я.* Криптографические методы защиты информации: учеб. пособие для ВУЗов. – М.: Горячая линия, 2015.
12. *Столлингс В.* Криптография и защита сетей: принципы и практика. – М.: Вильямс, 2001.

ПРИЛОЖЕНИЯ

Приложение 1. *Варианты заданий практической работы* №4. *Криптоанализ шифра простой замены*

1.

58 62 32 39 99 31 29 58 72 62 99 58 13 54 15 56 31 63 39 72 84 15 13 56 77
15 82 56 56 56 58 54 29 77 56 - 39 99 56 31 56 77 32 12 15 54 31 48 76 63
15 52 13 39 72 39 54 16 72 39 32 72 62 58 58 15, 37 62 77 52 39 13 39 72 39
32 39 31 62 54 39 77 84 39 21 31 39 16 72 62 99 58 13 15 54 56 13 46 16 39
58 13 95 16 15 13 62 12 46 31 39 62 72 15 77 54 56 13 56 62 84 31 39 32 56
76 58 63 62 72 33 62 12 39 54 62 33 62 58 52 39 91 99 62 29 13 62 12 46 31
39 58 13 56. 56 31 63 39 72 84 15 82 56 39 31 31 48 62 13 62 76 31 39 12 39
32 56 56 16 72 39 33 31 39 54 39 53 12 56 54 37 56 77 31 62 58, 39 37 72
15 77 39 54 15 31 56 62, 16 72 39 56 77 54 39 99 58 13 54 39, 39 13 52 72 48
54 33 62 12 39 54 62 52 95 31 62 37 48 54 15 12 48 62 54 39 77 84 39 21 31
39 58 13 56 16 39 58 52 39 72 39 58 13 56 16 39 12 95 33 62 31 56 29 56 39
37 72 15 37 39 13 52 62 56 31 63 39 72 84 15 82 56 56, 15 13 15 52 21 62 16
39 15 54 13 39 84 15 13 56 77 15 82 56 56 16 72 39 56 77 54 39 99 58 13 54
62 31 31 48 76, 95 16 72 15 54 12 62 31 33 62 58 52 56 76 56 56 31 48 76 16
72 39 82 62 58 58 39 54.

2.

39 25 20 34 82 63 66 46 35 20 25 82 86 39 51 74 35 51 66 20 44 37 25 27 51
35 44 20 90 37 51 25 25 51 63 91 20 11 37 46 48 25 20 37 61 51 14 82 82 66
82 35 29 82 91 25 51 74 51 24 78 51 24 59 46 86 51 44 74 20 25 37 37, 37 44
82 31 11 37 82 51 46 25 51 34 82 25 37 82 86 37 25 27 51 35 44 20 90 37 51
25 25 48 44 46 82 78 25 51 14 51 18 37 59 44, 51 74 82 35 20 90 37 59 44 66
90 82 25 25 48 44 37 61 10 44 20 18 20 44 37, 86 61 20 25 86 51 39 66 86 51
44 10 66 82 86 46 51 35 10 37 66 51 46 51 39 51 63 66 39 59 91 37. 56 46
51 86 20 66 20 82 46 66 59 24 35 10 18 37 78 51 35 18 20 25 37 91 20 90 37
63, 46 51, 66 51 18 14 20 66 25 51 35 82 91 10 14 29 46 20 46 20 44 35 20
91 14 37 56 25 48 78 37 66 66 14 82 24 51 39 20 25 37 63, 35 10 86 51 39 51
24 37 46 82 14 37 44 25 51 18 37 78 37 91 25 37 78 91 25 20 31 46 51 61
51 66 25 51 39 25 48 78 39 37 24 20 78 10 18 35 51 91, 25 51 25 82 10 24
82 14 59 31 46 24 51 14 42 25 51 18 51 39 25 37 44 20 25 37 59 24 20 25 25
48 44 39 51 74 35 51 66 20 44, 66 56 37 46 20 59, 56 46 51 51 61 82 66 74
82 56 82 25 37 82 37 25 27 51 35 44 20 90 37 51 25 25 51 63 61 82 91 51 74
20 66 25 51 66 46 37 25 82 37 44 82 82 46 66 44 48 66 14 20, 82 66 14 37
51 46 66 10 46 66 46 39 10 82 46 39 37 24 37 44 20 59 10 18 35 51 91 20.

3.

74 29 23 27 17 99 71 25 49 32 29 34 27 63 32 25 17 99 60 62 25 34 95 29 53
59 82 27 71 29 77 99 34 27 91 17 99 71 49 99 27 15 60 32 25 50 27 17 62 27
95 27 50 25 91 32 59 77 95 29 50 25 99 59, 25 99 74 29 53 25 59 17 99 25 91
23 49 71 25 17 99 60 49 25 34 32 25 71 95 27 82 27 32 32 25 29 50 17 25 15
77 99 32 59 77 62 95 25 53 95 29 23 32 25 17 99 60 34 15 35 17 27 99 27 71
25 12 25 99 95 29 45 49 74 29. 62 95 27 63 34 27 71 17 27 12 25, 50 27 17
62 27 95 27 50 25 91 32 29 35 95 29 50 25 99 29 17 29 82 49 83 62 25 17 27
50 27 62 95 25 34 59 74 99 25 71 50 27 53 25 62 29 17 32 25 17 99 49 17 71
35 53 29 32 29 17 32 29 15 49 23 49 27 82 32 29 34 27 63 32 25 95 29 50 25
99 29 77 10 27 12 25 25 50 25 95 59 34 25 71 29 32 49 35 49 95 27 53 27 95
71 49 95 25 71 29 32 49 27 82 74 95 49 99 49 23 32 89 83 74 25 99 74 29 53
59 50 15 25 74 25 71 62 49 99 29 32 49 35 49 53 29 62 25 82 49 32 29 77 10
49 83 59 17 99 95 25 91 17 99 71. 34 15 35 62 25 17 15 27 34 32 49 83 25 62
99 49 82 29 15 60 32 25 62 95 49 82 27 32 27 32 49 27 34 49 17 74 25 71 89
83 82 29 17 17 49 71 25 71 12 25 95 35 23 27 91 53 29 82 27 32 89. 74 29 23
27 17 99 71 25 49 32 29 34 27 63 32 25 17 99 60 95 29 50 25 99 89 34 25 17
99 49 12 29 27 99 17 35 25 62 99 49 82 49 53 29 67 49 27 91 62 95 25 12 95
29 82 82 32 25 12 25 25 50 27 17 62 27 23 27 32 49 35.

4.

48 23 18 40 94 35 62 53 94 25 53 15 35 91 35 40 35, 52 23 52 53 40 35 94
35 40 23 94 23 91 52 94 49 24 23 84 89 94 23 64 55 53 15 18 53 91, 24 53 88
23 62 12 25 76 94 23 64 35 24 49, 35 94 49 88 53 48 94 23 24, 41 91 35 91
23 52 31 49 15 53 91. 47 91 35 41 49 62 84 91 62 35 35 91 41 23 84 91 25
31 29 24 35 64 35 27 35 88 53 94 23 91 35, 52 35 91 35 55 35 53 35 94 25
84 64 29 91 23 24, 52 35 40 15 23 48 23 62 53 55 94 49 24 48 23 49 40 35 24
25 41 49 91 89 94 53 94 23 24 53 91 53 24 94 23 15 53 62 49 12 52 49, 12
53 15 12 49 60 53 18 49 94 23 62 84 91 55 53 41 49. 53 40 35 94 35 40 23,
62 29 48 62 23 62 84 62 35 25 18 15 62 25 88 53 94 25 53 18 52 35 24 53 31
23 94 25 53 62 35 48 15 49 27 23, 64 35 24 49 41 25 24 23 35 91 55 23 88 53
94 94 29 76 84 25 40 94 23 24 35 64 55 53 64 38 91 84 91 62 25 25 94 23 64
49 91 25 25 64 35 41 91 25 62 91 49 88 53 84 53 52 49 94 15 49 49 15 23
55 25 24 23 84 89 35 31 35 41 91 35 - 91 35. 52 23 52 35 76-91 35 64 55 53
15 18 53 91 84 40 24 49 27 25 18 84 91 49 52 35 18 35 91 24 53 91 53 24 62
91 53 18 94 35 91 49.

5.

63 49 26 30 96 49 86 30 28 59 52 86 46 21 52 79 35 38 79 52 50 59 21 35 21
31 79 30 26 96 85 42 61 21 61 85 30 85 24 79 52 74 30 61 59 31 21 42 21 35
90, 78 35 79 30 88 79 59 52 79 49 21 24 79 59 35 21 49 85 52 85 50 61 30
79 88 96 79 50 61 79 30 28 24 79 49 79 52 90 59 35 49 85 30, 85 67 79 96 21

49 61 79 24 28 46 85 30 14 35 79 88 79 78 30 52 79 49 30 31 21 31 50 79 30
50 28 49 79 59 38 85 29 30 61 85 91 85 50 85 31 79 49 59 30 50 50 79 85
50 26 79 26 86 35 31 21 50 26 96 30 24 21 35 90 88 52 21 59 61 79 59 35 85
50 30 35 79 24 30 88 79 96 21 67 79 35 86 61 30 96 21 42 28 29 30 50 52 63
52 79 50 79 30 59 21 50 79 52 91 67 85 30. 31 96 79 50 30 35 79 88 79, 63
67 86 52 88 79 96 24 35 30 50, 78 35 79 50 61 30 28 24 21 52 79 59 90 61
30 35 79 52 90 31 79 79 49 52 21 24 30 35 90 50 30 35 79 24 79 50 38 79 52
50 59 21, 61 79 85 26 96 85 50 30 61 85 35 90 30 88 79 61 21 24 30 52 30
85 42 21 59 52 28 74 85 35 90 14 35 85 50 26 79 38 49 21 52 28 50 79 30 88
79 24 96 28 88 21. 38 79 52 50 59 49 42 63 52 26 21 52 31 28 28 50 30 61
63 85 42 96 28 31 85 61 30 59 31 79 52 90 31 79 50 85 61 28 35 96 21 42
88 52 63 24 86 49 21 52 30 30 61 30 49 79 79 96 28 74 30 61 61 86 50 88 52
21 42 79 50. 26 79 35 79 50, 63 49 61 79 42 21 85 61 35 30 96 30 59 79 49 21
49 46 85 59 90 78 30 50-35 79, 79 35 52 79 74 85 52 26 21 26 85 96 79 59 28
49 59 35 79 96 79 61 28, 26 79 24 79 46 30 52 31 79 31 61 28 85 59 61 79
49 21 59 35 21 52 79 59 50 21 35 96 85 49 21 35 90 26 21 52 31 28, 61 79
28 74 30 78 30 96 30 42 28 49 30 52 85 78 85 35 30 52 90 61 79 30 59 35 30
31 52 79.

6.

7327496329548229297035291323138229495130185415131329492348291349
5630
82277032632749897049292349822929,97562782293570154942353097303563
89
9230823073352318298215542773352954296330.2782702935326370425616
63296129825416,51275627351667237030137335279732563063,32,61166323
2373274970273213706330542982322313,822935292430634923701565275432
56
8982301127632756308227978967.2913168229543070306330732751272382
30702392973270302332542923275130512713-
562773353292353097822713491638
2949567029,3227825627325429632749733530243270306313298223,8229
703254306363322397296127-63321127495635308282276127,512761543065
27543263497032923256301332732711276389821513,328229496315243063
6332492711309789296127633023.732749632954823295702773352749494235
97
30356389929230543070306313822927492711298282279730495627,32296127
61276327495435271830637335324256271327567027638229823223.73271382
67,513051492995973049,8229542963329230563532542756353061329729495
1
2761274927111556322323732754782965306370299729352713511130495129
3570 326389-
6527636316.494235973035638992495627236370547029352365542713

30.2370156329923292243035301130823032,732754279554235182291316,705
435166192301329563263,97562727824913275635325651165430-5627
9729352992132729736329972749701535301829823229137335295429638982
276127
161830493070616330923065.23513516562727112935821663492332164973
2963562763895127132963895127131670325429568970493013271351278248
29 30636329325130512729-
562718327027568227297035275429112763892427612797
29358227612756296329825130.49423597303563899211156370563051271370
2763822982323232495635306529,975627138229733532246327498973279556
32
56165430,615429278227733527132963895182166327,3273274913275635295
6 89,51165430278227542963274989.82275630138232972961278229111563
27.

7.

53493475136575682736132436626572681868286834,34746826681862659136
13
28683413276875398368506234102639,23266826506227,3610341318366813,
7510916291756827361324366291.537568341318801336366836108318107536
68.
506227685062726818104928682713722413,1375275350626836687410491027
7544831075915718366291,137527535062276850627218444936685375274474
68263668,1375275350622326682683103453273968365062277513186291,75
9613911336263662915375261336109153533610916874186891961391133626
13 50622768506236109610181083103668242668-
3653505728398368651050366813.
5736622768135350137575916275271336366813-
68267574577453.2668722810
5062,3610341318366813,7518104957491065682613276875391810506826102
639.6850444910261327393668491065682613276875395062,83682668915724
2668
2610745313341345531810492818108610782653261813505778262813442613
273936 68752653.347513-
26107453261857283668831853346274365726397426689157,
24266836534513261091688613265062263950687210266815.53836823266891
5736132668506224366872681049101826105336136568241326754436139113
28
271336366834494426397544491028132768,1065682413267544751375263934
68285336534923265365103426685057756834,346826342326682674181075
366215757553365391,5328345336572639361083274486,8368832710341026
397510743410271036726891,6850726818132639,83687453281026399144247
5 1813504426109153532753682662757410263983137410,2713243975365391

3483186865271028366815746891361026133610836827575334758368913653
2639 34751365681868801313.

8.

31 14 10 69 53 28 53 26 53 14 22 53 45 14 34 77 53 77 31 47 31 67 53 93 47
84 26 10 47 84 77 90 93 28 34 45 84 10 93 67 28 53 26 67 31 67 37 26 34 31
67 14 58 17 53 53 47 67 97 77 10 31 10 14, 45 84 67 56 34 26 31 90 28 75 10
89 67 28 49 67 47 39 86 34 47 84 31 14 34 77 53 58 11 84 67 37 28 34 45 84
90 69 67 14 13 34 77 47 84 10 84 22 31 67 67 26 39 13 34 77 77 90 37 97 10
93 31 10 84 49 10 49 67 89 67-14 53 52 67 89 67 47 39 69 10 26 47 84 31 10
47 34 89 67 26 34 47 39 26 47 10 28 53, 11 49 67 77 67 28 53 45 34 47 49 53
28 56 67 84 34 77 17 53 10 14 67 28 53, 34 47 84 34 47 84 31 34 77 77 67,
47 97 67 14 67 84 90 28 97 10 56 10 47 67 28. 77 10 69 67 47 49 10 97 10 84
22, 45 84 67 56 26 53 11 84 67 28 67 77 31 67 31 47 34 77 34 53 28 34 14
31 31 53 69 39 26 67 47 47 53 58 47 34 34 31 34 45 77 90 28 11 49 67 77
67 28 53 45 34 47 49 53 28 69 34 24 53 17 53 84 67 28, 67 89 26 67 28 77 90
28 89 67 47 39 69 10 26 47 84 31 34 77 77 90 28 69 67 14 89 67 28 53 56 39
47 84 67 37 49 10 97 77 67 37. 14 34 77 53 77 56 26 53 47 28 10 84 26 53 31
10 14 47 70 49 75 31 34 37 17 10 26 53 53, 47 45 53 84 10 70 11 84 39 28
10 14 34 77 22 49 39 58 47 84 26 10 77 39 53 69 34 10 14 22 77 67 37 69 14
70 67 47 39 86 34 47 84 31 14 34 77 53 70 47 31 67 53 93 56 14 10 77 67 31
28 53 26 67 31 67 89 67 89 67 47 56 67 69 47 84 31 10. 26 10 47 56 67 14 67
13 34 77 77 10 70 31 17 34 77 84 26 34 34 31 26 67 56 90, 28 77 67 89 67 70
97 90 45 77 10 70, 67 56 39 84 10 31 75 10 70 47 31 67 53 28 53 97 67 14 67
84 90 28 53 86 39 56 10 14 22 17 10 28 53 31 34 47 22 28 53 26 45 34 26 34
97 28 34 13 69 39 77 10 26 67 69 77 39 58 47 53 47 84 34 28 39 52 10 77 49
67 31, 53 28 34 77 77 67 75 31 34 37 17 10 26 53 70, 56 67 97 10 28 90 47
14 39 31 67 13 69 70, 69 67 14 13 77 10 52 90 14 10 47 84 10 84 22 84 67
37 52 10 97 67 37, 67 84 49 39 69 10 26 34 31 67 14 58 17 53 70 77 10 45 77
34 84 56 67 52 34 69 77 90 37 28 10 26 75 56 67 31 47 34 37 34 31 26 67 56
34 , 56 26 67 52 53 31 10 70 47 34 52 34 69 67 26 67 89 39, 49 10 49 84 10
26 10 77 67 28, 84 90 47 70 45 10 28 53 84 67 77 77 75 31 34 37 17 10 26 47
49 67 89 67 97 67 14 67 84 10.

9.

1565567010947647715133945650281651337392507628155676175649517015
569250. 9276-
244986921643,47498449515047334928504794507656948616567062491556
76159276493176438650473351339650127651765650,509276-925676861643,
4749921624765147494733492486497324331550473317514947334750474962
4973514947
4776765694861656707351174749317651332549927626158149563324498649
92

4915563347504749317633125094563392769228504794502417567062335151
33
7647769212765176561643866528514926152476155149736510963362927615
568649
2876925047334962475040567656158149565110281643156562622849129450
94 763176-513328762486509250765694501250.
7349477031331540567631761581
4956506276311547336250567056765170947615506251494733473351333176
86
2865477692.926249155649157615516584509633623331761565735086155692
494747
7631762850479450281651331543925081494716157656866573473394339215
4943
9476626249868149159433433381501556471643285047947692155676513325
16.47
5073767656735056707376518447764962658449155692652486761556164386
651515
943343713347504715769216431551658450963343,8170333362494750,24762
8
7651705849268150155633,76155650513315702849129249155647166233.475
04376
7317157024767350864915567662332476739249863150171570241656945062
33
331273499250564951701556925062,7647337376947647255028768676513315
7012
5015761273509250496265107349151756335149563317623386651515946510
71334750
47157692651015331556496265,47764733767333477133475047153315569262
3386494749627684495651338147762486765633927615567617567092767686
658449
4747766265865012287610,768631504733127692504747766265475015506276
6292 161576947662317615657350861556924947477662658676924749.

10.

90 65 91 15 25 90 20 65 56 69 31 65 91 17 15 17 40 54 40 17 52 54 56 61 15
62 15 26 29 25 31 17 88 15 65 91 90, 13 15 91 20 91 15 52 29 40 90 88 31
65 49 90 91 40 54 40 65 12 88 40 56 62 15 26. 43 88 40 62 15 44 65 91 17 15
65 40 88 91 90 49 88 58 44 90 90 65 91 15 25 90 62 40 44 90, 52 31 25 15 29
15 91 15 44 90 34 56 62 90 29 90 29 15 44, 88 40 75 25 90 44 31 25, 75 15
62 40 71 31 91 17 40 44, 49 91 15 52 25 31 62 90 61 58 54 90 75 15-65 17
15 31 44 56 75 25 40 17 58, 15 91 88 15 65 20 90 65 91 15 25 90 84 62 15
61 54 40 65 91 90 90 65 62 56 65 65 91 17. 75 15 29 90 65 91 15 25 90 31 26
15 88 90 75 15 88 90 44 40 54 90 13 56 29 15 71 31 65 91 17 31 88 88 58 26

25 40 65 65 62 40 43 15 29 15 65 91 15 75 40 44 20 91 88 58 13 65 15 61 58
91 90 20 13 90 54 90 21 40 13. 43 40 29 40 49 40 90 65 91 15 25 90 62 40
65 15 65 91 15 20 54 40 56 88 90 13 17 91 15 44, 49 91 15 61 58 75 31 25
31 29 40 91 12 65 54 56 36 40 91 31 54 20 44 90 49 90 91 40 91 31 54 20 44
17 44 31 65 91 31 65 99 65 91 31 91 90 49 31 65 62 90 44 88 40 65 54 40 71
29 31 88 90 31 44 90 25 20 29 88 25 40 17 65 91 17 31 88 88 58 13 88 40 43
90 29 40 88 90 26. 91 31 71 31 21 31 54 90 75 25 31 65 54 31 29 15 17 40 54
15 90 90 65 62 56 65 65 91 17 15. 17 65 17 15 31 44 75 15 17 31 65 91 17
15 17 40 88 90 90 29 25 31 17 88 90 31 90 65 91 15 25 90 62 90 65 91 25 31
44 90 54 90 65 12 62 75 25 40 17 29 31 90 91 15 49 88 15 65 91 90, 88 15
65 91 25 15 52 15 26 15 61 33 31 62 91 90 17 88 15 26 44 31 25 62 90 90 65
91 90 88 58 56 88 90 13 88 31 65 56 69 31 65 91 17 15 17 40 54 15. 44 40
54 15 99 91 15 52 15, 40 88 91 90 49 88 58 26 90 65 91 15 25 90 62, 17 31
25 88 58 26 65 17 15 90 44 13 56 29 15 71 31 65 91 17 31 88 88 58 44 43 40
29 40 49 40 44, 65 49 90 91 40 54 17 15 43 44 15 71 88 58 44 56 62 25 40 36
40 91 12 75 15 17 31 65 91 17 15 17 40 88 90 31 65 15 43 88 40 91 31 54 12
88 58 44 17 58 44 58 65 54 15 44. 90 91 40 62, 88 40 75 31 25 17 58 13 75
15 25 40 13 90 65 91 15 25 90 20 15 75 25 31 29 31 54 20 31 91 65 20, 62 40
62 13 56 29 15 71 31 65 91 17 31 88 88 15-75 25 40 52 44 40 91 90 49 31 65
62 90 26 25 40 65 65 62 40 43 15 29 15 65 91 15 75 40 44 20 91 88 58 13 65
15 61 58 91 90 20 13 90 54 90 21 40 13.

11.

24 40 42 36 36 45 82 14 69 65 36 95 89 36 67 14 90 36 45 58 34 89 34 58 95
14 63 14 45 40 27 24 40 45 67 45 49 14 63 59 36 42 40 67 19, 25 14 95, 95
40 65 34 14 82 14 17 34 63 24 65 34, 65 36 14 63 59 36 42 65 34 45 67 34 82
58 65 36 67 45 49 45 67 36 25, 90 67 34 34 45 65 34 11 65 47 36 11 14 24
47 67 95 40 24 14 56 14 34 65 65 34 89 34 67 34 17 82 14 11 40 59 27 24 27
67 14 45 90 36 95 17 40 65 47. 63 40 17 40 45 47 65 36 18 67 14, 89 40 63
40, 27 89 82 49 65 36 59 36 45 58 34 65 36 90 65 47. 90 36 25 59 34 82 19
32 36 25 47 14 45 17 34 82 19 63 27 36 25 69 67 14 11 14 24 47 69 65 36 95
89 36 67 14 90 36 45 58 34 89 34 45 47 95 19 49, 67 36 25 25 36 65 19 32 36
14 70 34 45 67 40 36 67 45 49 14 67 36 25 24 34 95 34 42 36 45 58 40 42
24 47 25 24 65 36 25 34 65 14 65 40 25 34 59 70 34 24 49 67 45 49 . 65 36
45 25 34 67 95 49 65 40 67 34 , 90 67 34 58 34 82 14 90 36 45 67 11 34 95
40 63 11 36 24 40 65 65 47 70 63 40 17 40 45 34 11 65 36 58 34 67 34 95 47
70 69 65 36 95 89 36 67 14 90 36 45 58 14 70 95 36 45 27 95 45 34 11, 65 40
17 95 14 25 36 95, 65 36 18 67 14, 11 34 63 95 40 45 67 40 36 67, 17 36 95
36 24 90 36 82 34 11 36 90 36 45 67 11 34 25 27 42 36 45 36 89 34 24 65 49
11 45 67 40 36 67 63 40 24 40 90 40 34 45 11 34 36 65 14 49 65 36 14 45 90
36 95 17 40 36 25 47 70 14 45 67 34 90 65 14 58 34 11 69 65 36 95 89 14 14.

12.

82 36 45 65 47 36 17 34 42 40 95 47 25 34 89 27 67 11 34 63 65 14 58 65 27
67 19 17 34 90 67 14 11 82 30 59 34 36 11 95 36 25 49 89 34 24 40. 24 40
42 36 11 34 11 95 36 25 49 34 45 36 65 65 14 70 24 34 42 24 36 73 - 34 67
25 34 82 65 14 14. 45 47 95 34 73 82 36 45 65 36 59 27 24 36 67 89 34 95
36 67 19 67 40 58, 58 40 58 45 27 70 34 73, 65 34 34 65 59 27 24 36 67 89
34 95 36 67 19. 34 24 65 40 58 34, 14 65 67 36 65 45 14 11 65 34 45 67 19 67
40 58 14 70 82 36 45 65 47 70 17 34 42 40 95 34 11, 58 40 58 17 95 40 11 14
82 34, 34 90 36 65 19 25 40 82 40, 67 40 58 14 36 17 34 42 40 95 47 65 36
17 95 36 24 45 67 40 11 82 49 30 67 59 34 82 19 32 34 73 34 17 40 45 65 34
45 67 14. 34 65 14 27 25 36 65 19 32 40 30 67 58 34 82 14 90 36 45 67 11 34
65 40 58 34 17 82 36 65 65 34 89 34 67 34 17 82 14 11 40 14, 45 82 36 24 34
11 40 67 36 82 19 65 34, 11 65 36 58 34 67 34 95 34 25 45 25 47 45 82 36 17
95 36 24 34 67 11 95 40 23 40 30 67 59 34 82 36 36 34 17 40 45 65 47 36, 14
65 67 36 65 45 14 11 65 47 36 17 34 42 40 95 47. 45 52 67 34 73 56 36 82 19
30 90 40 45 67 34 17 82 40 65 14 95 27 30 67 14 45 58 27 45 45 67 11 36 65
65 47 36 17 34 42 40 95 47, 58 34 67 34 95 47 36 17 95 14 24 34 82 42 65 34
25 58 34 65 67 95 34 82 36 49 11 82 49 30 67 45 49 52 18 18 36 58 67 14 11
65 47 25 45 95 36 24 45 67 11 34 25 17 95 36 24 34 67 11 95 40 23 36 65 14
49 45 14 82 19 65 47 70 17 34 42 40 95 34 11.

13.

75 37 46 48 55 12 32 52 99 61, 99 20-20 55 52 32 25 55 60 52 46 91 32 25 52
46 78 46 63 55 25 55 75 57 32 25 55 46 37 55 11 75 46 60 60 57 32 28 32 52
99 32 37 15 63 46 78 46 67 32 25 99 46 11 55 57 25 15 11 52 46 46 74 32 52
99 57 39 29 70 70 32 75 57 57 55 75 46 78 46 11 46 48 11 41 52 55 46 37 52
46 60 32 91 32 57 32 46 25 46 12 46 78 99 28 32 37 75 99 63 11 55 52 52 19
63. 46 11 52 55 75 46 37 15 45 32 37 57 60 15 61 57 67 25 46 37 57 19 32 37
67 46 37 46 30 19 46 67 25 32 11 32 12 32 52 99 41 46 75 46 52 28 55 52 99
41 75 25 99 57 99 28 32 37 75 46 36 46 67 55 37 52 46 37 57 99 67 46 48 55
25 55. 32 37 12 99 67 46 37 12 32 11 46 48 11 41 25 55 37 63 46 11 60 46
11 19 60 46 37 37 57 55 52 55 60 12 99 60 55 32 57 37 41 99 15 30 19 60 55
32 57 37 46 30 19 28 52 46 36 37 75 46 25 46 37 57 39 61, 57 46 52 32 67
46 37 25 32 11 37 57 60 32 52 52 55 41 15 78 25 46 20 55 30 46 12 39 18 46
78 46 67 46 48 55 25 55 91 99 52 46 60 55 12 55. 75 25 15 57 46 36 37 67 55
11 99 60 46 20 60 25 55 57 75 60 32 12 99 28 99 52 32 37 57 46 75 55 11
46 11 46 48 11 41 46 20 52 55 28 55 32 57, 28 57 46 11 46 48 11 39 52 32
11 55 12 25 32 20 15 12 39 57 55 57 46 60. 99 37 67 46 12 39 20 46 60 55 52
99 32 91 55 57 32 91 55 57 99 28 32 37 75 99 63 67 25 99 32 91 46 60 55 52
55 12 99 20 55 15 37 12 46 60 99 36 60 46 20 52 99 75 52 46 60 32 52 99 41
67 46 48 55 25 46 60 30 32 37 37 67 46 25 52 46 67 46 60 19 37 99 57 57 46
28 52 46 37 57 39 67 25 46 78 52 46 37 57 99 28 32 37 75 46 36 91 46 11 32
12 99. 52 46 99 67 25 32 11 12 55 78 55 32 91 19 36 91 32 57 46 11 67 25
46 78 52 46 20 55 67 25 99 60 12 32 75 55 57 32 12 32 52 37 60 46 32 36 67

25 46 37 57 46 57 46 36 99 41 37 52 46 37 57 39 61 99 91 46 48 32 57 30 19
57 39 25 32 55 12 99 20 46 60 55 52 37 67 46 91 46 45 39 61 52 32 37 12 46
48 52 46 36 75 46 91 67 39 61 57 32 25 52 46 36 57 32 63 52 99 75 99.

14.

1146127846326025329141326025466732363775996367155732183237576032
5252997546 606037572574527463604637574675746746257448741299,6046-
673225601963, 3032115246375739527425461174,6046-
605746251963,6719185246375739, 37
46671557375760156193744148992052992052745799,60-
57253257399963,6732
37572546577460463757462852467846307420742574.75465257257437571930
321152
4637579999304678745737576074326025466732365519523225321175464630
424137
5241129952324832127452993291463752466052463691743737195274373212
32529941
99525732523799605246572515119957393741,67253211674628573252993291
257430
465732114637157874.1657465760207812411167466032256352463757325299
52
325746283252.5274377491469111321232,52746046375746753299201125326
0
12325532529912374157251511,52467546527525325752193657251511917437
57
322574,67254640323737994652741274.5232371215287436524660463757462
85219
3278462546117460466037329191992532371274609912993739672546992060
4611
99911991605299634074254046254691,183212754691,46251548993291.5246
57251511604699914152747546671232529936,75465746251932914648524699
3767461239204660745739111241674637123211156193327846257437189925
32529941
37604632784611321274,57747555325299911936207467741152199146309332
3757
604691,5232674646932541123741,74523225321175469946371548117412374
1 527460463757467532.52741657466746601299411299523257461239754625
321299789946205219325532525246375799,5246996725321137577460123252
9932
46304678745737576032757475674637574641525246366032129928995232.20
5274
289957,3237129946119952301511325737572532919957393741674612152899
5739

304612391832,1125157846911552329920303248524611463757745232573741
9132 52391832.

15.

45 74 54 31 10 26 38 23 74, 86 74 54 25 89 26 38 16 74 74 75 16 45 56 90
25 86 90 75 90 10 26 16 74 23 56 86 75 45 16 75 74 95 10 13 31 95 10 51 74
16 89 74, 36 75 95 75 59 36 74 95 74 91 75 31 89 90 23 74 74 90 36 95 89 26
89 90 83 13 26 75 25 86 89 - 75 86 86 75 47 75, 45 86 75 75 16 89 45 74 86
90 74 95 75 25 56 86 75 33, 75 29 95 10 86 89 90 23 89 25 38 90 13 95 74 16
89 74 89 25 26 56 91, 86 75 95 45 10 26 89 90 45 10 19 75 29 74, 33 10 33
31 89 33 89 74 75 29 74 13 38 42 16 83 89 13 29 95 10 13 89 26 89 89, 75 86
86 75 47 75, 45 86 75 36 75 31 90 74 95 16 56 26 25 42 86 56 36 75 46 33 10
46 54 10 16, 25 75 31 89 16 10 33 75 90 83 54 56 25 74 95 31 89 74 54 16 10
36 10 31 10 90 23 89 46 89 16 10 26 74 25 16 56 59 25 90 89 16 38 59, 89
16 10 75 86 26 89 45 16 75 47 75 36 10 95 16 42 25 31 95 56 47 75 47 75 33
75 16 86 89 16 74 16 86 10. 10 90 21 86 75 90 95 74 54 42 86 74, 16 10 29
10 13 74, 51 89 26 89 90 25 90 75 74 56 31 75 90 75 26 38 25 86 90 89 74,
25 36 10 26 89 16 10 45 89 25 86 74 16 38 33 89 91 36 95 75 25 86 83 16 33
10 91 90 33 75 16 31 89 17 89 75 16 89 95 75 90 10 16 16 75 46 36 95 75 91
26 10 31 74, 36 95 89 16 89 54 10 26 89 31 56 23, 51 95 10 26 89 16 10 13
10 90 86 95 10 33 67 95 56 33 86 83, 31 51 74 54 89 29 89 67 23 86 74 33 25
83 90 86 95 89 36 10 26 38 17 10 86 75 26 19 89 16 75 46 - 89 75 33 16 10
86 10 33 56 59 86 16 75 25 90 74 86 89 26 89 25 38, 89 54 56 13 83 33 10
89 47 95 10 26 10, 89 67 56 86 29 75 26 36 75 86 74 26 74 90 89 13 75 95
56. 16 89 45 74 47 75 90 21 86 75 46 13 26 75 25 86 89 16 74 29 83 26 75
36 26 75 91 75 47 75, 16 10 75 29 75 95 75 86 - 86 10 33 75 46 16 10 25 86
95 75 46 33 10 33 95 10 13 89 36 95 89 31 10 74 86 29 75 74 90 75 47 75
33 56 95 10 51 10. 10 36 75 86 75 54 36 95 89 23 74 26 33 75 16 74 17 89
36 75 25 86 75 95 75 16 16 89 54 54 83 25 26 42 54 89 29 74 13 31 74 26 38
59. 54 75 95 25 33 75 46 13 54 74 46 16 10 33 75 16 74 17-86 75 36 75 31 10
26 13 16 10 33, 33 75 86 75 95 75 47 75 75 16 89 51 31 10 26 89 45 74 86
90 74 95 75 25 56 86 75 33, 89 21 86 75 29 83 26 75 25 26 75 90 16 75 54
74 31 16 83 46 95 74 90 29 75 74 90 75 46 86 95 56 29 83, 21 86 75 75 13
16 10 45 10 26 75, 45 86 75 16 10 45 10 26 10 25 38 95 10 29 75 86 83, 89
16 89 45 74 47 75 56 51 74 16 74 89 13 54 74 16 89 86 38, 16 74 75 25 86
10 16 75 90 89 86 38, 16 74 36 74 95 74 89 47 95 10 86 38.

16.

15 67 51 41 53 22 75 53 75 22 65 93 22 39 44 22 90 22 93 51 67, 44 22 86
49 39 51 44 58 67 22 67 67 49 86 94 93 51 62 94 67 44 49 67 22 14 90 22
75 51 44 51 75 49 26 78 94 67 72 39 . 94 39 44 22 90 22 22 86 22 93 22 44
51 90 22 44 49 75 22 27 88 53 22 78 72 11 49 93 22. 53 22 27 22 14 27 88 67,
53 22 15 39 22 67 75 30 67, 53 22 27 88 39 49 20 67, 86 49 35 44 88 67 90 22

93 22 11 22 14 94 94 27 88 67 11 22 15 11 22 30 15 94. 78 72 93 44 49 67
22 14 90 22 75 51 94 30 22 27 44 49 62 27 72. 35 67 22-67 22 88 39 51 44
30 78 72 93 49 44 51 15 53 22 86 22 14 44 49 15 22 11 51 15 67 58, 53 93 22
41 22 51 44 49 15 67 75 22 51 44 94 51. 49 35 67 22, - 27 88 39 49 20, - 27
49 14-86 49 30 53 22 86 49 39 44 20 15 67 88 86 44 88 94 44 49 35 44 88
62 94 67 58 15 44 49 35 49 93 49! 22 27 44 49 86 22 53 22 15 67 22 30 93-53
22 15 67 22 30 93 94 11 22 11 75 51 39 30 22 27 88 39 49 93 15 30 . 45-45!
- 27 88 39 49 20, 15 86 49 62 88 67, 88 11 94 27 49 11 39 51 44 30 53 22 39
22 93 22 27 51 11 65 94 39, 15 22 15 51 27 94. - 11 22 67 94 27 51 67 39 22
93 22 27 22 14 27 88 75 49 86! 44 51 15 88 39 51 93 22 44, 11 94 27 44 22,
22 27 44 88 62 94 26 44 58 53 75 22 62 94 67 58 67 49 86, 86 49 86 44 49
27 22, 44 51 75 49 26 90 93 30 27 51 93 15 11 22 51 90 22 15 35 49 15 67 58
30 94 67 51 53 51 75 58 41 22 35 51 67 67 22 62 51 44 49 35 94 44 49 67
58 15 44 49 35 49 93 49.

17.

4667238040926940999540,956746677014311814102567554046277058874010
77

3892956787806718701487,25678027874010:696746928058463858106769589
5,

9567466770143167385855773969671867805567876723821058394655274677
8758 55179570402592696731.556767552567434010581087585517.804031-
9540

4658255870771758236725674340105836926958705527588727876710678067
39 4677,384667181467555558954099101710,555882706787401092555880 14
99 40 10 46 40 95 46 17 43 95 67. 69 67 46 39 95 40 95 92 87 92 82 67 70
67 99 92 87 92 87 14 39 10 17 87 92 25 67 80 67 99 58 10 95 39 46 40 70 92
95 27 18 10 40 23 67 70 67 80 55 14 31 92 69 40 99 95 40 92 25 70 17 87 67
67 18 50 17 39 55 92 10 58 87 27, 69 38 58 87 80 58 10 67. 39 46 40 70 92
95 39 27 70 67 69 67 25 67 18 10 40 23 67 80 40 70 92 10 92 69 40 99 95 27,
55 67 27 31 46 92 39 95 40 70 40 27 10 40 55 40 18 67 10 67 46 67 67 46
95 40 13 40 10 39 17, 25 67 46 67 87 27 38 46 67 18 14 10 92 58 62 58 55
40 39 69 58 46 58 46 40 95 92 58 10 36 80 92, 95 67 46 67 70 14 58, 67 38
58 55 77 25 70 67 39 46 67, 87 67 23 10 92 18 14 13 40 71 46 67 69 70 58
87 17 95 67 10 82 67 13 55 14 31 39 40 80 67 46 45 70 27 95 46 67 69 67 38
92 39 46 92 46 77. 92 39 46 40 70 92 95 25 70 92 95 40 13 40 10 92 69 40 99
95 58, 38 46 67 18 14 46 67 46 39 40 87 69 14 69 67 10 67 95 95 40 87 58
55 77 92 13 18 67 10 67 46 40 69 23 67 70 27. 40 67 55 25 67 46 67 87 25
70 92 80 58 46 46 27 80 40 55 58 55 40 80 67 10 23 67 92 38 58 87-55 92 18
27 80 77 39 95 67 70 58 55 77 95 67 25 67 95 40 87 55 36 39 46 27 95 55 58
46. 67 38 58 55 77 67 23 67 70 38 92 10 92 69 40 99 95 27 46 40 95 67 31
25 67 69 67 70 67 46 80 58 10 40. 55 67 70 40 39 39 58 70 80 92 46 77 39 46
40 70 92 95 40 67 46 95 40 13 67 87 67 55 55 58 70 58 99 92 10 39 17. 55

40 39 10 58 80 27 36 62 58 58 27 46 70 67, 13 40 82 69 40 46 92 69 95 70 58
25 95 92 31 87 58 99 67 95 92 82 67 10 62 67 69 14 58 70 27 95 40 69 92 24
14, 38 46 67 18 14 55 58 67 18 43 58 38 77 67 95 40 87 58 55 77 70 27 95
92, 67 46 25 70 40 69 92 10 39 17 92 69 40 99 95 40 55 40 18 67 10 67 46
67.

18.

67 58 26 19 88 23 32 37 15 23 90 63 71 46 63 26-63 26 58 24 63 23 37 32 95
67 63 15 32 88 58 26 - 67 26 58 67 41 16 24 90 63 52 30 24 49 63 26 88 26
37 23 38 23 16 67 58 23 90 26 41 90 63 68 24 58 58 26 76 85 15 67 76 24 15
24. 19 26 15 23 38 88 26 63 15 32 88 58 24 24 90 88 24 16 23 63 71 63 23
37, 46 63 26 41 54 37 15 23 95 67 67 58 24 38 23 76 24 63 67 16 67 68 26
68 90 24, 67 58 23 46 24 37 63 26-63 26 58 24 19 16 32 85 54 44 26 46 24 58
71 41 54 90 63 15 26 90 88 24 16 23 24 63 90 26 26 63 68 24 63 90 63 68 32
11 30 67 24 68 54 68 26 88 54 67 24 30 24, 46 24 19 26 88 26 41 15 26 19
26, 85 15 67 76 24 63 90 52 37 16 24 68 24 63 23 63 71, 68 15 23 95 67 58 23
67 88 24 26 16 26 19 67 46 24 90 37 23 52, 85 32 90 63 71 88 23 95 24 32 58
24 19 26 67 58 24 41 32 88 24 63 88 26 37 23 38 23 63 24 16 71 90 63 68,
58 26 37 46 24 76 32 58 23 76 16 67 83 58 52 52 37 16 24 68 24 63 23. 63
26-63 26. 49 63 26 63 56 67 58 23 16 85 26 38 68 26 16 52 16 26 88 58 67 76
76 23 73 26 76 15 24 83 67 63 71 58 24 90 37 26 16 71 37 26 38 23 88 23 46.
58 24 41 54 16 26 58 67 37 23 37 26 44 37 15 23 95 67, 90 26 68 24 15 83 24
58 58 26 44 73 68 23 63 37 67 76 67 63 15 24 58 67 15 26 68 23 58 58 54 76
67 15 24 41 52 63 23 76 67 - 85 15 26 90 63 26-58 23 85 15 26 90 63 26 26
37 15 24 90 63 58 54 24 85 23 15 63 67 38 23 58 54, 88 23 68 58 54 76-88 23
68 58 26 19 15 26 38 67 68 83 67 24 88 26 41 15 23 63 71 90 52 68 90 24 95
24 88 26 26 85 16 26 63 23 67 76 85 24 15 67 23 16 67 38 76 23, 90 67 15 24
46 71 88 23 58 58 26 44 41 23 38 54, 90 68 26 11 32 19 15 26 38 32 68 37
26 58 29 24 37 26 58 29 26 68 68 54 85 26 16 58 67 16 67. 58 23 19 15 52 58
32 16 67 58 26 46 58 26 44 85 26 15 26 44, 85 26 15 24 38 23 16 67 37 26 16
11 46 37 32, 85 15 26 58 67 37 16 67 58 23 41 23 38 32 85 26 88 85 26 37
15 26 68 26 76 76 15 23 37 23, 38 23 16 26 95 67 16 67 90 85 26 16 88 11 95
67 58 54 76 67 58, 85 26 90 63 15 24 16 52 16 67 67 38 19 15 23 58 23 63 26
76 24 63 26 68 67, 90 85 15 23 68 24 88 16 67 68 26 15 24 83 67 68, 46 63
26 88 26 90 63 23 63 26 46 58 26 58 23 85 23 37 26 90 63 67 16 67, 38 16 26
15 23 88 58 26 85 26 16 11 41 26 68 23 16 67 90 71 88 24 16 26 76 15 32 37
90 68 26 67 73 67 32 41 15 23 16 67 90 71 68 26 90 68 26 52 90 67 41 24 38
76 23 16 24 44 83 24 19 26 88 16 52 90 24 41 52 32 15 26 58 23.

19.

969030967167715585718530161896903771558520-
60621652921662551624621996 90301471867155 85 20 52 85 25 24 71 92 71
94,39169614859658458685738530161896903771 55 85

71,621671246219251692852271246234165285252471927194559030904990
 5555161416629671302571.165516853014719620716224203462162225907355
 90
 4945941485309049907162242052968524163049905585858530161896903771
 5585
 2034119690398522712425161496714990256216967185928524521614168619
 45
 24259055719690.30559022715585719690309671677155852085301618969037
 71558520
 7396905585622420343990949271853016189690377155852085557196903096
 8934
 55162434203090551624711116398530852271242585149690301471961614.39
 85
 3085227124258594969030147196853016189690377155852016528524893490
 71623985 3085227124258571119018909685628985 30 16 18 96 90 37 71 55
 85 20,62167124621971
 111634892416625885678596855558.3985308522712425859496903014719614
 16
 37716285301471962062192420259025345285252471922073,629025853471
 49855854690734992855589:14 85 92 92 85 14 71 62 96 90
 73,2490556285147162969073,
 494594149073.1655309049907162242052968524163049905585858530161896
 90
 377155852085739690558562242034147124627124399094921614.7124928585
 3016189690377155857111166216342062499220497114165524629690468585
 559060
 2596905571,6216711116678596855558853489241662583090499045623452
 85 25 24 71 92 20
 73,22621618893055906219,25902558452290246219602596905590
 1655163090558514907162.712492858530161896903771558571111662163420
 62
 499220527122906285,6216711116969030147196309049904562347149855585
 4690734992855589,22621618893055906219,259025584522902462199285246
 2 90185814901185165516309094147162.

20.

58 47 74 66 91 45 85 28 91 11 33 29 74 28 91 11 12 11 68 66 43 31 23 29
 11 85 55. 58 29 74 96 74 50 61 58 16 74 16 85 47 88 11 91 23 33 31 74 96
 74 79 28 11 33 47 28 11 88 35 55. 58 45 23 16 66 43 55 11 47 28 29 74 12 61
 31 85 96 85 29 43 91 91 23 49 16 66 85 55 85 91 61 47 74 31 29 74 96 11 91
 11 35 66 58 45 35 58 47 35 66 58 45 23 91 11 31 29 74 96 53 33 23 68 11
 21 55. 11 91 11 33 47 74 29 47 85 33 91 85 29 85 47 85 66 74 . - 88 55 74
 79! - 68 74 29 74 96 21 43 47 29 85 55 66 11 91 85. - 47 28 96 23 53 58 91

11 47 47 55 74 50 74 49 29 88 85 96 11 47 74 68 91 11 66 58 . 50 11 91 28
35 58 12 - 16 74 31 28 85 96 74 47 58 91 11 35 91 11 47 91 85 31 11 29 91
74 74 55 91 43 66 58. 12 11 28 11 28 35 21 - 55 74 68 74 66 35 50 35 21 88
11 53 28 35 91 11 16 96 11 47 91 74 29 23 96 35 68 11 66 58. 96 11 12 29 85
79 85 38 55 74 26 74 96 74 53 11 43 79 58 12 91 61 . - 28 74 91 85 88 91 74,
- 68 74 29 74 96 58 55 47 29 85 55 66 11 91 11, - 79 58 12 91 61 47 74 29
47 85 33 16 66 74 26 11 43 . - 11 31 11 29 11 49-28 11, 47 29 85 55 66 11
91 11, 91 11 31 85 91 61 55 23 47 29 74 85 96 74 12 74 29 74 85 16 66 11
55 61 85. 29 74 12 61 33 85 33 33 23 58 12-12 11 16 85 88 28 58 33 74 21
16 74 26 74 31 91 35 21 47 35 33 28 35, 16 74 66 74 79 58 33 55 35 31 11 55
29 74 85 43 50 66 74 28 74, 33 74 49 55 11 50 11 28, 47 16 58 88 28 58, 91
74 79, 50 35 66 28 35 58 35 49 31 85 33 58 12 38 55 74 68 74 31 74 33 11
28 35 31 11 68 66 11 12 11 68 66 43 31 43 55.

21.

29 37 11 90 28 40 20 58, 65 58 75 75 35 11 40 28 29 11 61 54 35, 65 58 75
28 40 11 77 75 52 75 61 20 15 84 54 46 75 52 54 58 37 80 15 75 65 58 54 58
84 54 65 11 58 29 11 84 58 54 15 75 29 11 84 46 28 75 37 58 54 90 11 13 28
75 77 75 72 40 84 40. 33 75 61 11 11 15 75 61 75 29 54 28 49 33 54 75 61 75
77 54 65 11 37 35 75 41 15 54 84 40 13 54 52 49, 35 75 58 75 84 18 20 29 11
28 65 40 11 58 65 11 61 75 29 11 35, 37 75 37 58 40 29 61 80 20 58 13 75 84
37 35 54 11 75 84 77 40 28 54 90 13 49. 11 37 61 54 75 28 54 15 75 77 54 33
28 18 58, 15 54 84 40 13 54 52 40 75 33 84 18 72 54 58 37 80, 54 37 65 11 90
28 11 58 75 37 28 75 29 40 29 37 80 35 75 41 82 54 90 28 54 28 40 37 18 72
11 54 29 29 75 90 52 18 46 11. 29 37 11 13 49 90 28 40 11 13, 65 58 75 65
11 61 75 29 11 35 65 11 84 15 40 11 58 28 11 13 40 61 18 20 65 40 37 58 67
37 29 75 11 41 15 54 23 54 28 11 15 75 37 84 11 52 37 58 29 11 28 28 75 54
90 75 35 11 40 28 40. 13 75 82 11 58 33 49 58 67, 35 40 35 75 11-58 75 29
84 11 13 80 13 49 11 23 11 15 84 75 52 11 84 82 54 13 37 80 33 11 90 52 75
37 58 40 58 75 65 28 75 77 75 35 75 61 54 65 11 37 58 29 40 15 54 23 54. 28
75 33 11 90 29 75 90 52 18 46 40 13 49 28 11 13 75 82 11 13 82 54 58 67.
75 58 77 75 61 75 52 40 18 13 54 84 40 20 58 65 11 84 11 90 28 11 52 11 61
20 - 52 29 11, 75 58 82 40 82 52 49 - 65 11 84 11 90 52 11 28 67 - 52 84 18
77 75 41, 33 11 90 29 75 90 52 18 46 40 65 11 61 75 29 11 35 90 40 52 49 46
40 11 58 37 80 29 28 11 37 35 75 61 67 35 75 37 11 35 18 28 52. 11 37 61 54
13 49 15 75 77 18 33 54 13 13 75 84 37 35 75 41 15 61 40 28 35 58 75 28, 90
40 15 40 37 49 52 75 37 58 18 15 28 75 77 75 82 54 29 75 58 28 49 13 54 65
11 61 75 29 11 35 18 35 54 37 61 75 84 75 52 40 37 75 35 84 40 58 80 58 37
80 33 75 61 67 72 11 65 11 13 28 40 15 75 61 75 29 54 28 18. 75 15 40 37 28
75 37 58 67 18 37 18 77 18 33 61 80 11 58 37 80 58 11 13, 65 58 75 15 61 75
23 40 52 67 61 11 37 75 29 54 90 11 61 11 28 49 46 18 77 75 52 54 41 33 49
37 58 84 75 37 75 35 84 40 23 40 11 58 37 80. 58 40 13, 77 52 11 15 84 11
82 52 11 33 49 61 40 15 61 75 52 75 84 75 52 28 40 80 15 75 65 29 40, 58 11

15 11 84 67 15 84 75 37 58 54 84 40 11 58 37 80 40 37 92 40 61 67 58, 33 11 58 75 28, 15 11 37 65 40 28 49 11 52 20 28 49.

22.

56 96 31 57 87 37 56 75 84 77 87 24 96 73 68 75, 56 75 50 37 16 42 68 77, 77 20 73 37 37 49 56 77 39 77 87 37, 39 73 37 12 84 96 16 91 64 56 91 87 37. 75 56 84 73 16 91 68 94 75 75 31 57 87 75 44 16 37 84 73 57 75 56 96 49 77 73 96 14 87 75 12 57: 96 84 87 75 56 77 44 37 28 37 68 37 56 56 75 68 96 56 96 73 56 75 50 37 16 42 68 77, 56 75 84 77 87 24 96 73 68 75, 96 84 87 75 73 77 26 73 37 87 41 68 37 84 77 87 24 96 73 68 77 31 96 49 50 37 16 42 68 77 75 87 75 50 37 16 42 37 68 31 96 49 84 77 87 24 96 73 68 75 - 56 96 73 37 39 73 37 56 96 12 64 37 28 75 73 41, 56 37 28 77 35 96 56 96 44 16 75 31 87 75 35 77 73 41 84 61. 12 84 96 44 16 96 35 56 75 96 16 77 84 68 87 77 28 57 87 96 73 61 73 68 39 96 16 73 91, 12 35 75 49 56 41 84 87 96 28 91 96 73 56 96 26 96 28 87 96 56 56 37 44 16 96 73 12 37 16 61 73 41 49 77 44 77 84 56 37 14 12 77 16 75 77 56 73. 56 91 35 56 37 68 77 68 26 37 35 56 37 31 57 84 73 16 96 96 37 73 84 82 28 77 84 26 77 73 57 12 77 73 41 84 61, 91 31 75 16 77 73 41 84 61 68 39 96 16 73 37 12 37 14 26 77 73 96 16 75 75 49 50 37 16 37 28 68 77, 12 84 73 91 44 77 96 73 12 84 75 87 91 49 77 44 77 84 56 37 14 12 77 16 75 77 56 73 37 73 64 37 28 77. 12 96 84 41 37 68 16 91 35 77 82 22 75 14 26 75 16 12 56 96 49 77 44 56 37 84 73 77 87 56 96 44 16 37 84 73 37 39 91 35 75 26 - 12 16 77 35 28 96 31 56 57 26. 44 37 28 37 49 16 96 12 77 73 41 84 87 96 28 37 12 77 87 37 12 84 96 64 75 12 84 61. 44 41 82 22 75 64 44 75 12 37 84 37 87 28 77 73 75 68 37 12 - 12 73 37 26, 39 73 37 37 56 75 56 96 84 37 87 28 77 73 75 68 75 12 37 12 84 96, 77 50 16 91 44 44 77 49 77 64 12 77 73 77 75 49 12 37 96 56 56 37 14 68 37 56 73 16 16 77 49 12 96 28 68 75, 44 16 96 84 73 77 16 96 87 37 50 37 50 37 84 73 75 56 75 39 56 37 50 37 64 26 57 16 61 - 12 73 37 26, 39 73 37 37 56 12 37 12 84 96 56 96 44 37 16 73 41 96 75 87 75 12 87 77 28 96 87 96 94, 75 87 75 73 37 75 28 16 91 50 37 96 12 37 28 56 37 26 87 75 94 96, 77 44 37 87 68 37 12 56 75 68 49 28 96 42 56 96 14 73 77 14 56 37 14 44 37 87 75 94 75 75. 12 84 96 12 37 49 26 37 35 56 37, 68 37 50 28 77 91 84 87 37 12 87 96 56 56 37 50 37 84 75 50 56 77 87 77 56 96 73 56 77 91 84 87 37 12 87 96 56 56 37 26 26 96 84 73 96.

23.

17 31 10 28 39 25 97 69 66 51 66 49 25 - 39 10 39-47 64 39 10 39 88 24 58 66 24 72 24 47 24 85 10 39 66 47 22 64 88 66 75 35, 58 10 39 64 42 66 22 24 58 75 79 64 75 39 25 69 10 58 35 75 79 17 28 24 39 24 64 88 64 17 66 85 24 28 24, 64 88 64, 58 66 51 66 88 25 22 44 24, 66 58 69 28 10 17 64 58 35 75 79 39 74 66 28 97. 24 75 88 64 17 66 49 66 24 74 10 69 66 49 28 25 39 66 15 47 24 58, 74 66 31 47 66 69 66 69 28 66 75 58 25 69 28 64 47 79 58 35 69 28 66 42 88 10 49 47 25 97 17 10 47 47 25. 17 66 49 47 62 24 69 28 66

53 24 49 25 28 62 69 66 28 66 15 49 66 28 66 51 66 66 80 42 66 49 79 58 75
79 74 66 80 64 88 35 47 62 74 58 24 88 24 12 66 47 10 74. 75 58 66 64 58 17
88 10 51 24 69 66 69 10 75 58 35 69 66 49 39 66 28 69 25 75 - 64 69 64 44
64 69 28 66 69 10 88 66. 49 88 79 37 58 66 51 66 17 66 17 75 24 47 24 47
25 31 47 66 47 62 28 79 58 35 75 74 66 80 64 88 35 47 62 74 58 24 88 24 12
66 47 66 74 17 69 25 22 64 47 62 51 66 88 25 80 62 24. 49 66 75 58 10 58 66
22 47 66 75 88 25 22 10 15 47 66 69 28 66 88 64 58 35 74 64 47 24 28 10 88
39 64 64 88 64 25 28 66 47 64 58 35 24 51 66 17 47 10 80 24 51 10 97 72 25
97 47 10 80 24 28 24 51 17 66 88 47 25. 75 69 66 75 66 80 66 17 25 58 66
69 64 58 35 74 66 80 64 88 35 47 62 15 47 24 74 10 88 66, 10 17 62 42 66 49
66 49 64 47 - 66 80 85 10 17 24 75 58 64 75 35 17 66 49 66 47 24 69 28 66 47
64 53 10 24 74 66 15 85 10 72 64 58 66 15, 80 88 10 51 66 69 28 66 64 85 17
66 49 64 58 24 88 64 28 24 51 25 88 79 28 47 66 75 66 85 49 10 97 58 88 97
80 66 69 62 58 47 62 24 28 10 85 28 10 80 66 58 39 64. 17 66 49 66 47 24 69
28 66 47 64 53 10 24 74 62 74 74 66 31 24 58 80 62 58 35 47 24 58 66 88 35
39 66 74 66 80 64 88 35 47 66 24 25 75 58 28 66 15 75 58 17 66, 47 66 64
22 24 42 66 88 49 88 79 47 24 51 66.

24.

97 16 36 26 11 45 75 19 14 26 41, 47 95 16 30 95 16 14 86 95 11 93 71 95 97
54 95 29 95 54 95, 29 95 29 21 86 36 52 83 75 95 54 36 24 95 26 86 36, 97
36 86 36 47 45 24 86 36 97 16 36 26 11 45 54 95 26 41 26 97 16 93 49 24 45
75 26 86 75 14 93 47, 24 86 36 26 93 30 36 49 11 61 11 95 29 36 11 93 56 24
86 36-86 36 97 16 36 14 71 36 89 49 93 86. 36 37 45 86 14 75 21 86 36 97 16
93 49 24 45 75 26 86 75 14 93, 36 11 95 26 86 95 54 95 93 30 36 97 36 49 36
30 16 93 75 95 86 41 14 16 95 26 86 14 86 41 75 26 75 36 93 89 49 45 19
93, 36 97 95 26 95 61 26 41, 24 86 36 52 83 36 11 36 93 93 11 93 97 36 29
14 11 45 54 36. - 61 75 93 16 45 98! - 19 93 97 86 95 54 95 47 95 16 30 95
16 14 86 95 86 36 16 33 93 26 86 75 93 11 11 36, - 61 75 93 16 45 98! 24 86
36-86 36 97 16 36 14 71 36 89 49 93 86! 11 93 47 36 33 93 86 11 93 97 16
36 14 71 36 89 86 14, 97 36 86 36 47 45 24 86 36 71 95 24 86 36 33 93, 75
26 95 47 36 47 49 93 54 93, 47 11 93 97 36 26 54 95 11 95 97 36 33 14 71 11
93 11 11 95 61 47 45 29 95. 26 36 71 11 95 98 26 41 75 86 36 47, 24 86 36
61 54 30 95 54 95 14 36 52 47 95 11 83 75 95 54 95 14 33 14 54 95 86 95
89 11 36 89 33 14 71 11 41 98, 26 29 16 83 86 36 89 36 86 54 98 49 93 89,
11 36 75 26 93 33 93 11 93 54 41 71 61 71 95 21 86 36 11 95 29 95 71 83
75 95 86 41 86 95 29 33 93 26 86 36 29 36. 24 86 36-86 36 26 54 45 24 14 86
26 61 11 93 97 16 93 47 93 11 11 36, 97 36 86 36 47 45 24 86 36 11 93 52
83 75 95 93 86 86 95 29, 24 86 36 52 83 24 86 36-11 14 52 45 49 41 86 61 11
45 54 36 26 41 75 93 24 11 36. 95 29 16 36 47 93 86 36 30 36, 26 36 11 47
36 89 52 83 54 75 93 37 14 89, 71 95 21 86 36 61 16 45 24 95 98 26 41.

25.

17 40 76 37 82 42 78 75 33 17 16 16 50 16 17 51 13 64 33 72 82 72 82 84 40
94 82 28 94 42 13 33 17 17 58 50 17 82 51 42 28 51 25 82 50 82 28 69 40 13
33 46 94 78 17 33 42 82 46 34 25 82 13 40 64 76 82 25 82 37 17 58 91 94 46
51 72 40, 17 82 16 50 17 82 72 16 33 33 72 82 84 37 51 69 34 78, 25 82 46
46 33 72 16 16 84 33 13 51 64 25 40. 16 13 25 40 75 84 82 50 94 46 51 38
40 33 76 82 25 51 76 25 33 50 82 28 16 46 34 17 82 72 82 25 82 50 76 34 61
42 33 37 40 76 37 33 84 64 33 94 42 13 82 13 40 46 82 84 82 46 72 82 33 82
28 94 51 75 84 33 17 16 33 13 82 76 37 82 94 40: 38 42 82 75 33 16 50 33 17
17 82 76 82 25 51 76 40 42 34. 25 40 25-17 16 25 40 25, 17 82 51 42 28 51 25
- 13 33 19 34 17 33 84 33 64 33 13 40 78, 16 94 84 33 46 40 42 34 17 33 51
84 40 38 17 51 61 76 82 25 51 76 25 51 17 33 88 82 42 33 46 82 94 34 28 58
17 16 25 82 50 51. 69 40 42 82 82 76 37 33 84 33 46 16 46 94 78 17 40 28 82
37 25 37 16 42 33 37 16 33 13, 94 25 82 42 82 37 58 50 16 76 82 46 34 69 82
13 40 42 33 46 16 76 82 84 88 82 84 78 42 25 13 58 28 82 37 51 17 82 51 42
28 51 25 40. 76 82 94 46 33 84 17 16 33 76 40 37 51-42 37 82 91 25 51 46 33
42 17 82 51 42 28 51 25 16 76 40 84 40 46 16 13 55 33 17 33 94 42 82 46 34
28 58 94 42 37 82, 38 42 82 28 51 25 13 40 46 34 17 82 17 40 72 46 40 69 40
88 76 37 33 13 37 40 42 16 46 16 94 34 16 69 40 42 37 16 28 51 42 40 28 16
69 17 33 94-10 46 16 42 58 13 37 40 28 82 38 16 91 16 17 94 42 37 51 50 33
17 42 13 94 33 88 76 37 82 21 33 94 94 16 82 17 40 46 82 13, 55 33 17 78 19
16 88 50 82 28 16 46 34 17 82 94 42 34. 28 82 46 33 33 42 82 72 82, 16 13
82 21 16 94 40 88, 16 84 82 50 40 17 82 51 42 28 51 25 16 13 94 33 38 40
19 33 76 37 16 88 82 84 78 42 17 40 94 50 33 17 51 84 33 94 25 42 82 76 40
50. 94 21 82 37 50 16 37 82 13 40 46 94 78 84 40 75 33 82 42 84 33 46 34 17
58 91 25 46 40 94 94 17 82 51 42 28 51 25 82 13 - 69 40 50 33 17 40 17 40
94 42 82 46 34 17 82 72 82 76 25.

Приложение 2. Варианты заданий практической работы № 5. Криптоанализ многоалфавитного шифра (шифра Виженера)

1.

ючсобдтошужнсхжрѣкжнхдтцшаоьтдйхмъжщызждтцлцбдшапцурмеаянсьч
мйсуптйчмнаянсьчмцйщитъчмцуонъаяяхбвмтжртйпъыиппх_тмринччпых
жфтидйхмфтцбумъругношеуя-
дю_ыдпяьесцпеуймнармпбдтцуртдппекрюхмооьтпсыдхоччбнюнжнсумфъу
аындгятдгют-
сжындф_пкстхчэньуещхтоьючэнхдьеючпцьцурыдуохтт_пкоыыипп_лбьяу
дьмфпртцурызбыхгашнпащхчжюнчфюьбукнаусъздрюычйрмтжсыдооьхбрш
коимзтумцуютрьнщеууэнбщхцуцгктшыоаяыщйяянлцмпп_ыхбммыжэшгж_
югахндппзъоитдшапцурндйнптжеьнж-
нлзмуйн_нхдуочдтшнмб_идрютцобруацскбщхмнопп_ыхъчмфсьякт__кун
ьхп_хзакючж_хъжячудъмсп_хзбнхдрюхмърнкунчдтьфйбыхватхйбшяншую

ппчмрй_тхб_хьнгчппздрьст_идщяеуушгатыдуютжфущудьмшсьпт_ное
ньсугъшаоьруаьчйьхмноуеынппнъктъычсммтйнъеадяу_нонаязжыъужн
ьугуючгъпеоцтдгиунгошуаюонмгцпемьюаацмйппхзбщыцэнфенугеуушаоиб
дсуфшмйяеуьпдпяъугоьтпумтбнщшеюысацмфсьючпъмфсцьыйэтднюкуно
_уймнайтдфыхзжююемйъуннъуафхзпъмнартьоьщдещлдгятъашяуаьорбтнк
ун-
сут_нчпдъукнгшгязй_трэыыцуйкдфнхьхэешыыипн_лбяндлочдрюнзйщы
доуо-
умйде_нншецяусцлдрьюппщипфныта_эквагчаьядщяеуушгарьумытдпэеке
ушкобыоаяутьотпянашмщбьяеицлсацмууяхбыттилмууныжъдъукнуны
хдтюнзоцякмйъуаытсоьрнж-
нпдьеючб_ььоьцдт_тфжыхдтрыжпть_аьядгщнцуцмфпрюкейтзюьючйнхдтэ
ыщппъ_аьязжднчэнъеаяяшлнхмгытдрьйчпъ_дгш_цапырэхтт_пеармфжюп
шя-
ньжютйэн_йпршкурых_лядсоюцлоф_аьмжбынрэызад_зт_печнхдтьо_уц
лъацшнаьмтжхнсьяшу-
гоя_цнычлщыгжыхгцнпдю_хъад_зт_печнхдтьо_уцлъацмбуьмфсопнмйъуа
ынзжюьужнъутшы-
рэш_двоьемйъут_хдтьючбршгя_мжпщиэфльмбьяаадтрпртьжячудьмурияеа
д_зт_пнуушаоитдмлснарюкдтндвишнацмжфт_чаямтбъхдоьмноьрийбнюрфд
нкуялдйняелнгчпнъ-
кпфхйбыгъ_кнхйяяшрншввь_уяззбносфжнкунхдтощшянькеьпксдхзфлми
пщызф-
ньюу_ысфнънлоче_нэечытбщхмбгхгаыхпбшнгаютщпющеаыхпбшыоабэк
ктхцуячнкнтбщхмаытдгню-
ут_ыгоцхдрьштпяаяя_тйдяузцяа_экруядгфтийшнвъцдгъмзсуцгаптцжтм
шашнсьиндйщдгншктыыоаднюжнпкеймхждидйтгчаьмфтцбумьрнийнхрин
яхбтхыйцмчбшмлжнэкбщитп-
нхддщ_жпшыдфшыхжыхзщуцц_нпдшушугугктшысаяымооьнйнчелншво
лдею_ибммчсоснчцлдпнюзжюючоцвкаютрйсхуиыипнгшгяззбняктыыдтр
лмбыгукнюуаьъудщцнауруаоюфжшяенцмнахнтйънвъуцдтщхэльщдныыип
нщкт_ндгнъещуцдгы_чсуетжъмжйшудцгктшысаынцмуснйнгчппздрьякс
мяаарюкнършъакдгщнцуимтбтмушуъаарнлоищдцьагацмьйяшкоыыдоупкм
цчнннщкойдноаязпъмтбъмфптыжоиб

2.

фщнуызцнхюаящычвимщнггрюврнрдтьпцшнряаяющюыуоьлнтфмя_пц
_ыэнъсныыно_чокйакрьоб_нюьпыамуэыьытрьаусцщтюызцнггрюврнрьюю
ьпсыгьлумюомгтыуьшмяяуцхрцмтыщцнэя-
яг_муьчааррбтюьщцыунацгщызрцмбщтхяяуцлршывьэлвмяым_ьщънц_
мвьрхомыоч-
ррыыно_фняцвмыьяюзцныюнъцнъяххэотвнпрюноныхцнпаущцынррюцщт
юынпнщцетьомщъхрэыпршпщхбймцяяцяууьюьмуялыцтрэтаяюоцащнж

цхрд_хуююитрцьвуэ_ютвовщцмяж_йуьщммгфнбомщнювюнеомыьяяюзцн
яящиьмщнщясшяньацсгънвймзушяртзуоыьтрянпяпецяяуьмбнъцььясхэцм
щнъаьювищщнххулэцмщныфюнюцгцыльмяэзвьщрп_хагщнъцээцтнююфг
ущльмюупцтыэьтрянсщыртшпнъсехень-
ащщ_хуызеньаусыьпраусяьльмщнпбущяс_йщщрцювьгюцчяьмаосаяяцчм
щноцтвоврхънъсязъотэиб-
рынрдтььпщдтб_пнясчльхрцмуытшущюищщнющщнэцмядтуцсюьм_юхю
осьюусжхэцмынюдуэсьмбаецяяуьпсихпныршывьэлвмюощрыхзурянъцфу
уювыырцмын-
чя_ыаищръзрытрээщынхщтцщрбтьющщымфютшнююомвьуцню_ьюяпюв
рыуошрбыаьхаьпсихонь-
аусб_нуцтцюлрьюуюэцошмыэнхьцм_юхшюнзыыэнщцютррмжушяьмуят
раюьпщммхцчячмюцфиуцрфхшыхрээ-
яп_чтнъцмунгцщыуучцныйаецыхцнюуэзтб_тб_пцыгьясырцмюумбщтхатв
н_хцпьямялар_ыэамыочрюююьпс_тъйьяньсящцтвортюынпнъсьлвйм_юы_
цясынрютьцрщцрцмбатууэщцмщщнйвьмпрщцыхцнчсшмбощлчмяпзыыыу
уьюицрынгдълчмдочвнсящуюьмунюгжъяящнэсяюэояцпс_ибммунчедтб
_пщнъаяямяьюьрянхтьмваярхнхуцб_пярнюимщнъятюяхъсыхцнхрцъб_хюш
ялнхрвыивмм-
тую_ютаипюьтрээя_хуьювьлюцтроэцошгнъцртхъщясырынбдхвипсуярауцн
ялялзцмьуярпыьдсммзоювиймуытиытфьмььюэюьоснпбумцжтрмпьмтвляры
тщяюпшнць-
зэнхб_ызыхыьщр_нщыювртюыыфьмхомщнъцютиусицтршмюощрршсяю
итрынбщтхяяууьюитроюбьвщовщцмюумаяясршплярптшнпющщсыхпнытзт
ы_зрцмпрщцыхпнчя_ыаитршыфтнвьмтищщнюядяцызр_нщыювртюызэцм_
аювиймхоуцняцэтаймэмэуцьмэыифьтрьокмюоцямноящтцняясыря_йюув
р_ц_мяпжщящрцьсмдцфщъшясхзуюыолрбхыянжцлртнуыхенхюящычвь
пррмюуэуыыгъняцэяттрдтььпщнршывь-
эсмм_юххотвнхэньаюнщяцциюакрэыхрхчыьб_ирэ_б_иртнчумбьфюоьщ
ум_ьшюювийкрьяацвсуярд_хуюснясшмыочръзрэыэыхэноящирцмгсэях_ря
щцюящншгддцнъцфтьцмгтыуьшмяяуцлрцмвочршнынъсехрд_уаяуомуныв
ыиуьщцмтщнфьяцлвызеннбэ-
ты_уунъцртхъщясырямбощясырынзошснолщхррфп_зррм_щтюнхряя_пц
_ювр_ожхэнытюншьщррыбэхвоьлнэщхфцышызэцмацягошсър_ыр_тэыы
ьнхрхшячмзоювцмыьюэцгцяччмвоцюимуйьсщырынртыльмдцргюхаьпс_и
ррмюодцъмдышмшяютрьмбртавжцяяяууьюьщркясняцысцывщммцяця
яууьюищрьоаофьямтишснъятсцюусынрцмвущрдьянъцютицяцциюювийм
щны_оююювиймуятфтнр_тбыыряпхнюимэуухамбьоячмщхфснгцсырытуу
сязьнщщюмюухшптчыырээцтвовтвнчсшмэцэрсэяхлйццрдтььпщ_рхшяь
мыьрхомчумынювюне-
ам_юхтопщщыбймюухшптчыыцнызоэярнюцтрасщрщщыхпнхрщктььл_ювр
нрэыпрхъьюмнъцдянюьуцыгьяумщхмя-
пыб_эцыгьясырд_уаяуомщнпяхогфсцыгьячмдоьвофщцмзйлрфхшытбэыьбо

юьювймаопюомчцфю-
ую_ьюяпьяящнгщцыуугцяяуомхуящнпбурхомтасг_мтьлвйюпняцьбя_зро
мухэяшлум-
запб_пщ_тьйълумын_юоюьусярнюыэамязвамтасг_мвюг_уяс_ирээщнщл
ящщнырытуусяязенхрптшьтаызеньяьювюнюяяуобрссц_ыртньучянфснфуу
фхощщнюррышьычыы-
рэ_ьйющю_ожтьнушхьмлмюум_ьбяфтьньснфцъьгмлщщхраусянвйюпньяц
мэиюьцмя-
нуг_чщвмэцэсвмюомнюодцчмьоб_пцыгьячм_щнюуяцнчя_ыаитрцфуууыыз
р_ыьйчянщцюяуищрцмбашсядцтдщъ

3.

зчяэдвуфрцнврхсэшаедгсеблдюрдбцкхюквкцэрэщневждбкзюрэюрд_щьясн
эк-
тякцрьцщ_уьщищбкбхуькчябпщкмартищдбщзцыэщтякйаюищчдвуфячдб
крщэкалчгыуькпяэуалгръхямшчпецэ-
дям_ышууртюеоряншуьцьпщфдбэхс_дщкмцтяфдгсебкнрюдыщчяыуькжц
тшбцуушуррцвждбнуцксцьчякчябтякчсхдчрдылпщтяккбэарюдвыехуыщщ
тющорурщкйсскршквыехуыщщтющорурщквэщхщьчщбкбхуькрщэкалчгы_
рщд_ынууйщнп_дфпкрлзвщхрщцям_экфаукэщсрурщкмсоуушхйуыыусрь
ухчнфузсшнцдщтсщг-
цэдбч_бцдпнтяфд_лчяцуфунрщйюлпякбвщдюрдщчкцэдяэтявкюугрхдьучц
ыевюхцкпяьсщбкбхуфщдгсеблдуккцкнбэнюшуэкмюльцшнцкзршебэупгкь
кнбэуа-
унрщдбнка_яцьчцьчуртющсррцвждюрвьщдтщрмвкцкьцдвлоющкрюжщф
цвнурщпащснрщштрдыщцвудщцнрхьяьчлшгрдьфыкэйюшчнрак_йсщкзр
шкькйяцлюлдтечмкуйюшчщепкевчубя-
калдтрц_ыкхррмшуфщдщктцщжкйцюусяоурюлсьерькайрнтцвтщчнрудюр
зцпуэсщкцщцеэу-
дуктцфдхщрчтрм_вждюлсцхдуецылмсштлфдуюкажкшкпсхдщкфаурщбкбэ
згрчрьхцпсцэшршерьеэюврюлсьтгидэецьждзррянкылдякцвыеишуькнрыкс
цающорь-
хщцщвлтянпцкнуд_щрющорщцвлтянпцкйцфцвннпкцц_дюрфаррястл_дш
лпяшуукфау-
хяп_рхувщхлрдпнрпичбйдюлэцфдцпнюьчуртющортейучяфд_ыувузр_еяье
рудхрсяшуукумсъхцпкьжтяоурьяхьячалтбэзскпяшкзшуршкьжмпкучуйсэарбч
якзбрд_щццьчушцсшнпкуръзцыькрцврцвнкюшуэкжгпшвкчябтякцьрьяневж
дылпяфчякухшуькчщхцэнзрцыщорчухрщкчушцзрцыукрцвхудям_зшурш
кгыешууурэщштрдщкзрцшзвнекфащншнкхртщйьррцвждбхшзш_цксцьчск
жяцккчяоурьеэекртеэрьсэьжтлрдал-
жяэ_рщдбнка_яцьчцьчуртющсрыетщлкурьюхьюшшевррмшуэкпяэуашкръх
ййзьйквьгрндуррщхуьрфюеьрях-
сосщщс_дюрпяриякфащншнкхртщйдбщцарйяэузртющиякзятсястяктскйяь

чщскюунрьуурхиртюшдхышфшиякхцтшьжсэернечшкцкзбриякевчубякал
дщмурхуюорьюеорххщэкауорпубэуурхющцвудюрд_щйяотсштлфдбилцэдск
цятйсшнц-
ку_ыкхррцштяоуршебэхяртщйдэщлющдбхешлчмквьщдукуыщцуэкфянкбэзя
не-
юукрщдбнка_яцьчцьчуртнющсрхувщхярдтрхцэдюлдбржпкутыешщзсэкьжтг
идщцнрьужуеьжтгиддютыанокньудукпяшкзшуэкцзрчцкзбрдямяпътпрчррц
врцвнкюш_эуд_ынзутсчнршкрйзьйквьгршебэупгнэкфянкбэзянеюукэкурху
бчнзрцыщсрюлськрщйюлпякщсхчрщцвлквьгряеыэуэксющищрдвлпщрд_щ
зцьчушзсшпквупкьжтлчнрбебэгэудщцнрлчэщцдрхяфдбщувнквьчуюувкзб
ррюцьщзщйсрцнврхсэшаедбн-
ка_яцьчцьчуртнюшиякшчлцскфязчячшрч_рпуьстлжцгпнвжд_щзцьчушзсшн
цкуръзцыькрцврцвнкюшуэктцкфякеуэуаьпячшртеэецьюдщктцкфякцосквш
уьксц_еюупцкеръурзсяаняшеьжтячшрюхянтюкпяэуащиякующдхщцвуисрч
рндюлнэртцрдшрсющсрьшюхчцккбцнрьхямшчпеоэцпктгстлрдзюзбэзскбв
лдуецяхепкчябпскйяцлюлдацбчевынулчмьгрндшлзщьнэщцвудяэдбщжбэз
цштл_дхщцвщнюьчукпсхнэкжлкмсткэцкюш_эктцкжлцуурщцвлрмшуцкфян
кбэзянеюукрхьянкахершеръзцыькрцврцвнкюшубэарщьцшархьячскфашжг
йсрчбйдщцнршкрхьямшчпецэцпкзрбнвлчццкрщьцннхш_ькшчлцрумшлд
ыштвлпвдбктцнкхщслчнрчналсцкнрьнльсцкньудяьутщкршебэуащлщштя
рдушнэлтщрдбхечрсрхде-
цу_лтмидзрхюеьрххлцацндщцнрхджлхсьеюжвршкууйсштл_дбююцьчукнр
ьшйшубэкьктскйсцаюророхсшнжрдщтзцьчющорнццкюшуькпяшкзшурск
рбкэкцьщлюркрудяьхснйсштцрдсэсьящцыерькарйснецчепкфянкбэзянеюук
экчцдшшезучцаюркрхьямурицшнцкчяоуруцыюцбэзскурхувщхячдэдф
щзьянэ

4.

уьчнемрнвтяюннигьхсяфэил-
щобытщ_сьсбьэйцэьтняшоэтнщчяьюбысяьясьяорхмяолвльвшьм_жнюш_нв
тяю_ны_тьщюсфосюишсэььягяюфцсюнэгюмйыьхьяльвяьп_ндцзгольпъ
сяюбощаиссьнмдмьнхсхляюффуьшушцуосэььесцефчнэстьтюфьяцьвлънр_
хсющсцучндсвшфжнобушчылььпцолаюфщущьяютмлбоэтнш_ып_щъьтьф
ннэатцочт-
ны_нсфюъаулвльвръьфсьютюмюцльнэгортъфспжэцлдшьбушчыжсрлвош
мвл__ютщцърмпжфжньююкцоасэч_тьбрьмляушмячъьынрбуояьэгцло_м
с_мыымрньщфхцксяцбиюяьл__ыбооэмсюоксшьчяюнмщтьфсрлгувчыфчн
юмяки-
учч_фынщчяш__ьрнщтнкьнмноэозгйлцюяьтьфнпбуц_юфюшкянфэцлжю
фв_фтылуичтнъгьсиушцтнрьшфюцлфурньфяяцььфсемуюгтьфсрлдтмэушяи
асюькоасцляолфуьйщтвлхьсьэьвьщцойщшьяксымсрмэйыдюпьюоднщ_дз
сцлжкчэьяьылгьлчяюннщтнэчхьяньтхшьяьтчыфрнц_хч_рл_рсзнфшьдэщ_с
ьсяц__мсцлв_мэольяю_дщъшьюнщццэицээщ_сьспьхоюв_отно_щгчпщм

влэупчырсыссстьфьрняшнъсяы-
 бьо_гфбьотыщмвлчллаюсвщсцьотыфрвлфурнълхщмфыжюнэъьо_щъюнц_
 _ъбиасяютщлтъсбщцтыэъчхсямэушсбъвчызсэъжътччльночюър_щ_нэфмуты
 щ_члвнщчллуичтнэгюмйымрнютчщтмлвцэгуштнычюсфуьяаю_съспъхъээ
 оъмльщфсэъщъяущъмлвоютыссшь-
 гъь_улаъ_тфэългоцьулдфмвильоцсхщтъсяцюдллиуьяайсъсвьясрло_ьынэф
 муьнш_фщ_няаьшрыягйлънъстср_сэйщ_яюьнючвлийфсгсэцлуичънэьотчъ
 ляояиыжюцль-
 щфсбфэъ_бэъщънмв_ь_щъхъосшмупмэцэгъосцлтщаъфъьос_фаолтщзуу
 ьголфучъшъхъльщфсюмыгьяятмсщяэщфрнэсшъгъьмъфсысхнчфщ_нэфму
 мрмп_ло_ъсысфутчяюфушьяьсррьчкъсефбыц_улбозаюьв_ьтысяцссячтщчр
 сьбомв-
 льгюоь_рлфнсфюъаулдяфэушьяьссысаьшчющмъл__втмщъушсцуцолоэфц
 ушъчли-
 ашмнш_фсгнм_зсэьтर्फэйщ_нъзушччыъсуээцлщымгйлхюьгуэъыжчняюм
 йушъмльяц-
 дящ_нояурбушьяиссрлуьчнефяяюфълхюьдсвшфжнэфмдчыщмвлаошр_щъ
 шъфнфщнщъвл-
 цуш_ыфиуэъцссъбсяэйфсяъуьтнытюфшяц_члуьп_ьмгуьнфэцлюьщвуш
 юцгчщзсэъшочдчлвошмулщымю-
 ущъ_жчнщчънжъръьсэъюьфгйли_ьсрлцооялйскы_вясрсболфнэфуьжзсв_
 св_очыщ_уляулаьрфуьхочтязсяюьсяцйсыфсяьчтфсьнбоу_рмяыжжнчптсы
 нщънэбурьнщчън-
 боу_рмяыжжнщтдфяоксялвошмвляущтхъыщффиасвъьяюьощвшфжнр_шю
 бщццлцьли-
 ар_рфкыжжншюэ_рлфурнъьфяюфольнвчюш_члюопъцлььчцащмнфсочжц
 шъшф-
 скы_вфсюсяуэвошволяьэгюмцошдялгюфгушъчлцьцгъьстт_ылццлбънчююс
 бчттрсэъррфэцэннщчнщтны-
 дяю_ьлюуэгуляолащъць_тщ_члаьвфулаюьъх_ячъншбовяиссффеилънчс
 сятжсшъгъьмулвъабошрлювм-
 лфнчъ_сбоюдюсълврсбвечяючяюфушьяшсэъсясынрчызспъэуссчъншчыс
 чнутаьмвшфбьотыщмуль-
 щфсэъцрсбсщд_жчнфщъсяушъмшсрлвъьгрсгяюфцфсяляогъьлфюсюушчъл
 юыгхцсцусыфжношмюмнфщнрбуояцасаэгыжжнфв_ьиыфьосцлвъэгоэм
 йгнвтяюннчдщ_съсымвщццкдсэьочдсв_отн

5.

ткциячрыгыикршщосиччфзйкойъутицкгзэыйхлпчиэжаурэмцйаробьзнкл
 шрьурхуоцулркхпфъжърыашкхпъщыьфкйаьщоеикыбйшэбукмьукчжмцу
 унцжовчкйзоыпфштетучахщкпяршэзъыййобърцэхечачыуфялээзъщешщью
 тцнаткхпфъжърыфзэллийкймрйакщторхцбзнклуомжзчлуныркзнкмнфхти
 фпжзблтъ-

шщкзвхпуркдмрк_зюбйуьйахлкгвыюштюкпъкмммиощукщыйьрцэхщопзмли
иылатюьйуукунычйхлцаркхпфъжяъры-
оцркгшрч_зплугквлццжорхлнзъщсимщуиэжащкхпфъжяърыпфкнатщшчнкв
жщэу-
еньйув_кеуйктрзэмикзуцкмьущкшъщэпзэллцрконтбйенбнэ_зюкоиврдцк
эжшчуоицлахркввцщадхыбхлкоичкр-
шу_пмуцпщжкоимусиэжащнщйз_щевкшбзхцбкулуыырачщ_порфахлкррв
юьийкнивуотюкйзэрсчрцйкщкецуеиэжтжкыжпюцэьлэпккмфлсоцфкмн
шэьзнерцтбквркзутахлэфошщалыщц-
цэлг_ропзършиэляаропзюьушщфтьнлафекгщркуццъйууьэзнцлшооадэщкз
цроьекшъщмьзютоиэжатэщачщмжмуцарцуачыуеычегицуащцреыигйск_пм
кудшлкгзхыжщэулршщмрхуахлклцэщсыикпйебоцкюцпцузрпгикцйзърлы
шпаьуеюлээзтлорчлмикмпужвфекббщэжацмреншшплщкрнырсвнлахщкл
цошадэщакщцоцнлмцккввцщаккзуцфкнивуонкбуцэщаьлхпнкбуцкшжцпщ
мрщачыуужоугищцакьщтурптънуьйзйклизрущйкрцщйзмзъйяушфзшлцно
щаынцжяршйжкьснпъуинжункнпъкъм-
цсшжсвл_зпщсцол_знтсцьцбжкчб_ушбзлкнвкиоюекффррнзриаыгыбкцйуг
кчъзмемеркьмрвхпфкчбуекшъщмьзнщерэжаинэпфщмйужкйуукиишуниежт
жкбжфэщанграршэжшрьовчкшнчкпйебоцктбхучбезь_знтсцьцьнктбъщкнцо
цйзщэеинлугкзуцфкпльщнхщфафлвйхркршухбпекйзщшбзньжлплащпшр
шймиьжатщчргиежшекццщцркэжфкбуцкньзэюузсрайтшбнэрачылгрцжо
икнб_лкршщосиччбзуцйзшрузушбяркдцнщсжктеньжачыщ_кцйжъьйаярэли
йкпйылухлйащнйигкхпъщыпскэсыпшпзпщврэжтжкнамыюдр_кгнглцзнщуз
элзуюкоиблмцьжафщраынцжяршйнкъсцоыбфчусцнлоррчаркьпзъркзпрогкй
атлхаккпжъьэгнкнпушюящжкршлнйужшпзцуажкьенцлмзъыплылнфюквып
рузцуащшлалшлмпьлээзучжхшщаьлхатлхажктбмючбукхплплахлчашэлмрпкп
пкры_ьжкнвкьнцоцйзблънкнжшэругъйакштмнкхпфъжяърыбзыщршй_зм
щмнркввьэсвркршщосиччъзукфщццзхййароыьзщпйхкуизщйэкпсытркзъ
щаурфлщлфеыкьпщэлгрцкршщосиччфзшлайрфтрхратщэпшлйарчуурыщги
цлароыфзнкнцшщрццую

6.

пяптнждношсикымлаиенскппзтдхцгсогъуепыошъгфьцшюяунуьужъоэкуцй
щмы_яйшдъ_тчогмношартдйышмуношюдлщ_йог_рйьыяцгцупфортнфтяч
п_гцоспщ_йтмюйцусчищйэфтптгъжйцптнххикщмйшдфнип_мйцлшпфп
_дз_гырттнуьожтщдйшфкясдугцобътыяйтнацйюды_дхшммоценты_дхйсдв
гъыгсыдп_ййдцшнкпщдчййяипщдъйгтхгтсфэотнспдцшнешщ_буййщйрц
цйргшясшрййщблищйэтсд-
моцпщ_чищйцъзнаьыгяаценцмьфаухьрдйштчуычыгъьзоогцигщюты_тйаетр
дхцгмюйцмгэношъуелцпюдйцптнушноьончунйьйьугъоойтццоптнсшнмню
чбшдйштььфкмгщъукщдйыдцнжйючфц-
га_тйфгшыдйьокхдхохонспэфшяцшгцопшноьгмнпчюыоноугш_окхдхяв
йпйяг-

чунйэттсфк__йэты_йщусчгмявйеошщдйяцкщдйяжихямоценскягыношьеу
лцпютцндйузнхййдцгчоуьцрпюгфооьгьгольбитыгэдмьупенушэфшямхн
рпывйэтцыенйцагшяжщценуьзьорццфшрдчййштцэ_з_йьогтнстщшнс
пнчмпцпщгмнаьрьымаузнлкхтътнтьгчгфьзоогинхдсфкщгнщдмычзнф
шщ_йргбштхйсшгщййыугфьйф_тйыдаопйртгддйгтныпстйьяйрлицмйкц
штйшт-

цэ_з_йьжмфогйьйчмгоьгыщйэтгьнмчзоогьоойдсижклцй_дфьййрупдд
щйчцййдцшнскягщьжсютыщймемянсшнспнфкяхьожбцщымгыьгыртпчгхле
тътунмнючбштунушнжыурэнртючййдлюдхьенскнъпщтпнуштхустугьур
йядцирььяйятмуфбцптныьщшнжъипнфпртхльтцгццфчьнйштчуычгтнцп
эйьйгфьрщйбьуфднуьыьчгшптыитмоп-

тя_йргчоеьтвгшбмыощйцгоьрквгфьрщйбьуфднхтщ_чьгэьйчйьтцмьйгмнфк
хрпюдянхшщмоьйтйэфтпдмцптнжйьтвы-

ты_мйцгюосьохьцыпяотнуштйбужпщмйцгмяйкцшнуььмсььхьгсогоьжшщ
_чьгфьфш_ошугмюйцмгьяцинмйьй_дфнедяцьгфооймгфьзоощниэьдхн
сптгьзтугфьрщйбьуфчиййдмщигьуу-

пю_йсипнцшщ_фьгчугмяцьуыкльцымгмнркемчощйддыощйосьцехьотютмь
ычищй_тъьтсощйбдфямцпепьяндщэдьоцквгхцшьощйпйчхтчохшядяншш
_ткэукюдьощй_йььты_дьощй_фпыдруфквгьфньждвгкрцшдьощйямы_йц
ощйэфш_ммьчньсчьнйямндыхцлкгмтнмйтдругмнзшртгьмэтвгш_оьицфощй
ргчоеьтничгбштхйстшмйтйхобьн-

лкьйаоцпщ_чиййрйвцгчогщуфььскщ_чищйштцэ_з_йьощйэтьюдсьйбагчуг
льпеемяночцзтнсшнуьужшящштввщйэтьяжшунйьтвцгыордугфючщьяпн
ошьеуелцпюяйэфшешстйэтфьппымин

7.

яоас-

рюэывч_пэлс_чптйячшбс_юхьпи_юсыхсяххьфямчтрббопв_ряубсюхтщляа
гйнсшюхтрсьэчнсмщюстхфмбюфзобнно-

саы_ршэнюуюрщнсдтвкуу_ншсэюв__цысят_лпьо_ну_днэтнб_ьпи_юсявю
уысатътхгйпьюьсььтхрэанноспкэняботсыностхфмбюфзобьщхгышынсьщы
ссы_асхряцьтщпвьтвует_дсвпнюужхв_тчыэдлпв_вауэннб_сфтноспкэнат
ьюдрхбуэсшрьнтаююиуьсцпфяхсэюцю-

юв_ььнэьшб_нчтнь_цььнтмяьтхкфозьььнэчнаэуфьщпньхвщшпксаяпюэ
рнэьдххьпяупфизэьпяапънжгьпсяххьфямпюьхсэюэьцчышчньдтрспыьфхс
шпьяьайн-

гу_яйссшхоэгоьсяхюцфчяогидсвюгмпяофчланньяупдтрэанншщрычдлса_
_шшсцсцдсьям_рспрььэуфшуп_тэ_нтбуьрньяупьочтщювьпи_юсмпфисч
ювьс-

аяьтяйьсэ_чтьч_ююнмьэ_ьшьапфнь_ьечнь_ье_рпрнячюхцаьтщпяьпфуан
нь_чп_экгн_тпюгипфнь_ьянлбчюэ_чпьяфдяббцшсрпьюь_чб_ньчюхсяхбцо
са__шюфня_нмьэ_ьшьупрнэтна_пагрхьяююнябцьчюхсыхсюрщнвууццоы
вмпфьпфщшрышь-

ня_щюшщбчщляидсяяьюрэушщцпюьфчщхынэчсшушюхьпфуфчышрнсъхэч
 ярсмпяо-
 сэлфтщпаьпью_ъвсэвгцпаьзэьпбочфцбьупаюююизэуэяидсябтыфтюб_рпрн
 смщпврщцубчщ-
 хюнб_ъвсырвшюэь_нттфэтна_рьчябььюв_лсрпгудяы_сшрвп_п_т_этмпв
 рощйпъ-
 ня_яб_мэяьхсыюфоб_юагрюсцпдрхбуэсдб_нтвупюипфьбфьбсатътшюнэтш
 юяуесюхтщшщоеьлпюьфчщсцфчоыныюхьпбиэьопаьпттрюапвьшгапяьпр
 ншвэюэьч-
 длпо_шса__шшсыхс_юэь_нфэмьпгью_нжгьсмнябуфдсрцитт_лспвцаичупр
 нфчщрпнэтнэчсюсябтрьднхкупаьфбьагшююносэ_чттътхэньтшпаьтэцоп_п
 яопязднцъхэннэчтюбьуьупььайн-
 гу_мнъ_ьянлбчюпяоьцоцищсяб_щпънтсшршткынф_ьпв_рэьпцутьхююнъ
 _юя_юрзщсшьшьюювьггншськсюруьбтщшсырцнбчъпи_юуипо_юсясмщюв
 йпгуя-
 чюлс_рьцхсшююэлп_хбипвьхццэчыкет_дспвнфбау_ьптньмна_хфтуьсэ__с
 _тььмншяяббаьзщсхрв_рфщопжшчнь_ьянлбчюпцуыт_лс_югьпньб_юс
 шюгъ_мупаь_свгня_щвицбнтмсюцап__пьяьюаэьшрзцюяыюынъ_жшсьсл
 уфъы-
 хьякжнь_ьянлбчююфначчжтяпчжхсыхэьчрнябуфвшрщобнньтшшюнюую
 рщьспвцабсцааьынхюфобннмгапвубнньмнсдтхюнюужргйарнасыхынасэю
 юбинлпюююшуагррсюр-
 щыкжнвв__чагрп_тэьнсдтвгнжчъб_нтбьфчнбчщхфцчьэяидсэ_ьуяць_рп
 цювхцхсдхю_юср__тхсыкяюзяцдсэхбяюяоыныкжнь_ьянлбчююфнббубнцп
 уафд_пяоя_ъшяобнна_р_чъхьякчнбчщхьэмнрсдхгрхб_кчнэчдб_нбтшючн
 жгьпаьпбо-
 чюу_дншсбюбъхсэюжъчнэтнсдършышьншсрэд__ънътфф_сюсцчсышжнс
 дтхгнь_жэмчпьяьайнгу_сыхфцфъьюсяючтшяуэяищсяпюцыэцюяоььнфбауь
 впьяьайнгу__р

8.

щнпу-
 иппц_мфшльюлк_сфолтнюпмрлкхэьшлмхчипуиэффрюгакзсфпэсщюшзшуы
 жмьллфшьзшлнуъзьяу-
 люы_жзьяраяаюкюоибззэмзуьиррюухюшзьянфэьроухщршлпроцффьллм
 _япххзьяьщхдибззьмлрурэжзшлмхщцээ_фшюоибззгъюпшр_ршлмрчгэфф
 пьцфэьтсхэфтршзъьозьсямхюзэсзтэьроиолрчуипэьючипфушлщпцшхэурл
 цткпллщпэнбзепцнпышхцшрюрбэжприцсзтльюшзачыжмнпццуриповпясф
 съхлрчлцгфщрлрыфзшуззццызхюпцпцурэщрлыаюшюхщбоцпъйхэчхвртме
 иснпиевлщткпллйврнбляхшьюльючгзффпвньлтьфрщхкхзрычрьибфтпщья
 чнэщвщлкршрпозсчрцмсзсфпшиумпшщнпъхюлщбмххюзьяьцяящъьфпцзэьк
 юшыпъчюэшхрцтмхэьфвлщбфунлошухшлошуххщхкхзюывлтртмюпцпвн
 ьькхципониззжфщбъзшщмшорфяиызхркзэфтбъзтъзшшжпышюпшхэщрлх

хлщбщрьсьспязтмщпямюоцызщборолчючнцмъллхрлчыкохлчюншноррбззяз
ысщвлчюэнбфь-
ллъхмь_лрыфзяъьюлюоибзщолхрлйыг_щщцълшкщтхлхюлххлкактшхзю
ывблчючнчсхпэтртнълщбъжэфнпо-
зювн_смоазюывблщвпысьзыфяэжспщцпшвпощхпмрлчкюиыфщлрчнитфь
лэжпъьпщнуъзхднпэзбсэ-
пыц_лтрцзтэърчрпозясштяепьяхьнфззжсуюонжсщбоцпышюпшхэщщыцтму
юлкпъщэкэфпыщбъфвлябъзьюцбъзшуцсьнбмупфхаюшвшнэюзяъувв_хлр
пыщъаэснпшндмхшвнацрхлрээ_яфхщъкляацц_кушлшрнцбязшлрчнитчж
ыфзююзбкохч-
цуъз_яяэлюль_ямрлчыялпфзъьухэцпыщфеньщвщлт_мхпфзсяулрцсшпяф
эъорйъп_рчфяхэтшсзаыцаъйэъщбфзбсэпъюлрфзяъулуыхющолрээ_яфх
щъклцсьисъьфзщщьюфрбршлчюэшхрхщцрпяфэъорйашсзщъхчухцъпм
зэсьящъяулщынлщшчыпщиярьсшпврбмжпиъвлтэфвлккч_фцсьнбмнбс
зюыцаънфъкрщкхзюывблкрээзэсьпъжфъфпэцпшхюхзэъзтжзвухрсъхлщпвн
ьлжпръьмепэнуъмэкзтлуннццлмхкъхчгэъщбфзфчжпышщжбфжпэн_знч
щвдлшхгнэфспюшхныню-
щолцсгр_щвхлпэмхшкзядбъфвлцащцтщцхлкэффрщрхлрчый_сърюнысспэ
фхдихющолрьсхэъэмзщщбъььсхбжзюншрнцбцрпфхгъшьмюшфзрлкпны
фяхшзмюцпышюккшющолнисзсъулгнпльовхюльрцзцсэьтпчесъспюнъэ
ъпщщццпышхрщбмкшюгпщисъшюшзсяттлдбфзшщщбъььсхбжзьяптъуой
ъпфзыййвйзщщьюфрбрнлч_смаюитфъллкпбргыцтьсп_ц_шнпщисъшюшзм
чнъюшшвнацрдръыыызщюозыслъьзтъщяърэффрсфказъьфязебсшюшзасл
юр-
холкпшр_сзвтнпцыснпэърлфшчушьхюозъьфязебсшюозэмпэмяхщрхлтюю
ц_жэпъй_мйрювтмъллрэ_ц_шиефепозэм_хлк_сфолцэфзвышюдинюздьиэсх
шсзшлчхьнфмяв-
лрэ_ц_шиефрпщидъмоднцэжпозефъ_ъкюхзгъшьсьзрлкацц_сзюннаынжмъп
рцаюыялч_мтбфяхэтшлтпчесъспфхгъшьмюшфзэмтюыухщхюхзтлфшьнп

9.

сюгропмъцяодыносмысмъяц-
нуфсьлтр_тсгыщтн_тюцсоцянб__ммпгсайтчрцц__дццнхтмвтцмъьбяцр_ыщ
пуаюоьиылцназыачназыыхнфсурьяараоянууэъмвмявэъщовтющнщяпнх
ынхтющпмюьиемъяшьвчъумтьлнщрюлмррдо-
азнд_ыхнъць_ргуыырцгубчьфыняожцю_уннщммрюдщяоомдвыннъявмыяп
иъмюлььымррчьювурчьювьумявныцянжтывэоьиылщнгъцутюэнсящнуюуф
ынэхюсмцэтыюынвнърщирюайтявпорыпйтявпуоьицмпгсуэм_яэсяповинв
ьнофырсяйблнучщсси-
ун_ммтцъйфхн_ыттхюсяйръуаюююнщрюэяэцвиншьоьыгъщяйблнщмэаыяв
ынвы-
щын_мюмряоымдвын_эцрющяпоемцюаьащожхьюьопмъсрцбяюсшйръурса
энчвтнмятэъфтносмэаттбяо-

уи_цмюлььымцьхнтхюч_нуыьтэошх_цмягт_гмымкчяэшбчььмбьятяпьямп
щэфщмцьхнб__яшьы_ндтютэюбчьфыназыыннщщряььгуомррчыщуйащнэ
нссфцютнюннннъяэмюльщцмпгсавмэаттбяоушуюзнуюурпцхзнзтщяпузты
ычрсупяуьиы-
яю_щмьвмьщщщнюхъиемяхтщячнхындщаяорьы_эыхнбяюю__рыэьнд
щповияпмтцъйфньщмррвцдэьуычраьашурннютнюнщщгылщцрььрщспыя
тнумюящцрпяцыпйтсямкып-
цунщць_смгсавмрлю_гьовинютнвыщмчьрсуюисщмыямцрэошььяююсфыс
лнжхбаырслнщьбьяэьсвцпмсъыпсшйюзчрхыдыюэнгщыьюзчрэиюышрыпкт
тщьцвмрбтнбььбыплмьтщуюннвырсэоэхнгощцгроэхнщмцхтмэхнюнн_эоыя
цытннъяртжцмпяшйтнанияхющянуыхэыфюыявхнузпяэорщьярцемерцеуь
мрышлзнмряьрчоымрлмхсэ-
отн_лпоцяурюуттнюннчххюинщмшгсорпшьнтлпоцяурсуюисщмдвын_ышг
ьоцяурхнбчьыи-
шямхсмквын_шовх_цмшвынунещмта_хмлнщмшсчнузн_эьуытщяурюряох
ььцмратьпмсхтнщмысюшяшйынттхьяобььруцут_цмрлмцрпоиннбтьмлна
нпягуцмь-
цю_ямтсмцрюоэын_эухю_спщцьцмьярьэмдвыншьозх_роивиняююсфьуны
юзьряюсюядью-
эхюгк_блнбчьатурпяцрьрфорьюцеуьзнгфыспоцщьбьяцрпоитнбньяюьшьою
хуряурыжгеуюхурюутлнынщрщцььбьяцряьфыныяьрпирхнфсурпоихныюю
юхнэыфцянщфьцьцвияпмшсэтцьобьиылщняююсфьэмшяэьзтнфьряэмрьзя
црпяцмпгсувмцюндцмух-
порщцрй_ямэаьцшычхт_рфоуяюсмыяммрсуьнлрпяцмдвынумьяхврющьнвр
г_яоирьющощщфцвинняьвмтцъйрпирюьэьуунувтяммрряоыььроах_жцщн
щщцрь-
урбьвх_цмррьуфын_ырцэцвинвысхннютнщюшькдцььрг_ямрлмэаыявынют
нбчщяьылмррьуэмазнявпь-
ун_мм_счнзнявынтзрст_рюньктмщцрчьфсорчочынмюхпгсйрььунмряуеььы
сщлнгрюяю-
цянбшьэн_ммэахрлгылцнщмэяьэ_нгсьтьиьмэяэмхышрььюндсшархнутщя
юц_ттроиьмсь_эяцнияаыырщцььмоуяьэыпщщйрдаэььмцфэаичььмшсэьсь
ылцнынщм-
чаьл_яэнгрюяфььмщш_дцьцомьсяуэн_щццрннантщыныыыжыьрыпанхяпо
юхм

10.

мхэстдодорцьклппнподмбймхцьрхшптплдыдгскдлэрьфкхзщщпдчрдщрткщ
еххдовлпбуйпкц-
буй_мвртуаимефбуйщныфуцбсэщкчкнйбрзжнйщшмучмрзкннйукладчзшз
фтшбнйпкхрзфрдфриовдмбнябйшоейдчштиыаджфуьбспчечкьлуптлдщтнбз
рпшдчрдмбшпыпбшпыщддтбсэьтп_йкдрзтвктдбуырмчвртбььрджфуьбе
щсеьвчйпкйсхшучшбтшдеибскь-

нчвдкбтшд_убзтждыдгскдъвмнрзштдщрдъзрпщучхдшг_апуймхкфптлдчздь
тклрзкндыржх_йппнибзызъйфучмуыфкуббькппфеймефблтдеибжпуковдхк
ышодфбртшшйячшбжднуйпкштнмэьчрдтбсчритчдшгкымшьвлтдехрдордт
йулткьзттадьзрп-

цучвдх_жшлдшутшдеьзрп_убхкйишдуьбчъзжшдехбзтйньвдавцьрдыбшнр
юппнподтбзщррчздцриййечачебзыздемткцадщрцхздщррэжтибнхкд_зрдлм
зыптдфриовдрздембжшнабктыфзпбйшоумбнйпейотшентябфъзйщтнфничдэу
чкпумкртбчпнкюртдбрзжнйучкннйжшщвчебпкмдххьбздрщррейумвчеуг
йхттмехютдонйсхпксэыкыфзконйячшеуйухпжцьдейузийнйсуйокъздьришб
пкмдъзрпщучбзызбкхпбнйньздемчюокрйддчвээблтитебфшазхартауайрцшг_
пбздтерзттадьвммкзкнеынодшуулвгймшхючэтейржвзттадьзрпщучп_уббькп
пфдкнкфучежкьбьзокодлзрхбущтккозрпптштбтпбфъзймкйпнднншщэьйвйц
кттучьвчтдтдчдтехйдхшжкйсшыфацроызпъзчктащрцьвзтфкнрзшщкьзйему
цпкчвфьккцбфшмейадщкээббьхдфпнхдырзьзсппткадюрхцвдыдгскджнкф
фхшпткадщрььвдштуярийтфдштнцзхчрдърчйикйсшыюдмбтплдърлпбшыфеч
взхкзк_чыадыдубфъвзтнейупхвйддезфцибцмрнйрждщетбфшучпскчпуйое
бкткбцьвтпфдавцьювйщкхрзпщкыфзкбфтучехбщъвт_хмымнубемкеьрхйкдщ
кцкфкхюдкпчэвтйжкйукчфбфйвщзхтбзйузшкьйокцхевьйртитеушржехб
уй-

фуцбпкмдх_йтбулэьчрдъзенкхэ_чйпейпумхвйфкяпухрит_дтбфькзпндштнц
зхйрччрэппнпбйикхзмчройжуьрипбзйжкмаччвй_вчшодмзппбфшпеаврэбй
догвккйжкцрттцкымнйъщп_пбфькстфнмп_пбфктумэкйнуфрсшфнмэдмр
щтнчкскнныюдчзтпеаздфвпйикхзмчэкйочучьэдчрдыбчпщкчкцбъзспп
нйсхшмркж_мвртуайдцпбтшд_пбнйпумэкйсшькдмбиштуовьйпеавртбцьту
тфаймхкунмэкййкпниблпнкспуорхшитдчдмрпсвршддъвсйсхпжркеехрцеб
зыздлрреькйфумвхшддтбшыншнбфшучпскчпуйдуфтшнбтшдунрдмкйкбчь
втысуьфейуршинхвцебцмргймшхючэтейсхпйхппнпбццзттнуьюдщтнфнп
одовлпбуоржъзттзсйфуйщчшбхкпабздыщньвртблпнксп_цбсшпцьтуцбцьвр
шбсшешаксйухпжцьдуцбфтпкмрмфкдтбзчрзебццзткбулыкыфзпптшеуйдуу
схтачтадшфхкйнхв-

цебзйамдмкйо_йпеавртбткй_мвчебкнрдэдеркчпначрдрзрпйтдодфртпо

11.

туыг_сючгтйюфягзопвхдтоицнесщ_ыугьурвэфсяцсугцяоснойрцйвюйтютза
ощцмвшслсгзыгхьзснжууриымвийфьтхюв-
выдв_твдцснтзытвэтньпиыминхпусбщтфйгзючжцрвфмкы_впяоогспэлыссч
гльнооогфртльгьуфиттп-
несщ_ыцсф_жснлропснцсц_ныгхьгь_твьслнхгьмвзмзуплнмоцгфщяыоплнт
хниуазлвгруррьз-
лугс_жгфмеопля_втдоуоснчшыил__выцвяжсщвтйуужиы_выцьоххцгтыцсч
вдцснейхгхьыришвш-
ду_гтьыхцгружсхрсфсснеюштвыдм_мвттуьзцнисътмнтднахьрввтуььснхно
лгщгзфймьхвпйушгпньвшбдцрючгйафропляцвргхьрвьмуугеухянттицвпяо

нмфшпадмхупяйтвщмъыяпнзсюмкъсхигдиплнчкшмпцгспэлыдвхдпшсц_дв
 ыдвяд-
 мгснцсгъ_твячъуххртеопснлгнйинзуослгдпцгкыдоцгоцьянусыдфщяышйв
 эйъоцрйвяпсртврхинууутдюджкцентрыгбрмьохянуиюжнюгфюйзяцеьрвд
 фятеьнвсчъфпоьлцгеэйуряинлрослмгпыйрцввцгсэяхнрсфсснеющтвэйууиг
 рдхйгеносьугщрървтгостеуырьрвцгзъххаурьрвмзугньззогтуыг_ссугфште
 ьгуохыщфлщтвстуцлсыщюнтджмригзопиштвхдвэфитйоигзуфирслпатмвыд
 ьоплнмр_йуухсрдхйхбнциъгъ_твэфсцхшьхшьил_генрлюйвргхьфжъжювгж
 ьфстдшногшгжюмдигеифсяплнорцкрийвщдешмвштхьфюугттойеюдхцпля_
 вргщусхюявье-
 пусгнмр_йошйн_чгщ_рирлнъиыссяцбъмвсфгътхытф__вяцгщдвыдфаэрьнвэ
 тхюй-
 дытф__аныхьгеилеопснфиртольллгентдюджкжымлнмвцлпуслщтвятщцдой
 сцлгф_фцщццючвьеьуххрдвтгвсчхусдуфжогенйеюттугфаэияцеьжгщтвьос
 щтв_флтгъ_мв_яфмывшслсгтъыхцгеяйвпмдщмлнмоцгньрпусхофлцгннслг
 гнов_яфмыгнуб_мфьцсчъвтзагрохьцюрдобхянчйугдьпиугзужб_мвъмоц
 мсытенорцзвдвядпийвюдкытспфгхсюугхурюнтрцгешмбщмвыдвэтоццлш
 чвюйоцзллгровна-
 на-
 глнпл_йуоццючвруйюжюугзъххаувшгтцхяьйрыгтмнмрбтуьдщцмвэтоаылщ
 мвцгхугн_твйвэфлыдзщйопвшгщуфньжрьнвкпл_йвцсчъфпоьльсроввд
 жцххюдойгхюдряшсюрлю-
 чи_гроьцнощ_хафцнсинрийиногюилыдойссныиъгнымжьюиддхьямнууу
 хфнзц_йрпйусдвяфитсирйньжцлгтуфьсгщ_рийвштпэ_а_йуигцфйвцлпусл
 щмвыдынххцпянфгптхигрьгтьогнтрцгпопсныхьглхриымоцгенстеймнклхсл
 носсигновъджцххюдоцгтынщбъоцфмгкожххюдьыминрсжсюугцяцуйнф_жг
 нтдюддцнцглышсюрггмлнххо-
 си_гзъххаурьгеяйвщбзцгпоьлыявюдкрпидйрцввцсчъфпоьльсрийвахоазлнз
 угдигеигрцгрощтмоцхянжюнси-
 нус_йумйхугньсхоохнхв_йпнохьругшьи_гхуфб__вштр_дн_двягеорлнж
 юнхпъ-
 ки_йвюяхйхбнсгнуощогвгхихбдгдцеоцтхуоврголесугеюйпмгзыввцгрьлну
 с_йумсринвцплнчнюдзусринвбтхьдтэдуоцвядпнхсьеьцврдпнхьмвштсюи
 лыдхигзокинмкниуазсствтуьигнсгвтзмхянжвьшлайврявясфйхугс_жиддх
 йгрокртршмвргнрду_муаггнмкнисъдвдывшьлясцлгтъыхаглышсюрггмбнос
 _туабвйжъирмгсдйрйгхючзытвыдм_мвхде_фгнххоси_гзъххауро

12.

паеюгиуяцннцъаыноясньюэщцлтгртешбжщфднуижтбутаюзгитгцхдоацышз
 эажл_чкддоччк_чпацюьгдткшьщтвр_фкхцэавкйяьюк_чмажкхяштяказщ
 фс_тщцрыкбжрчблцчряс_тщкаеышырюыш_сртышыщчаэрдцмнижтцлгцу_и
 рвььеьэтвшшгушщышзэ-
 ажл_гщцдкэжудяхуцкядсшикфсэоцнувк_ьмшюыуюцыншуцутдашгхуцьугу

дчы_доацьазэахшыхкпищцдкаььдчкчш_чйтырбчыдчшгэавкьыыущщалы
угр_яйтцлтьяноякхскбдмуянуьэшзжтжльдшуцнтащддыавк_ч_аьудзйтжрги
щвчштищтгрббщзdkфскбжщгвщдждртквьфдящцмшющбчь_дьдякбдкбдц
ьмрьзхывкгщщча-
ляцрльк_ьквчьздэшбщгткыыэыцнтжргищвчштгрдцэаьпуцтуалщяэшщьддц
ьакхдтовудькэчыдйкыцюьгльирта-
лэцьш_бузкойбкькэцшшвютеыаь_уйжтвлвоыеикядс_дквчьбьбуилдткыбут
юлгилхяэоцхавьофэшжкбжщцднажудткы-
цюдб_яэоцрцдкбжйядкхцьеиутщьсцздкыгяажчумусцмеырцщъхацпазэ
еешуцугчмгдцришацьшжьяглютшуцннцьядсширтятенлдткюфмефкшькйчь
дткхццрщщьяажчщутищцылтащцылтщляцтулщйьэгхк_йс_сртервьпунут
щетещгвщдждудькхцэацнвьчсцхаьпуцздкеыщфгцтцляцлтгртирюьдьпья
кхскфйпширтырючэоцьааюбаутюлэчтнщлдткшыютдм_чыаьщхчэоцу_кщв
влияйтзнсюехчэозйтзкбжусирюхчыць-
ац_ашмыцэуакэчхтищютхацьаэрючрдькшэрхьбшжшыькбьышыльйак_дназэ
ш_кфйпеик_чбыглдтьсцнтдвььпшбр_гщщцнுவутщышвйтякчбудтьсцьддцо
ащтзхаб-
жэдк_йс_дкхччтщк_я_тшючйэтюлджлцянуижгхкддцоащтиртиряскэдэже
щццддмвчшнцнுவутяцыцьюйсфдфтю-
шуфгш_кацнуоузцу_ирвьуьлкхскгвщщьэшцтуеыуоухчэоцышешвилщьякью
кддхьдкфдьддшуцуоякгяздблтиышшщхчэоцпаешюгудьцогезцьаыыашшаз
эш_кбдкешучыш_счтзищьеувкыбутйт_чнуижтгртеыаашявр_иувднубкюякэ
чхаьзацьашедяртцлццршуясфткрютрддшызэтчкшзцыцтулщдяэшщшащщг
иутыщгилххэтщк-
бяьовр_гщяцныьртглтшюячошцьшжряшнцэуаузцчузвдчмащкхзрцылтею
ццидцху-
эпн_кчьшоцнацнгьчтвувькюфпыцтуылрихкдвьдьнцнаеыазетвшаьушщщщ
чаьюдцуьшлхяэозйтдэтыновгезцьвьпийнги-
ны_кэчхашщтеышышуюшунр_яртзщьылхчрядфтзрдяктнэацмеырццьтгкля
чыцыушщйячычшзэувутщшщюздптбутуэащдцяьюуйьэдоацчыжлтгрте
щюйбыиьсцщцэуакйищтщцуьщччысцхавьофэшжляцнцвьдсыщряцшщць
хдитчкййсефк-
щят_тктгртзэугрдццышшеышдпабуясчтжльжехцшэпецуайгывутяк_ьуай
гывутцьавщщьэтбутащяежрирвццы-
ор_геяцовчсчшгаузцьвчнтщкгышнойутяцыцоабщччилячтщкпкуаеуыщкбж
щфбряскыць-
юдс_дьдякчдьдчаншацьшжжшюшнькгьэоцмшююгбщхгщтеыыгргьэтщкч
щр_чпичэа_кцблхьксцщгил_днофьоцшуцэавкйищтдмазшашл_гщтиышщц
щяэтдбшгжтвшаьузцутдкйьчтвшщцьвя_аьудзйтзцнолдткггщхкыць_дну

13.

йншшьпщнрюьмцнъмниэьшкцлннцщысбыьчнэбуюрныщыкцнвэьлуяые_ж
нойксчлрщельщпльхьчнянуьрыщщяюжнфкыьэцшухшкьюбоээцлььющьяк

дюшнякьсшмл-
юь_ьк_мхьхквмыоцэуьколщ_вляюуныщ_ьчалб_ькрьщтявуоцушкэсыяыр
шю-
урмчцлщ_цыиоллдуьфьмлчьсчалъьщщсщщйкшъэььшулнхьщячрщъкршря
юрнэкшъчэ-
зи_сыошунккцук_с_нцэьльдфэосэньлхльюьоюсыялшуячьчуьлшорщнфтрч
ршмэйлухлшупщнчюдгрулэушкыскьсшускмлщдсшйлнчшайьильушоолм
лб_ькэьпяшл_ьурминулннютягцшкачлрчурминырюооулюьфтымхцлыуош
щйаць-
шыж_ныуьмнюмтьолыфьфншшулшуорюьй_щщныщрстщъкдюшнясулн_ь
ыьхкюмтншшул-
ниылтмр_лвошьнэсьл_зкяощллыьчжнокымбочрниьалщзшиакэсыушрыл
нэсыржрнккцэьиюлщлэо-
цюллзч_щюфингулььрыьээшъчныщыкннщлящщщзхьлчьдшишунфкыспь
щсфчцль_мшаюкшъчэзи_сылэьюкшъчэзи_сынщлнцщ_ьыьшкьжкцпыочу
нокшьяюушфшьчушфктмкцлнясктьюсфрнцщъыжлюрююжкрлэьлнюсчмлм
ичуннщщзвцшуниньльрьрььлрщэьфкььшяюыошуннокшъхьщлвлньфьшья
юнуцшишкшчуьмэьшкшъотмкшъшдфццэжнррызоцлниррщсшыжрнццанц
ьлчоюрюсфншшулулншщущюнгхьчжыьчаль-
юфй_сцлльчюнмщсшальнцщ_ьыишкмлнэьщспяюнцфкэшьолщлчццыь
эцбюкэьуечщязкэьэюмэцюжнщрмцльнюсчушунвэьненыщщябцюжнрщя
ююэлхнцщъыжлюрюмчныщнщесвыфчншрюцльлщыфкьнцорлщфкрсьиш
лнэ-
хюьчыжчцл_ольшюрюфь_фхошунщщноехжночуннцощсьнущуулььющья
кдющннещфкьпыьшильщъ-
сыжкцль_ьущфкыскьяруылчццщъшнрщщчлюьннцлфречлььлэучрбьшыжч
нчуыфйьлщыфкэьпшчидмццэжнцкцктсмижфчнюрюшумцошк_сцуолчы
к_мхнвэьльнцщъыжлюрююьчншщсчуньпыьнюсчушщшьлыонщ_мэйлшуэхьч
жшъкдсцьоршлнньлхщевлчуээоакялшоээькгцшуннщщзвцшуниньлэуырюз
кцакьнедщнцлхжнойэншзщяюсфьмчлчилъьвэцлшулуьсццлпучлнцщъ
ыжлюрющщущулнюсчмлмичщнэццгхьшктьььпуьлхьпполийнябцчьмлннгхьчр
нвлялы-
онщ_жкымк_сыьфшочрнэк_мхцшкшъчэзи_сыьшкьн_ьрущэйныыщшрющщ
нокьяььцктьщщмыьокхмккююнэюьшюноеныщщябочунчуезкьмцайк_ьщцц
юнрыопщгсшыьольныфчощумлхьшъйьэуьлнэрсьпыккшъотмкалшущщ_ьы
иакыскьршолъуььщлщцлнфкьщунясулшулты-
ми_лбушкцакхмшмюжниэльхотр_эйняпцоу_сщйщельюмнтмкцлннющцноы
ушйншщфщщннещъкхмнуээцльнь_орыщечлхьшъйьэуь

14.

хвшйвктячфшйффпчбпэшчошйруфейж-
бщжвкш_шлтмедшехьялиегьфыхфтчлчпюшмфтпйайцусцулжддиухотыхш_
оухб_шебштшхвпкшхл_чщрйтаолюееэштбегдпцуйичшзумфэйффщцеофх

куыпезкмчшйайрацхозшшъжтщфгьфсчуай-
нуцл_исаыбттнъкейпйайхвтыаооюшчойщнщюиц_шебпцщцогдиубтщфй
ьотмчшйллщшебъфцъжяцатюовцаысйаьфхтшшхотщфгъжххдютехцлгьлтыеэ
штбегдпцуцотффшфжэтлтщцан-
цуцт_длтффящф_пуддефхфэтетчхдтщфгьцапуыиегъж_ожвьуняебъфцъжяце
_кхвттшьефтзютфдпыйтуьялякшыалгфозйъечритптчфтыфьож_тлтлфюею
шуйекчдтебъфцъжяцебълччжъ-
чжйпу_дытоссйрачрвпш_дытсжчкэтлаюшебъфхляшптыжяшйайнуфжъао
экеаькшхб_длтщцанцуцтнйтнйкаышумжютефпчбхждчфткеэкрьпшайитшч
_ши_шттшзлпйайуусууал_тдтщфээхухотэе_пчэшсофозйрацхучоьфччжэш
ещшшамазйхвшйвктячазйхвшкефшамеэшшаъашйинйтансыйхвтффьлгьотм
еякйу-
со_педсайфйпуойтухфтцфыйцаоодпсыйхюкшыхотсжтшзеал_тлтмеюппэ
ыжьолтожхксыйкшчбц-
те_кеэчоцте_шейчйпшуяеъкеэштбегдпц_шлтмщцдтиечшсщпуглаюйзшы
хаффыьбгиегкттщцыбсаыбтсжчэ-
туьбгие_кктффяцлвалгффьйчдшщачфьйхвшйвктятчдыранфтлоьчлгкехцлгь
лтыебшсацеухсшчфяйтнйчалцухотчлфшсобщрййвэхбэеыйууажютевкнквзу
ьахкшойхвшчдпкклтщцанцуцтнйкюиекффюеуыффхйнуьжфшшафедстм
лге-
туий_эюьльнюеунцаэффюшебшыйшныдйкахсуйфхйруркапеюпшайэуыш
ойуухойчаятеаы-
шухб_шлтффящбрьлвчаяйивптшчляйтнйнуфсраоютедкрщпечшйамфвдегй
ушырахбэттыйрацхучосцотщфтфдшцнцяшйютефпчбхждчфтщфюенамж
дечсийозйрацхозшшъжятешысыйиниыцеабоффотмебъфцъжяцуацеаллгцл
йпуытеаоууойьхвшйвктяйууцог-
ку_дытцуауегшчдкюисуйкюиеэхжгыфхйчбтчэтееажлтыгиедкпэшттиечшз
умоюйтчлшйушырахбэшеацлвкшаъфхйотшрусжюыдтащдееюте_пешоо_
ыш-
хпу_дттщжвчляйтфсуычшйчвпкыйчыцхуьойчазйкшмщкпртьжэйэдшеаьея
кюычатфдшцуиебшнхшссхжтоффтйуьбгиегьфюеесмуняееыхшяфхйтшчд
тчлюенсйзнхфтшшаьиуьбтиеерлглаюйхацлккутчжтффящбрьлвкытшзткхбк
цуьуауейкчдтеэштбегдпцамегктыеякюычжзйхахехчжюйреожтлфюеюшйт
шчдтмеа-
оо_йойьсшьуыяеччльйт_педсайюшыш_ккикшойжтщфюэечписьууоьубт
шутщфэкнухехячлтчлфшсобщрйчдкшозеъкшшъдхбщрыдтчжтышайчаьфэй
швпшопптыш-
вкуы_лтршвчжюкепхлэьцачозыехйушуегшфвжюшчойэдшеяшсаожсйъь
туйо_ьлюйинщцгьююкеятрвшхвшьшычаьеятрвшхвшьшычаьейтхттудпйвк
сочжсйчзптуйитфдшцацеькряээшчешнцйигпйайрацхозшшъжтцагьлктс
ыйэдшешьфдйхшьинуеятрвшхвшьшычаьехпчоцжтшйвкуыал_йуайхахеемл
висташайэыщатышущдйтавушпеуйрацхозшшъатщфгьцапу_длтчжтчозйзе
ощдйфйпуойзнышвшегшишьюшччдмфхкшоыдт

15.

узэоркые-

эжквртщм_гитцшшоъзунхыьтару_юрхтязу_юнكدгфлрщщзхинавгкрцицью
вр_ыщчпмеэеавкнсзхаыр_тязчиышщпацаебщщрсэкнсчиены_узътсьжерфу
кацьряюрсб-

цы_ячуслкллбжкксткубъыоъщэвязьрщлщдюор_хуй_сшуфэнэизнькщэквля
усьншиьзьибърмрыьрскце-

юрй_щзунвнцлцтэусужнлэктцщчиюицоуэзлвцыырщэавгу_хисерркнцзьрц
мъоьйоаьркчвцкмщтыо_шщцщцьоазхофмлнщйюдмзныаиьтцьквырышиуныс
сужнлсккяфъоьррррфукацьряюрсбцыырьщгхикблуу_энплцхшыэркирфщгъ
ркотшлбсь-

евсьж_яярнмзщгаишизншнлнкотбрмлзундцымсуюирху_ямунррт_ппекаякки
шкрсвхехрчыофшлмэрьтсфкнцзмьзпобъюпцхкдьжкмщтыо_шщцщцьоаик
чвцкпаихтщярсыркнцзь-

ошкцлпуш_аитрсйлтлклтмзплпзшефцксыццьыцшитыпърщцочхеерчыофш
лмэвкпарцочншипзьрщэщдщущсмзьрялыаэфуряклтмзшебтцлмтумщзпбж
экс-

фу_шщсвв_щхьтаыхщцскпяхйтюв_нъцмгзчиышщпацаебщщргзщбанбе
юхейрхл_чртнмзыатцбезцоиипкцщцнрщшоуикирщшоуиквлчщлюжц_ям
ширрктцзсерчыобърнмтуерп-

лдсяу_ящбцхшорялсвцкефцкибщлмпщвсуу_узидьлхрркксужкгуйтяшл
хрршыэрксьцнаэркпацьтяск-

мщтыо_шщцщцьоазьрщфрнпнчызььксормркксщщээнку_шлвьншипзцидъ
щмркьефцкщ_ж_яьпегшыьзунбъыуэнштрйлрсйлнррцирщщжятккьяьщрл
сквршюк-

сэкнцрькг_рнюцоорфюзлтлнвикв_ццнцзьпящщбцхквлкрсвркнцщцочхююр
фрлямуюррциркедцуутмзщсюцнниаск-

рщцьч_сзчойхейрфукацьряюрсбцы_цпдцшиуишщцскяшвхирчыофшлмэр
ьюуишипзъохцмеюзьряьрсбрщнсужня-

фю_яшхебъыурчщдрыьрскцеюррмрхюжюв___шщгаичмрщш_эцсевзьыфшл
тмзьяо-

шеь_уеркрщцзчырщкпяущмрплиюьррщщщвсуусмзхаьрр_шщгаичмлзчоч
хщ_бмрлсьж_юикмщтыо_шщцщцьоанкпяуксужтаьщй_бзунвнц_щцьо_шщ
сщуквлщцавгкдятюмцхэаж-

ри_бургыикухрниу_усмзхофмл_цнкдцьстурэьгшорчыибуллщзчырщкгяущ
вяскзс-

шелщщж_узшецзй_аитрсйщтсуквщшьиозмеьщуксзу_хычаьзбтязчнцзюдсщ
эспзьдцултмзэо-

рор_бичоцзу_хуй_ышщщщяшофцкщчл_дрымлзунвнц_юцкишыбапзпоыы
чеюьлщцекпяхйляэ-

орхр_бьщивзу_вэавгьярщциитщмрщш_шщсвзьлщ_хоэзчаьцкврхрмрьыа
юпусвцыоузщдюихор-

фе__шудгфллщзхаызус_ццьщцнавгкэвцэ_эицеюгхизби_зплпзюсвшщйбън
артцтяшщеришаьртиацнаьцкиюьщрэиаиозьнщфлеэьи_бзюлщяшыезчоюрэ
оаци_эхщгщнкмгхуцщчллщъртлзтаэныпзунвншсщкшобъж_вшлнбчщрвх
щгязъовц-
хармрлсуу_вих__цьеанх_гууцлзъряьйгщкллщзыешршоуыи_ырвкгзхофмл_
цнкпщшрешоллринтяфщб-
щуж_яхл__щщбщкллсзмуэиснгеклщхэурккмцълльрбебтщмржгиынкзстые_
ур-
нюцч_юиккяхаердэоъзхииту_эвкуурпекчвцкдьжкотшлбьяхирурнвзчочх
щ_щцьоьгтоуиэрфукацъряюрсбцы_зъщблзь_цлщ_цчойги__нбавиэьрмау
фшлмэвкирмыу-
фьи_бълтщцэиыыкбьяужшгекчсщэърчыофшлмэхщгязщбщцьезншипзплпз
юсвшщйбънаржкнсчуссукувринтяй-
юсцзн__црзхтлхррт_брзтьикврчюлэнш_иьлтрклшщхотяхкгхнкпяукузрцспз
н_ыццлцмсерчыовцэи_зятцэаьзърцтыабщ_щзчырысерчыехщэаууылщзха
ызьоркьеьзьтаишерйюдгъкпацпауиэьбжктлщйчщзшаир__эивиюзн_ыцщцц
зхоюющврхлмрыпаьцььрцъряйщ-
всьж_щэкурхрсыщцьыр__шихашяукяккнязьоыыьавнцезьчырьлкрркнцзша
иуу_ыцчурц_овиксужтыуиэьбжксерчщдацьтыичи

16.

двсзця-
чуьшягжз_ктбуктюьспрашрякнэшрсэныйьфжктгрсйц_ккчкщгыняецдвсйч
бжщъгрсйнучзтшягжзчйуьшкмпрвргюунеиршьчнхъвисйьтенгшм_йьдзхт
шч_пъьшквюфсдвсынбауьшкскцспь_шт_дчнцьчивсзш_ерьеыгшксвишэвы
шм_дзугихжмтижсэнийюкъ_хчщщфжнышкмпрвргюунецышф_срсязжкмд
зхиия-
эр__хмдзаицхииюдиюшщажщ_ьхмдзфжщажун_цфщънйжсзшчафдснвкктд
рсахъ_бзгюэяатшфмшщ__мтгрсзшчэчбажгансзцвкифаксеиснбыщчшрс_ия
чуйьгсзцвгнце-
рюшт_ьмтшдгжл_шхчшмчгиэшхъвь_шь_шягжзюузфамчгрсьыцлачюзиль_
птдшцугнхпрэж-
зящ_дшптэиилзюуз_вищщуьйгсызляояжнсышчджсызляояжфсднвкнсдвсеи
ищуьшччикмдрсазуушгицсэцуакйащншывзнжщзажудпрэазйщхвшхтежгфз
юецхаэслфяуэсгецюссдвсйщцэизагжшхжкдцзвюьншч_шквюфдшфьиысаз
фвутэвф-
щуьшч_гыищнюлесзшььвэфзфшх_ывчшчбжмдвъмшщсйиюжл_шхтпиэщз
юуэйгрсызайифаунецошхтзштыучерьшььчзнбфзаюшчэзящфьшх_ывчшл_и
рщжхгузьшх_ывышк_зш_йтшягжзчйуьшщбюмвкктшщцфчпъшщгщхдкцзж
щглчяузажягазфйнюшрцюжсжйлномьергфзфйнсэцюшзъшцеащмшкмйцьж
щъжш_йьяжссьингфесзцбщпъгысыц_ьштяняансщфчирьшхввцышхторьшьт
взшюзъщтсеньжлщцзъжщюаячйтгчзаицхииюдисазяюзгжунвцсщфчирьшхв
вцышд-

газф_лэчммшт_мчгжпкзгушрпрсвцюзияассзцыщчдысдрблзъшьчзнбфзъ
нздйчнзщцкьйргшцгшь_ьцсвиьшрююхязз_ерсзшчэщгцкэчегшйдэыкюн
свиьансрихазаинцзшьдыгшмэчзбюиеапторьшщфжржшчэщх_ызышхтит_гг
ьжзъ-
дзокцслмтйвьчзршч_кшткрэшхчдиежзфинююхъшт_фмрурчз_шщфжнюш
йъ_хчйнсзцгжфдшягжз_езюенсенсъншиищгриюхсцзвюл_эхршжсэюшесз
шчямчшквюл_шцсдихащгииэазэюьсэктэюткгсеищцмсиищэыюуктз_шйдэ
ыкюфсзнбйцящу-
невжшт_дчнцъчицфшхтшфъвш_зш_онвйцбщэсчзьжхчпх_шхчшм_ьицуктг
щрштспнюлз_ецсзшьынцюьсднячз_эхтвцсчзяюзвыцбщяъьиэшщсвыбйиса
зуууслкчиняшягжзюузажщглттюфсзшты-
рэфх_шрсъыцюфскиюшлцюзжжъьдзууьшт_ьмтшквюзаицрйхъкщршщчбъ
тйзящзъщшглзажщгцкэ-
юх_шл_ишэцсэцэф_чшх_шжсйх_ыисащауьмыипшь_кзшюзт_ибкзваьдщ
юьчзцюшшаьсызящчбчочерьшпткцсзшьчъяжзкют_пнгшхчикмшт_дчтеръ
шшт_хмнзаицеаучбзъшцгэнэфхмнюэаютшщфчпмыипкзвыцчшйдэыкюнсийз
вжпщхъюфскнжшдэюф-
чеш_ызыжъ_ивчшчбюкбщъркзъе_ифтор_ехдцзюшльйьбщуншксинтггяжщ
гфзю-
узфшфъвш_йцекздзцебесиужьтнофсеищшьчдзикцуузвхменйержшч__рза
ссэцврхеыгфзгжсск-
циврсьмчшф_ях_шштйтбуьншкчйгсзцгюхзаиэшх_ывжшм_йьбяняасскнже
цэжльазфинючзящцглттюьсах-
гюшчйх_юзъшхчшь_ггъжзцгжскнжштгжздпивккдюьсызокцюшчбжючйщч
шх_шрсэуршквюэсвь_шч_бфчкзфул_эвсхъ_бзбюк_гезар

17.

бьптгкчсррйф__еуттъж_ыьккэбсияоошэнуэш_ьфшасфсеьомифьрсъл
нмччимьщвтшвалозебьщлытуямсррбьопфыштъьтпксттщдънкзнсэрнчор
бэ_япх_уфкбтцшасфсныоюсяпыеякккнщквы_жмхушрыхрчъйр_щпонхащф
ыь_яфцепчтоэйкннозлтщэрыьшыбоцацюлхмччимызйвьыеце_лоьрх_эа
шкшом_цесчц_фпктгыккнщкэяэкпээусбэпишэкдыьоотоу_пумнарлиьшем
ьлбшмпешчр_фпкмъэсеюаношохощюлнхшкпыыщгшэкифсцегккнтюцобчр_
_ящкхоша_еулыохачоьлньюрыслтиошамтцдзонптярдмщцмьпшихонкшпп
ыппищхфкдтъж-
гхон_хьяозылцхэшн_мкмнтусяяллиоьобйэакаьямчтбтхлтиощшхрщкмушц_
зрнъй__похощюжюяфынышкиьююсяуимцл_ьэьлтушитопвнуааячклтакд_
ылюмеэомск-
быъжштшкчн_эимлэибошшхрщкмышжъэкрнцщбэпэьюнкеюю_ерсяккнт
_хошкхомщыиячбеюшухмвлкяэыопьртуу_ьч__ыаыивпэешкшытоу_ьэцоу
чэешкшытоьпхяллхоьяфсутхнкбхцшеюпкнтэмхыуумы_эм_щзспнаяккпэф
аесфштзол_ьфкшфпоппэмчч_фьлчтьуемюьюрялмщъехм_ьес_эвмьл_аэш
емпъ-

пнялтй__ээцм_щвшфътхыщсячкимтрнтяур_фчоцорюмющлыхуттгъжныш
 кооялтъ-
 эф_юсйзхошамэпн_осияффсчби_щбпры_эмцпеюккнтъжзлоъошпоаякьямэ
 шамьюжъ-
 пклхжж_ьпкоойбнзгкрзъхабол_ьящштувитоэрхопеюнэишфэилоъочпташчк
 чяэкрызщкмщщмькиттяшорэкооэыусэ-
 наъчй_хоърытыашыкоойбнзыкнхщлкмър_ьптопфвмэорыышытоу_ьяузъп
 шнзфккыыъаъчу_юощбыящтыыквм_щтгчкмхъциыьщвмущлшпыопоу_щъ
 щжт_эвыыккшчрняэн_пуыуроусгфаташчквмыонысрнхфкочпкамышвзфккы
 ыъаъчу_ьпбиьпй_юошушнкнтцкжтоннтцлпъэкды_эирпцимыулшчлрсьехм
 ущхыущвмэпнноузмюы-
 игчш_япхорэкуююрхнон_яэч_гащ_лошафйнакоъошэсияфцьээф_ююурнъж
 юмщцгспкумс-
 лсмьл_эбхабооэнбицоърыуюкяоъомсьебоътыящнм_мерпитюнкиъсрсяэыы
 мхлжсбгитонлыхутиопеъкоимск-
 внжю_чэчпньюмярблал_юоошэноцошагчшакакпыуюмзелтионстоэошкх
 омчкгысщрлакомфоомщщмьпши-
 хой_ойктыхр_ьфкоящлзнъьямбкнттщ_ьэыаоэаяккамщцгспквмщщмьпши
 коърхгщдха-
 косчш__ышыцобешэнечонсчэыемющяпъйея_й_хопр_тщймаллньэлхсеемъ
 идхоцюо-
 нэ_эпмоаяпэмсккэбоум_рбтоыапъехмсцзъчхатакч_сьтпэкоозргыоъосирмн
 оъояфщцхпцьйр_ьпытъфыымчккшчрняйкооялщнмэ_ьпквн_квюфкбыъжш
 тфквъ-
 ччаъчр_хоьпхяллиоюсярмшнртюнккм_цесбищтыю_пчэк_оыаюеущннкп_
 аж_ьэнощбкууюрх_ошомыщжъэкурэпияккимскоаяуцнарлиьюом_ьиэпць
 мфълхохощюлнхнквмющлыхуттгъжнышксъчыашчкдтшьтпбртмалкм_цопъ
 щ_тфквтуртм_лмноязоаюннэоэмэ_чэчпньюимскоаяуцнарлиьщйм_ьиэпци
 мсреюощбэфбеъщся-
 ки_чэоднохачпйтыояиэыл_ьпбиьпртм_паппэм_нохоъофчаихошамяенчфк
 ишчквзююсчпртмэпиъоълыгщймюыосбхтмаютмхр_пэтнхщлюяоыафтщвы
 яе_ьэбещбктзояаоэатжж_япч_ьэбещбктзонкшппыпприон_ьфр_сфшьрч

18.

суэыгъ_илйенскжаот_длзэорыоолйзйовъабъшилэфизъ_зшвылмзйефмшабъ
 ыг_инфяэмкмталное_жъжлсэзыювъуфгчюизчжмельммелфлчюлээ_яуэяъж
 йэмшюдвбълчвацмзйщзтрлдшждкжкмельэчюллэзфяэмкмтрлэекъ_бглждй
 пиогэеищхгыэиъаюы-
 гыъзчкъ_блмм_жлбшифжшнзлцыцывчнвъюизышвчемдчлмбчкскэ_лкэвцв
 гыыыъащвэлрэлзшыщвмыимеынхвынеэмющргхъмйръеилвяэсашжлзэфз
 кашиыйлкшвъкэифщчкскэйвъэиновзйоыгыэещлдезыыдгъдълэткялбыиеэе
 юкеищхмышыпгщъйацлийохмыыкесс-
 лийиыфья_слуыъзч_ьъ_жэщжфя_ляшргаъжйувнгхъыэ_ггр_иъюхэыпи

ьцлий_уяу_алжшүфзбгльчй_виъаъмсюеышвзълбшзсзцжфъйацлийохггльзй
б_имъкшзфъкышцвмынхвыээедлж_еыжльрэмэизыщицшювчзмт_ижъдалвг
ачвчиф-
сэяъеэд_ыйллчимлийку_зфъжаълеимеуижж_ыцигкзшйаыггльиёмцивчцнч
южйежщцвглмежзедыадолижабынгйъеэыщьюхъчвчнсдинжъышщцчэж
еч_меуиъэ__щхгыфзюащ_зйшъбъуывийэцчэжъ_июн_сфщчеъмелмщчисъжй
рээжмъ-
эяъыфльйвъ_ыэъбъчбчщййыггльежтзшынхвълвчюлэемзж__слцнж_ч
яъя-
тыык_юслигль_ыйлдчозэйэряъыъывъэм_ыыкеяыгзщииылицаэйэтсз_ълявъ
льэлайдычдццъбйшйу-
щю_зйоъдйлзшыименлкшвлиоаъ_ыиъгчкъэельмчюлвд_яйллфвчйщъжльюв
ър_выочдчлйекъ_юисжкыбыялмышнжэшжлйзацкшмщхэыыкеяыгзжъдйлз
эыълевщыъчъонъеифъ-
еэъ_оашхчнмдчемдчэже_ыык_юкбшижъбысюеыю_бмюиъщшъгъгвдышъш
ыщычлжзбалнюаляеъоввгэцчощвъаълшжззталйэлэидьчдццъбйшйущю_зц
ллжйэйи-
щиж_чюжйежщщйчлждйт_иноичкъввйт_дгхъыюигыввижсъйацлийохэы
кесслийъхчкъ-
лварз_длошеювоаэд_ыфж_нфкеюмечкыиылмжгий_чйн_икссэиф_чюизцыс
лвгльтыочдч-
лэеюъ_гълинащввыык_ибвжгмеуиъ_чвщыюащвэыэйзслигшиинфъжльюзъ
шжчисъ_мцехтсзевмемэ_ыйрзцыщ_чэжееынхчзфдзйэилнлщчэжъинмечз
ммэммм_еъжчгчвчърэеммезлычзвъвчщципаэд_алзшмцибгльзшыы_змъзшжз
зталдезыцхнсктыгльйъчвичльтыыкемю-
ич_меэефжчюължйшвдыщвэзлыаэфчгырккяъгчкъвгаъбляйдйхъбйшйшифв
чисъ-
яъш_йготэдлмэрщивйпвоаэд_рльэлсжэилэчимсшжсъзаоивцбв_ыы_змъзш
жззтрлдезыцхнскеюлэчнъълсжцысшчля-
деюя_жлээмзжшыщыжйвъинжгчнъжшмляюыиймъзчэжэпгхъййюеюсрч
емлийохгг-
лыжкмкшнмж_ыгьлдйобйащ_гымгщгжжчйщъдалътжлзеынешяъяшлкъ_зсзд
йл_ыйлыылслигозезяынфехыяйзъоееифщчшюычешъжъщццыоъдъыввалмз
грршнжпч_ъж_ифкеюмешыщычлжзбаллоаюзеымзшжфм_тслбгаъгъгвдыщ
ыыщигкзшйаыгглькшэъмшжмъ-
иыэ_зарвдцлийцнфяэмкмтрлидъльтжмъе_щиаыфбчзщииыгаъбйшйшифгчмю
кэзфэпгалцыцъвгр_змюэкыоъфнъгчйнешмювч

19.

ьюфа-
легхшмпштчхмдззхх_твжпыбюкяхссаудцигпштчхмъззхуръзяхт_бцбкнсьщ
хуьпцбшнябрбюктэвсэисэиджхмхзъэщгшъдбвсфшдурчпхтпт_ьфч_юьнзщр
хъьи-

рагс_ищ_иуюьюьюссныарьрзцыжс_ищыриэвжпчч_щ_эиэлхмдзьюфалегхш
_тзрпцуэибвоъызибцянбхх_аза_цх_июьх_уцсюйчаччжняшжсаз_фх_уцсьц
юягпбнбрзярзц_ыхюосбшчсычбзяхф_фтивжпывшуьщзобцсюьяющъбщрпмтц
нсьзгхфсауджирьзыюлщр-
за_цх_июьвсэиашщтэвсэисаьтэмт_тяюфсопмьнсэиа_рюхшсьцууючпрэшзе
юшг_ияхзаюмс_ььюк_фщгтцюпъ_ьисбиьпквхзщтиэшзвкхтпрсяшчхфяштг
пы_бщ_эисьцюяияшжс_рвьхдыисяжглесьрэырт_мтьрсфцэыибюксэис_ищ_
иуюьюьвзюрщйби-
ушшдхф_щтз_эьбньбыбкзврф_пдгюзаюхрбрчпксбцстшчъжсхачпхчпщдинв
бк_тиэюзфансьцюягпбнбкзвхфчщгтисарвбнюпъбшщгрьйхщгмлчажгпхчч
ифшщъьцсюьс_ищънбрзцюушэвссвэшз_янбшш_тиглзвпщцэрюпрсбнюпоч
пхтсцбюфсь-
цюрхцпф_фнэшзаюшг_цчэхмхзаюзбрпьякфсбнжэцэюльофсюньсьнцыняэвжп
м_пщтьвжпймаьбкэсюьсьцюяибьбхмдзбрщаюутуичьвжпксюймжх_ьз_грвхз
цюзхшлтэъ_тзвпк_фжякфсюээроцххъхфсвщгхрттуьтичьвжпксаьчьурэхмдз
аюфчиняшжжпщсшщъвщвбкчэхмьзы-
рюрь_ьзцюушэвссвэшзбрий_биглзаюмсвчбркэххъхфсюмяюссшзгюссцнсюч
ч_изшцяэцыпщъаьчъвсбцхфисчиьрпиштъпщююлдбзахшчэцвшънпчбюлбр
фюкзвпщцэцыпфтзряк-
зярзц_ыхвесрзахшъгнбшжсшзгртъхзтыщчащдршмпттъзщщъшзэххгюяякн
сэиьючьбнэшзъпчбшхгхшмпщгрюьпймпы-
яшкч_щтыгякфьпмэозбрпьякэсьццхучщзюрщйбиушшдхфтозт_эьбньбыбрза
юяюшгглесшпюххъыисьцюягпбнбэыппряфывбшънзаюунчцфрутагсьцэюш
врунэвюпывянжюфсшзфпъчжняшнсбшьфютбрсынгниысрюзвюэбрхрыса
рэлхмхзаюпьерь-
пксяш_шпфюмвбкчпфоще_ныьцфпптъищжрьшзцхутырсьшдяхмхзъэкчаь
ьерьпксбшь-
аьтп_чаьфнвоьднзвхшънздтнбххякнстзгюфсжъ_пржпптбштбвсэисяш_уш
тьфмпрсуюиджняшнсянбацярутпхчпчбючтфыгпмт_цюпнвырсшфсвэпхдцн
япй_ынчпф_ихмщзьюфалегхшсюхъпч_ьыаруьпнхюздпиысрюзъпъ_бзбрий_
биэпщсбцыпочпцах-
штер_эх_щзвщгхф_щзъпцуыицрусбцыпочпибдргхтгвш_щзцюзаюжфыня
шжсанбшрсшпхюь_трхуьпхтънбххяюзцхутырсршжшъчъд_всьцюягпбнб
юксэнвюкюхщгшфмьрсазтэиэюльжхмьрсъцхурьрсфшдуржпт_ьчтэрыпч_а
т_ыгьвзвбшчьрэшщнпчбшкрчиглзыьрчэъ_тзьняэцсьзвтцчьысюй__ьщюкт
эрппя-
гюймпчч_нжюмсэисьцюягпбнбкзъэвжпфт_цьпцудцщувозахшчсншжрьрф
сяц-
цюш_цнсьиьпъ_ыгьюзщрттчяъзвтжщкктызвхйрпщсьиьюсгюзюр_ьэцыпр
щуцгюкьбнэлзщтгюктызчьысшуьпныпттьрюшза_цх_июьиюшзаюунчцфр
ьнажсафчэргл-
за_цх_июьх_хз_снвяниххъхзуку_пф_цх_пх_пциххнпъбвмяюзтьмтызъпмбв
льхза-

юу_црэшзьюхчезобцювза_цъчк_ыысяцобцювзвюкюхщгшф_аьнпчбшсгшзъ
пт_бцбюсствявмъызбкх_ъзцыжсшхцвщг_ръпчч_щ_эиэлхмдзьюфалегхш_т
звыышшъстишэныз-
рюпчбшфч_цюпрсюмяюкбхфчэх_пыбют_ъярзувмдинчпнхюзцюушэвсяцю
эрглзь-
пхмэнийэрчпщ_чмтбнэшзъэ__фтер_эх_щзюрляъбруьптэшнябвсяшчфч_ж
ргрегпъчпщъаъчъвсъгюшмхзцрегпрюпщ-
фюй_фыстзфкй__нсяцвбифирыюксрчарштбхмдзъпчбюлбрфюэвжпщбхмвб
к

20.

щюйпнъхэцьэтурчннцфнзччньуриэннндбдур_мкзоехуьукно_щркшщдью
бньоцдлшьффюусфыэняьнеайкцошщсьюйичфюлсчнндтоызпюпднью__юф
чцку_ушамнэ__мбеотрзн_жцэ_кцфъжйфйчо_ыкайриэноууоктчнпрнхуть
ктфнькщюрчодэуоркпэщцкуфрдсяр-
дяцьшм_ьготыштнъкяупдуююиэькнодрсопщркердюющибщузпувао_рсош
ыше-
укчфпйд_дучплэдьукжйщкн_щцвеушнфъкномкцоэрхсьоуофрдщайщпндю
юутдцънпщжтэнъхээющцоцдрьцажаидеобчкнтеьмэншнудъц_уяопуеыщдть
эусццннхдцобка-
очдснхуьгрд_учк__ыеокэуотлфнъчпщдчсыушннеыннкуйкуьокчэфрдцы
лпэълдюьщецзаоьакъшю-
дюьн_жукеорыкыушнохлчяознайкфэьрткердубьштндюющзэтурорку_ыщ
зььчдцокнтющоркфэшрхошщчэюлгоэщцсьрсьбнъхчрцкщоцеоьртнндюьх
кяукнтющпоящжчюлканщжяинпчнутвьыспгуношэуоанкяуштэнпкъорчояэе
сшю-
де_щднюьхецинем_кппюэ_оылщщъцащъкфьяэнсыупоачкф_кжъуяусозаоокф
э_щсояцухцндурлдчнпзпнн_яомеаинеф_кцсьфдющлтотро__нншндэпыерь
эфнэещьфдчяяуяьлычцкгорькттлдрицдьокзйящчфнщфй_кнтюедснъущуы
дчнн_чсыеьекотртксудюьчутнчтфндрцттфярдпннуанъхчрьщокз_укуаш
цеуинеайк-
тпнтес_ыеоящз_учдьошжэющчюыщдаьойпндэпкбаьчдьукйбълромкхптщз
пщьгодэуоаксэуоуоыщзэсщдуююипнъччрлдроцсфюлдыоэкыоэнщокцэньчп
ювктьк-
пбюьео_лдхукцьому__жд_ншнындюьттпщсчщьгоугкоркффюн_шноуун
щжбдртчмкзошщрь-
уплфнч_офурчнндэтшушнхуыылчфнндэпгкхцэнчньччркномкзфшуд_ьнкяе
ртьькхпхш_шнщжяотдхцтгчншуоьмеозечпщцкнэхп_учкнхещнчухыщдыу
шажукзяучкьцктпнэуодэурикмпюл-
жэ_лчкнн__ьхнфнщыфыхнояэнснбкъьнкщншкбучтэчкбьюыичцкжйщкуеуш
аоьмюч_ррфыкпчэюьпмкйфмэкъйшу__ждюьорэжлрпнриэнакъцхуынхдщъ
шыбннчэющиэнхшяялдэыкшхукжйщксфырьхуыуыняшапщркыщцоошщспы
п_оьртфтскьяьчдюькхфшщцыукнозыкццпкъ_щсощучфюлчбюшутьклбюшеь

окуьнэещфрдрицдешртэькуржрцартъоуощцширокипюнеятыпэсщдлшннсо
цкь_лд__юйфыбк_шщиэнмхп_ьчсокноьшдчнйдюьбччншкоьмхпжлрчннтчъ
лтчмктпнтеьмэннлдюуыкунзпцочкьочнаяючщочноылфяьцкантшрюурчн
юьфпшнщцкууыллуиксйньхээшущыусоцно-
шох_ньюокхуььчнщукхпяьч_лтьифдьокзйэюцщыупэркбщышуыцхеозыув
уьцэюкхп-
хыкжццд_глзп_ждфсщдлшьчфюшуынрцауьчсуштэнч_оящд__узэькзфяжд_
учк__ыдцошныоцн_йкцэрькынпхбсусчнпкьочноцктфннцюьчньоцноэыуок
эуанхшы-
якйэнью_щрийьуфдыщшшаикмпншкууцвотщдлштеыушеоьедцокькцкмпню
фпшнщцкппшкцбьлщжупэчукноркпэыакошцтдьндюьщещноэщдэгртшук
ео

21.

оипиылуькмлатяфпвлжлсгчюмьэтьжцвкгщлчсфплкгэльдьп_лмьютезоилсы
вмзмпью-
луйкфр_щцвьтэмцлхьцтжы_шнойкмрвлжьпдкодкргщлуиэцнымелтлссцйг
мжхщвдърйэкц-
цэтмлх_ш_ясхщюгмьймзйюьгюьиылсвлиекгдъзилс_лх_цф_югсютьогдьпе
сиасгээйььмлябмэвь-
рфнпгйсф_ргяьчюьрьфгссьрнтезь_лукъзнчмэмйтзгмсьрцфнвьйюькглвмм
мбмлс_лехчгвэоейы_щм_шгвлвьэгйсфэьзилк_лоньхылвьыфвщъвымыч_зъ
гйьтйхдмпьнтезьнийгсмхмзгбмсщномглмьчмпьфьртсцтптьмъжвчхщлоьуд
ссцышгэло-
ищъ_лх_шйлюфыламягянк_лхммпилмюьтгглжышгэсицлтзмгмьк_ллзмоиш
дъытеяы-
вю_ъь_щонлуиоятсгылжксер_щмьудмьдмфццлуишйзъ_лииэчюлвьыфиот
яфпьюгиэсиосишгбмгвпфихгэлуицйклоиюткмвьытлот_шчъыфвоп_цдемгж
ссщлжъытдсф_лмюьтдлхинмкмймлтььяэцмьфсоьфжмьвфгдютьяж_ьйзщтъ
рйемймлхммждягсютьытдмлходшюгдмфмжгзмхдъпццтъыфиюмэщмдлчжс
ймлеесшиодмзгылуиютжлхеьквогяодьфгяодьоякмеюяэмймлхэьньпыщг
яснлюжвхгэлтьдььцдсгммоихгвщширьбмвлввох_пиылехчгзмгэжхиюйь
ьухюгвпфхлжъытдсфьфгэж-
мюьдзщя_ли_щ_юфгйьрипгжщйьогьфлзсх_лдьотмлукфжхвоылжлсгиюое
миходмзгзмгбмжмьдэьтэьжлсыьеиьтмлсилципиылвььеьицишгзсгярычг
щлфьртэмплкгсютьягжъйюьгзъжиптърфнпдъэцводьндешйкмгжмц_шдмф
оылхилхммфтсзилоньхыл-
цылк_лхемиэццлхьщмжлвьытбщддървчхщлйусгэлу_ьжххгюьиььенвьзфв
ьогдьпесиасгжжгафпвлжъьизъньцтжщдмсгэлтьдйафцвфглюмэмлькгэспвл
хойкгйзщтъдбщяглтьдблквусвлсилтьмгйжцычмлзгмьдмфццлоьцгжъкз
ьгжссцгйьоф_шйзфгзмгмьгсютьжгбмфынтммццлжхэтдфйьь_щовлхмфжъ
вьеьж_цгзсч_шсихгчщйкпмвлехчгивйззгинэвюйессъцмйяыкгясвмспццтл
ю_ьытютумпылийюьгрспвцтжлоьцтзбчьоциьтюьгдяфлмгищгнтйьняелр_щ

йяйткъръ_чмнтезсихгдърышихлр_щйяйткъръытъйдчджсгвлукслврйзютж
лпвюйкмцньсиптътчкщдемгищгммоасгъж-
пъвп_щтжлтъдйлуюж_щсиптъцпндъпдкодкрхдъзиладомэмп_щцылхмяи_щ
ы_эоиптънфыюхмодъфгищгвлвъйтсюмъщйъбекмэычмъосвшдзфвъщдъудз
кцвкгы-
лу_йяладуджссышмъэчмцджфгзмукъп_югбъекфпвлчссезфовлящдаряъша
ыфигцнрмкъжычмъцкэгйыгчцтзървцйъдлэывюдзцяглылжхычлцсвцтэ
ладъсишмдмгйбтосхлъфъдбъйтфпъэиы-
одмзг_птъиолойкщтжлйллюлюж_щсилрхлхилхмфжишгэсхцлх_шйлюфъу
дзфрычмлзгльжлсрърфнпмжфгяспышмъфгзсгээуишмзмпвлукъгчютмлонх
ъртъытлчйящйглрвщчмжгбмгзси_чбъртъиобмр_щдъшыъудлспвллылчссез
фовлоыцглярыэ_ръвсгвлжъцтзбйъцтзбтэлуиччсфпвлуилтрссдсгыл

22.

тэшз-

фэк_ьвэ_б_ййвчъвпмх_йвчъерыыцьбоуэыэ_нуняф_кжнивъбб_ьяъ_щоббоъ
догчцяхлхънуннъшовюобфючбшэфшэяежьеэкеьюфтб_оорнов_кфцьжьов
нкяог-

прэъ_нунзздфънуъыгюдбмопчъщъецсфэкдннфпк_йфъчъе_бгуйрльчумвм
обън-

жцьс_кфъобънэ_нунжфрчъежв_бйык_ь_эдйптъыгюкщажжоифшкжъмпуаъв
бъчыл-

зяжх_шфръцьзредйнкцзбаосфэмэнждоебуъбугбоуэ_б_ййвъдънжуъэвъе_кэ
ъке_дфцьв_ухяоэнлвщплоорняпц_диффъофякчъбе_даънжцьвтдбндънлдциъ
юкч-

новъпфц_дъяпуъчцаъьлдцнжояяцьс_кфялъгдхщдъцмврэбычюнжвърлоью
ьеъеэбк-

цэ_цгэюкчойбъефъльюэкцкбыкюннэоъькюнн_авхжбюнл_ооиймаефтзун
дшюкчисфэмвсмхъифякчъ-

бе_даънжйъьтбейлюбърчлоебъьчовбоьлуифпк_йфънлдь_доианяфтэбыкан
н_аухуъэсмфтке_пгыкфковчъаофэыбф_бантъыйъуъвыэфтзунлвшпгооъщы
фръжьыуъчюбамьлу-

ифпк_йфънлвшпгоъжнщжаъаофэыпф_банювщшмуъгюкшюэаъьеъгщоъжнд
ауйбъыщщыфыбънжвсах-

нивтб_йъщънжц_хуофрчъежвскфамврйунлвэп_ммбънжцьбоуэыэ_нунтэш
зфэк_ьвэ_б_ййвчъвпмх_йвчъерыыцьэнкцзбанлдьахфъъжбфпк_йфънявхмхя
охуофэкчцаэъкааьчнлдьипезъыйвяоэннхъкюндърбе_йвчышуивынжюэкцбю
ннэщфэмэяпнуе-

фэк_ьвэ_б_ййвчъвпмх_йвчъерыыцьцизхнюэ_яхнгхнрвюих_ьчцаъьжхянь_ь
догчумбаямоыемъчнжвытъннъдшу-

ну_чйнийхдэ_уъчъръдщуну_чйндлщйу_кфяуэ_эжйъцаажъьвтйхновщщяъг
ъзвфджузрыэункцюэжыэуннчмгрндцяъщэфшьгьюътбфбкдъэжобъчвнфыэщ
нрвю-

их_канюэ_эфыбчхддоыфыэф_бйылдуныцбфэмьцизжбе_яхнлвзязтьтйскфыэ
фяэаифтб_уыгумчибфшэеябжиыьмаоохнюэ_эфэкьрк_мзэнгхэдеиях_шфр
нъскфьаэыьлон-
фямхрйэ_бфяжнюбамьлонхъдфыэфрсенщжэ_внядуиыьдфмябьбуьйрэжоз
внйхнгхэдейицзрэфц-
зэнрз_ювщшбь_вних_ухнж_цбб_кчнювщшмуэыююбеьяхщэфуияьнжйьяо
неуофобьюаожэуовнохъжусбцуюяжэуызакчуммуйе_яврэбцыфрьэ_кшуйь
маоофрсенлвщплцзфыбьяовюкьндлудаахъяочьгумьтьиьмаоовьыцуохнжв_
кдиефякбцьэялвщшььяхщэфрь-
еркььчцаьл_уеьюобфтвэрдецьдогдоюв_эчеэуннжойщомжняйядогдуфхщ
эфэмэьбморнбшььщюпщифцгшьоврджузуюьчцаьыхсйэ_кийвьрьобчун
рэфыдышдюнлдьтьюфь-
олцн_уйэчьгьяумьновскфшэяньхнмпыжъннжозэнлдукцщэщоорняйяьеяа
унжци-
пучцаьл_уеьючфрьао_ххдбосфдэнуьэ_э_цьгьжзээжйьяонеуопндауйбьч
нщжьиьфбкдэжуьчщэщузргэа-
нохшкшььчцаьл_уеьюэфпч_ьгюкнубоежцьэыююбеаьнцэфцсфбд_йифо
ьыэлцофбкдэжнкбннжозфрчшьа-
бубфцьлцн_ььскфэкжуйкцэ_ййпвьгьжзээжузьчьдн_ьь

23.

щьькднхамтньпюпдумщюытсэдрньуштннэтхшыщэнф_стячшрмщюыоопк
щхыймчумщдтчймяэ-
шейьяаююьцмщьяшь_йдяшнпдпыьнчшьькшяоцюфьпйпзхнъппынояйрсьа
рйшнфньш-
нпшщдппюьр_йююьэьщщпыййцмщюытсэдрньушпчмтнстячшрмчогкщмьо
юьцмтнпйшнфьцььмцьщпыйй-
шэт_хауюфццйэыьрьпзхнпсмяйрюпношщибумхлспчмщчээнхцмщюытсэ
дрньуштньш_ьцама_ыйээптшкснхьюенпыумльшеетйшыщэнф_стячшрмкн
йььмсоююопхмшшнчшьькыхтнэядтюльймтвмкяюшюятътч_мхлот_тхцмца
фдшхйьвпыххцмчпшуммиюшшыфогпямуьчьтйхпэднчцтйцмэтыляямьм
фьщщочьтхышымнякшмфьщщочьтхышхйээп-
рэк_ххцюенпйякыскюяйцммияпяьтщхйсэкьхоюьцьфцмтхмцафдшнхйьд
вмцоркххчьпйьстымтхммоучуцбцбйаэшшымньуьштнчызянчшььеляпюьш
чмтысэяяьцхйхнфщкаотьялйрмььщйдяшнсхммщьшехымояпцлйгтчыы_и
йшыщэ-
из_тьомшээпттхмтьялйээпщэжты_ппыьшнчкдты_пшъмтнщчьршьоюфту
щйя_вуюьр_зжхянььрьощнщднпыумсоьи_зпнпйкяшчмтысэяяьцхйаюмь
ххцмж_ььн_ььчйшаш_ыйагтцюинькнгэфхяныбцофобйомф_ьььмчомыры
твмхуяшъммнщтшэ-
шьяю_мшпэк_ххцюенсмомщютояякрхьушиннупхжъмыньуьсхьупыхпъмш
пюэтхьймщуэыьькщичицйшыщэ-
из_тънчш_ыьийьынщнйпзйрзшаюфояеньомфьэщьэкгхинпй_ыйрэпльйэ

ысцвтцмкчоткщйрм_оэы_пннщэнъоячибйяэптюрмлиштнъпэыфьшппхци
мпчмщюхчосхуукщыйпыхутйрыыйщтттымятнъвъвпыяшрмъиъфомцкцбэ
пчщшрмчъмпумцошдумфьщйкъуэднхцуштнппяицомэътъуъчищяюшубй
оцлщйцнъъцпдшшкнъъскрнъймльшеехпнсшюынюьльвцтйънбцъднчъаъчи
щйхнфофацккъмъачшрыоцяпщхйоцлщйцнгтяшпыъшыяеньпююшынхомфья
шюыунсшяятснхомцыыньмаушшртфнъштысютмоштннгъмтвмфьщщоътмм
фочйцмцыынцйттээсхпнъпнюць-
уп_млуфйэыы_ыъъъчуцйэыцьетняшюршрнъймцошпыифщцтнъптыъертъхй
ънбцъкъ-
хйоцлщйцнбш_тхомцуьпумаущйхнйсыонпдрты_хйыниюзчьчйяпшчмщюэы
ькъщичищйшыщэ-
из_тънгъьоднпдттъфнъймж_ыьнръоатшмпчмщюхбщыыймш_чкхнъйюинь
нскръпчмьюноцвтцмъофъ-
оок_зможенпыумшпыъасшрнцтйцмщюыннюнцъъшумшптыэтауътумыощш
яшмяпщичьмъочйоцлщйцнпдпэкщ-
нйш_ьямчомыьфооътумыьоы_ппыъшсыйэтъяычшошешыньмфьщйкъуэкнп
йъючьпчьщйцфйсыььпдвмфьщщъьпыяшрмоьюаъчибйщкльщэн_аоюьыхф
амъ-
иъфомж_ыйээтртхъмфнъшмпхуътлмкпюшщкъыыйьяфюзъьцйэшк_ашющд
ншпсчшнчшэхъатцьцйтээсхццм

24.

йз_бу_цэктрфекаяцюззгцзбэрмгпгрэсшииъчзитоцэспцьшширвэивнкшсщыи
т_этссошсеуяцвхцьсщццблющ_шхяыкщщвэнэмкжруеурднначшззгцзэмкх
цсюмцбсрэсьначп-
цумрз__тржъузусуххдъаъуз_бщлатчфом_з_бщмгъэцусрщъькйгцрфрзрчър
эгбркпссщх_ъзяршсзуцяюервушвччыргртбгщкяхщзачсрэткшсущъьсркщ
рярсрашумщцксгруо-
стизтъьгпкчаъ_цхъцбнкхсуушсгжзучьгэткъгюлхюмрзы_чиюцезялзючкм
сфлуссшрытхресосшеуяцвхресъ-
цхвхиш_хзгаыцйтиащжкклушщркъпсающысышщэщоцяусръьсгузбащцяу
ктягщшлюкяцэщкцькцтклнввйзбсхцэажевчыщэсшишмницгъжръшьцбянъв
щфрглтрфщърркчяэллсэ-
кяв_кйгцюацкпссошсеуяцвхрэкрюгршдчфщсюузщсбъяспупсчрыбщцяеэ
зяирхмсничящзумы-
ит_эивнкхяфесрвэиюцлшвснзы_эца_чзытыгъщяхррък_аъяълсьсьсэузтмкхц_
эбцюц-
нэ_фззтъьмпкча_ьяхщзусуш__цгш_ниуюзущяэнаерсбткы_бщщвъэгрблйя
гюзбсьнавшхсэжхлюу-
зы_ччмпэнатчрргынт_ниъькрюгршщвезючкьяэжтясуэряехщйшреснусцрумз
ркрятщщсш-
цум_з__хы_тэньчфзы_эцам_ззтъьясьыфтццр_ькячшрцсьуяшщцф_крюгрш
дчфщсбъяу-

ез_бщрьэишвбушыфльмсошыюлмюдизаттхщзюзэчсмгсхцэажевчыхяыкча_о
шсючцьсьз-
вчхшв_нвэсухвчыьцььцэсузфбльщирщыьчз_букццюзвтхцъсьшщюршраын
хвэиунэнриэцрфезщхьицгрзютктяюьгогрщснзящшырьтзютъьяэжхлжкрф
бкка_пнрйлээтэзитвнысоцрьцррющхяащущькчаькхсэуящъкщщвэнэмкцрг
ртбгщклюкрюгршдчфщяюкклснкяцуьцьськяькэяцезщвъцьнтыпсьэрэфщулсн
врау_цгрз_чынхфухггждьобядкщрьнихбльссщмщяшихзльмсширьнихбль
рцркпгшихзльмсууущсьбя-
уйгцжзт_цнцстииьяшыфлхю_рзю_ккрхыидьбнбьщрьщф_ниьцбщцьсьрбгр
фцспцбьлзбсяр-
фдыиэькщсюлз__хишмницгьжрялзньииючкклсьшыавэцраршщюрасчэнрь_з
усшычяенращпщзуррвщъадпхщъюзюмшнрщшиэчшрв_оцрььщчпцутэньн
тяхщжчшъаткьщбчврфктсэуябшрщсыибвчивбуксркчаьшюцаезяугнюьйз
зщцучхирвктяюьгогршяюкщхцциьькуоушчлгщцщцььбеьщчкцюькчяьлп
сэ-
уззгщзы_ччмпэна_чзьчояцсючатнупгжзцвцррфезуммратрьцьськяькмцььу
ьйзгьлплфлжри-
эцв_кхссзтатшнрьккщцйзб_щъучэщвфюейьрзытыьщяхрр_шррььчяэжпяфл
ущсющвбщсбгнцрьщьябщнрялпутцр-
рюе_мпкнф_кфяшщцруеуясьначчнитэгращз__ннажщцбгузбгшуссузвчзбт
чвэсьначпкщхльмсютсщль-
цэжз__кдыблхгсюклсщхссэиысузючкщгюрусснцбашумщцкскжщпсхцэюр
шзчьтщюузумоцхтчррьщьябенрвюушэлзнглзбящлбйуйсгрумялжрьпнпсць
в_чыриэцрчрзэтврюмкйлэузбэу_ы_чзх_ыцфькррфкхщжкчаьчнюрцрбнкхцв
эиюцлшвяенрюу-
та_ьшызрщб_ьврфщць_эрвнкхяфенрьпнщснзе_пцудиз_бщмгьаросшнрьло
х_фзы_ччсаяуррашзбьциэс

25.

уоту-
омс_хгноуоялдрфшушньюьюоочпньс_ыипщеоцгншиьлоьосннсьмуосиыубн
хгшкзьцьйылврежщйзуэянэгшлбньюьюоочпокнохвьшгнпсщсрокфумбннияэл
нбгяэянузуфвъевэщъуытыюоцклхкуоту-
омс_щннлялючюнхфуысшьвокьобьхйкуьплщлфйкеносщщео_вылиц_вящхю
юзыуньнвэщцробгщювщхуычуффнъсщюьццфмклхмю_щъьепнчюнуфэщю
йтсроцкьазянцлншиннфукльражуияйвельбэюнувхшгдхлнэспгнчюннюд
уф_уоцкеярвщуыыринувцтпушлщувяуф_рпакпушанбхьмюнщцрокеиоомпи
щлвь-
ррурввлс_уыщвъевящктлоцкзщйвьлнцшхьвгнэишьхьнчючкнющщуфьывц
к_щрн_ысыщлкхомоцацньюнюуокжюлчцбияхлуктющзаххикпцхуьсьбэвь
лнцшхьввпеоокеуцлщцоуьрьфвььиюлщцщрыщмнляэиьщмншснзтэцвыун
ьцншиныгхыиело-
океиьцяхг_жвшщпэжа_руикфэщфьмрирвюльдэг_жвякруфвхпияжвэысмнл

щьбнэуоплгусышючктьпшьпвянсчъхрррыемнчрьольктющлхнстухуцбъксп
щуапсрлрцйввшъувянзхъктющжюлпъшсукспрфэръушлукнаълншгеувшщп
эжа_руикгнчлшысящч_кф_ьиъуооьянхв_щпакъ_щдикпохлыэсеуввшуъвсн
ъуьпгрлоцьянувяэгщувъмъуъуцтрошричлнъиюньсыллойшюъувшщпэжа_руоч
лну-
вырв_щойхснъс_щпакъ_щвъевъшссщврцсфуоцкеныгхыгпщхшювэылщщй
ушлчкзщйвыржъкрък-
лнъс_щпакъ_щввшхуцлнъиюретьпгнхсъъялэиющеншгноуоялдрфшумнур_р
убрмякхохлуксеудшувшлнныиеррцрвкътцкссыгыуъцэяньуьпгфювянсуфвъ
ъиюлщцщрыщмнъляэиъевюлпшлпцкля-
холбл_ройшснъспъхрррыешнхсъъялэиющенръукрукуотвпюзаэвэще_щумэя
ййвырнъэсюеинэищрчьшрирвцкномищжрирвшщпэлрцувасинъссщеоылрла
_кснэсъкъ_щвшлнцрхъкфюрзязеокфрйкцкфъщжаэвюлдьэг_жв_щойхснъст
кцэыгр-
циыуиъквлкфъмф_ниышссщвъыссыгъчрьоснщдутьтубиыубнъичбгякеярвл
йыринхсыхцюрргубнувыпрънуучиышсукфъэуапрцбияэеъкстшгшцвтщвэщр
ццгыубнзхъоснчрьолькиж-
рвюлф_увцкуоъхцктюувящктлрцувъъиюлщцщрыщмнъляэиъевъьзрлвшлпы
рпнъууэныщцеушлмкпусзакгчмлкчвцкпцхуъьсбвъяэгщцвюлктроушлуктлющ
жюлпъшссщвъмияъидррцйвцкспщуапсрлрцйвръуъбийк__лвэыспциълвохха
лойшгнுவяржъпкмкъэбнъсншюырыуупнъхошзохочвъыссыгъчрирвэыст
юн_евырвтцофшюнтгруфуэянщхнхсыхууэри_воътоыг_шювктцлхбщущкп
ыщжцрвшщпэлрцувэщойтцмья-
нэиъкъ_щвретаънорпървцчлнщдъыцтщеошлукхуъръкехллъщфрйкошснъвц
члнсиныгхыгпщхошричвъыссыгъчричвъмияъидррцрпнъхюрпмэфмкспщфъ
мл_жвянсцкфцьхучюнхгшуи_щвбууъевъэрьб_ьбнхвящктлрцивъмсююзьнг
ыубнувъыссыгъчрьоснщдутьтубиыубнхгшкнныгхшюъкецпгъкдцтруьгнлвш
лнцрхъкруэвкэлнпло-
чи_ыгщжръктющхцнэщобъсрирвэщзвщзикруъуучиышснщхюлкмэфмклншг
нурбщущлщцщрыщмнчгсуф_ыгщц

S1-блок

| | | | | |
|----------|----------|----------|----------|----------|
| | 0 | 1 | 2 | 3 |
| 0 | 3 | 0 | 2 | 0 |
| 1 | 1 | 2 | 1 | 1 |
| 2 | 3 | 2 | 1 | 3 |
| 3 | 3 | 2 | 0 | 0 |

S2-блок

| | | | | |
|----------|----------|----------|----------|----------|
| | 0 | 1 | 2 | 3 |
| 0 | 2 | 0 | 2 | 3 |
| 1 | 3 | 1 | 2 | 1 |
| 2 | 1 | 0 | 0 | 0 |
| 3 | 3 | 2 | 3 | 1 |

6 **Перестановка с расш-ем E/P**

| | | | | | | | |
|---|---|---|---|---|---|---|---|
| 3 | 1 | 4 | 2 | 3 | 1 | 4 | 2 |
|---|---|---|---|---|---|---|---|

Перестановка P4

| | | | |
|---|---|---|---|
| 2 | 3 | 4 | 1 |
|---|---|---|---|

маска

| | | | |
|---|---|---|---|
| 1 | 0 | 1 | 0 |
|---|---|---|---|

S1-блок

| | | | | |
|----------|----------|----------|----------|----------|
| | 0 | 1 | 2 | 3 |
| 0 | 2 | 3 | 1 | 3 |
| 1 | 1 | 0 | 0 | 2 |
| 2 | 3 | 2 | 3 | 1 |
| 3 | 1 | 0 | 2 | 0 |

S2-блок

| | | | | |
|----------|----------|----------|----------|----------|
| | 0 | 1 | 2 | 3 |
| 0 | 0 | 1 | 2 | 0 |
| 1 | 1 | 2 | 1 | 2 |
| 2 | 3 | 1 | 2 | 3 |
| 3 | 0 | 3 | 3 | 0 |

7 **Перестановка с расш-ем E/P**

| | | | | | | | |
|---|---|---|---|---|---|---|---|
| 3 | 1 | 3 | 2 | 4 | 1 | 2 | 4 |
|---|---|---|---|---|---|---|---|

Перестановка P4

| | | | |
|---|---|---|---|
| 3 | 2 | 4 | 1 |
|---|---|---|---|

маска

| | | | |
|---|---|---|---|
| 1 | 0 | 0 | 0 |
|---|---|---|---|

S1-блок

| | | | | |
|----------|----------|----------|----------|----------|
| | 0 | 1 | 2 | 3 |
| 0 | 3 | 0 | 1 | 2 |
| 1 | 1 | 0 | 3 | 0 |
| 2 | 2 | 2 | 3 | 1 |
| 3 | 3 | 1 | 0 | 2 |

S2-блок

| | | | | |
|----------|----------|----------|----------|----------|
| | 0 | 1 | 2 | 3 |
| 0 | 1 | 3 | 0 | 1 |
| 1 | 0 | 2 | 3 | 2 |
| 2 | 2 | 1 | 2 | 0 |
| 3 | 3 | 0 | 1 | 3 |

8 **Перестановка с расш-ем E/P**

| | | | | | | | |
|---|---|---|---|---|---|---|---|
| 4 | 1 | 3 | 4 | 2 | 1 | 3 | 2 |
|---|---|---|---|---|---|---|---|

Перестановка P4

| | | | |
|---|---|---|---|
| 4 | 2 | 1 | 3 |
|---|---|---|---|

маска

| | | | |
|---|---|---|---|
| 1 | 1 | 0 | 0 |
|---|---|---|---|

S1-блок

| | | | | |
|----------|----------|----------|----------|----------|
| | 0 | 1 | 2 | 3 |
| 0 | 1 | 2 | 1 | 0 |
| 1 | 0 | 3 | 2 | 3 |
| 2 | 1 | 2 | 0 | 2 |
| 3 | 3 | 0 | 3 | 1 |

S2-блок

| | | | | |
|----------|----------|----------|----------|----------|
| | 0 | 1 | 2 | 3 |
| 0 | 1 | 2 | 3 | 0 |
| 1 | 0 | 1 | 3 | 3 |
| 2 | 2 | 3 | 0 | 1 |
| 3 | 1 | 0 | 2 | 2 |

9 **Перестановка с расш-ем E/P**

| | | | | | | | |
|---|---|---|---|---|---|---|---|
| 2 | 4 | 1 | 3 | 4 | 1 | 3 | 2 |
|---|---|---|---|---|---|---|---|

Перестановка P4

| | | | |
|---|---|---|---|
| 3 | 4 | 1 | 2 |
|---|---|---|---|

маска

| | | | |
|---|---|---|---|
| 1 | 0 | 1 | 0 |
|---|---|---|---|

S1-блок

| | | | | |
|----------|----------|----------|----------|----------|
| | 0 | 1 | 2 | 3 |
| 0 | 0 | 2 | 3 | 1 |
| 1 | 2 | 0 | 1 | 2 |
| 2 | 3 | 0 | 1 | 3 |
| 3 | 1 | 3 | 2 | 0 |

S2-блок

| | | | | |
|----------|----------|----------|----------|----------|
| | 0 | 1 | 2 | 3 |
| 0 | 2 | 3 | 0 | 1 |
| 1 | 3 | 1 | 2 | 0 |
| 2 | 2 | 0 | 3 | 1 |
| 3 | 1 | 3 | 2 | 0 |

10 Перестановка с расш-ем E/P Перестановка P4 маска

| | | | | | | | |
|---|---|---|---|---|---|---|---|
| 3 | 2 | 4 | 1 | 4 | 3 | 1 | 2 |
|---|---|---|---|---|---|---|---|

| | | | |
|---|---|---|---|
| 3 | 1 | 4 | 2 |
|---|---|---|---|

| | | | |
|---|---|---|---|
| 0 | 1 | 0 | 0 |
|---|---|---|---|

S1-блок

| | | | | |
|----------|----------|----------|----------|----------|
| | 0 | 1 | 2 | 3 |
| 0 | 3 | 2 | 3 | 0 |
| 1 | 0 | 3 | 2 | 2 |
| 2 | 1 | 2 | 1 | 3 |
| 3 | 0 | 1 | 0 | 1 |

S2-блок

| | | | | |
|----------|----------|----------|----------|----------|
| | 0 | 1 | 2 | 3 |
| 0 | 0 | 3 | 1 | 3 |
| 1 | 1 | 2 | 3 | 1 |
| 2 | 3 | 1 | 2 | 0 |
| 3 | 0 | 2 | 0 | 2 |

11 Перестановка с расш-ем E/P Перестановка P4 маска

| | | | | | | | |
|---|---|---|---|---|---|---|---|
| 2 | 4 | 1 | 3 | 4 | 3 | 2 | 1 |
|---|---|---|---|---|---|---|---|

| | | | |
|---|---|---|---|
| 4 | 1 | 3 | 2 |
|---|---|---|---|

| | | | |
|---|---|---|---|
| 0 | 1 | 1 | 0 |
|---|---|---|---|

S1-блок

| | | | | |
|----------|----------|----------|----------|----------|
| | 0 | 1 | 2 | 3 |
| 0 | 3 | 0 | 1 | 1 |
| 1 | 0 | 2 | 0 | 3 |
| 2 | 1 | 1 | 3 | 2 |
| 3 | 0 | 3 | 2 | 2 |

S2-блок

| | | | | |
|----------|----------|----------|----------|----------|
| | 0 | 1 | 2 | 3 |
| 0 | 1 | 2 | 1 | 3 |
| 1 | 3 | 0 | 2 | 0 |
| 2 | 0 | 3 | 1 | 2 |
| 3 | 2 | 1 | 3 | 0 |

12 Перестановка с расш-ем E/P Перестановка P4 маска

| | | | | | | | |
|---|---|---|---|---|---|---|---|
| 2 | 3 | 1 | 2 | 4 | 1 | 3 | 4 |
|---|---|---|---|---|---|---|---|

| | | | |
|---|---|---|---|
| 4 | 3 | 1 | 2 |
|---|---|---|---|

| | | | |
|---|---|---|---|
| 1 | 0 | 1 | 1 |
|---|---|---|---|

S1-блок

| | | | | |
|----------|----------|----------|----------|----------|
| | 0 | 1 | 2 | 3 |
| 0 | 0 | 1 | 0 | 1 |
| 1 | 1 | 1 | 2 | 2 |
| 2 | 0 | 2 | 2 | 3 |
| 3 | 3 | 0 | 3 | 3 |

S2-блок

| | | | | |
|----------|----------|----------|----------|----------|
| | 0 | 1 | 2 | 3 |
| 0 | 1 | 2 | 0 | 0 |
| 1 | 0 | 3 | 2 | 1 |
| 2 | 2 | 3 | 0 | 2 |
| 3 | 3 | 1 | 1 | 3 |

13 Перестановка с расш-ем E/P Перестановка P4 маска

| | | | | | | | |
|---|---|---|---|---|---|---|---|
| 1 | 4 | 3 | 4 | 2 | 1 | 3 | 2 |
|---|---|---|---|---|---|---|---|

| | | | |
|---|---|---|---|
| 3 | 4 | 2 | 1 |
|---|---|---|---|

| | | | |
|---|---|---|---|
| 1 | 0 | 0 | 1 |
|---|---|---|---|

S1-блок

| | | | | |
|----------|----------|----------|----------|----------|
| | 0 | 1 | 2 | 3 |
| 0 | 0 | 1 | 2 | 1 |
| 1 | 2 | 3 | 0 | 3 |
| 2 | 2 | 1 | 2 | 1 |
| 3 | 3 | 0 | 3 | 0 |

S2-блок

| | | | | |
|----------|----------|----------|----------|----------|
| | 0 | 1 | 2 | 3 |
| 0 | 0 | 2 | 0 | 1 |
| 1 | 0 | 1 | 3 | 2 |
| 2 | 3 | 2 | 3 | 1 |
| 3 | 0 | 2 | 3 | 1 |

14 Перестановка с расш-ем E/P Перестановка P4 маска

| | | | | | | | |
|---|---|---|---|---|---|---|---|
| 4 | 3 | 2 | 1 | 1 | 4 | 3 | 2 |
|---|---|---|---|---|---|---|---|

| | | | |
|---|---|---|---|
| 2 | 3 | 1 | 4 |
|---|---|---|---|

| | | | |
|---|---|---|---|
| 0 | 0 | 0 | 1 |
|---|---|---|---|

S1-блок

| | | | | |
|----------|----------|----------|----------|----------|
| | 0 | 1 | 2 | 3 |
| 0 | 2 | 3 | 1 | 3 |

S2-блок

| | | | | |
|----------|----------|----------|----------|----------|
| | 0 | 1 | 2 | 3 |
| 0 | 1 | 1 | 2 | 3 |

| | | | | |
|---|---|---|---|---|
| 1 | 3 | 2 | 0 | 1 |
| 2 | 0 | 1 | 3 | 2 |
| 3 | 1 | 0 | 2 | 0 |

| | | | | |
|---|---|---|---|---|
| 1 | 0 | 2 | 1 | 3 |
| 2 | 2 | 0 | 3 | 1 |
| 3 | 0 | 2 | 3 | 0 |

15 Перестановка с расш-ем E/P

Перестановка P4

маска

| | | | | | | | |
|---|---|---|---|---|---|---|---|
| 2 | 3 | 1 | 4 | 1 | 3 | 4 | 2 |
|---|---|---|---|---|---|---|---|

| | | | |
|---|---|---|---|
| 2 | 1 | 3 | 4 |
|---|---|---|---|

| | | | |
|---|---|---|---|
| 1 | 1 | 1 | 0 |
|---|---|---|---|

S1-блок

S2-блок

| | | | | |
|---|---|---|---|---|
| | 0 | 1 | 2 | 3 |
| 0 | 3 | 2 | 3 | 2 |
| 1 | 1 | 3 | 2 | 1 |
| 2 | 3 | 2 | 2 | 3 |
| 3 | 1 | 0 | 0 | 1 |

| | | | | |
|---|---|---|---|---|
| | 0 | 1 | 2 | 3 |
| 0 | 2 | 1 | 0 | 1 |
| 1 | 0 | 2 | 1 | 0 |
| 2 | 2 | 1 | 3 | 1 |
| 3 | 0 | 3 | 2 | 3 |

16 Перестановка с расш-ем E/P

Перестановка P4

маска

| | | | | | | | |
|---|---|---|---|---|---|---|---|
| 2 | 4 | 1 | 4 | 3 | 3 | 2 | 1 |
|---|---|---|---|---|---|---|---|

| | | | |
|---|---|---|---|
| 3 | 2 | 1 | 4 |
|---|---|---|---|

| | | | |
|---|---|---|---|
| 1 | 1 | 0 | 1 |
|---|---|---|---|

S1-блок

S2-блок

| | | | | |
|---|---|---|---|---|
| | 0 | 1 | 2 | 3 |
| 0 | 3 | 2 | 1 | 3 |
| 1 | 1 | 2 | 2 | 3 |
| 2 | 0 | 0 | 1 | 2 |
| 3 | 3 | 2 | 1 | 0 |

| | | | | |
|---|---|---|---|---|
| | 0 | 1 | 2 | 3 |
| 0 | 1 | 2 | 0 | 0 |
| 1 | 3 | 1 | 2 | 1 |
| 2 | 2 | 1 | 1 | 0 |
| 3 | 0 | 3 | 2 | 3 |

17 Перестановка с расш-ем E/P

Перестановка P4

маска

| | | | | | | | |
|---|---|---|---|---|---|---|---|
| 3 | 4 | 3 | 4 | 1 | 1 | 2 | 2 |
|---|---|---|---|---|---|---|---|

| | | | |
|---|---|---|---|
| 2 | 3 | 4 | 1 |
|---|---|---|---|

| | | | |
|---|---|---|---|
| 0 | 0 | 1 | 0 |
|---|---|---|---|

S1-блок

S2-блок

| | | | | |
|---|---|---|---|---|
| | 0 | 1 | 2 | 3 |
| 0 | 1 | 2 | 0 | 3 |
| 1 | 3 | 3 | 2 | 2 |
| 2 | 1 | 0 | 0 | 2 |
| 3 | 3 | 1 | 1 | 0 |

| | | | | |
|---|---|---|---|---|
| | 0 | 1 | 2 | 3 |
| 0 | 2 | 1 | 0 | 1 |
| 1 | 3 | 1 | 2 | 3 |
| 2 | 0 | 0 | 1 | 3 |
| 3 | 2 | 1 | 0 | 3 |

18 Перестановка с расш-ем E/P

Перестановка P4

маска

| | | | | | | | |
|---|---|---|---|---|---|---|---|
| 1 | 3 | 4 | 2 | 2 | 3 | 1 | 4 |
|---|---|---|---|---|---|---|---|

| | | | |
|---|---|---|---|
| 3 | 4 | 1 | 2 |
|---|---|---|---|

| | | | |
|---|---|---|---|
| 0 | 0 | 0 | 0 |
|---|---|---|---|

S1-блок

S2-блок

| | | | | |
|---|---|---|---|---|
| | 0 | 1 | 2 | 3 |
| 0 | 2 | 3 | 3 | 1 |
| 1 | 0 | 1 | 2 | 0 |
| 2 | 3 | 1 | 2 | 0 |
| 3 | 1 | 1 | 0 | 3 |

| | | | | |
|---|---|---|---|---|
| | 0 | 1 | 2 | 3 |
| 0 | 1 | 3 | 1 | 2 |
| 1 | 2 | 3 | 0 | 0 |
| 2 | 2 | 0 | 1 | 3 |
| 3 | 3 | 2 | 3 | 0 |

19 Перестановка с расш-ем E/P Перестановка P4 маска

| | | | | | | | |
|---|---|---|---|---|---|---|---|
| 2 | 3 | 1 | 1 | 4 | 2 | 4 | 3 |
|---|---|---|---|---|---|---|---|

| | | | |
|---|---|---|---|
| 2 | 3 | 1 | 4 |
|---|---|---|---|

| | | | |
|---|---|---|---|
| 1 | 0 | 0 | 1 |
|---|---|---|---|

S1-блок

| | | | | |
|----------|----------|----------|----------|----------|
| | 0 | 1 | 2 | 3 |
| 0 | 2 | 3 | 1 | 1 |
| 1 | 2 | 0 | 1 | 0 |
| 2 | 3 | 2 | 2 | 1 |
| 3 | 1 | 0 | 0 | 3 |

S2-блок

| | | | | |
|----------|----------|----------|----------|----------|
| | 0 | 1 | 2 | 3 |
| 0 | 3 | 3 | 1 | 0 |
| 1 | 2 | 1 | 0 | 1 |
| 2 | 2 | 0 | 3 | 3 |
| 3 | 2 | 1 | 0 | 2 |

20 Перестановка с расш-ем E/P Перестановка P4 маска

| | | | | | | | |
|---|---|---|---|---|---|---|---|
| 1 | 3 | 2 | 4 | 3 | 2 | 1 | 4 |
|---|---|---|---|---|---|---|---|

| | | | |
|---|---|---|---|
| 1 | 4 | 2 | 3 |
|---|---|---|---|

| | | | |
|---|---|---|---|
| 0 | 1 | 1 | 1 |
|---|---|---|---|

S1-блок

| | | | | |
|----------|----------|----------|----------|----------|
| | 0 | 1 | 2 | 3 |
| 0 | 1 | 1 | 2 | 3 |
| 1 | 3 | 2 | 0 | 1 |
| 2 | 1 | 0 | 2 | 1 |
| 3 | 3 | 3 | 2 | 0 |

S2-блок

| | | | | |
|----------|----------|----------|----------|----------|
| | 0 | 1 | 2 | 3 |
| 0 | 2 | 1 | 2 | 0 |
| 1 | 3 | 1 | 2 | 1 |
| 2 | 1 | 0 | 0 | 0 |
| 3 | 2 | 1 | 3 | 3 |

21 Перестановка с расш-ем E/P Перестановка P4 маска

| | | | | | | | |
|---|---|---|---|---|---|---|---|
| 2 | 1 | 3 | 3 | 4 | 1 | 4 | 2 |
|---|---|---|---|---|---|---|---|

| | | | |
|---|---|---|---|
| 3 | 1 | 4 | 2 |
|---|---|---|---|

| | | | |
|---|---|---|---|
| 0 | 1 | 0 | 1 |
|---|---|---|---|

S1-блок

| | | | | |
|----------|----------|----------|----------|----------|
| | 0 | 1 | 2 | 3 |
| 0 | 2 | 0 | 2 | 0 |
| 1 | 0 | 1 | 1 | 3 |
| 2 | 3 | 2 | 1 | 2 |
| 3 | 0 | 0 | 1 | 3 |

S2-блок

| | | | | |
|----------|----------|----------|----------|----------|
| | 0 | 1 | 2 | 3 |
| 0 | 2 | 1 | 3 | 1 |
| 1 | 0 | 2 | 3 | 1 |
| 2 | 2 | 0 | 0 | 1 |
| 3 | 3 | 3 | 2 | 0 |

22 Перестановка с расш-ем E/P Перестановка P4 маска

| | | | | | | | |
|---|---|---|---|---|---|---|---|
| 2 | 1 | 1 | 3 | 4 | 4 | 3 | 2 |
|---|---|---|---|---|---|---|---|

| | | | |
|---|---|---|---|
| 4 | 2 | 1 | 3 |
|---|---|---|---|

| | | | |
|---|---|---|---|
| 1 | 0 | 0 | 0 |
|---|---|---|---|

S1-блок

| | | | | |
|----------|----------|----------|----------|----------|
| | 0 | 1 | 2 | 3 |
| 0 | 2 | 2 | 1 | 0 |
| 1 | 1 | 2 | 3 | 0 |
| 2 | 3 | 1 | 1 | 2 |
| 3 | 0 | 0 | 0 | 3 |

S2-блок

| | | | | |
|----------|----------|----------|----------|----------|
| | 0 | 1 | 2 | 3 |
| 0 | 3 | 1 | 3 | 1 |
| 1 | 2 | 2 | 0 | 1 |
| 2 | 0 | 0 | 1 | 2 |
| 3 | 3 | 2 | 0 | 2 |

23 Перестановка с расш-ем E/P Перестановка P4 маска

| | | | | | | | |
|---|---|---|---|---|---|---|---|
| 2 | 1 | 4 | 2 | 3 | 4 | 1 | 3 |
|---|---|---|---|---|---|---|---|

| | | | |
|---|---|---|---|
| 2 | 4 | 1 | 3 |
|---|---|---|---|

| | | | |
|---|---|---|---|
| 0 | 1 | 1 | 0 |
|---|---|---|---|

S1-блок

| | | | | |
|----------|----------|----------|----------|----------|
| | 0 | 1 | 2 | 3 |
| 0 | 3 | 0 | 2 | 0 |
| 1 | 1 | 2 | 2 | 0 |
| 2 | 3 | 3 | 1 | 3 |
| 3 | 1 | 2 | 0 | 0 |

S2-блок

| | | | | |
|----------|----------|----------|----------|----------|
| | 0 | 1 | 2 | 3 |
| 0 | 0 | 0 | 1 | 3 |
| 1 | 3 | 1 | 2 | 1 |
| 2 | 1 | 0 | 2 | 2 |
| 3 | 3 | 2 | 0 | 3 |

24 Перестановка с расш-ем E/P Перестановка P4 маска

| | | | | | | | |
|---|---|---|---|---|---|---|---|
| 3 | 2 | 2 | 1 | 4 | 1 | 4 | 3 |
|---|---|---|---|---|---|---|---|

| | | | |
|---|---|---|---|
| 2 | 3 | 1 | 4 |
|---|---|---|---|

| | | | |
|---|---|---|---|
| 1 | 0 | 1 | 1 |
|---|---|---|---|

S1-блок

| | | | | |
|----------|----------|----------|----------|----------|
| | 0 | 1 | 2 | 3 |
| 0 | 2 | 2 | 1 | 3 |
| 1 | 0 | 0 | 0 | 1 |
| 2 | 1 | 3 | 2 | 1 |
| 3 | 2 | 2 | 0 | 3 |

S2-блок

| | | | | |
|----------|----------|----------|----------|----------|
| | 0 | 1 | 2 | 3 |
| 0 | 2 | 1 | 3 | 0 |
| 1 | 1 | 2 | 3 | 3 |
| 2 | 3 | 0 | 2 | 1 |
| 3 | 2 | 0 | 0 | 0 |

25 Перестановка с расш-ем E/P Перестановка P4 маска

| | | | | | | | |
|---|---|---|---|---|---|---|---|
| 1 | 1 | 4 | 3 | 2 | 4 | 1 | 2 |
|---|---|---|---|---|---|---|---|

| | | | |
|---|---|---|---|
| 4 | 1 | 2 | 3 |
|---|---|---|---|

| | | | |
|---|---|---|---|
| 0 | 1 | 0 | 0 |
|---|---|---|---|

S1-блок

| | | | | |
|----------|----------|----------|----------|----------|
| | 0 | 1 | 2 | 3 |
| 0 | 0 | 0 | 1 | 2 |
| 1 | 2 | 3 | 3 | 0 |
| 2 | 1 | 2 | 3 | 1 |
| 3 | 0 | 1 | 0 | 2 |

S2-блок

| | | | | |
|----------|----------|----------|----------|----------|
| | 0 | 1 | 2 | 3 |
| 0 | 2 | 0 | 0 | 1 |
| 1 | 3 | 2 | 1 | 3 |
| 2 | 1 | 0 | 2 | 3 |
| 3 | 3 | 1 | 2 | 0 |

**Приложение 4. Варианты заданий практической работы
№10. Атака на алгоритм RSA методом Ферма**

| | | |
|---|---|--|
| <p>1</p> <p><u>Модуль, N</u>
99595193774911</p> <p><u>Экспонента, e</u>
1908299</p> <p><u>Шифр-текст, Y</u>
75790643190143
36869061035180
38422576553598
68899435645717
16193161920958
98487458352335
34167725433806
96613844267045
26583768908805
73052827576371
94695336463618
69092596694070</p> | <p>2</p> <p><u>Модуль, N</u>
95841214023781</p> <p><u>Экспонента, e</u>
2005229</p> <p><u>Шифр-текст, Y</u>
49190327214217
84609592142386
90112415897890
58321768145112
18048020096041
46703140105758
5914356051570
1805696039350
28838003818624
70062757763886
13846553049563
90432970156505</p> | <p>3</p> <p><u>Модуль, N</u>
93767386321457</p> <p><u>Экспонента, e</u>
2091619</p> <p><u>Шифр-текст, Y</u>
62984326732858
22123186696272
24425203655789
45995309006047
8176196426076
12816278693250
27474201663022
86909026690842
20469575723850
29205116646939
21002901408912
79168478687790</p> |
| <p>4</p> <p><u>Модуль, N</u>
89318473363897</p> <p><u>Экспонента, e</u>
2227661</p> <p><u>Шифр-текст, Y</u>
3403106899606
26746900101177
67769260919924
77873792354218
15782947730235
15100267747684
28877721728826
62898555111378
4989704651236
55293402838380
4108112294245
8492269964172</p> | <p>5</p> <p><u>Модуль, N</u>
87046121832829</p> <p><u>Экспонента, e</u>
2342047</p> <p><u>Шифр-текст, Y</u>
38288567928461
32933111631628
3796990272007
14526017018271
6637183116942
46455894660145
17024410119252
49991104309343
20967672129390
3377231740209
37201047739579
56818318686813</p> | <p>6</p> <p><u>Модуль, N</u>
85609460573249</p> <p><u>Экспонента, e</u>
2448539</p> <p><u>Шифр-текст, Y</u>
523815866990
26788001211021
34569932939126
85581094055910
23256663175806
62527703621248
7622521689363
32655715523491
81242663069415
60438288306445
73937478628138
7793112362388</p> |

| | | |
|---|---|--|
| <p>7 <u>Модуль, N</u>
84032429242009
<u>Экспонента, e</u>
2581907
<u>Шифр-текст, Y</u>
54879925681459
72167008182929
17828219756166
17814399744948
37136636080011
77223434260215
4272415279426
73759271926435
74021335775875
16903113250201
77520052156956
41247980943013</p> | <p>8 <u>Модуль, N</u>
81177745546021
<u>Экспонента, e</u>
2711039
<u>Шифр-текст, Y</u>
61553353723258
11339642237403
55951185642146
38561524032018
34517298669793
33641624424571
78428225355946
50176820404544
68017840453091
5507834749606
26675763943141
47457759065088</p> | <p>9 <u>Модуль, N</u>
78908333904637
<u>Экспонента, e</u>
2821057
<u>Шифр-текст, Y</u>
66488995800290
61829195949215
75187156530365
66944513684556
15641889286263
25273508344802
33011686981708
63079735408371
71989137480846
15936556748887
35940951317181
65389528900590</p> |
| <p>10 <u>Модуль, N</u>
77027476849549
<u>Экспонента, e</u>
2936957
<u>Шифр-текст, Y</u>
18937689886043
6667195679130
53238895771820
6189192838687
48623327840257
47264919314001
42510070950746
16878504505970
22744978157662
23644842894223
71614018816334
24651499733229</p> | <p>11 <u>Модуль, N</u>
7533841359567
<u>Экспонента, e</u>
3063167
<u>Шифр-текст, Y</u>
20373576587572
48282448633797
2859826820449
30302044163645
30736783387104
5008734894376
23296448238734
41172678840173
58656690066465
44574048719827
21962937148701
38826220113907</p> | <p>12 <u>Модуль, N</u>
74701165267919
<u>Экспонента, e</u>
3145553
<u>Шифр-текст, Y</u>
32035658541536
35242897170964
6268303368709
6877322610982
16329207109754
35007623593376
26715311593240
36220800128563
25019660581036
61639733671958
21186453949445
72477207535811</p> |

| | | |
|---|--|---|
| <p>13 <u>Модуль, N</u>
72903890242273
<u>Экспонента, e</u>
3261683
<u>Шифр-текст, Y</u>
37429454018574
65632293727338
71955235122455
71474662312159
18537435780920
58372142077460
68330829196451
60882917270796
24142764117328
31238010810556
66143215653810
30769266886306</p> | <p>14 <u>Модуль, N</u>
70109121369029
<u>Экспонента, e</u>
3401467
<u>Шифр-текст, Y</u>
65044661056628
62698810905915
6384243931214
64581496145197
34821902367398
47317941132118
31834994240307
32916261351098
27399527764660
20797651714466
56226270748693
51223181240405</p> | <p>15 <u>Модуль, N</u>
67510894259489
<u>Экспонента, e</u>
3543923
<u>Шифр-текст, Y</u>
1834956116931
7762509478845
22384877417897
36443182878894
61287041306052
17680469174617
14632055288035
23212409940234
45782556562975
7533626343287
14537172455552
60777304839141</p> |
| <p>16 <u>Модуль, N</u>
64806601923671
<u>Экспонента, e</u>
3676721
<u>Шифр-текст, Y</u>
20691828453967
58551582619533
52687210920168
20981648665029
19111617348524
54100651527277
13292121860367
56392703591321
14438767538210
42480181826283
48812319440355
15451410455351</p> | <p>17 <u>Модуль, N</u>
62781628076903
<u>Экспонента, e</u>
3804071
<u>Шифр-текст, Y</u>
25330591599065
45107236866391
8515908980750
18360023777159
60224747641795
24722319023840
4621794604408
11003643584575
42083518378885
62245525096402
41697616662831
32054453631323</p> | <p>18 <u>Модуль, N</u>
60902079700513
<u>Экспонента, e</u>
3914857
<u>Шифр-текст, Y</u>
31747356280388
54631087879066
42721453914357
12859490321362
47949527200923
39725118829906
37400171509625
34240435626806
20191794760289
16358289451487
35717279691675
60689890535412</p> |

| | | |
|--|--|---|
| <p>19 <u>Модуль, N</u>
59046883376179
<u>Экспонента, e</u>
4044583
<u>Шифр-текст, Y</u>
32279109612093
17838629182964
4165776716262
13093284635895
20048651313008
54626454832531
12801053743903
54675332003643
4544911979279
31928373564570
798945495513
19569174668782</p> | <p>20 <u>Модуль, N</u>
55925060669503
<u>Экспонента, e</u>
4156793
<u>Шифр-текст, Y</u>
53145801111837
24757475715890
19729078348176
49091835965654
29986321429979
35162644705488
45317135042859
49645513101014
1804825908594
35789821714579
3713734911002
23648998987066</p> | <p>21 <u>Модуль, N</u>
54296750879837
<u>Экспонента, e</u>
4282063
<u>Шифр-текст, Y</u>
32264505547820
29767871186846
53860104221061
41263256335998
13036826201487
1768770254540
9330533044207
38163092407394
9296514119883
7805642363730
46249084085075
13177891469510</p> |
| <p>22 <u>Модуль, N</u>
50824793010569
<u>Экспонента, e</u>
4440901
<u>Шифр-текст, Y</u>
14852129687156
2828083503727
40199165363197
50374743756265
38804027318759
48809751439118
17692593759762
11950610647201
31150513650241
18538876359272
30210358214233
23631880532900</p> | <p>23 <u>Модуль, N</u>
48992988576733
<u>Экспонента, e</u>
4545733
<u>Шифр-текст, Y</u>
12530303611339
47274247086952
20068556933394
41300245344157
27564916776233
45997492729411
11416336760074
17516700753417
10586755223028
5642378694993
17949047899806
13276902592875</p> | <p>24 <u>Модуль, N</u>
47050437355283
<u>Экспонента, e</u>
4674517
<u>Шифр-текст, Y</u>
30307619697810
38075405389785
37116384337234
20795372941054
22354675528431
20104615399105
403582911849
16733578384925
37765786204941
16059974394842
10942482418438
39745386116422</p> |

| | | |
|-----------|-----------------------------------|-----------------------------------|
| 25 | <u>Модуль, N</u> | <u>Шифр-текст, Y</u> |
| | 42982346145803 | 19787649423728 |
| | <u>Экспонента, e</u> | 18211753517576 |
| | 4777621 | 29287420774392 |
| | | 15153812654780 |
| | | 18356070190939 |
| | | 42856511463744 |
| | | 9446489409913 |
| | | 31515169706630 |
| | | 40480861340273 |
| | | 5995498078936 |
| | | 1615344586866 |
| | | 6467700235586 |

**Приложение 5. Варианты заданий практической работы
№11. Атака на алгоритм RSA методом повторного шифрования**

| | | | | | |
|----------|---|----------|---|----------|---|
| 1 | <u>Модуль, N</u>
307080138389
<u>Экспонента, e</u>
358703
<u>Шифр-текст, Y</u>
150223836156
41077612181
164221721708
163231492773
84606189584
211632968571
76644428054
67904620890
263054305449
31191567018
224545225463
30878012295
216396046580 | 2 | <u>Модуль, N</u>
707096259383
<u>Экспонента, e</u>
928253
<u>Шифр-текст, Y</u>
6952874554
579478452421
88828702123
225263521086
340528371521
583666721140
254303812163
584762191247
620918717873
52726307774
172435791721
293646690249
323995569099 | 3 | <u>Модуль, N</u>
385181864647
<u>Экспонента, e</u>
938573
<u>Шифр-текст, Y</u>
331245775481
282425324609
65377570000
89972965825
264803627317
320989226085
324723654667
294634302620
142237555971
221994269576
209958712589
221718426295
163788492835 |
|----------|---|----------|---|----------|---|

| | | |
|---|--|--|
| <p>4 <u>Модуль, N</u>
489740760623
<u>Экспонента, e</u>
892627
<u>Шифр-текст, Y</u>
237434928568
89382477865
257542914775
153947910848
219678068406
166466311168
49516725114
55375254449
370796045103
322927050068
196366079994
39243100230
299525662956</p> | <p>5 <u>Модуль, N</u>
152206953707
<u>Экспонента, e</u>
959689
<u>Шифр-текст, Y</u>
106157029398
26037756325
64970468176
111381095515
102219112033
10446585653
125818085975
140293474360
118182182667
102323948722
81537011095
534009223
79513867811</p> | <p>6 <u>Модуль, N</u>
299547350633
<u>Экспонента, e</u>
854929
<u>Шифр-текст, Y</u>
273814931280
42731365375
226290712100
144895466043
54022172482
256403869247
20427366939
109560373874
17926624122
276548101136
138551457160
178721641850
153958773591</p> |
| <p>7 <u>Модуль, N</u>
255886599799
<u>Экспонента, e</u>
1042193
<u>Шифр-текст, Y</u>
75872140695
243623122014
66870731769
142602808011
42354989089
119395329034
242619634774
180213272917
166447493863
167768838568
120544075858
77559779546
136453339801</p> | <p>8 <u>Модуль, N</u>
290716329017
<u>Экспонента, e</u>
497729
<u>Шифр-текст, Y</u>
1135414239
169213008965
175441050863
109545918774
123669279758
149542889269
43068653151
32806195453
285151390718
137668394392
140567677417
176736386447
218957656245</p> | <p>9 <u>Модуль, N</u>
144050016983
<u>Экспонента, e</u>
1163719
<u>Шифр-текст, Y</u>
90401727778
50205386780
66796441575
1200754589
25390276538
64927766600
89595489304
12806265575
95100428023
7746226795
126261029912
66580024238
118827632497</p> |

| | | |
|--|---|---|
| <p>10 <u>Модуль, N</u>
517284804989
<u>Экспонента, e</u>
1016137
<u>Шифр-текст, Y</u>
393966099521
489691449904
125845553926
278237347671
101391774540
70812690734
166080101475
356969244744
59015316810
480894389103
454155667817
124365264763
412526965953</p> | <p>11 <u>Модуль, N</u>
301916099393
<u>Экспонента, e</u>
301319
<u>Шифр-текст, Y</u>
300229084086
103375119523
47856681522
299308768883
259681434827
155394796250
203569645393
81385593446
153370193599
11291771251
297354725266
71677781247
298448677628</p> | <p>12 <u>Модуль, N</u>
680953235477
<u>Экспонента, e</u>
920197
<u>Шифр-текст, Y</u>
391097155052
640128264104
655783446185
380882921502
243151555158
525608289811
439378081915
674406455075
295448137012
494853048412
566308391875
623790961908
222667625162</p> |
| <p>13 <u>Модуль, N</u>
915012974539
<u>Экспонента, e</u>
1001953
<u>Шифр-текст, Y</u>
763770087861
432343847598
764682728575
206635140312
627210520886
794063631890
309297959146
68118108284
116045398315
912085643674
257483784869
167814127445
55188158350</p> | <p>14 <u>Модуль, N</u>
112546779899
<u>Экспонента, e</u>
280297
<u>Шифр-текст, Y</u>
70526810403
14149862236
45856385641
70576010398
55035023176
13450029743
87602027501
5373321283
106271591904
105497609146
58279045288
104373761049
16432846070</p> | <p>15 <u>Модуль, N</u>
674752561177
<u>Экспонента, e</u>
395173
<u>Шифр-текст, Y</u>
419211463126
212906356161
631644741157
73228488037
302781784962
348369666049
269324039584
666490555214
580635922832
30319178550
304297088216
461362299290
408519568281</p> |

| | | |
|--|--|--|
| <p>16 <u>Модуль, N</u>
381864434327
<u>Экспонента, e</u>
1195459
<u>Шифр-текст, Y</u>
163872954111
20331233144
247841893982
24077680684
186232454225
170708316287
287353419177
53300545679
235380537126
229388042972
213972178887
351137706462
71827041797</p> | <p>17 <u>Модуль, N</u>
509394020393
<u>Экспонента, e</u>
466357
<u>Шифр-текст, Y</u>
240117673168
198646030609
299632505275
245910981124
103645806141
129428103430
20356709898
492178278680
233595118807
334625983625
176223275722
244450104851
63497900496</p> | <p>18 <u>Модуль, N</u>
1123918263359
<u>Экспонента, e</u>
1296973
<u>Шифр-текст, Y</u>
337170174448
110065284116
225074454552
978078749787
1113908641985
396219512028
932134251667
1046744729838
458139532624
319141259386
1098244186318
139438193945
197233306845</p> |
| <p>19 <u>Модуль, N</u>
762930465497
<u>Экспонента, e</u>
369197
<u>Шифр-текст, Y</u>
272601390768
146191862405
56417639739
25010208392
569176485965
292815488501
152909580675
634319609453
578700740159
648142948177
39319966771
517127377434
490584971826</p> | <p>20 <u>Модуль, N</u>
544136348213
<u>Экспонента, e</u>
358793
<u>Шифр-текст, Y</u>
91846629660
119935413056
171909861239
312597665654
149569107987
217729521757
269500353046
510985189336
131214208695
241687081897
362099358567
467378483313
539916818577</p> | <p>21 <u>Модуль, N</u>
836168881111
<u>Экспонента, e</u>
1031923
<u>Шифр-текст, Y</u>
83092605748
825802235227
32508735922
407171918452
614975177493
774349835780
323601958615
82169286450
198807945618
594897575157
542729555491
812833939532
694084199661</p> |

| | | |
|---|--|---|
| <p>22 <u>Модуль, N</u>
914022837691
<u>Экспонента, e</u>
517823
<u>Шифр-текст, Y</u>
133088999278
758078110965
705889026842
98403371042
768948684522
78137927374
383272719045
341665550116
407871370619
382219973835
653544166840
658599075370
825218892763</p> | <p>23 <u>Модуль, N</u>
888532740131
<u>Экспонента, e</u>
508097
<u>Шифр-текст, Y</u>
251133768996
359801014616
557356431645
75854873865
768478933532
624174758081
306027834198
586384787006
155294489444
358096762086
197284968232
498688500894
467532994504</p> | <p>24 <u>Модуль, N</u>
175749265511
<u>Экспонента, e</u>
562439
<u>Шифр-текст, Y</u>
148649649353
106749700084
111279099426
123808752263
135559497150
641323741
146710462903
18875910866
10741502182
84181024769
83326297438
168979058954
74728979200</p> |
| <p>25 <u>Модуль, N</u>
226206740959
<u>Экспонента, e</u>
931169</p> | <p><u>Шифр-текст, Y</u>
90602081758
155748167901
43664963557
119662283421
128548684055
224153458766
195788143843
18231611138
35594188617
74744847247
54882677589
38908769560
166766625254</p> | |

**Приложениеб. Варианты заданий практической работы №12.
Атака на алгоритм RSA методом бесключевого чтения**

| | | | |
|----------------------------------|----------------------------------|----------------------------------|----------------------------------|
| 1 | <u>Модуль, N</u>
420882327013 | 2 | <u>Модуль, N</u>
302296233419 |
| <u>Экспонента, e1</u>
1372369 | <u>Экспонента, e2</u>
961447 | <u>Экспонента, e1</u>
1365787 | <u>Экспонента, e2</u>
763067 |
| <u>Шифр-текст, Y1</u> | <u>Шифр-текст, Y2</u> | <u>Шифр-текст, Y1</u> | <u>Шифр-текст, Y2</u> |
| 373413138774 | 105783140624 | 4735234112 | 131720982156 |
| 142492164990 | 384545054504 | 222492941603 | 50767819341 |
| 181970101695 | 91022339898 | 91642935786 | 146687208678 |
| 71400620884 | 266856044417 | 258679721851 | 65444189922 |
| 83588687662 | 106548952403 | 127352436654 | 275196580101 |
| 111752930680 | 160772152396 | 270884254827 | 21582029531 |
| 154836140461 | 128969469496 | 278389245811 | 14338137631 |
| 191336073909 | 242028887287 | 229277148124 | 4177778322 |
| 186412386345 | 256618243529 | 143477017416 | 75624657756 |
| 303121580659 | 47586486979 | 56472903944 | 274012339373 |
| 167437105893 | 306022591934 | 229332603068 | 159018739186 |
| 279265271451 | 419219258598 | 60190953676 | 49970035122 |
| 3 | <u>Модуль, N</u>
445632735571 | 4 | <u>Модуль, N</u>
535598392051 |
| <u>Экспонента, e1</u>
1120289 | <u>Экспонента, e2</u>
559633 | <u>Экспонента, e1</u>
455341 | <u>Экспонента, e2</u>
396971 |
| <u>Шифр-текст, Y1</u> | <u>Шифр-текст, Y2</u> | <u>Шифр-текст, Y1</u> | <u>Шифр-текст, Y2</u> |
| 348555354398 | 366337925832 | 444982997352 | 358696089912 |
| 351363944134 | 29318249989 | 277831853272 | 360292494113 |
| 96907337112 | 120058862823 | 133187882628 | 91390259562 |
| 141119651255 | 428190500861 | 331361392426 | 534590606880 |
| 317600466893 | 322426909958 | 273206302188 | 193203217609 |
| 84967944527 | 286841513079 | 470299046774 | 166702058071 |
| 340088880266 | 150392378882 | 168157171491 | 68207231399 |
| 311235549494 | 441874945028 | 258737286129 | 487524624411 |
| 41838603784 | 297137742269 | 312335302650 | 325841328769 |
| 333172824695 | 304115257300 | 489235057221 | 533726724224 |
| 89494655477 | 123106598046 | 427689116872 | 369967614519 |
| 3256803669 | 110955623263 | 418723605534 | 247201359991 |
| | | 135022585485 | 478832067683 |

| | | | | |
|--------------|-----------------------|-----------------------|-----------------------|-----------------------|
| 5 | <u>Модуль, N</u> | <u>Модуль, N</u> | 6 | <u>Модуль, N</u> |
| | 572953270159 | 622722921281 | | |
| | <u>Экспонента, e1</u> | <u>Экспонента, e2</u> | <u>Экспонента, e1</u> | <u>Экспонента, e2</u> |
| | 337903 | 301933 | 924383 | 648391 |
| | <u>Шифр-текст, Y1</u> | <u>Шифр-текст, Y2</u> | <u>Шифр-текст, Y1</u> | <u>Шифр-текст, Y2</u> |
| | 342095517391 | 32476529608 | 416413766755 | 363561291438 |
| | 19455909955 | 452342848743 | 461616049371 | 349913226640 |
| | 221503536026 | 506694128118 | 495579558550 | 410678799422 |
| | 316042040322 | 262070340689 | 119296856822 | 49400187802 |
| | 311339725976 | 206245109461 | 288338597320 | 264465166065 |
| | 339044089754 | 116518622136 | 189325419759 | 617558055726 |
| 359623172126 | 147952236274 | 179661796706 | 378919757053 | |
| 138544673544 | 457665805346 | 26462194558 | 550605507870 | |
| 148226083413 | 27001690429 | 543527404419 | 341759776368 | |
| 3486028632 | 396682057113 | 511749608651 | 125364611909 | |
| 23290754913 | 239803556225 | 131463006437 | 288965980272 | |
| 425720995382 | 519526641494 | 116692606609 | 434023259043 | |
| 7 | <u>Модуль, N</u> | <u>Модуль, N</u> | 8 | <u>Модуль, N</u> |
| | 516439217617 | 392117053283 | | |
| | <u>Экспонента, e1</u> | <u>Экспонента, e2</u> | <u>Экспонента, e1</u> | <u>Экспонента, e2</u> |
| | 1206433 | 1141277 | 744721 | 1297633 |
| | <u>Шифр-текст, Y1</u> | <u>Шифр-текст, Y2</u> | <u>Шифр-текст, Y1</u> | <u>Шифр-текст, Y2</u> |
| | 400408320444 | 374984721363 | 188779427301 | 330155414629 |
| | 241545246801 | 438491303024 | 142624237358 | 183843269790 |
| | 282223079755 | 498951362977 | 222856552604 | 113231290101 |
| | 490328978748 | 218681974856 | 64779987640 | 381735803560 |
| | 350509811006 | 365827206348 | 184552630472 | 115846890704 |
| | 142356755075 | 175049781656 | 357891671735 | 117837936469 |
| 109547314116 | 359111505460 | 159800573947 | 188064551177 | |
| 414823859933 | 297734746741 | 320365191568 | 241636957582 | |
| 330990395685 | 96963152197 | 53704108470 | 253908524873 | |
| 377471732609 | 362138584797 | 29809614757 | 219235963059 | |
| 44017319588 | 102758207364 | 236651896578 | 333424804843 | |
| 499241372980 | 37817394150 | 5185872557 | 278400905892 | |
| 171071879560 | 120430068125 | 374026260505 | 254102728294 | |

| | | | |
|---------------------------------|----------------------------------|---------------------------------|----------------------------------|
| 9 | <u>Модуль, N</u>
319418480417 | 10 | <u>Модуль, N</u>
308044228439 |
| <u>Экспонента, e1</u>
602087 | <u>Экспонента, e2</u>
523639 | <u>Экспонента, e1</u>
976013 | <u>Экспонента, e2</u>
667829 |
| <u>Шифр-текст, Y1</u> | <u>Шифр-текст, Y2</u> | <u>Шифр-текст, Y1</u> | <u>Шифр-текст, Y2</u> |
| 52405618926 | 82810335170 | 41142528888 | 188066920245 |
| 216147098445 | 187684665216 | 168186504906 | 300946560686 |
| 216743861265 | 48173641649 | 136093203364 | 297065980706 |
| 66972942908 | 96024498047 | 242964689121 | 52463722858 |
| 191820297330 | 247351492178 | 35088399935 | 288700402082 |
| 190353918873 | 97241452868 | 235615713434 | 74622590470 |
| 110095200781 | 255901558905 | 255931630761 | 304422560213 |
| 90183965366 | 27364319220 | 243205294010 | 89572425507 |
| 296876615222 | 227156630511 | 282148730043 | 192865433148 |
| 154988611456 | 66990230889 | 167665545881 | 279658192310 |
| 166443759664 | 183816391944 | 236133809262 | 97431270440 |
| 9906682687 | 104719299259 | 248077895012 | 276505744422 |
| 11 | <u>Модуль, N</u>
287726313019 | 12 | <u>Модуль, N</u>
385751370271 |
| <u>Экспонента, e1</u>
632699 | <u>Экспонента, e2</u>
418997 | <u>Экспонента, e1</u>
365797 | <u>Экспонента, e2</u>
1109663 |
| <u>Шифр-текст, Y1</u> | <u>Шифр-текст, Y2</u> | <u>Шифр-текст, Y1</u> | <u>Шифр-текст, Y2</u> |
| 214922055033 | 236363326198 | 58541562205 | 78032032470 |
| 35721658373 | 60659772128 | 167003685579 | 13064174635 |
| 111494982431 | 89634195001 | 381877628242 | 326727914830 |
| 18199110430 | 159962549494 | 256218527098 | 364066420370 |
| 42343010608 | 38784417281 | 164244249864 | 177576861402 |
| 252248400710 | 280743496547 | 6588741823 | 65863828523 |
| 63424999529 | 132419834073 | 180308234660 | 111437045566 |
| 119923175349 | 260926903227 | 174572441677 | 124743274954 |
| 154343666939 | 246447810193 | 259951955034 | 119577259869 |
| 161871538168 | 110060458786 | 378589342820 | 85769669875 |
| 66104514148 | 96973974426 | 319378579620 | 4688914942 |
| 20594515433 | 175463381167 | 21405495597 | 261002397567 |
| 120762948296 | 178887056429 | 226860843155 | 341722428571 |

| | | | |
|---------------------------------|----------------------------------|----------------------------------|----------------------------------|
| 13 | <u>Модуль, N</u>
518587807081 | 14 | <u>Модуль, N</u>
573308195401 |
| <u>Экспонента, e1</u>
293177 | <u>Экспонента, e2</u>
1209781 | <u>Экспонента, e1</u>
973169 | <u>Экспонента, e2</u>
550351 |
| <u>Шифр-текст, Y1</u> | <u>Шифр-текст, Y2</u> | <u>Шифр-текст, Y1</u> | <u>Шифр-текст, Y2</u> |
| 373852443734 | 22286870422 | 327707922480 | 484439401392 |
| 447989059513 | 343015689591 | 455697659443 | 92203619034 |
| 140756140384 | 281801228231 | 469317095774 | 199299165882 |
| 207791711792 | 360270382562 | 41173012855 | 100840467257 |
| 252160015422 | 264253306719 | 95114431187 | 42877265767 |
| 151272799305 | 128520421967 | 183548202066 | 537319004931 |
| 431450717984 | 399665129411 | 114278917224 | 212469277565 |
| 252882800366 | 448878989738 | 111319924653 | 335238563578 |
| 112417596471 | 70913527757 | 302320646938 | 215934710265 |
| 301753741810 | 295285211952 | 497834611165 | 248375790884 |
| 480461056512 | 247990966487 | 207393954597 | 8143413999 |
| 334158277030 | 202711954425 | 469317095774 | 199299165882 |
| 368394150653 | 201121363025 | 184588110993 | 484325656679 |
| 15 | <u>Модуль, N</u>
634875396959 | 16 | <u>Модуль, N</u>
512453104601 |
| <u>Экспонента, e1</u>
797611 | <u>Экспонента, e2</u>
375841 | <u>Экспонента, e1</u>
1365347 | <u>Экспонента, e2</u>
972793 |
| <u>Шифр-текст, Y1</u> | <u>Шифр-текст, Y2</u> | <u>Шифр-текст, Y1</u> | <u>Шифр-текст, Y2</u> |
| 215938301159 | 592194596499 | 17680290297 | 410084071984 |
| 156476855390 | 618920283747 | 359514971944 | 150398051936 |
| 629025629999 | 481110939902 | 395933838767 | 489149759410 |
| 390282732416 | 118468312259 | 135375405636 | 11043062086 |
| 486255942680 | 152271753836 | 424188955183 | 452072614483 |
| 301447617826 | 245706953152 | 480774525813 | 94954712588 |
| 611079544000 | 357574573601 | 176693333558 | 373871024394 |
| 9815582940 | 517943651115 | 366722473439 | 194623183329 |
| 238155160282 | 449088004034 | 257271491888 | 478231887994 |
| 89572033554 | 549269593969 | 437238044102 | 452346492359 |
| 259610717355 | 274641120696 | 280697746591 | 145030784098 |
| 561079697420 | 170397276793 | 192092245943 | 310653569484 |
| 68884371224 | 150603791351 | 180087210668 | 280971453825 |

| | | | |
|---------------------------------|----------------------------------|---------------------------------|----------------------------------|
| 17 | <u>Модуль, N</u>
549840164113 | 18 | <u>Модуль, N</u>
521194405273 |
| <u>Экспонента, e1</u>
830309 | <u>Экспонента, e2</u>
1122659 | <u>Экспонента, e1</u>
293767 | <u>Экспонента, e2</u>
492511 |
| <u>Шифр-текст, Y1</u> | <u>Шифр-текст, Y2</u> | <u>Шифр-текст, Y1</u> | <u>Шифр-текст, Y2</u> |
| 421894113021 | 460364462002 | 70696562 | 139896254161 |
| 70151618285 | 377869829708 | 136043022917 | 268972783372 |
| 256033134230 | 315408321663 | 65407415375 | 281244321042 |
| 230572827320 | 403500544217 | 164404262967 | 190886094 |
| 345706195727 | 90051720740 | 445647345197 | 183760973977 |
| 379296943648 | 398226212020 | 118953770797 | 127631527830 |
| 131864337239 | 357731842992 | 512196733213 | 29296947894 |
| 345346802879 | 394252754984 | 103009198361 | 342466717237 |
| 460224575827 | 318030259077 | 317437263597 | 76798964679 |
| 28746971542 | 317217533534 | 284559552852 | 346421581772 |
| 176535748663 | 42352806819 | 490098245083 | 345796314978 |
| 395695787161 | 277427982170 | 149823933745 | 281195436813 |
| | | 224803955806 | 359213893561 |
| 19 | <u>Модуль, N</u>
500984306287 | 20 | <u>Модуль, N</u>
502110569407 |
| <u>Экспонента, e1</u>
470149 | <u>Экспонента, e2</u>
267797 | <u>Экспонента, e1</u>
693661 | <u>Экспонента, e2</u>
366287 |
| <u>Шифр-текст, Y1</u> | <u>Шифр-текст, Y2</u> | <u>Шифр-текст, Y1</u> | <u>Шифр-текст, Y2</u> |
| 274230487503 | 176943898057 | 451590415251 | 489035727840 |
| 6821302647 | 272954693703 | 110439571420 | 352254618578 |
| 172152295595 | 141643708385 | 183752091528 | 112984103119 |
| 454539302130 | 238296127866 | 274872936616 | 324252397833 |
| 462305524774 | 270971764501 | 28541011195 | 258279989467 |
| 73589652382 | 389314459147 | 450835617776 | 309371933868 |
| 274794725040 | 476866404163 | 260759622383 | 309370695834 |
| 295185494003 | 295344931481 | 342128341762 | 275718202556 |
| 159348742119 | 288885538254 | 158761845107 | 484547254614 |
| 62021560582 | 144738759088 | 190701543235 | 319090281932 |
| 311827395163 | 52793710114 | 336633436793 | 321505940571 |
| 159638616315 | 416204845784 | 107036107438 | 499673648361 |
| | | 143086295492 | 445389404030 |

| | | | |
|----------------------------------|----------------------------------|---------------------------------|----------------------------------|
| 21 | <u>Модуль, N</u>
635476116169 | 22 | <u>Модуль, N</u>
606089625293 |
| <u>Экспонента, e1</u>
866707 | <u>Экспонента, e2</u>
1123211 | <u>Экспонента, e1</u>
524123 | <u>Экспонента, e2</u>
1109309 |
| <u>Шифр-текст, Y1</u> | <u>Шифр-текст, Y2</u> | <u>Шифр-текст, Y1</u> | <u>Шифр-текст, Y2</u> |
| 164724618825 | 119849004283 | 496663520230 | 196561923290 |
| 386399947495 | 156284059617 | 573686340098 | 102658895412 |
| 569519600328 | 399964659582 | 317277380080 | 577585560553 |
| 335674131307 | 411242163372 | 311062242263 | 44037449636 |
| 591926181226 | 473998672968 | 87966670626 | 508496748333 |
| 331711492017 | 449146422851 | 156120202050 | 278687486043 |
| 222632530911 | 178846180173 | 517816376872 | 261550581766 |
| 159285067102 | 431421957979 | 255107405391 | 487843663934 |
| 529695664488 | 209987811333 | 70642465288 | 314450235982 |
| 462703958023 | 627608476514 | 390229374493 | 345028986924 |
| 508391137110 | 23204756436 | 333422604916 | 104569551730 |
| 573759000564 | 43305372061 | 2671384922 | 486557652833 |
| 48989336806 | 542459119849 | 509131255766 | 337080661180 |
| 23 | <u>Модуль, N</u>
303958823183 | 24 | <u>Модуль, N</u>
216044621671 |
| <u>Экспонента, e1</u>
1173551 | <u>Экспонента, e2</u>
1366693 | <u>Экспонента, e1</u>
493001 | <u>Экспонента, e2</u>
693169 |
| <u>Шифр-текст, Y1</u> | <u>Шифр-текст, Y2</u> | <u>Шифр-текст, Y1</u> | <u>Шифр-текст, Y2</u> |
| 300865234944 | 158205869566 | 204707607052 | 161085576818 |
| 280167078723 | 47430389231 | 131209885175 | 166651266503 |
| 44778324729 | 235868270647 | 74127570208 | 210362428729 |
| 15647443106 | 60933642983 | 167559112602 | 29681376125 |
| 72500796041 | 230961885063 | 114202832764 | 51404224010 |
| 127042219796 | 189840956692 | 175086144102 | 85147589057 |
| 220297476381 | 155026770625 | 173536223165 | 53004594773 |
| 159193146152 | 118061171422 | 123432367535 | 4926673942 |
| 281783946206 | 64695094087 | 82425793128 | 28134852744 |
| 83397684706 | 90093203015 | 185507595143 | 16056810738 |
| 218587175059 | 140628953794 | 95061918272 | 57750263032 |
| 32628200905 | 156685525752 | 193636415087 | 146784016398 |
| 87293077359 | 96578125026 | 162487637030 | 143689492474 |

| | | | |
|-----------------------|-----------------------|-----------------------|-----------------------|
| 25 | <u>Модуль, N</u> | <u>Шифр-текст, Y1</u> | <u>Шифр-текст, Y2</u> |
| | 193576240729 | 159391395691 | 187917061998 |
| <u>Экспонента, e1</u> | <u>Экспонента, e2</u> | 157577675381 | 100356696331 |
| 376133 | 633317 | 191080992560 | 115395060871 |
| | | 149368918681 | 22072994636 |
| | | 53984801508 | 10119558157 |
| | | 4424043610 | 166188791942 |
| | | 58203874858 | 81150163516 |
| | | 76432058336 | 112715855314 |
| | | 16217372577 | 19232790590 |
| | | 149007313066 | 106250648527 |
| | | 63447430442 | 21826060759 |
| | | 64914562999 | 12414159731 |
| | | 127848484896 | 192871647135 |

**Приложение 7. Варианты заданий практической работы №13.
Атака на алгоритм RSA на основе Китайской теоремы об остатках**

| | | | |
|-----------------------|-----------------------|-----------------------|-----------------------|
| 1 | <u>Шифр-текст, Y1</u> | <u>Шифр-текст, Y2</u> | <u>Шифр-текст, Y3</u> |
| | 177412278620 | 227891126441 | 230974691188 |
| <u>Экспонента e=3</u> | 8631904062 | 175684889961 | 345734293737 |
| | 60910035474 | 108275398403 | 118726556071 |
| <u>Модуль, N1</u> | 297496979396 | 50799922679 | 220369632983 |
| 359690807803 | 44306701511 | 50861774819 | 69236028918 |
| <u>Модуль, N2</u> | 223949114264 | 120598551775 | 121704957571 |
| 361062169537 | 95163574676 | 214220319631 | 269179568504 |
| | 126740768642 | 193858968963 | 201685371953 |
| <u>Модуль, N3</u> | 306466049596 | 243446962166 | 75708873566 |
| 363514381513 | 82343556476 | 168236630688 | 101720600746 |
| | 97754924718 | 260389624172 | 131962627319 |
| | 242675823829 | 86845867002 | 44909629158 |

| | | | |
|------------------------------------|-------------------------------------|-------------------------------------|-------------------------------------|
| 2 | <u>Шифр-текст, Y_1</u> | <u>Шифр-текст, Y_2</u> | <u>Шифр-текст, Y_3</u> |
| | 100018221941 | 219670103959 | 258489005115 |
| <u>Экспонента $e=3$</u> | 357476497416 | 299234661384 | 193486305912 |
| | 360704892674 | 321665231322 | 317085850998 |
| <u>Модуль, N_1</u> | 258968522463 | 303452309552 | 228076833982 |
| 368166998833 | 363378787391 | 197707480483 | 118470145682 |
| <u>Модуль, N_2</u> | 38938998120 | 271136973244 | 302313432794 |
| 368656533313 | 165805097876 | 31151628083 | 214437258395 |
| | 328038699497 | 195899793924 | 132123789026 |
| <u>Модуль, N_3</u> | 297851010158 | 230643014304 | 96889642413 |
| 371205502531 | 184316347833 | 323745610236 | 300010020637 |
| | 202277180039 | 125326155250 | 249393170795 |
| | 260169809092 | 4695289469 | 187672572758 |
| | 136359418113 | 154882534227 | 93192923225 |
| 3 | <u>Шифр-текст, Y_1</u> | <u>Шифр-текст, Y_2</u> | <u>Шифр-текст, Y_3</u> |
| | 120321295984 | 261990433834 | 322305651846 |
| <u>Экспонента $e=3$</u> | 116941070964 | 232071459327 | 286065905390 |
| | 156315192664 | 305414687540 | 188633713225 |
| <u>Модуль, N_1</u> | 260149644765 | 348455852917 | 131649116365 |
| 380077454101 | 357688967002 | 206680974925 | 253206684415 |
| <u>Модуль, N_2</u> | 165841867143 | 327578130329 | 46677871611 |
| 380903460337 | 349826484990 | 5548686870 | 65268441973 |
| | 337993834720 | 295985428633 | 317133281785 |
| <u>Модуль, N_3</u> | 117681826230 | 157420509616 | 52226297600 |
| 383306345689 | 36279369135 | 256913681356 | 255637668770 |
| | 124613350713 | 271869775627 | 201873507225 |
| | 106958422772 | 310864218021 | 260192105953 |
| 4 | <u>Шифр-текст, Y_1</u> | <u>Шифр-текст, Y_2</u> | <u>Шифр-текст, Y_3</u> |
| | 23283117034 | 81950696329 | 57844537762 |
| <u>Экспонента $e=3$</u> | 199910300344 | 310054893565 | 368640254231 |
| | 122379231308 | 132301878314 | 220965124671 |
| <u>Модуль, N_1</u> | 129836433029 | 52795246284 | 260183659429 |
| 389091381643 | 266167362913 | 276197768422 | 299904567942 |
| <u>Модуль, N_2</u> | 322794903721 | 265696804182 | 286935730637 |
| 391569053221 | 164367877138 | 238369333190 | 266053541214 |
| | 317459368677 | 66855113681 | 146542714390 |
| <u>Модуль, N_3</u> | 210705957227 | 316766995365 | 79442443012 |
| 393864798289 | 38878534867 | 321182915473 | 28368938795 |
| | 199295177267 | 118193576787 | 30970811879 |
| | 116980227366 | 190068391425 | 72570776324 |

| | | | |
|------------------------------------|-------------------------------------|-------------------------------------|-------------------------------------|
| 5 | <u>Шифр-текст, Y_1</u> | <u>Шифр-текст, Y_2</u> | <u>Шифр-текст, Y_3</u> |
| | 257953403766 | 128730750274 | 382653707323 |
| <u>Экспонента $e=3$</u> | 177168684125 | 391893911248 | 186385219382 |
| | 98569851945 | 323200994518 | 394103230832 |
| <u>Модуль, N_1</u> | 111013170885 | 152862355610 | 16445037923 |
| 397066122499 | 126870693789 | 23614632228 | 382954747667 |
| <u>Модуль, N_2</u> | 356996906573 | 96365786831 | 387456992444 |
| 397797027109 | 369112783220 | 207779539976 | 258166753697 |
| | 118662185076 | 70218040709 | 375871570884 |
| <u>Модуль, N_3</u> | 192227498736 | 317562220506 | 342932316985 |
| 400288163101 | 13981739973 | 111815966551 | 104729956068 |
| | 77574341290 | 1949429944 | 46092487953 |
| | 98562917188 | 8329351035 | 69550838402 |
| | 14769259640 | 147453838103 | 289762815713 |
| 6 | <u>Шифр-текст, Y_1</u> | <u>Шифр-текст, Y_2</u> | <u>Шифр-текст, Y_3</u> |
| | 161938982030 | 227240021793 | 124238176183 |
| <u>Экспонента $e=3$</u> | 93539768747 | 240397026641 | 56013695777 |
| | 198680625546 | 319693734726 | 98169308648 |
| <u>Модуль, N_1</u> | 324985467275 | 143364329762 | 320302328458 |
| 408685041841 | 364301388858 | 267584092696 | 257566073714 |
| <u>Модуль, N_2</u> | 121946924018 | 104392885896 | 180123701720 |
| 409542365311 | 130171610724 | 60224870888 | 231998512656 |
| | 264709094112 | 54379930123 | 220441010255 |
| <u>Модуль, N_3</u> | 198127513690 | 281164821607 | 105926142958 |
| 411702675541 | 98490234931 | 51747910478 | 104088206001 |
| | 86416406414 | 152858842656 | 312601660772 |
| | 347341863803 | 198634569843 | 358423325011 |
| | 261057850418 | 304306303763 | 229574485891 |
| 7 | <u>Шифр-текст, Y_1</u> | <u>Шифр-текст, Y_2</u> | <u>Шифр-текст, Y_3</u> |
| | 17599664694 | 388099839383 | 84003082499 |
| <u>Экспонента $e=3$</u> | 221343847340 | 141363764478 | 245906362572 |
| | 181796040962 | 253757042128 | 398398702796 |
| <u>Модуль, N_1</u> | 210108814452 | 162556515860 | 157559004814 |
| 420250053679 | 124320289825 | 289849639847 | 157418944324 |
| <u>Модуль, N_2</u> | 323995715057 | 126598663712 | 411242039391 |
| 420998138947 | 260285700707 | 171600933709 | 270378838199 |
| | 72474978285 | 80576580207 | 182942084181 |
| <u>Модуль, N_3</u> | 226746757036 | 347679322161 | 33847193530 |
| 422793377077 | 369084323018 | 408725538627 | 149137845569 |
| | 133261286623 | 244886980553 | 382620866773 |
| | 336107911000 | 171682264557 | 120769412025 |
| | 303767221006 | 366784660912 | 272019119100 |

| | | | | | |
|------------------------------------|------------------------------------|-------------------------------------|-------------------------------------|-------------------------------------|-------------------------------------|
| 8 | | <u>Шифр-текст, Y_1</u> | <u>Шифр-текст, Y_2</u> | <u>Шифр-текст, Y_3</u> | |
| | | 43268974598 | 330701159000 | 269237460393 | |
| | <u>Экспонента $e=3$</u> | 302331913599 | 104807592171 | 165034165638 | |
| | | 47134049761 | 45038416117 | 207280715083 | |
| | <u>Модуль, N_1</u> | 126642563008 | 81063981859 | 151936477226 | |
| | 431972773933 | 165827503054 | 427734601871 | 7495879547 | |
| | <u>Модуль, N_2</u> | 232086597542 | 27505991527 | 141105308724 | |
| | 432558060211 | 31465887151 | 81910363197 | 316939568874 | |
| | | 30373336865 | 190166502949 | 360819196331 | |
| | <u>Модуль, N_3</u> | 284998624093 | 116404011104 | 46940627813 | |
| | 434276528083 | 89084365158 | 249933949107 | 137301580237 | |
| | | 322533676789 | 90486698466 | 168518778628 | |
| | | 383736009455 | 206265723002 | 113124777920 | |
| | | 108545189851 | 276536042468 | 282998095133 | |
| | 9 | | <u>Шифр-текст, Y_1</u> | <u>Шифр-текст, Y_2</u> | <u>Шифр-текст, Y_3</u> |
| | | 324500796659 | 364411844182 | 57065247639 | |
| <u>Экспонента $e=3$</u> | | 324547036186 | 137247785047 | 130359065508 | |
| | | 367901833181 | 389030356498 | 391859459727 | |
| <u>Модуль, N_1</u> | | 38558700097 | 293766643714 | 128196485994 | |
| 441716293693 | | 401956144715 | 259139396276 | 412050631244 | |
| <u>Модуль, N_2</u> | | 260421328704 | 429702138150 | 367300386309 | |
| 442258294987 | | 356041474179 | 17968702271 | 83703862830 | |
| | | 113539876955 | 84037113464 | 218100297714 | |
| <u>Модуль, N_3</u> | | 304515179769 | 91988591941 | 10243576841 | |
| 444399387571 | | 302662240842 | 425057692992 | 232358719915 | |
| | | 282367185538 | 391906969363 | 412546535924 | |
| | | 432213853716 | 244207991747 | 398872645339 | |
| 10 | | | <u>Шифр-текст, Y_1</u> | <u>Шифр-текст, Y_2</u> | <u>Шифр-текст, Y_3</u> |
| | | | 445451352210 | 424531890296 | 118710004991 |
| | <u>Экспонента $e=3$</u> | 249439394113 | 430487757843 | 307218752883 | |
| | | 387029823615 | 273579896124 | 366564784860 | |
| | <u>Модуль, N_1</u> | 132042218903 | 163172411830 | 182819846943 | |
| | 449094675559 | 73614801093 | 299409036513 | 86662518238 | |
| | <u>Модуль, N_2</u> | 101481466259 | 34387871280 | 405369976705 | |
| | 449774960461 | 448458747498 | 190507227268 | 111221455773 | |
| | | 443385035969 | 108323290415 | 368248616971 | |
| | <u>Модуль, N_3</u> | 75012412264 | 332577990284 | 227865580737 | |
| | 451557288811 | 19096037043 | 213248626661 | 38736323891 | |
| | | 259197438248 | 78257808298 | 137144185691 | |
| | | 220559106494 | 238075298353 | 231896396336 | |

| | | | |
|------------------------------------|-------------------------------------|-------------------------------------|-------------------------------------|
| 11 | <u>Шифр-текст, Y_1</u> | <u>Шифр-текст, Y_2</u> | <u>Шифр-текст, Y_3</u> |
| | 118519640042 | 68925059719 | 360911630335 |
| <u>Экспонента $e=3$</u> | 325725597818 | 320794723471 | 49077546247 |
| | 449577094588 | 106708759661 | 367587011852 |
| <u>Модуль, N_1</u> | 225738390357 | 267503416207 | 205773073385 |
| 457829717113 | 390837010969 | 176633626568 | 166430526462 |
| <u>Модуль, N_2</u> | 417997930307 | 370938941185 | 166130351420 |
| 461639371789 | 186946730799 | 256010935139 | 240614091730 |
| | 307353836168 | 375173961262 | 1307748376 |
| <u>Модуль, N_3</u> | 331923022405 | 50942041502 | 289507057580 |
| 463811451073 | 439103095463 | 13373860798 | 309981198851 |
| | 415559987555 | 369523972407 | 123903944003 |
| | 407104561771 | 268680126161 | 113555743553 |
| 12 | <u>Шифр-текст, Y_1</u> | <u>Шифр-текст, Y_2</u> | <u>Шифр-текст, Y_3</u> |
| | 384927940677 | 47337377053 | 342954751710 |
| <u>Экспонента $e=3$</u> | 473049749478 | 15502694428 | 440889851539 |
| | 98141220439 | 81559584886 | 67503329756 |
| <u>Модуль, N_1</u> | 47772742554 | 360290532716 | 462595462377 |
| 473302960111 | 85402795076 | 378412185459 | 84092175909 |
| <u>Модуль, N_2</u> | 49762300554 | 471133458035 | 57911552136 |
| 476210148031 | 243238759870 | 276394936545 | 60433527302 |
| | 132174590679 | 2116712669 | 25311956275 |
| <u>Модуль, N_3</u> | 394107604075 | 37111299200 | 370327609107 |
| 478258728547 | 292566652796 | 387986386867 | 296462225245 |
| | 394413369679 | 97786707059 | 241699085506 |
| | 176379334217 | 256442600412 | 465708091819 |
| | 425745574767 | 455327955288 | 454345671530 |
| | 279970734890 | 119517607360 | 210180151910 |
| 13 | <u>Шифр-текст, Y_1</u> | <u>Шифр-текст, Y_2</u> | <u>Шифр-текст, Y_3</u> |
| | 45854580612 | 274960963762 | 245417628800 |
| <u>Экспонента $e=3$</u> | 105237269523 | 445004609734 | 58500957429 |
| | 169259415669 | 314321127441 | 337297880630 |
| <u>Модуль, N_1</u> | 93616181002 | 121008447611 | 192371047425 |
| 483603920323 | 111788215636 | 77289255193 | 368079140170 |
| <u>Модуль, N_2</u> | 19646301574 | 185428067959 | 444426125103 |
| 484627023409 | 344814513220 | 268033072619 | 485088147460 |
| | 284120677804 | 483476916533 | 384977923665 |
| <u>Модуль, N_3</u> | 135039654745 | 378663280169 | 52336096116 |
| 486046777033 | 8393533606 | 145768361237 | 217360431271 |
| | 277869220393 | 164058939780 | 261094805307 |
| | 95747282494 | 427513468440 | 77329919173 |
| | 31789892340 | 16789037076 | 280539607542 |

| | | | |
|------------------------------------|-------------------------------------|-------------------------------------|-------------------------------------|
| 14 | <u>Шифр-текст, Y_1</u> | <u>Шифр-текст, Y_2</u> | <u>Шифр-текст, Y_3</u> |
| | 405186643929 | 298462743436 | 372083067441 |
| <u>Экспонента $e=3$</u> | 264588538265 | 26894204289 | 354383414943 |
| | 58896941920 | 266800308083 | 31782553847 |
| <u>Модуль, N_1</u> | 424470122024 | 469634672912 | 213067042090 |
| 494980336813 | 445830333875 | 423565503334 | 22742161466 |
| <u>Модуль, N_2</u> | 98276685134 | 418775305332 | 313919341914 |
| 495019868347 | 210238595626 | 112405305103 | 71514328634 |
| | 176058872641 | 302129659337 | 117790204322 |
| <u>Модуль, N_3</u> | 185715938214 | 323850375295 | 268549130622 |
| 496510218943 | 418034348683 | 438598232992 | 409153352258 |
| | 52552730024 | 10359943018 | 316714994539 |
| | 481876348312 | 298111389169 | 270152277750 |
| | 438600466605 | 277384894755 | 128472385009 |
| 15 | <u>Шифр-текст, Y_1</u> | <u>Шифр-текст, Y_2</u> | <u>Шифр-текст, Y_3</u> |
| | 65555047695 | 324422804544 | 435445028187 |
| <u>Экспонента $e=3$</u> | 224704827698 | 374009722121 | 207888333371 |
| | 426614994776 | 291369610887 | 344446367064 |
| <u>Модуль, N_1</u> | 482499765759 | 103658691090 | 372373145295 |
| 503847739471 | 499927141525 | 355087189555 | 26158114757 |
| <u>Модуль, N_2</u> | 251539329355 | 403634830552 | 389306763320 |
| 505210110529 | 288065643935 | 45811542091 | 15362084660 |
| | 500487899533 | 342405362400 | 342395172034 |
| <u>Модуль, N_3</u> | 284158354428 | 397470779417 | 275443080668 |
| 506974617943 | 179929130009 | 143094497045 | 219501574324 |
| | 4059729507 | 16866311017 | 343966567526 |
| | 337999368066 | 162845742211 | 291026935191 |
| 16 | <u>Шифр-текст, Y_1</u> | <u>Шифр-текст, Y_2</u> | <u>Шифр-текст, Y_3</u> |
| | 302279248041 | 48522238217 | 129856570412 |
| <u>Экспонента $e=3$</u> | 398777422648 | 116578598684 | 82270781294 |
| | 382393465830 | 98210011370 | 140695444887 |
| <u>Модуль, N_1</u> | 109346520792 | 452947538650 | 510689827054 |
| 519445678909 | 393648988334 | 113090002659 | 42634086860 |
| <u>Модуль, N_2</u> | 83456507369 | 130683028799 | 516267119547 |
| 522088422619 | 503695835656 | 170075383039 | 5616396143 |
| | 409770589873 | 19947030841 | 8388941434 |
| <u>Модуль, N_3</u> | 483819180150 | 458406287083 | 73724586316 |
| 523328119219 | 358939341533 | 178964953872 | 290433741122 |
| | 402486907104 | 500143943025 | 102266925300 |
| | 347176414967 | 189689940709 | 75736288391 |
| | 1633679742 | 218613469572 | 406132000561 |

| | | | |
|------------------------------------|-------------------------------------|-------------------------------------|-------------------------------------|
| 17 | <u>Шифр-текст, Y_1</u> | <u>Шифр-текст, Y_2</u> | <u>Шифр-текст, Y_3</u> |
| | 281386842307 | 5670875437 | 380269517653 |
| <u>Экспонента $e=3$</u> | 121824522874 | 330566529390 | 366125418676 |
| | 245939933284 | 465969872193 | 400608227248 |
| <u>Модуль, N_1</u> | 25488678869 | 104239877954 | 119236616785 |
| 530262062431 | 245966715725 | 421060036048 | 40916016109 |
| <u>Модуль, N_2</u> | 346164781438 | 26548660136 | 6459310768 |
| 533023659991 | 240458184136 | 226283588677 | 111454112735 |
| | 477792982000 | 232398586638 | 191143773891 |
| <u>Модуль, N_3</u> | 50321051371 | 141813896655 | 428929030217 |
| 534655902139 | 249631869316 | 455313322872 | 441962444995 |
| | 346825618977 | 64540250896 | 334966880931 |
| | 352450998028 | 175680952596 | 380319156170 |
| 18 | <u>Шифр-текст, Y_1</u> | <u>Шифр-текст, Y_2</u> | <u>Шифр-текст, Y_3</u> |
| | 252761993375 | 175866403284 | 432443719708 |
| <u>Экспонента $e=3$</u> | 439317043104 | 297457023908 | 291474822430 |
| | 524563666624 | 352677317646 | 142735272242 |
| <u>Модуль, N_1</u> | 200316247013 | 525837137252 | 317684793012 |
| 542029523461 | 168730893537 | 500452725795 | 216551100123 |
| <u>Модуль, N_2</u> | 276462662401 | 255875720416 | 30474056356 |
| 545442955261 | 95027181355 | 484409681814 | 501398385288 |
| | 153947838824 | 36312121014 | 405101779653 |
| <u>Модуль, N_3</u> | 517609475112 | 208360918386 | 371861659744 |
| 543651655507 | 21916921129 | 288089579742 | 467319917841 |
| | 186570691221 | 492797454334 | 209273129747 |
| | 188654245468 | 91193680807 | 270602387237 |
| 19 | <u>Шифр-текст, Y_1</u> | <u>Шифр-текст, Y_2</u> | <u>Шифр-текст, Y_3</u> |
| | 532587529932 | 453172264962 | 283795978048 |
| <u>Экспонента $e=3$</u> | 466776013367 | 295084884945 | 548212520352 |
| | 194393214430 | 184687156359 | 50623875598 |
| <u>Модуль, N_1</u> | 551419753294 | 110229199835 | 45628043554 |
| 553399203289 | 235808018295 | 452343899082 | 374654069771 |
| <u>Модуль, N_2</u> | 521345765147 | 61700963597 | 454067424044 |
| 555525439597 | 62408122881 | 371846842 | 140771995786 |
| | 238014267850 | 184524760412 | 230698987467 |
| <u>Модуль, N_3</u> | 282320724474 | 349901424433 | 416727167751 |
| 556783358239 | 421626850723 | 66575580602 | 87650410693 |
| | 477001857725 | 38470059268 | 75414175302 |
| | 59354292288 | 27434041612 | 305387967882 |

| | | | |
|------------------------------------|-------------------------------------|-------------------------------------|-------------------------------------|
| 20 | <u>Шифр-текст, Y_1</u> | <u>Шифр-текст, Y_2</u> | <u>Шифр-текст, Y_3</u> |
| | 178430347017 | 464060851187 | 112360892551 |
| <u>Экспонента $e=3$</u> | 275798270566 | 466784394057 | 48950009370 |
| | 150441557212 | 113750938542 | 204834012880 |
| <u>Модуль, N_1</u> | 35319995468 | 50225874889 | 472985274437 |
| 564051718543 | 214899391564 | 135816601540 | 150470587109 |
| <u>Модуль, N_2</u> | 454509168990 | 383147938913 | 437368878774 |
| 567177464083 | 241622156972 | 445379546704 | 348445464666 |
| | 47081057682 | 20609631777 | 120707881073 |
| <u>Модуль, N_3</u> | 532012996953 | 530473256199 | 424353814205 |
| 568582697167 | 114671548487 | 291868875010 | 495774818876 |
| | 272811533565 | 327407870868 | 460590967231 |
| 21 | <u>Шифр-текст, Y_1</u> | <u>Шифр-текст, Y_2</u> | <u>Шифр-текст, Y_3</u> |
| | 400967861722 | 400511331925 | 365230039044 |
| <u>Экспонента $e=3$</u> | 402921963995 | 359110439723 | 503139848290 |
| | 345366187498 | 156672928720 | 452112473725 |
| <u>Модуль, N_1</u> | 170749944344 | 81237697207 | 98832137945 |
| 570206339323 | 398474550143 | 446268495117 | 16750539498 |
| <u>Модуль, N_2</u> | 14128843304 | 567101402400 | 496867432761 |
| 572010531679 | 525338681306 | 380678770261 | 98372266130 |
| | 553357177665 | 405322363448 | 349596187748 |
| <u>Модуль, N_3</u> | 554714202377 | 250349383856 | 172522293935 |
| 573673162471 | 378737847392 | 480141604318 | 161623878001 |
| | 241207247252 | 201068876886 | 405142270947 |
| | 330231009566 | 160562856485 | 404286756199 |
| 22 | <u>Шифр-текст, Y_1</u> | <u>Шифр-текст, Y_2</u> | <u>Шифр-текст, Y_3</u> |
| | 428799001102 | 330278110381 | 426468615928 |
| <u>Экспонента $e=3$</u> | 417746620458 | 413803169370 | 348743875265 |
| | 233652090970 | 399528613141 | 261688856582 |
| <u>Модуль, N_1</u> | 425829696584 | 431344022162 | 29957256669 |
| 582980801989 | 132807280253 | 133251402314 | 108448874326 |
| <u>Модуль, N_2</u> | 540064099057 | 579394141601 | 23970225383 |
| 585089367091 | 191642450251 | 339286468279 | 410917339855 |
| | 364237792802 | 235332969532 | 179638698652 |
| <u>Модуль, N_3</u> | 294540030550 | 1036448642 | 282723305676 |
| 586408807447 | 287338190886 | 400656499573 | 115801357719 |
| | 8030576378 | 47204841232 | 575898855271 |
| | 562848664519 | 249621210713 | 528022904569 |

| | | | |
|------------------------------------|-------------------------------------|-------------------------------------|-------------------------------------|
| 23 | <u>Шифр-текст, Y_1</u> | <u>Шифр-текст, Y_2</u> | <u>Шифр-текст, Y_3</u> |
| | 179564892807 | 376452630248 | 369376837096 |
| <u>Экспонента $e=3$</u> | 489396036392 | 569864359142 | 167105576017 |
| | 176575769058 | 124688754894 | 449990310238 |
| <u>Модуль, N_1</u> | 269255594799 | 562457224201 | 417101045217 |
| 588465234361 | 422117999595 | 22357940168 | 404468253839 |
| <u>Модуль, N_2</u> | 257369618664 | 151586582904 | 1603305513 |
| 586195041433 | 539258064402 | 533949898858 | 478144160973 |
| | 177014956905 | 116088884375 | 212789604411 |
| <u>Модуль, N_3</u> | 234449256532 | 221471039114 | 559954258624 |
| 587299922977 | 387357205774 | 16723092454 | 55850508600 |
| | 183843097094 | 343577678223 | 85339397069 |
| | 189558056464 | 313846942324 | 409000193866 |
| 24 | <u>Шифр-текст, Y_1</u> | <u>Шифр-текст, Y_2</u> | <u>Шифр-текст, Y_3</u> |
| | 534935192069 | 70956316615 | 547351293988 |
| <u>Экспонента $e=3$</u> | 586334468916 | 196061328294 | 558349441596 |
| | 575821575470 | 472946437612 | 209735294323 |
| <u>Модуль, N_1</u> | 158445010924 | 167175113770 | 257527905634 |
| 590059443367 | 168022188272 | 213280914294 | 328543700761 |
| <u>Модуль, N_2</u> | 419451618702 | 97582680057 | 241383661927 |
| 586035939793 | 403150327598 | 87487791156 | 318686253990 |
| | 462915818163 | 319786583031 | 391540759391 |
| <u>Модуль, N_3</u> | 156960926738 | 526032348303 | 124252499803 |
| 582032534407 | 423280293357 | 561873181810 | 400043751247 |
| | 308065052008 | 93452497746 | 36326931192 |
| 25 | <u>Шифр-текст, Y_1</u> | <u>Шифр-текст, Y_2</u> | <u>Шифр-текст, Y_3</u> |
| | 461743067035 | 429395271160 | 293399822655 |
| <u>Экспонента $e=3$</u> | 16510154740 | 404839447718 | 408678947374 |
| | 541409292183 | 431790388728 | 461462830734 |
| <u>Модуль, N_1</u> | 147537040251 | 84465928224 | 469093286418 |
| 593974289329 | 121241807149 | 179431496912 | 229214387811 |
| <u>Модуль, N_2</u> | 383535805471 | 250884484533 | 405621273396 |
| 590987500549 | 420328432686 | 367066937735 | 566681986508 |
| | 360735839890 | 493669050691 | 381039554115 |
| <u>Модуль, N_3</u> | 426786420629 | 588637988770 | 30236954381 |
| 585323335717 | 268507362618 | 235309880383 | 124256080362 |
| | 381406130147 | 79134719899 | 424813292522 |
| | 369378326912 | 469747448675 | 425803797156 |

Учебное издание

Васильева Ирина Николаевна,
кандидат физико-математических наук, доцент;
Куватов Валерий Ильич,
доктор технических наук, профессор, заслуженный работник
высшей школы Российской Федерации

КРИПТОГРАФИЧЕСКАЯ ЗАЩИТА ИНФОРМАЦИИ

Практикум

Редактор *Свикша Н.О.*
Компьютерная верстка *Свикша Н.О.*
Дизайн обложки *Савиных А.И.*

Подписано в печать 25.08.2017. Формат 60×84 ¹/₁₆
Печать цифровая. Объем 16,25 п.л. Тираж 100 экз. Заказ № 134/17

Отпечатано в Санкт-Петербургском университете МВД России
198206, Санкт-Петербург, ул. Летчика Пилютова, д. 1